

次世代産業基盤技術研究開発

「複合材料（樹脂系）」

第一期研究開発評価

昭和59年3月30日

NEAO 図書・資料室



010018180-9

次世代産業基盤技術研究開発

「複合材料（樹脂系）」

第一期研究開発評価

昭和59年3月30日

I. 総 論

1. 第一期研究開発についての全体的評価

(1) 本研究開発テーマは「航空宇宙機器、自動車等の輸送機器、エネルギー関連機器をはじめとして、幅広い分野で必要とされている軽量で高強度、高剛性の構造材料を実現するために、異方性を生かし、必要とする方向に、高剛性、高強度等を持たせることのできる複合材料にかかる基盤技術を確立することを目的とする」ものであり、基本計画に掲げられている目標は「軽量で、高強度、高剛性の構造材料として、樹脂系複合材料を開発する。目標性能は下表のとおり」である。

	目 標 値
樹脂系複合材料	①耐熱温度 250℃以上（強度保持率90%以上） ②引張強度 240kgf/mm ² 以上

1 目標値は標準試験片による値。

2 目標値に対する信頼度90%。

本テーマは、航空宇宙機器、自動車等の輸送機器の軽量化、高性能化をはじめ、広範な分野で軽量で力学特性の優れた材料に対する要請が強まる中、樹脂系複合材料の基盤技術としての開発の意義は大きく、基本計画に掲げられている目標についても意欲的な目標設定であり、積極的に評価される。

(2) 基本計画上第一期は「素材の強度、剛性の向上、強化繊維と母材との適合性の向上等高性能素材及び中間素材の開発を行なうとともに、試験片形状材の成形、加工を行うことにより、各種の成形・加工法を開発する。また、基本構造要素の成形、加工に必要となる設計技術を開発する」ことを研究の重点としている。

基本計画目標及び上述の位置づけに沿って第一期研究開発推進目標として広範な研究項目についてのキメの細かい目標項目を設定しており、それぞれの目標項目のレベルは総じて内外水準からみて妥当であ

る。なお、各研究項目の目標間の一層の体系的整合性があればより適切であったと考えられる。

- 1) 第一期目標に照らし、第一期の研究開発実績について評価すると次のとおりである。
 - ① 高性能素材開発のための イ) マトリックス樹脂の開発、ロ) 繊維の表面改質、ハ) 中間素材の開発の研究、及びニ) 成形加工技術、ホ) 設計技術開発の研究等樹脂系複合材料に係る要素技術開発研究を多面的に推進している。
 - ② マトリックス樹脂及び成形加工技術の一部において、一部の目標性能に未達のものもあったが、総じて目標性能を達成し、あるいはそれに接近したことは注目される。
- 2) イ) マトリックス樹脂における各種の新規骨格あるいは末端化合物等の合成導入、ロ) 各種繊維表面改質技術の適用あるいは組合せ、ハ) 三次元繊物、三軸繊物、ハイブリッド中間素材の基本技術開発、ニ) 一連の成形加工工程に係る主要技術の改善、新方式への転換、ホ) 設計プログラム、要素設計技術の開発等において、それぞれの性能向上の技術的メドを確立し、あるいは見通しを確認しており、いずれも高度化推進による一層の性能向上の可能性を内包している。
- 3) 中間素材開発等一部を除き、成形加工技術をはじめ多くは何らかの在来技術等をベースあるいは起点とし、技術的あるいは原理的検討の蓄積があったが、新たな着眼のとともに、在来技術等の限界の打開を図ったことは次世代性があるといえる。また、マトリックス樹脂の研究においては、7ルートの並行競争開発推進の効果が大きいと考えられる。

なお、第一期はそれぞれの要素技術開発を主眼としたが、マトリックス樹脂と成形加工技術をはじめ研究テーマ間のなお一層の連携があれば、より効果的であったと考えられる。

2. 第二期の研究開発の方向

- (1) 基本計画に掲げられている目標項目に関する限り、そのレベルは概ね妥当と考えられるも、内外情勢のダイナミックな変化、研究開発の進展等に鑑み、利用分野の明確化を図りつつ目標項目の追加の要否等について体系的レビューを行う必要がある。
- (2) 基本計画上の第二期の研究開発として「素材、中間素材について、

成形性、耐環境性等の向上を行うとともに、代表的構造要素の試作を行うことにより、成形、加工法の高度化を図る。また、各構造要素ごとに最適設計技術を開発することになっており、これに沿って研究を推進することとし、具体的には

- 1) マトリックス樹脂、成形技術等の技術的メドの見極めを速やかに行う。すなわち、開発樹脂の開発成形技術による成形検証を加速し、可及的速やかに技術的メドを見極め、斬新技術への発展、移行を促進する。
- 2) 斬新樹脂（ポリキノキサリン（P PQ）及び斬新高性能樹脂）、斬新成形加工法（精密自動レイアップ技術、ヒートトランスマッパー成形、斬新成形法）、設計技術（斬新構造法）等の斬新技術に積極的に取り組む。
- 3) マトリックス樹脂、成形加工技術相互間、品質評価技術、設計技術相互間、F R P設計技術、F R M設計技術相互間、それぞれの連携の強化を図る。
- 4) 斬新樹脂開発等にそなえた研究体制の拡充（例えば、国立試験研究所、大学の参画等の可能性検討）及び 関係機関、関係プロジェクトとの有機的連携の強化を図る。
- 5) 航空宇宙使用部材・使用環境の一層の明確化、自動車の使用部材及び使用促進のためのブレーキスルーロード課題の明確化（含次世代自動車の概念の検討）、エネルギー分野を含むその他利用分野の漸次の明確化を行う。
- 6) なお、試験・分析・評価能力、内外データの立体的整備・活用機能の拡充が肝要である。

II. 各論(1) - 研究分野毎の評価等 -

1. 高性能素材の開発

(1) マトリックス樹脂の開発

1) 第一期研究開発の評価

① 第一期目標に照らしての実績の評価

エポキシ系(3ルート)、ポリイミド系(3ルート)及びポリキノキサリン系をベースとした新規樹脂の開発並びに既存の熱可塑性樹脂のマトリックス樹脂としての可能性検証を実施し、

(i) エポキシ系3ルートについては、

- イ) 成形性は、一部を除き、ほぼ全ての目標性能を達成した。
- ロ) 力学特性は、2ルートは、一部を除き、概ね目標性能を達成したが、1ルートは成形条件に縛られて全ての目標性能達成には至らなかったものの、卓越した耐熱性を確認した。

(ii) ポリイミド系3ルートについては、

- イ) 2ルートにおいて、成形性は概ね目標性能を達成し、うち1ルートは力学特性についてもすべての目標性能を達成した。
- ロ) 1ルートは、将来性のある末端化合物を見出したが、その合成技術上の課題の本格解決は、第二期の課題である。

(iii) ポリキノキサリン系は、耐熱性の発揮及び、他の特性の原理的 possibility を確認した。

(iv) 熱可塑樹脂は、マトリックス樹脂としての耐熱性、力学特性の限界を確認した。

② 手法等の技術的意義、今後の進展等の期待

(i) エポキシ系は、高架橋、疎水性、高剛性の各骨格の合成導入等により、一部成形性に問題が残ったものもあるが、耐熱性をはじめとする各種性能を向上させ得るルートについてある程度の技術的メドを確立した。

(ii) ポリイミド系は、付加型イミドオリゴマ及び、溶媒可溶性化合物の合成、導入により、耐熱性を維持しつつ力学特性、あるいは成形性等を向上させ得るルートについてある程度の技術的見通しを確認した。

(iii) ポリキノキサリン系は、共重合による改質により耐熱性の発揮及び、力学特性・成形性向上の原理的 possibility を確認した。

(iv) いずれも、高度化研究の推進によるそれぞれの特性に応じた一層

の性能向上の可能性を内包しており、成形試験への早期移行が緊要である。

③ 研究開発の内容、期間、体制等の評価

- (i) エポキシ、ポリイミド系は既存高性能樹脂ではあるが、研究開発によるその限界の打開をめざした着眼点、ルートの選定は次世代的である。
- (ii) 国立試・大学の参画等研究体制のなお一層の拡充が、より効果的であったと考えられる。
- (iii) 7ルートの並行競争開発推進の効果は大きい。

2) 第二期研究開発の方向

- (i) エポキシ系及び、ポリイミド系については、第一期で残された課題の早期解決を図るとともに、その高度化を進め、それに応じて順次複合材化を促進し、複合材としての性能発揮の可能性を確認する。
- (ii) (i)を上回る広範な特性の発揮が期待されるポリキノキサリン系の改質、中間素材化を促進するとともに、新規斬新高性能樹脂の探索、基礎技術開発を促進する。
- (iii) いずれも国立試・大学の参画による研究体制の拡充、成形加工との連携の強化を図る。

(2) 繊維の表面改質

1) 第一期研究開発の評価

① 第一期目標に照らしての実績の評価

- (i) 表面酸化法による炭素繊維の新規樹脂（エポキシ系、ポリイミド系）への適応性及び各種表面改質法の組合せによるアラミド繊維のエポキシ樹脂への適応性向上を検討し、両繊維とも目標層間せん断強度をほぼ達成した。

② 手法等の技術的意義、今後の進展等の期待

- (i) 両繊維とも従来の表面改質法あるいはその組合せ改良が新規樹脂に対しても有効であることを確認した（ポリイミドの一部で未達のものもあったが、成形条件の改善で解決の見込）。
- (ii) 適応性は確認されたので、今後の新規開発樹脂について、その開発研究の中で検証を行う。

③ 研究開発の内容、期間、体制等の評価

- (i) 表面改質技術そのものは在来法あるいはその組合せであり、技術

的蓄積があった。

(ii) マトリックス樹脂開発との一体的推進を図れば、より効果的であったと考えられる。

2) 第二期研究開発の方向

(i) マトリックス樹脂開発の中で、その一環としてそれぞれの樹脂に即した適応・改良研究を推進する。

(3) 中間素材の開発

1) 第一期研究開発の評価

① 第一期目標に照らしての実績の評価

三次元組成の柱状複合材の組成法の開発、複合材化（三次元織物）及び平面3方向配向織物組織体の設計、試作（三軸織物）並びに、炭素繊維／アラミド繊維系の新規ハイブリッド構造の開発を推進し、いずれも目標性能を達成（とくにハイブリッド中間素材はケブラー系を上回る卓越した性能を発揮）した。

② 手法等の技術的意義、今後の進展等の期待

(i) 三次元織物については、

イ) 多様な一体成形が可能な三次元組織体の織成法の開発等により、三次元織成法の技術的見通しを確認した。

ロ) 高度化研究の推進による一層の性能向上の可能性を内包している。

(ii) 三軸織物については、

イ) バイプレン構造をもつ三軸織物を設計、試作し、力学特性の発揮を確認した。

ロ) 織成機を利用した本格的織成の推進による複合材としての性能発揮の可能性を内包している。

(iii) ハイブリッド中間素材については、

イ) 炭素繊維、アラミド繊維の層間ハイブリッド化を図り、ケブラー系を上回る性能の発揮を確認した。

ロ) 新規樹脂との複合材化による複合材としての一層の特性向上の可能性を内包している。

③ 研究開発の内容、期間、体制等の評価

(i) 発想は斬新である。

(ii) 期間面あるいは装置面での制約があったが一応の目標を達成している。

2) 第二期研究開発の方向

- (i)三次元織物については、複合材料としての用途等を明確化しつつ織成装置の試作、樹脂との複合化を推進する。
- (ii)三軸織物は、一応の設計技術を確立し、織成法の技術的メドを得たので、織成装置が利用可能となった時点で織成、樹脂との複合化を推進することとし、当面は中断する。
- (iii)ハイブリッド中間素材は、マトリックス樹脂開発の中で複合化を推進する。

2. 成形加工技術の開発

1) 第一期研究開発の評価

① 第一期目標に照らしての実績の評価

- イ) 航空機用をねらいとした積層一体成形、
- ロ) 自動車用をねらいとしたモールド成形（一体構造及びホットプレス、ストレッチ、レジンインジェクションによる速硬化）、
- ハ) 宇宙用をねらいとした連続成形及び
- ニ) プリプレグテープの自動積層（自動加工）、
- ホ) レーザー等による穴あけ、切断技術（高エネルギー二次加工）の開発を推進し、

(i)一部次の点は残されたが、その他の点は品質、生産性、形状寸法とも目標性能を達成した。

イ) 積層一体：成形サイクル（閉断面）、

層間せん断強さバラツキ（閉断面）

ロ) モールド一体構造：曲げ弹性率バラツキ。形状寸法（長纖維）
ホットプレス：成形圧力

ハ) 連続成形：品質、形状寸法、生産性（閉断面）、
形状寸法（閉断面）

ニ) 自動加工：形状寸法（平均値は達成するも安定性欠如）

ホ) 高エネルギー二次加工：加工変質域

② 手法等の技術的意義、今後の進展等の期待

(i)一部前記の点は残ったものの、以下の手法により、総じて品質、生産性、形状寸法等の性能向上の技術的メドを確立した。

イ) 積層一体成形：モニター技術による成形条件精密制御技術の開発

ロ) モールド成形：

- a 繊維の適正配列（短纖維）及び、型込み深絞り（長纖維）技術の開発【一体構造】
 - b 炭素纖維強化SMCの開発及び成形温度制御技術の改善【ホットプレス】
 - c 加熱雄型の開発及び成形温度制御技術の改善【ストレッチ】
 - d 樹脂硬化剤、促進剤の配合、注入制御技術の改善【レジンインジェクション】
- ハ) 連続成形：連続積層・連続曲げ技術（開断面）、引抜加熱装置
・連続硬化プロセス技術（閉断面）の開発
- ニ) 自動加工：自動積層装置の開発
- ホ) 高エネルギー二次加工：レーザー技術等の適用
- (ii) いずれも、高度化研究の推進による一層の性能向上の可能性を内包（レーザー加工については概ね技術を確立）している。
- ③ 研究開発の内容、期間、体制等の評価
- (i) 従来から行われている成形加工法をベースとしており、技術的蓄積があった（比較的現世代的）が、一連の工程等の本格的改良に挑戦したことは次世代性がある。
 - (ii) 第一期としては、本格改良の第一歩であり、エポキシを中心とする在来樹脂を対象としている。
 - (iii) 利用分野の明確な概念、それに即した樹脂、方法等の最適組合せ等は、必ずしも明確化するには至っていない。
 - (iv) マトリックス樹脂開発とのより密接な連携を図れば、より効果的であったと考えられる。
- 2) 第二期研究開発の方向
- (i) 新規あるいは改良高性能樹脂を用いた大形・複雑形状成形体試作への移行をねらいに、各プロセスの高度化と合わせ、
 - イ) 積層一体成形は、硬化モニター技術の発展
 - ロ) モールド成形は、速硬化樹脂に絞り、最も適した樹脂の開発
・改良、前処理、成形工程の改善（モールド一体構造は脱オートクレーブ化を推進）
 - ハ) 連続成形は、一連の連続要素の発展。
 - ニ) 自動加工は、精密・高速レイアップ化をめざした斬新成形法の探索・開発の推進、を目指す。
- なお、高エネルギー二次加工は一応の技術を確立したので当面中断

し、必要に応じて成形技術の中で研究を推進する。

- (ii)以上と合わせて、脱オートクレーブ化を目指した斬新成形法の探索
 - ・開発を推進する。
- (iii)マトリックス樹脂との連携を一層推進する。

3. 設計技術の開発

1) 第一期研究開発の評価

① 第一期目標に照らしての実績の評価

強度（歪み）、たわみ、振動（フラッタ）に対する最軽量の板厚構成を得るプログラム及び、剛性、強度、軽量性の3条件を満たす構造要素設計方式の開発を推進し、

- (i)いずれも目標性能を達成、またプログラムソフトのロジック、解析結果の取れん性も妥当である。

② 手法等の技術的意義、今後の進展等の期待

- (i)各種の限定的な条件下とは言え、プログラム・要素設計とも従来法を上回る技術的見通しを確認した。

- (ii)なお、外的因子の拡充、構成要素の高度化等による一層の性能向上の可能性を内包している。

③ 研究開発の内容、期間、体制等の評価

- (i)大学の参画を得て、理論面の検討は図られているが、なお、FRM設計、品質評価技術との連携を図れば、より効果的であったと考えられる。

- (ii)座屈研究は58年度から開始したものであり、プログラムへの導入は第二期に期待される。

2) 第二期研究開発の方向

FRM設計技術との一体的推進とともに、品質評価技術との連携を深めつつ、

- (i)最適化プログラムは、外的因子の追加、ソフトの高度化、プログラムのパック化、精度の向上を主眼に、高度化を推進する。
- (ii)構造要素設計技術は、斬新構造法への発展を推進する。
- (iii)破壊機構等基本現象の機構解析を拡充する。

III 各論 (2) - 研究項目毎の評価等 -

各研究項目毎の評価等は次表のとおりである。

複合材料(FRP)第一期評価ポイント

研究項目		第一期研究開発の評価			第二期の研究開発の方向		備考	
		第一期目標に照らしての実績の評価(含実績見込)	59年2月15日時点	手法等の技術的意義、今後の進展等の期待	研究開発のフレームについての評価			
高性能能要素の開発	高架橋G骨P格	①力学特性：引張伸びを除き目標性能達成。 ②成形性：すべての目標性能達成。		①高架橋骨格の導入が耐熱性向上に資することに着目し、 ②多官能フェノール系化合物の合成・導入により、 ③成形性を維持しつつ、耐熱性・力学特性向上の技術的メドを確立。 ④なお分子量分布の最適化等による一層の性能向上の可能性を内包。 ⑤成形試験への移行を促進し、複合材としての性能発揮の可能性を検証。	①エポキシ、ポリイミド系は既存高性能樹脂ではあるが、R/Dによるその限界の打開を目指した着眼点、ルートの選定は次世代的。 ②PPQへの着眼は斬新。 ③専門国立試・大学の参画等研究体制のなお一層の拡充がより効果的。 ④7ルートの並行競争開発推進の効果大。	①第一期で開発した新規高性能樹脂について、力学特性、耐熱性、成形性等のそれぞれの特性を充分に発揮する複合材の早期開発を目指して、 ②国立試・大学の参画による研究体制の拡充、各ルート間及び成形加工との連携を強化しつつ、 ③第一期で技術的メドあるいは見通しを得た各ルートの技術について、次の方向で、残された課題の早期解決・各特性の発揮をねらった技術の高度化を進め、 ④進展に応じて順次中間素材化を促進し、 ⑤複合材としてのそれぞれの特性発揮の可能性を確認。 ・エポキシ樹脂(とくに、成形性に勝り、卓越した力学特性を発揮し得ることに期待)		
	疎水性G骨N格	※ ①力学特性：引張強度・破断伸びを除き目標性能達成。 ②成形性：目標性能達成。 (キュア圧力はホットプレス使用のため未確認) ※但し、高温引張強度がほぼ目標性能に接近したことは注目的		①疎水性骨格の導入が耐熱性向上に資することに着目し、 ②αナフタル系化合物の合成・導入により、 ③成形性・力学特性を維持しつつ、耐熱性・耐水性の向上したバランスのとれた高性能樹脂開発のメドを確立。 ④なお分子量分布及び中間素材化方法等の最適化による成形性、一層の高温強度向上の可能性を内包。 ⑤成形試験への移行を促進し、複合材としての性能発揮の可能性を検証。		PGP	分子量分布の最適化→引張強度と伸びのバランスを中心とする性能の一層の向上	
	高剛性G骨I格	①力学特性：引張強度(-60℃)曲げ強度(RT)、層間せん断強度を除き未達(乾燥条件に起因)。 ②成形性：キュア温度、VIを除き目標性能を達成、(Td 420℃、Ts 301℃の卓越した耐熱性能を確認)。		①高剛性耐熱骨格の導入が耐熱性向上に資することに着目し、 ②イミド基含有化合物の合成・導入により、 ③乾燥条件が不十分で、樹脂本来の機能を十分発揮できなかつたが、耐熱性については、卓越した性能発揮の技術的可能性を確認。 ④成形温度抑制の難点はあるものの、骨格構造・同配合の最適化によるポイミドにも接近する耐熱性発揮・力学特性向上の可能性を内包。 ⑤成形試験への移行を促進し、複合材としての性能発揮の可能性を検証。		PGN	分子量分布及び中間→成形性、一層の素材化方法等の最適化→高温強度の向上	
						PGI	骨格構造・同配合の→耐熱性の発揮、最適化 力学特性の向上	

研究項目		第一期研究開発の評価				第二期の研究開発の方向		備考
		第一期目標に照らしての実績の評価（含実績見込）	58年2月15日時点	手法等の技術的意義、今後の進展等の期待	研究開発のフレームについての評価			
高 性 能 素 材 の 開 発	末端T 基P 制I 御型	中間検証によるデーターではあるが、次の通り主鎖改善による効果を確認。 ①力学特性：引張強度（常温及び250℃）引張伸びを除き目標性能を達成 ②成形性：すべての目標性能達成。	①末端化合物の反応性向上が成形性向上に資することに着目し、 ②付加反応性ビニル系化合物等の導入及び主鎖の改善により、 ③耐熱性を維持しつつ成形性向上が期待し得、またPPQ末端化合物の中間原料として利用可能な将来性のある末端化合物及び末端化合物導入に伴う流動性低下を防ぎ得る可能性を有する改善主鎖を見出したが、 ④末端化合物合成技術上の課題の本格解決を図るには、PPQとタイアップして加速的発展が適切。	①エポキシ、ポリイミド系は既存高性能樹脂ではあるが、R/Dによるその限界の打開を目指した着眼点、ルートの選定は次世代的。 ②PPQへの着眼は斬新。 ③専門国立試・大学の参画等研究体制のなお一層の拡充がより効果的。 ④7ルートの並行競争開発推進の効果大。	•ポリイミト樹脂（特に卓越した耐熱性を發揮し得ることに期待）	OPI	とくに力学特性及び成形性に期待	新規末端の導入等の一層の成形性等改良
	新規O オP リI ゴマ 型	①力学特性：すべての目標性能達成。 ②成形性：目標性能達成。 (キュア圧力はホットプレス使用のため未確認)。	①付加硬化型イミドオリゴマの最適化が成形性向上に資することに着目し、 ②アリルイミド型末端イミドオリゴマの分子設計により、 ③耐熱性を維持しつつ、力学特性・成形性向上の技術的見通しを確認。 ④なおTPIで得た成果の活用を含め、新規末端基の導入による一層の成形性向上等の可能性を内包。 ⑤成形試験への移行を促進し、複合材としての性能発揮の可能性を検証。		MPⅠ	とくに耐熱性に期待	主鎖の改良 →力学特性、一層(分子量、同分布等の最適化)	
	新規M 主P 鎖I 型	①力学特性：常温引張強度、引張弾性率、層間せん断強度を除き、目標性能を達成。 ②成形性：Vfを除き目標性能達成。	①ポリイミドの主鎖の最適化が、力学特性向上に資する点に着目し、 ②特定の溶媒化溶性化合物の主鎖への導入により、 ③耐熱性をも維持しつつ成形性向上の技術的見通しを確認。 ④なお主鎖の改良（分子量・同分布等の最適化）による力学特性の向上、一層の成形性等向上の可能性を内包。 ⑤成形試験への移行を促進し、複合材としての性能発揮の可能性を検証。		TPI	TPIについては、第一期研究で得た成果をOPIに移転するとともにPPQ開発の中で合成技術上の課題の本格解決を促進（同課題の解決を待って、TPIとしての特性も検証）		
	ポキ リサP キリP ノンQ 系	①力学特性：層間せん断強度を除き未達。 ②成形性：キュア圧力、ポストキュア温度、を除き目標性能達成。	①耐熱性に卓越し、他の特性にもすぐれた可能性を秘めるポリキノキサリンに着目し、 ②共重合による改質により、 ③耐熱性の発揮は確認したが、力学特性・成形性向上については、原理的可能確認にとどまり、継続課題。 ④TPIの成果をも活用しつつ、付加重合型樹脂への改質による力学特性・成形性等向上の可能性を内包。			①エポキシ系及びポリイミド系樹脂に勝る広範な特性の発揮が期待される新規高性能樹脂の開発を目指して、 ②国立試・大学の参画による研究体制の拡充、各ルート間及び成形加工との連携を強化しつつ、 ③ポリキノキサリン系樹脂について、TPIの成果をも活用しつつ、中間素材化を目的に、付加複合型樹脂への改質研究を促進。 ④新規斬新高性能樹脂の探索・基礎技術開発を促進。		
熱可塑性樹脂	①代表的熱可塑性樹脂について段階的比較評価（8種→5種→2種）。 ②既存熱可塑性樹脂のマトリックス樹脂としての耐熱性（150℃～180℃が限界）、力学特性の限界を明確化。	①既存各種可熱塑性樹脂について、マトリックス樹脂としての可能性を検討し、 ②在来型熱可塑性樹脂では、耐熱性・力学的特性に限界があることを確認。 ③斬新高性能樹脂開発の一環として可能性を探索。						

研究項目	第一期 研究開発の評価			第二期の研究開発の方向	備考
	第一期目標に照らしての実績の評価(含実績見込)	着手日(59年2月15日 時点)	手法等の技術的意義、今後の進展等の期待		
高性能素材の開発改質	炭素繊維 ①層間せん断強度の目標性能達成。	①表面酸化法による炭素繊維表面の改質が樹脂との接着性向上に有効であることに着目し、 ②同法の新規樹脂への適応可能性を確認した。 ③同法の新規樹脂について、その後の開発研究の中で検証。 ④今後の新規開発樹脂について、その後の開発研究の中で検証。 。	①表面改質技術そのものは在来法あるいはその組合せで、技術的蓄積あり。 ②マトリックス樹脂開発との一体的推進を図れば、より効果的。	①第一期で得た成果をマトリックス樹脂開発に反映し、 ②新規開発樹脂について、その後の開発研究の中で検証。	
アラミド繊維	アラミド繊維 層間せん断強度の目標性能達成。	①アラミド繊維と樹脂との接着性向上には、各種の繊維表面改質法の組合せが有效であることに着目し、 ②アラミドポリマーコーティング、極性溶剤処理、試薬処理等各種表面改質法の組合せにより、 ③エポキシ樹脂に対する適応性の向上を確認。 ④今後の新規開発樹脂について、その後の開発研究の中で検証。			

研究項目		第一期研究開発の評価			第二期の研究開発の方向	備考
		第一期目標に照らしての実績の評価(含実績見込)	59年2月15日時点	手法等の技術的意義、今後の進展等の期待		
高性能素材の開発	三次元織物中間素材	①製織中に、イ)系の配列密度、ロ)組織の変更、ハ)曲面の形成ができ、二)円柱・袋状の賦形が可能な織成法を考案し、一部試作。 ②試織繊維を樹脂含浸・硬化成形。 ③成形複合材の機械的特性・アブレーション特性を評価。	④軽量で強度・弾性率に優れ、また、多様な一体形成が可能な三次元織物に着目し、 ⑤三次元織物の織成法の開発及び複合材化を図り、 ⑥小規模試作品ながら、織成技術の見通しを確認。 ⑦なお複合材としての用途・特性を明確化しつつ、織成・複合化研究を進めることにより、機能発揮の可能性を内包。	①発想は斬新。 ②期間面の制約あり(57年度から実施)。	①高性能中間素材の開発をねらいに、 ②複合材としての用途・特性を明確化するとともに、 ③成形加工(とくに斬新成形)との連携を図りつつ、 ④イ)実用サイズ織成機設計のためのデータ取得を中心とした三次元織物織成装置の試作。 ロ)試織物の樹脂複合材化及び同複合材の特性評価を推進。	
高分子開発	三軸織物中間素材	①パイプレイン構造三軸織物を設計し、米Barber Colman社織機で試作。 ②衝撃強度目標性能達成。(見込)	①繊維の平面3方向配列が成形性にすぐれた等方性複合材料に効果的であることに着目し、 ②パイプレイン構造をもつ三軸織物を設計・試作し、 ③力学的特性の発揮を確認。 ④なお織成機を利用した本格的織成の推進により、複合材料としての性能発揮の可能性を内包。	①発想は比較的新しい。 ②装置面の制約あり	①織成装置が利用可能となった時点で織成、樹脂との複合化を推進することとし、 ②当面は中断。	
高分子開発	ハイブリッド中間素材	①炭素繊維/HM-50系層間ハイブリッド複合材を作成。 ②衝撃強度の目標性能達成。	①炭素繊維・アラミド繊維のハイブリッド化が複合材料の高性能化に資することとに着目し、 ②層間ハイブリッド化を図り、 ③ケブラー系を上回る卓越した衝撃強さの発揮を確認。 ④なお新規開発樹脂との複合化による一層の特性向上の可能性を内包。	①発想は比較的新しい。	①新規樹脂と第一期で開発したハイブリッド繊維との複合化研究を推進することとし、 ②まず、エポキシ系樹脂中間素材の中で研究を発展。	

研究項目		第一期 研究開発の評価				第二期の研究開発の方向		備考
		第一期目標に照らしての実績の評価(合実績見込)	59年2月15日 時点	手法等の技術的意義、今後の進展等の期待		研究開発のフレームについての評価		
成形加工技術の開発	積層一集成形法	開断面 成形サイクルを除き品質、生産性、形状寸法とも目標性能達成。 閉断面 層間せん断強さバラツキを除き、品質、生産性、形状寸法とも目標達成。		①積層成形において接着組立工程の省略が品質・生産性の向上に有効であることに着目し、 ②成形工程における詰毛特性(閉断面)及び電気抵抗(閉断面)硬化モニター技術による成形条件精密制御技術の開発により、 ③積層一集成形において、分割法を上回る品質、生産性等実現の技術的メドを確立。 ④なお多点硬化モニター技術への発展による新規耐熱樹脂を対象とした一層の性能向上の可能性を内包。	①従来から行なわれている成形加工法をベースとし、技術的蓄積あり(比較的現代的)。 ②一連の工程等の本格的改良に挑戦(次世代性)。 ③第一期としては、 ④木格の改良の第一歩 ⑤エポキシを中心とする在来樹脂を対象 ⑥利用分野の明確な概念、それに即した樹脂、方法等の最適組合せ等は、必ずしも明確化するには至っていない。 ⑦マトリックス樹脂との、より密接な連携を図れば、より効果的。	①新規耐熱樹脂を用いた複雑形状成形への移行をねらいに、 ②マトリックス樹脂との密接な連携を深めつつ、 ③イ) 電気式多点硬化モニター技術への発展。 ロ) 耐熱樹脂成形用副資材の選定、治工具の開発等による精密成形、技術の高度化を中心に、 ④第一期で残された課題の早期解決を図るとともに、 ⑤品質性能向上を主眼にプロセス全体の高度化を推進。		
	成形加工技術の開発	一 体短 成形 維 法・ 長 繊 維	短繊維 品質、生産性、形状寸法ともすべての目標性能達成。 長繊維 ①曲げ弾性率バラツキを除き、品質及び生産性の目標性能達成。 ②形状寸法は未達。	①モールド成形において接着組立工程の省略が品質、生産性の向上に有効であることに着目し、 ②前処理工程における繊維の適正配列(短繊維)及び型込み深絞り(長繊維)技術の開発により、 ③一體構造モールド成形において分割法を上回る品質、生産性等実現の技術的メドを確立。 ④なお長繊維深絞り部の成形作用による影響を制御するとともに、成形工程における脱オートブレーキ化を目指した斬新成形法への発展による新規耐熱樹脂を対象とした飛躍的な性能向上の可能性を内包。		脱オートクレーブ化を目指したヒートトランスマスター方式による斬新成形技術に発展		
	成形加工技術の開発	ホットプレス	①品質、形状寸法は目標性能達成。 ②生産性(成形圧力)は未達。	①SMC(Sheet molding compound)のホットプレスが低圧速硬化での高剛性パネル成形(小型精細形状)に有効であることに着目し、 ②炭素繊維強化SMCの開発及び成形温度制御技術の改善等により、 ③ガラス繊維強化品に優る品質等の実現の技術的メドを確立。 ④なお、より成形性にすぐれたSMC素材の開発、温度制御技術の高度化による生産性の改善、耐熱樹脂を対象とした一層の性能向上の可能性を内包。		①高性能耐熱SMCを用いた精細形状、高剛性パネル成形への移行をねらいに、 ②マトリックス樹脂との連携を図りつつ、 ③イ) SMC素材の改善 ロ) 温度制御技術の高度化を中心に、 ④第一期で残された課題の早期解決を図るとともに、 ⑤生産性向上を主眼にプロセス全体の高度化を推進。		
	成形加工技術の開発	ストレッチ	生産性、品質、形状寸法ともすべての目標性能達成。	①改良金型等による加熱硬化制御ストレッチが低圧速硬化での高剛性パネル成形(大型単純形状)に有効であることに着目し、 ②加熱雰囲型の開発及び成形温度制御技術の改善等により、 ③生産性、品質等向上の技術的メドを確立。 ④なお成形前処理工程における合模・脱泡工程の短縮等による新規耐熱樹脂を対象とした一層の性能向上の可能性を内包。		①新規樹脂を用いた大型高剛性パネル成形への移行をねらいに、 ②マトリックス樹脂との密接な連携を深めつつ、 ③合模・脱泡工程の短縮化を中心に、 ④生産性の一層の向上を主眼にプロセス全体の高度化を推進。		
	成形加工技術の開発	レジインジエクション	生産性、品質、形状寸法ともすべての目標性能達成。	①樹脂・添加剤配合、注入温度を最適化したレジンインジェクションが低圧速硬化で高剛性パネル成形(大型複雑形状)に有効であることに着目し、 ②樹脂、硬化剤、促進剤の配合、注入制御技術の改善等により、 ③生産性、品質向上の技術的メドを確立。 ④なお低粘度速硬化樹脂の開発、樹脂混合注入技術の高度化により、耐熱樹脂を対象とした一層の性能向上の可能性を内包。		①耐熱樹脂を用いた大型複雑形状が高剛性パネル成形への移行をねらいに、 ②マトリックス樹脂との連携を図りつつ、 ③イ) より高性能の低粘度速硬化樹脂の開発。 ロ) 樹脂混合注入技術の高度化を中心に、 ④生産性の一層の向上を主眼にプロセス全体の高度化を推進。		
	成形加工技術の開発							

研究項目		第一期研究開発の評価			研究開発のフレームについての評価	第二期の研究開発の方向	備考
		第一期目標に照らしての実績の評価(含実績見込)	59年2月15日時点	手法等の技術的意義、今後の進展等の期待			
成形連続面	開断面			①多段ロール成形法が長尺型材の連続成形における性能、生産性向上に資することに着目し、 ②連続積層技術及び連続曲げ成形技術の開発により、 ③品質、生産性向上の技術的メドを確立。(見込) ④なお イ)樹脂の改良・開発、ロ)多段曲げ技術の開発等による高性能素材を対象とした長尺薄肉構造要素の性能向上の可能性を内包。	同上	①耐熱性熱可塑樹脂を用いた長尺薄肉型材の連続成形への移行をねらいに、 ②マトリックス樹脂との連携を図りつつ、 ③イ)熱可塑性樹脂の改良・開発 ロ)多段曲げ技術の開発を中心 ④第一期で残された課題の早期解決を図るとともに、 ⑤品質向上を主眼にプロセス全体の高度化を推進。	
	成形加工法	①品質、生産性は、目標性能達成。 ②形状寸法は未達。		①加熱ダイ引抜成形法が長尺中空型材の連続成形における性能、生産性向上に資することに着目し、 ②引抜加熱装置及び連続硬化プロセス技術の開発により、 ③形状寸法上の問題は残ったものの品質、生産性向上についての技術的メドを確立。 ④なお イ)樹脂の改良・開発、ロ)連続積層技術の開発 ハ)装置、プロセスシステム制御等により、形状寸法の改善、高性能素材を対象とした長尺薄肉構造要素の性能向上の可能性を内包。		①速硬化耐熱樹脂を用いた長尺薄肉中空型材の連続成形への移行をねらいに、 ②マトリックス樹脂との連携を図りつつ、 ③イ)耐熱樹脂の改良・開発 ロ)連続積層技術の開発 ハ)装置・プロセスのシステム制御を中心に、 ④第一期で残された課題の早期解決を図るとともに、 ⑤品質向上を主眼にプロセス全体の高度化を推進。	
技術の開発	自動加工法	①品質、形状寸法とも目標性能を達成。 ②とくに空どう率に卓越。 ③形状寸法は平均値では目標性能は達成したもののが安定性に欠如。		①F R Pの成形においてハンドレイアップ方式が効率向上の大きな障害となっていることに着目し、 ②自動積層装置の開発により、 ③ハンドレイアップ方式を大幅に上回るスピードで自動的に積層し、テープすぎ間にやや安定性を欠くものの、品質面において性能の向上した成形体を実現しうる技術的メドを確立。 ④なお イ)装置面の改良、ロ)テープ縁検出技術の開発等により、積層速度の一層の向上、形状寸法の安定化の可能性を内包。	同上	①第一期で開発した自動積層技術の高度化をねらいに、 ②イ)装置面の改良 ロ)テープ縁検出技術の開発を中心に、 ③積層速度の向上及び形状寸法の安定化を主眼に高度化研究を推進。	
	高エネルギー二次加工	①レーザー加工法 加工変質域を除き生産性、加工性とも目標性能を達成。 ②液体ジェット・超音波 生産性等未達。		①レーザー、液体ジェット、超音波等の各種エネルギーのF R Pの切断、穴あけへの応用に着目し、 ②エネルギーの制御、冷却等の一連の技術を開発・評価し、 ③とくにレーザーにおいて加工変質域には多少問題が残ったものの生産性・加工性とも従来の機械加工を大幅に上回る性能発揮技術を確立。 (高出力レーザーの利用により加工変質域も改善し得る見込)	(第二期新規)	①在来のオートクレーブ法に代る斬新成形技術の開発をねらいに、 ②第一期で開発した成形加工技術の成果の活用及び関連技術との連携を図りつつ、新たに、 ③イ)ヒートトランസファー成形法(急熱・急冷・均一加熱成形法)の開発 ロ)各種高効率成形法の可能性探索を推進。	
					(成形技術に同じ)	一応の技術を確立したので、当面研究を中断し、必要に応じ成形技術の中で研究を推進。	

研究項目	第一期 研究開発の評価				第二期の研究開発の方向	備考
	第一期目標に照らしての実績の評価(含実績見込)	59年2月15日時点	手法等の技術的意義、今後の進展等の期待	研究開発のフレームについての評価		
設計技術の開発	①解析的検証 強度、撓み、振動(フラッタ)のいずれも目標性能達成。 ②最適化検証 ソフトウェアのロジック及び解析結果の収れん性とも妥当。		①FRPの特性をフルに發揮させるには、所要の外力に対応する最軽量の積層構成を得る汎用プログラムの開発が必要なことに着目し、 ②強度、たわみ、振動(フラッタ)を対象とした イ) 最適理論の数式化 ロ) 最適化プログラムの開発・検証を推進し、 ③実験結果を再現し得るプログラムの技術的メドを確立。 ④なお座屈等破壊様式の追加・拡大を図りつつ、プログラムの高度化推進による一層の汎用かつパック化可能なプログラムへの発展の可能性を内包。	①大学の参画を得て、理論面の検討は図られてはいるが、なお イ) FRM設計。 ロ) 品質評価技術との連携を図れば、より効果的。 ②座屈研究は58年度から開始(プログラムの導入は第二期に期待。)	①FRM設計技術との一体的推進のもとに品質評価技術との連携を深めつつ、 ②複合材料の特性を応用目的に応じて充分に發揮させる軽量構造設計技術の開発をめざして、 ③最適化プログラムについて、 イ) 座屈等外力因子の追加 ロ) ソフトウェアの高度化 ハ) プログラムのパック化、精度の向上 ④構造要素設計技術について、 イ) 在来の薄板構造に代る ロ) 複合材料の特性を充分に活かした ハ) 新規構造方式の開発を推進。 ⑤以上と合わせて、破壊機構等基本的現象に係る機構解析を拡充。	
	剛性、強度、重量のいずれも目標性能達成。		①FRPの特性をフルに發揮させるには、巨視的な設計最適化プログラムの他に、個々の構造要素の最適化設計技術が必要であることに着目し、 ②主構造の剛性・強度を維持する最軽量の繊手構造方式を検討し、 ③単純繊手要素において所期の性能を満たし得る設計技術の見通しを確認。 ④なお、より複雑な構造部材を対象とした設計技術の高度化による各種外力に対応する複雑な構造要素の最適設計への改良・発展の可能性を内包。			

複合材米斗（F R P）第一期実績評価ポイント総括

研究項目		第一期研究開発の評価			第二期研究開発の方向
		第一期目標に照らしての実績の評価（含実績見込）	59年2月15日時点	手法等の技術的意義、今後の進展等の期待	
高 生 能 素 材 樹 の 用 開 発	ト リ ン ク ス 樹 材 の 開 発	<p>①エポキシ系（3ルート）、ポリイミド系（3ルート）及びポリキノキサリン系をベースとした新規樹脂の開発並びに既存熱可塑樹脂のマトリックス樹脂としての可能性検証を実施。</p> <p>②エポキシ系3ルートについては、 イ) 成形性は、一部を除き、ほぼ全ての目標性能を達成。 ロ) 力学特性は、2ルートは、概ね目標性能を達成したが、1ルートは成形条件に縛られて全ての目標性能達成には至らないものの、卓越した耐熱性を確認。</p> <p>③ポリイミド系3ルートについては、 イ) 2ルートにおいて、 a. 成形性は概ね目標性能を達成。 b. うち1ルートは力学特性についてもすべての目標性能を達成。 ロ) 1ルートは、将来性のある末端化合物を見出したが、その合成技術上の課題の本格解決は、第二期の課題。</p> <p>④ポリキノキサリン系は、耐熱性の発揮及び、他の特性の原理的可能性を確認。</p> <p>⑤熱可塑樹脂は、マトリックス樹脂としての耐熱性、力学的特性の限界を確認。</p>	<p>手法等の技術的意義、今後の進展等の期待</p> <p>①エポキシ系は、 イ) 高架橋、疎水性、高剛性の各骨格の合成導入等により、 ロ) 一部成形性に問題が残ったものもあるが、耐熱性をはじめと各種性能を向上させ得るルートについてある程度の技術的メドを確立。</p> <p>②ポリイミド系は、 イ) 付加型イミドオリゴマ及び、溶媒可溶性化合物の合成、導入により、 ロ) 耐熱性を維持しつつ力学特性、あるいは成形性等を向上させ得るルートについてある程度の技術的見通しを確認。</p> <p>③ポリキノキサリン系は、 イ) 共重合による改質により、 ロ) 耐熱性の発揮及び、力学特性・成形性向上の原理的可能性を確認。</p> <p>④いずれも、 イ) 高度化研究の推進によるそれぞれの特性に応じた一層の性能向上の可能性を内包、 ロ) 成形試験への早期移行緊要。</p>	<p>研究開発のフレームについての評価</p> <p>①エポキシ、ポリイミド系は既存高性能樹脂ではあるが、R/Dによるその限界の打開をめざした着眼点、ルートの選定は次世代的。</p> <p>②専門国立試・大学の参画等研究・体制のなお一層の拡充が、より効果的。</p> <p>③7ルートの平行競争開発推進の効果大。</p>	<p>第二期研究開発の方向</p> <p>①エポキシ系及び、ポリイミド系については、第一期で残された課題の早期解決を図るとともに、その高度化を進め、それに応じて順次複合材化を促進し、複合材としての性能発揮の可能性を確認。</p> <p>②①を上回る広汎な特性の発揮が期待されるポリキノキサリン系の改質、中間素材化を促進するとともに、新規斬新高性能樹脂の探索、基礎技術開発促進。</p> <p>③いずれも国立試・大学の参画による研究体制の拡充、成形加工との連携を強化。</p>

研究項目		第一期研究開発の評価			第二期研究開発の方向
		第一期目標に照らしての実績の評価（含実績見込）	59年2月15日時点	手法等の技術的意義、今後の進展等の期待	
高性 能 素 材 の 開 発	繊維の表面改質	<p>①表面酸化法による炭素繊維の新規樹脂（エポキシ系、ポリイミド系）への適応性及び各種表面改質法の組合せによるアラミド繊維のエポキシ樹脂への適応性向上を検討。</p> <p>②両繊維とも目標層間せん断強度を達成。</p>	<p>①両繊維とも従来の表面改質法あるいはその組み合わせ改良が新規樹脂に対しても有効であることを確認。</p> <p>②適応性は確認されたので、今後の新規開発樹脂について、その開発研究の中で検証。</p>	<p>①表面改質技術そのものは在来法あるいはその組合せで、技術的蓄積あり。</p> <p>②マトリックス樹脂開発との一体的推進を図れば、より効果的。</p>	<p>①マトリック樹脂開発の中で、その一環としてそれぞれの樹脂に即した適応・改良研究を推進。</p>
高性 能 素 材 の 開 発	中間素材	<p>①イ)三次元組成の柱状複合材の組成法の開発、複合材化（三次元織物）及びロ)平面3方向配向織物組織体の設計、試作（三軸織物）並びに、ハ)炭素繊維／アラミド繊維系の新規ハイブリッド構造の開発を推進。</p> <p>②いずれも目標性能を達成（とくにハイブリッド中間素材はケブラー系を上回る卓越した性能を発揮）。</p>	<p>①三次元織物は、 イ)多様な一体成形が可能な三次元組織体の織成法の開発等により、 ロ)三次元織成法の技術的見通しを確認。 ハ)高度化研究の推進による一層の性能向上の可能性を内包。</p> <p>②三軸織物は、 イ)パイプレン構造をもつ三軸織物を設計、試作し、 ロ)力学特性の発揮を確認。 ハ)織成機を利用した本格的織成の推進による複合材としての性能発揮の可能性を内包。</p> <p>③ハイブリッド中間素材は、 イ)炭素繊維アラミド繊維の層間ハイブリッド化を図り、 ロ)ケブラー系を上回る性能の発揮を確認。 ハ)新規樹脂との複合材化による複合材としての一層の特性向上の可能性を内包。</p>	<p>①発想は斬新。</p> <p>②期間面あるいは装置面の制約の中で一応の目標を達成。</p>	<p>①三次元織物については、複合材料としての用途等を明確化しつつ織成装置の試作、樹脂との複合化を推進。</p> <p>②三軸織物は、一応の設計技術を確立し、織成法の技術的メドを得たので、織成装置が利用可能となった時点で織成、樹脂との複合化を推進することとし、当面は中断。</p> <p>③ハイブリッド中間素材は、マトリックス樹脂開発の中で複合材化を推進。</p>

研究項目	第一期研究開発の評価			第二期研究開発の方向
	第一期目標に照らしての実績の評価(含実績見込)	59年2月15日時点	手法等の技術的意義、今後の進展等の期待	
成形力工技術の開発	<p>①イ) 航空機用をねらいとした積層一体成形、 ロ) 自動車用をねらいとしたモールド成形(一体構造及びホットプレス、ストッレチ、レジンインジェクションによる速硬化)、 ハ) 宇宙用をねらいとした連続成形及び ニ) プリプレグテープの自動積層(自動加工)、 ホ) レーザー等による穴あけ、切断技術(高エネルギー二次加工)の開発を推進。</p> <p>②い) ずれも、一部次の点は残されたが、その他の点は品質、生産性、形状寸法とも目標性能を達成。 イ) 積層一体: 成形サイクル(開断面)層間せん断強さバラツキ(開断面) ロ) モールド一体構造: 曲げ弹性率バラツキ・形状寸法(長繊維) ホットプレス: 成形圧力 ハ) 連続成形: 形状寸法(開断面) ニ) 自動加工: 形状寸法(平均値は達成するも安定性欠く。) ホ) 高エネルギー二次加工: 加工変質域</p>	<p>①イ) 積層一体成形は、モニター技術による成形条件精密制御技術の開発により、 ロ) モールド成形は、 a. 繊維の適正配列(短繊維)及び、型込み深絞り(長繊維)技術の開発(一体構造) b. 炭素繊維強化SMCの開発及び成形温度制御技術の改善(ホットプレス) c. 加熱成型の開発及び成形温度制御技術の改善(ストッレチ) d. 樹脂硬化剤、促進剤の配合、注入制御技術の改善(レジンインジェクション)により、 ハ) 連続成形は連続積層・連続曲げ技術(開断面)、引抜加熱装置・連続硬化プロセス技術(開断面)の開発により、 ニ) 自動加工は、自動積層装置の開発により、 ホ) 高エネルギー二次加工は、レーザー技術等の適用により、 ②一部左記の点は残ったものの、総じて品質、生産性、形状寸法等の性能向上の技術的メドを確立。 ③い) ずれも、高度化研究の推進による一層の性能向上の可能性を内包(レーザー加工については概ね技術を確立)。</p>	<p>①従来から行なわれている成形加工法をベースとし、技術的蓄積あり。(比較的現世代的)。 ②一連の工程等の本格的改良に挑戦(次世代性)。 ③第一期としては、 イ) 本格的改良の第一歩。 ロ) エポキシを中心とする在来樹脂を対象。 ④利用分野の明確な概念、それに即した樹脂、方法等の最適組合せ等は、必ずしも明確化するには至っていない。 ⑤マトリックス樹脂開発との、より密接な連携を図れば、より効果的。</p>	<p>①新規あるいは改良高性能樹脂を用いた大型・複雑形状成形体試作への移行をねらいに、各プロセスの高度化と合わせ、 イ) 積層一体成形は、硬化モニター技術の発展。 ロ) モールド成形は、速硬化樹脂に絞り、最も適した樹脂の開発・改良、前処理、成形工程の改善。(モールド一体成形構造は②において脱オートクレーブ化を推進) ハ) 連続成形は、一連の連続要素の発展。 ニ) 自動加工は、精密・高速レイアップ化をめざした斬新成形法の探索・開発を推進。 ホ) 高エネルギー二次加工は一応の技術を確立したので当面中断し、必要に応じ成形技術の中で研究を推進。 ②以上と合わせて、脱オートクレーブ化を目指した斬新成形法の探索・開発を推進。 ③マトリックス樹脂との連携の一層の推進。</p>
設計言語技術の開発	<p>①イ) 強度、たわみ、振動(フラッタ)に対する最軽量の板厚構成を得るプログラム及び、 ロ) 剛性、強度、軽量性の3条件を満す構造要素設計方式の開発を推進。</p> <p>②い) ずれも目標性能を達成。またプログラムソフトのロジック、解析結果の收れん性も妥当。</p>	<p>①各種の限定的な条件下とは言え、プログラム・要素設計とも従来法を上回る技術的見通しを確認。 ②なお、外的因子の拡充、構成要素の高度化等による一層の性能向上の可能性を内包。</p>	<p>①大学の参画を得て、理論面の検討は図られてはいるが、なお、 イ) FRM設計、 ロ) 品質評価技術との連携を図れば、より効果的。 ②座屈研究は58年度から開始(プログラムへの導入は第二期に期待)</p>	<p>FRM設計技術との一体的推進とともに、品質評価化技術との連携を深めつつ、 ①最適化プログラムは、 イ) 座屈等外力因子の追加、 ロ) ソフトの高度化、 ハ) プログラムのパッケ化、精度の向上を主眼に、高度化を推進。 ②構造要素設計技術は、斬新構造法への発展を推進。 ③破壊機構等基本的現象の機構解析を拡充。</p>

樹脂系複合材料（F R P）第一期評価全体総括（案）

1. 第一期研究開発の評価

（1）基本計画における全体研究開発計画

1) 研究開発の目的

「航空宇宙機器、自動車等の輸送機器、エネルギー関連機器をはじめとして、幅広い分野で必要とされている軽量で高強度、高剛性の構造材料を実現するために、異方性を生かし、必要とする方向に、高剛性、高強度等を持たせることのできる複合材料にかかる基盤技術を確立することを目的とする。」

2) 研究開発の目標

「軽量で、高強度、高剛性の構造材料として、樹脂系複合材料を開発する。目標性能は下表のとおりとする。」

	目 標 値
樹脂系複合材料	①耐熱温度 250°C以上（強度保持率90%以上） ②引張強度 240kgf/mm ² 以上

1 目標値は標準試験片による値。

2 目標値に対する信頼度90%。

（2）第一期の研究開発

1) 全体計画上の位置づけ

「素材、中間素材の開発、試験片形状材の成形、加工法の開発及び基本構造要素の成形、加工に必要な設計技術の開発。」

2) 第一期研究開発推進目標

3) 第一期研究開発の評価

①第一期目標に照らしての実績評価

②手法等の技術的意義、今後の進展等の期待

③研究開発のフレームについての評価

3) 研究開発テーマの意義・基本計画目標の評価

2. 第二期の研究開発の方向

(1) 基本計画目標

基本計画に掲げられている目標項目に関する限り、そのレベルは概ね妥当と考えられるも、内外情勢のダイナミックな変化、研究開発の進展等に鑑み、利用分野の明確化を図りつつ目標項目の追加の要否等について体系的レビュー。

(2) 基本計画上の位置づけ

「素材・中間素材の性能向上、代表的構造要素の試作による成形・加工法の高度化、各構造要素ごとの最適設計技術の開発。」

(3) 第二期の基本的方向

1) 技術的メド見極めの加速

- ① マトリックス樹脂

- ② 成形技術等

開発樹脂の開発成形技術による成形検証を加速し、可及的速かに技術的メドを見極め、斬新技術への発展、移行を促進。

2) 斬新技術への積極的取り組み

- ① 斬新樹脂（P P Q 及び斬新高性能樹脂）

② 斬新成形加工法（精密自動レイアップ技術、ヒートransファー成形、斬新成形法）

- ③ 設計技術（斬新構造法）

3) テーマ相互間の連携の強化

- ① マトリックス樹脂、成形加工技術相互間

- ② 品質評価技術、設計技術相互間

- ③ F R P 設計技術、F R M 設計技術相互間

4) 研究体制の拡充、関係機関、関連プロジェクトとの有機的連携の強化

① 斬新樹脂開発等にそなえた研究体制の拡充

（例えば、国立試験研究所、大学の参画等の可能性検討）

② 関係機関との有機的連携

5) 利用分野の明確化

① 航空宇宙使用部材・使用環境の一層の明確化

② 自動車使用部材、使用促進のためのブレーカスルー課題の明確化

（含次世代自動車の概念の検討）

③ エネルギーを含むその他利用分野の漸次的明確化

6) 試験・分析・評価能力、内外データの立体的整備・活用機能の拡充

樹脂系複合材料(FRP) 第一期評価体系

(各研究項目の数字は
実施計画コードを示す)

基本計画目標

(1) 最終目標性能

- ①耐熱温度 250°C以上(強度保持率90%)
- ②引張強度 240kgf/mm²以上

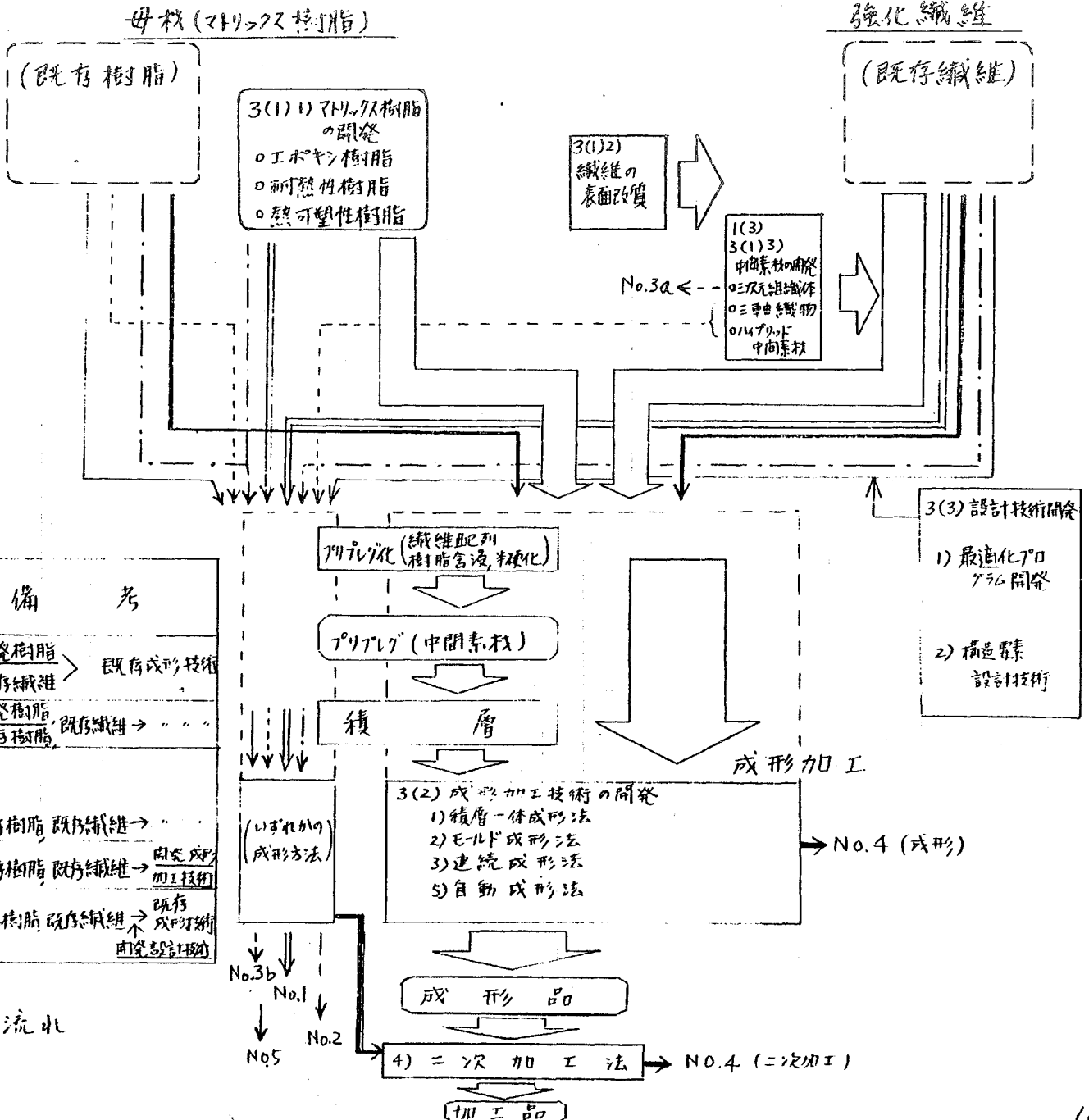
1. 目標値は標準試験片1:1倍
2. 目標値に対する信頼度 90%

(2) 第一期計画(56年度～58年度)

- ①素材の強度・剛性の向上、②強化繊維と樹脂との適合性の向上等高性能素材及び
- ③中间素材の開発を行なう。試験片形状の成形加工を行なうことにより④各種の成形加工法を開発する。また基本構造要素の減少化に必要な設計技術を開発。

評価 No.	コード 図	研究項目	評価体 質	試験実施者	備考
高 能 素 材	→	マトリックス樹脂の開発 (耐熱、熱可塑)	成形品	開発者(一部製研)	開発樹脂 > 既存成形技術 既存樹脂 > 既存成形技術
	→	繊維の表面改質	成形品	開発者	開発樹脂、既存繊維 > 既存樹脂
	→	中间素材の開発 (三次元織物、三軸、マトリッド)	研究 加成 成形品	a. 開発者 b. 開発者(一部 機技研)	既存樹脂、既存繊維 > 既存成形技術 既存樹脂、既存織維 > 研究成形 既存樹脂、既存織維 > 成形技術 既存樹脂、既存織維 > 成形技術 既存樹脂、既存織維 > 成形技術
成形 技術	→	成形加工技術の開発	成形品	開発者	既存樹脂、既存織維 > 成形技術 既存樹脂、既存織維 > 成形技術
	→	設計技術開発	成形品	開発者	既存樹脂、既存織維 > 成形技術 既存樹脂、既存織維 > 成形技術

最終段階における評価の流れ



資料 N °

取扱注意

樹脂系複合材料（F R P）第一期評価関連資料総括表（案）

昭和 59 年 2 月 27 日

工業技術院
次世代産業技術企画官室

複合材料(CFRP) 第一期評価実験結果表一 N o . 1 マトリックス樹脂

「第一期実績値」は59年2月15日現在
(最終評価委員会までに一部追加・修正あり)

研究項目	研究実施機関	左以外の試験実施機関	第一期目標性能及び第一期実績												世界レベル	備考		
No. 1 マトリックス樹脂の開発 (56~)			力学特性(注)						成形性						(注) ①強化繊維はトレカT400, Vf ≥ 65%とする。 ②力学特性は、試験片の平均値とする。 (目標値に対する信頼度50%) ③RTは室温(25°C) HTはエポキシ樹脂の場合200°C 耐熱樹脂の場合250°C			
			0°引張り			0°曲げ			繊維体積含有率(%)	キュア条件			ポストキュア条件					
			強度(kgf/mm²)			強度(kgf/mm²)				温度°C	圧力(kgf/mm²)	時間	温度°C	時間				
			-60°C X 10分	RT	HT X 10分	RT	RT	RT		10分	500時間	RT	180	7	4	220	6	
1. エポキシ樹脂	目標値		205 以上	240 以上	216 以上	15.5 以上	1.55 以上	205 以上	155 以上	135 以上	11 以上	65 以上	180 以下	7 以下	4 以下	220 以下	6 以下	
	世界レベル		202 ~217			147~ 16.1	1.44 ~207	182					180	7	2	190 ~230	4~6	
①高架橋骨格(PGP)	研究協会	(製科研)		238		15.9	1.50	296	223		11.5	66.1	180	6	2	190	4	
②疎水性骨格(PGN)	"	(")	215	212	15.7	1.47	224	140	155	13.5		85.0	180	*	0.5	220	4	
③高剛性骨格(PGI)	"	(")	225	214		14.0	1.48	232	86		12.1	63.2	200	7	4	220	6	

研究項目	研究実施機関	左以外の試験実施機関	第一期目標性能及び第一期実績												世界レベル	備考			
No. 1 マトリックス樹脂の開発 (56~)			力学特性(注)								成形性						(注) ①強化繊維はトレカT400, Vf ≥ 65%とする ②力学特性は、試験片の平均値とする。 (目標値に対する信頼度50%) ③RTは室温(25°C) HTはエポキシ樹脂の場合200°C 耐熱樹脂の場合250°C		
			0°引張り				0°曲げ				繊維体積含有率 (%)	温度 °C	キュア条件		ポストキュア条件				
			強度 (kgf/mm²)			弹性率 10° (kgf/mm²)	破断伸び (%)		強度 (kgf/mm²)				温度 °C		圧力 (kgf/mm²)		時間	温度 °C	時間
			-60 °C X 10分	RT	HT X 10分	RT	RT	RT	RT	HT 10分	HT 500 時間	RT							
2.耐熱性樹脂	目標値		170 以上	210 以上	190 以上	15.5	1.35	205	155	135	9	65 以上	290	14	4	320	6	(3)米国 (4)米国, 1978 (5)米国, 1982 (6)米国, 1976 (7)米国, 1976	
	世界レベル			188		18.9	1.11	155 ~219					288 ~390	14 ~28	2	316 ~371	4~16		
①末端基制御型 ポリイミド(TPI)	研究協会	(製科研)	188	190	150	17.4	1.09	252	186		11.5	72.3	290	14	2	320	4		
②新規オリゴマ型 ポリイミド(OPI)	"	(〃)		238	222	15.6	1.59	243	168	155	16.5	65	280	*	2	320	4		
③新規主鎖型 ポリイミド(MPI)	"	(〃)	222	202		13.7	1.38	245	173		6.8	64.4	290	14	4	320	3		
④ポリキノキサリン 系樹脂(PPQ)	"	(〃)		166		15.4	1.08				9.0		250	30	1	350	4		
3.熱可塑性樹脂	研究協会	(製科研)	既存各種熱可塑性樹脂について、炭素繊維強化複合材料のマトリックス樹脂としての可能性の有無を検討												各種既存熱可塑性樹脂 と炭素繊維(T300)とを 成形した際の値を示す				
ポリスルファンUD				167		14.6		180			9.5	60.2	330	30	分 15				
ポリエーテル スルホンUD				146		14.3		161			8.1	59.7	350	30	15				

＊ホットプレス

複合材料(CFRP) 第一期評価目標達成率統括表 - No. 2 繊維の表面改質

研究項目	研究実施機関	第一期目標性能及び第一期実績		世界レベル	備考
No. 2 繊維の表面改質		層間せん断強度 (kgf/mm ²)			
1. 炭素繊維	(1) エポキシ樹脂	目標値	11以上	(1)米国 (2)米国 (53)米国, 1982 (53)米国技術資料	
		世界レベル	9.7~13.0		
	①高架橋骨格	研究協会	11.9		
	②疎水性骨格	"	11.2		
	③高剛性骨格	"	12.2		
	(2) 耐熱性樹脂	目標値	9以上	(3)米国カタログ (4)米国1978	
		世界レベル	9.7~11.2		
	①末端基制御ポリイミド	研究協会			
	②新規オリゴマ型ポリイミド	"	16.5		
	③新規主鎖型ポリイミド	"	11.2		
2. アラミド繊維 (56~)	④ポリキノキサリン骨格樹脂	"	9.0		
	目標値	7以上		(8) USP, 1978 (9)米国技術資料 (9A)米国技術資料	
		世界レベル	5.4~7.3		
		研究協会	7.2		

複合材料(FRP)第一期評価実験資料総括表一 N.O. 3 中間素材の開発

研究項目	研究実施機関	左以外の試験実施機関	第一期目標性能及び第一期実績		世界レベル	備考	
No. 3 中間素材の開発			力学特性	素材の形態等			
1.三次元織物中間素材 (57~)	目標値		引張強度 複合機強度 相似配向一方向在強度 (%)	衝撲強度 対炭素繊維/ケブラー系 アップ率 (%)	軽量で強度、弾力率の優れた三次元組織を有する柱状炭素繊維複合材料の織成法及び、成形法を開発。 ＊①製織中に、イ)糸の配列密度 ロ)組織の変更 ハ)曲面の形成ができ、二)円柱・環状の試形が可能な織成法を考案し、一部試作。 ②試織繊維をエボキシ、樹脂に浸透後加熱硬化し成形。 ③成形複合機の機械的特性、アブレーション特性を評価。		
	世界レベル						
	織高研						
2.三軸織物中間素材 (56~)	目標値	55以上		炭素繊維が3軸(90°±α°)方向に配列し、かつ各軸方向の繊維が互いに織物構造を有する三軸織物 ＊①パイプレン構造三軸織物を設計し、米Barber-Colman Co., 織機で試織。 ②衝撲強度目標性能達成。			
	世界レベル						
	研究協会 (機技研)						
3.ハイブリッド中間素材 (56~)	目標値		30以上	炭素繊維/アラミド繊維系新規ハイブリッド構造 ＊①炭素繊維/HM-50系層間ハイブリッド複合機を作成 ②衝撲強度目標性能達成。120kgfcm/cm ² (ケブラー85~90 kgfcm/cm ²)			
	世界レベル						
	研究協会						

*[] 内は実績を示す。

複合材料(FRP)第一期評価関連資料総括表一覧 第一期加工技術(1)

研究項目		研究実施機関	第一期目標性能及び第一期実績											世界レベル	備考	
No. 4 成形加工技術の開発(1)			形状寸法	品質								生産性			主な適用分野	
			形状寸法	纖維体積含有率(%)	空洞率(ボイド率)(%)	引張強さ バラツキ(%)	複合割比(ROM)(%)	引張強さ せん断き(%)	引張強さ バラツキ(%)	弾性率10 ¹⁰ (kgf/cm ²)	方向性(%)	成形サイクル	成形圧力(kgf/cm ²)			
1. 積層一体成形加工法	1-1 開断面構造(56~)	目標値	8以下	65以下	1以下	10以下	80以上	10以下						分割法の70%以下	(12)米国~'83 SPEC	航空機
		世界レベル		57~69	2											
		研究協会	+7.1 -4.1	66.2 ~67.4	0 ~0.2	+7.8 -8.8	88.1	+2.8 -5.6						71.4		
	1-2 閉断面構造(56~)	目標値	8以下	65(クロスは60)以上	1以下	10以下	80以上	10以下						分割法の70%以下		航空機
		世界レベル		57~69												
		研究協会	±3.9	67.7 (60.8)	0.6 ~0.9	3.5 ~5.5	100	11.5 ~12.1						66.0		
2. モールド形成法	2-1 一体構造(56~)	①短繊維	目標値	20以下	35~45	1以下	10以下	60以上						分割法の70%以下	(12)米国 1969 (16)米国 1971	業界(航空機)
		世界レベル		50~65			=20									
		研究協会	+1.8 -5.2	35.7	0.8 (0.4)	5.2	76.0							64.9		
	2-2 ホットプレス/ストレッч(56~)	②長繊維	目標値	10以下	50以上	1以下				10以下	7以上			分割法の70%以下	(17)米国 (18)米国~'83 SPEC	業界(自動車)
		世界レベル		60	2						7.2					
		研究協会	+18.8 -17.6	58.2	0 (0.03)					19.7	7.0			65.7		
	2-3 レジン・インジェクション(56~)	①ホットプレス	目標値	5以下					※10以下	※3以上	※15以上	3分以下	40以下	(19)日本カタログ (20)米国 1979 (21)日本	自動車	
		世界レベル								1.6~3		1~3	30~70			
		研究協会	+2.2 -1.6						+1.8 -1.7	3.0	8.0	常圧	50以上			
		②ストレッチ	目標値	8以下					※10以下	※3以上		20分以下	10以下			
		世界レベル								0.8						
		研究協会	+1.8 -2.9						+4.9 -4.0	3.1		20	常圧		(21A)日本、技術資料	自動車
		目標値	8以下						※10以下	※3以上	※15以下	20分以下	10以下			
		世界レベル								0.9 ~1.6		38~90	2~7			
		研究協会	+7.6 -7.2						±5.7	3.6	6.4	16	5.8		(22)米国 1982 (23)米国 1981 (24)米国 1981 (26)米国 1981 (29)日本	自動車

複合材料(FRP)第一期評価関連資料総括表-No.4成形加工技術(1)

研究項目	研究実施機関	第一期目標性能及び第一期実績											世界レベル	備考					
No.4 成形加工技術の開発(2)			形状寸法	品質								生産性		主な適用分野					
				繊維体積含有率(%)	空洞率(ボイド率)(%)	引張強さ(パラツキ)(%)	複合則比(ROM)(%)	層間せん断強さ(パラツキ)(%)	せん断強さ(kgf/mm ²)(パラツキ)	引張弾性率(パラツキ)(%)	複合則比(ROM)(%)	方向性(%)	成形サイクル(成形圧力(kgf/cm ²))						
3.連続成形法	3-1 開断面構造(56~)	目標値	5以下	60以下	1以下						80以上		30m/時以上		宇宙(航空)				
		世界レベル																	
		研究協会																	
	3-2 閉断面構造(56~)	目標値	5以下	60以上	1以下						80以上		2m/時以上		宇宙				
		世界レベル																	
		研究協会	+10.1 -11.3	60.8	0.4						96		2.0						
4.自動加工法(56~)		目標値	テープ間スキップ 0.8mm以下	60以上	1以下				11以上						航空機				
		世界レベル																	
		研究協会	0~1.7 (平均 0.55)	68.9	0				13.5										
5.高エネルギー二次加工法(56~)			生産性		加工工性									航空機					
			成形サイクル(m/時)		加工変質域(mm)		直角度		加工粗さ(S)										
5-1 レーザー加工法	目標値	48以上		0.8以下		0.1以下		12以下				(25)米国~'83 SPEC							
	世界レベル	11~38		0.8		0.8		12											
	研究協会	78		1.6		0.07		10S				(25)米国~'83 SPEC							
5-2 その他の高エネルギー加工法 液体ジェット加工 超音波穴明け	目標値	レーザー加工技術以外の高エネルギー二次加工法についての適用可能性を検討																	
	世界レベル																		
	研究協会	30 0.5(穴明け)		-		0.08 0.01		50S以上 10S以下											

複合材料(FRP)第一期評価関連資料総括表-No. 5 設計技術

研究項目	研究実施機関	第一期目標性能及び第一期実績			世界レベル	備考
No. 5 設計技術の開発						
1.最適化プログラム (58~)	目標値 世界レベル 研究協会	強度	挠み	振動(フリッタ)		
		$\alpha = \frac{\epsilon_{\text{試験値}}}{\epsilon_{\text{設計値}}} \quad (\epsilon: \text{歪度})$	$\beta = \theta_{\text{試験値}} - \theta_{\text{設計値}} \quad (\theta: \text{振れ角度}^{\circ})$	$\gamma = \frac{w_{\text{試験値}}}{w_{\text{設計値}}} \quad (w: \text{一次振動数})$		
		0.8 ≤ α ≤ 1.2	β ≤ 0.5°	0.8 ≤ γ ≤ 1.2		
		0.85 ~ 1.12	0.10 ~ 0.30	1.07		
	評価委員会の指定する専門家による次の項目の評価を行う ①最適化ソフトのロジック ②解析結果の取れん性の検証・評価 (ソフトウェアのロジック及び解析結果の取れん性とも妥当)					
		剛性	強度	重量		
		対素材%	対素材%	対素材%		
2.構造要素設計技術 (58~)	目標値 世界レベル 研究協会	100以上	80以上	200以下		
		150	83	183		

『複合材料の研究開発』

樹脂系複合材料(FRP)の開発

第一期

研究開発実績報告書

昭和59年3月一日

工業技術院
次世代産業技術企画官室

目	次	
(研究項目)	(実施計画コード)	(ページ)
No 1 マトリックス樹脂の開発	3 (1) 1)	
1 <u>エポキシ樹脂</u>		1
①高架橋骨格エポキシ樹脂		2
②疎水性骨格エポキシ樹脂		8
③高剛性骨格エポキシ樹脂		18
2 <u>耐熱性樹脂</u>		26
①末端基制御ポリイミド樹脂		27
②新規オリゴマ型ポリイミド樹脂		35
③新規主鎖型ポリイミド樹脂		45
④ポリキノキサリン系樹脂		53
3 <u>熱可塑性樹脂</u>		63
 No 2 繊維の表面改質	3 (1) 2)	
1 <u>炭素繊維</u>		71
2 <u>アラミド繊維</u>		78
 No 3 中間素材の開発		
1 <u>三次元繊物中間素材</u>	1 (3)	83
2 <u>三軸繊物中間素材</u>	3 (1) 3)	95
3 <u>ハイブリッド中間素材</u>	3 (1) 3)	103
 No 4 成形加工技術の開発	3 (2)	
1 積層一体成形加工法	3 (2) 1)	
1-1 <u>開断面構造</u>		111
1-2 <u>閉断面構造</u>		122
2 モールド成形法	3 (2) 2)	
2-1 <u>一体構造</u>		134
2-2 ホットプレス／ストレッチ		
2-2-1 <u>ホットプレス法</u>		146
2-2-2 <u>ストレッチ法</u>		154
2-3 <u>レジンインジェクション法</u>		162

3	連続成形法	3	(2)	3)	
3-1	<u>開断面構造</u>				1 7 1
3-2	<u>閉断面構造</u>				1 8 0
4	自動加工法	3	(2)	5)	1 9 0
5	高エネルギー二次加工法	3	(2)	4)	2 0 0
1	レーザー加工法				2 0 1
2	その他の高エネルギー加工法				2 0 9
No 5	設計技術の開発	3	(3)		
1	<u>最適化プログラムの開発</u>	3	(3)	1)	2 1 7
2	<u>構造要素設計技術の開発</u>	3	(3)	2)	2 3 7

(アンダーラインを付したテーマ単位に要旨を付す)

要 旨

研究開発項目名 マトリックス樹脂の開発(エポキシ樹脂)

研究開発実施者名 (財) 次世代金属・複合材料研究開発協会

1. 研究開発期間 昭和56年度～昭和58年度

2. 第一期開発のポイント

トレカT400を強化繊維とした一方向CFRPの

室温平均引張強さ 240 kgf/mm^2 (最終目標並)

耐熱温度 200°C (強度保持率 90%)

を達成するエポキシ樹脂を開発する。(成形性は既存オートクレーブの使用可能の範囲とする。)

3. 各年度の実施計画のポイント

昭和56年度：目標へのアプローチ手段の探索

昭和57年度：3ルートによる耐熱性向上の研究

- (1) 高架橋骨格の導入
- (2) 疎水性骨格の導入
- (3) 高剛性骨格の導入

昭和58年度：候補樹脂の合成条件、成形条件の改良研究

4. 第一期の実績のポイント

3種のルートの研究結果、つぎのとおり目標達成の有望な樹脂が見出された。

- (1) 高架橋骨格：PGP型エポキシ樹脂
- (2) 疎水性骨格：PGN型エポキシ樹脂
- (3) 高剛性骨格：PGI型エポキシ樹脂

PGI型エポキシ樹脂は要求成形温度では成形品中に溶媒が残存し充分な力学特性の発揮が得られなかった。

研究開発結果要約表

ナブテマ名:	3(1)高性能素材の開発 1) ハーフスラット樹脂		
研究開発手法:	マトリックス樹脂: 高架橋滑槽面板工半樹脂(DGP型)		
前提条件等	強化織維: 東レ(株)製 T400 成形方法: 試験片標準成形法(アートクルーバ成形)		
項目	試験方法	要求性能	試験結果
0°引張強度 (kgf/mm ²)		-60°C RT 200°C 200°C	237 238 216 184
引張強度 (kgf/mm ²)		RT 200°C RT	15.5 15.9
0°引張弾性率 (10 ³ kgf/mm ²)	$\text{引張弾性率} = \frac{P_{0.6}-P_{0.1}}{P_{0.1}} \times 100\%$ $P_{0.6} = 0.005 \text{ kgf/mm}^2$ $P_{0.1} = 0.1 \text{ kgf/mm}^2$	RT	—
0°破断伸び (%)	破断伸び = $\frac{引張強度}{引張弾性率} \times 100$	RT RT RT	1.55 1.50 1.55
0°引張強度 (kgf/mm ²)		200°C (10mm) RT	296 233 205
引張強度 (kgf/mm ²)	引張強度: 2.0-2.5 引張強度: 2.0-2.5 引張強度: 2.0-2.5	200°C (50.0mm) RT RT	135 135 —
115.5 (kgf/mm ²)	○3点曲げ(スペル/厚さ比4) ○試験寸法: 2.5mm X 2.5mm X 2.5mm	—	—
Vf (%)	○荷重分散解法.	—	—
成形	要求性能	試験結果	
成形温度		200°C X 250mm: 幅 1~2mm	
半寸	180°C X 4H	180°C X 2H	6kgf/cm ²
成型	220°C X 6H	190°C X 4H	
形状等	①高温強度はアラバハクのため測定できなかっア。		

研究開発実績

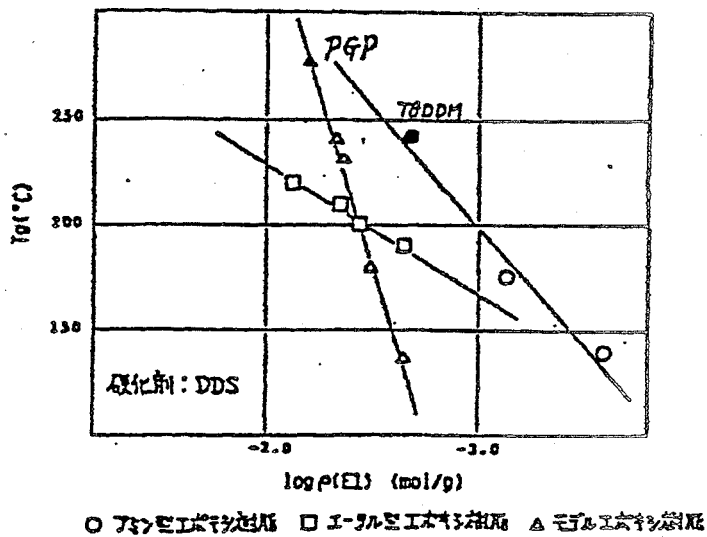
研究開発項目名 高架橋耐熱性エポキシ樹脂（PGP型）研究開発実施者名 (株)次世代金属・複合材料研究開発協会

1. 研究開発期間 昭和56年度～昭和58年度

2. 研究開発手法、前提条件等

1) エポキシ樹脂の架橋密度を向上させることによって、エポキシ樹脂の耐熱性を向上させる方法について研究を行った。

市販のエポキシ樹脂並びに合成したモデルエポキシ樹脂を用いて、エポキシ樹脂の架橋密度を向上させる各種の方法について基礎研究を行った。その結果、耐熱性エポキシ樹脂としては、多官能性カルボン酸物から合成されるポリエーテルグリセジルエーテルが有望であることが分った。



2) この成果をもとに、ポリエーテルグリセジルエーテルの分子設計を行い、最適合成法を開発してPGP型エポキシ樹脂を開発した（特許申請：合成法 1件、CFRP用マトリックス樹脂 2件）。

3) PGP型エポキシ樹脂は $T_g 268^\circ\text{C}$, 弾性率 396 kgf/mm^2 で既存の高性能エポキシ樹脂(TGDDM)に比べて耐熱性、耐水性並びに力学特性が向上した。さらに PGP型エポキシ樹脂は、現行のエポキシ樹脂と同等の成形性を有している。

3. 研究開発結果。

(1). 実績のポイント(詳細別紙).

- ・引張強度はほぼ目標に近いレベル(95%以上)に到達したが100%達成には至らなかった。
- ・曲げ強度並びに層間せん断強度(ILSS)は目標を達成。とくに曲げ強度は目標値の144%レベルに達した。
- ・200°Cの曲げ強度保持率(75%)から200°C耐熱性を有することが確認された。

(2). 注目すべき知見.

- ・PGP型エポキシ樹脂は既存のエポキシ樹脂に比べて曲げ強度が著しく高い。

(3). 一連のプロセスの中で特記すべき特徴的技術.

- ・立体障害のない高架橋骨格工エポキシ樹脂の分子設計
(特許出願手続中)
- ・高純度エポキシ樹脂合成法の開発(特許出願手続).

(4). 特に効果を發揮した技術.

- ・高分子化.

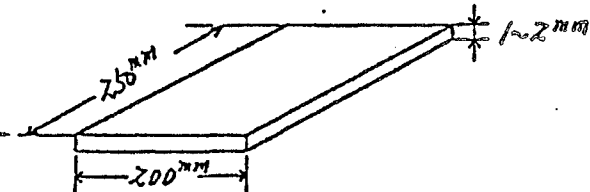
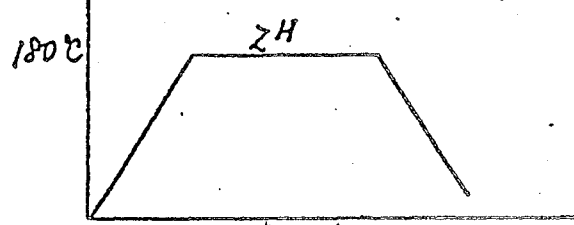
(5). 未到達事項の問題点と解決の前途.

- ・分子量分布と組成の最適化による引張強度(伸び)の一層の向上
(引張強度 $\geq 40 \text{ kgf/mm}^2$, 信頼度90%の達成)を図る。

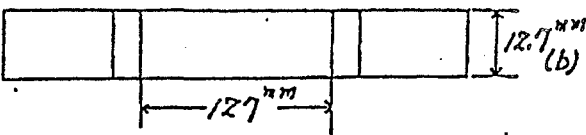
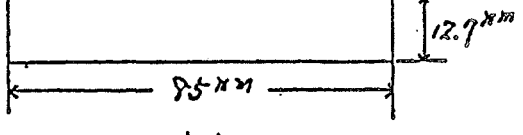
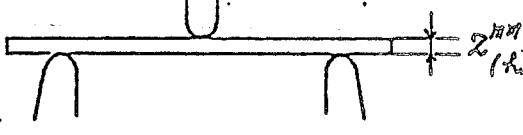
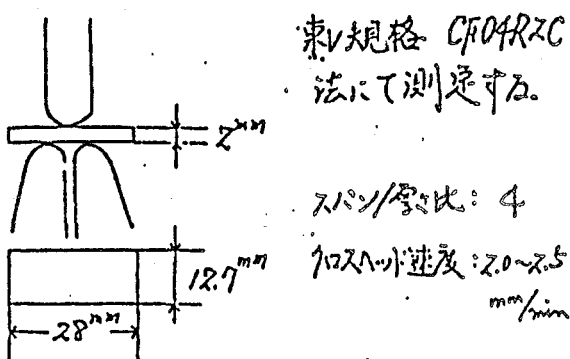
研究開発結果の詳細

3(1). 高性能素材の開発

1. 試験体 サブマスク: 1) マトリックス樹脂の開発-1. エボキシ樹脂 (PGP型)

項目	内容
① 形状・寸法	平板状試験片 
② 使用材料	マトリックス樹脂: 高架橋骨格耐熱エボキシ樹脂 (PGP型) 強化繊維: 東レ(株) トライT400 (測定法: JIS R-7601(1980)) 引張強度: 42.0 kgf/mm^2 引張弾性率: $24.0 \times 10^3 \text{ kgf/mm}^2$ 引張破断伸び: 1.75%
③ 中間素材作成法	主要工程: プリプレグ作成(D法) → 乾燥(120°C × 10分)
④ 成形条件	A. キュア条件 (オートクレーブ)  B. アフターキュア条件 (オーブン) $190^\circ\text{C} \times 4\text{H}$

2. 試験

項目	目標性能	試験方法	試験結果
① 0°引張り	<ul style="list-style-type: none"> 引張強度 (kgf/mm^2) -60°C: 205 RT: 240 200: 216 引張弾性率 (kgf/mm^2) RT: 15.5×10^3 伸び (%) RT: 1.55 	<p>東レ規格 CF04RZC にて測定する。</p>  <p>引張速度: 1.0 mm/min</p> $\text{引張強度} = \frac{P}{b \cdot L} (\text{kgf/mm}^2)$ $\text{引張弾性率} = \frac{P_{0.6} - P_{0.1}}{0.005 b \cdot L} (\text{kgf/mm}^2)$ $\text{引張破断伸び} = \frac{\text{伸び}}{\text{弾性率}} \times 100 (\%)$ <p>但し。 P_c = 破断時の荷重 $P_{0.6}$ = 歪み 0.6% 時の荷重 $P_{0.1}$ = 歪み 0.1% 時の荷重</p>	<p>-60°C: 247.6 227.8 235.6 <u>× 237</u></p> <p>RT: 強度 弾性率 伸び 245 16.2 1.51 228 16.0 1.42 231 16.3 1.42 246 16.1 1.53 242 15.1 1.60 <u>× 238 15.9 1.50</u></p> <p>200°C > 184 $(184 \text{ kgf/mm}^2 \text{ で } 97^\circ)$ ハクリにて測定不能</p>
② 0°曲げ	<ul style="list-style-type: none"> 曲げ強度 (kgf/mm^2) RT: 205 200°C: 155 (10分) 200°C: 135 (500H) 	<p>東レ規格 CF04RZC 法にて測定する。</p>   <p>スパン/厚さ比: 32 引張速度: $2.0 \sim 2.5 \text{ mm/min}$</p>	<p>RT: 303 289 <u>× 296</u></p> <p>200°C (10分) 224 (74%) 222 (77%) <u>× 223 (75%)</u></p> <p>200°C (500H) 224 232 228 <u>× 228</u></p>
③ ILSS	<ul style="list-style-type: none"> ILSS (kgf/mm^2) RT: > 11 	 <p>東レ規格 CF04RZC 法にて測定する。</p> <p>スパン/厚さ比: 4 引張速度: $2.0 \sim 2.5 \text{ mm/min}$</p>	<p>12.3 12.0 <u>11.6</u> 12.0</p>

項目	目標性能	試験方法	試験結果
④ V_f	65%以上	<ul style="list-style-type: none"> 化學天秤によって試料の重量を計測する。 東レ規格 CFR4RZC 法にて密度を計測する。 加熱濃硝酸により樹脂を溶解分解する。 纖維を洗浄後、化學天秤にて纖維重量を計測する。 次式に則り V_f を算出する。 $V_f = \frac{\text{纖維重量} \times \text{試験片密度}}{\text{纖維密度} \times \text{試験片重量}} \times 100 (\%)$	66.6 66.3 66.0 <u>65.6</u> 66.1

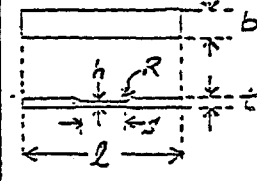
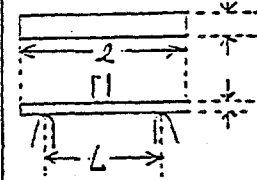
3. 使用試験機材

機材名稱	仕様概要	備考
① 機材試験機	<ul style="list-style-type: none"> 機器名稱：オートグラフ（島津製作所） 荷重容量：10t 	
② 化學天秤	<ul style="list-style-type: none"> 最大秤量：160g 最小目盛：0.0001g 	

4. 備考

11	12	59/1	2	3
エボキシ合成				
$\xrightarrow{200^\circ\text{C} \times 5\text{h Aging}}$			引張り試験再評価*	
			$\xrightarrow{\text{*高温用タブ接着剤の検討中}}$	

研究開発結果彙約表

サブテーマ名	3(1)高活性素樹脂の開発、1)マトリックス樹脂の開発①エポキシ樹脂(PGN型)				
研究開発手法	マトリックス樹脂：疎水性骨格耐熱性エポキシ樹脂 (PGN型)				
前提条件等	強化繊維：炭素繊維トロカT400 成形法：試験片標準成形法				
研究開発結果	項目	試験方法	要求性能	試験結果	
	引張強さ (Kgf/mm ²)	 $b = 12.7 \text{ mm}$ $t = 2 \text{ mm}$ $L = 127 \text{ mm}$ $h = 1 \text{ mm}$ $S = 14 \text{ mm}$ $R = 20 \text{ mm}$ $\text{引張強さ} = \frac{P}{bh} (\text{Kgf/mm}^2)$	-60°C R.T. 200°C	205 Kgf/mm ² 240 Kgf/mm ² 216 Kgf/mm ²	210 Kgf/mm ² 215 Kgf/mm ² 212 Kgf/mm ²
	引張弹性率 (10 ³ Kgf/mm ²)	$\text{引張弹性率} = \frac{P'}{bh} (\text{Kgf/mm}^2)$ ($P' = 100$ Kgf/mm ² で計算) で計算の範囲	R.T.	15.5×10^3 Kgf/mm ²	15.7×10^3 Kgf/mm ²
	引張伸び (%)	ストレッチ法	R.T.	1.55 %	1.47 %
	曲げ強さ (Kgf/mm ²)	 $b = 12.7 \text{ mm}$ $h = 2 \text{ mm}$ $L = 70 \text{ mm}$ $L = 64 \text{ mm}$ $\text{曲げ強さ} = \frac{3P_1}{2bh^2} (\text{Kgf/mm}^2)$	R.T. 200°C (10min.) 200 °C (500hrs.)	205 Kgf/mm ² 155 Kgf/mm ² 135 Kgf/mm ²	224 Kgf/mm ² 140. Kgf/mm ² 155 Kgf/mm ²
	層間せん断強さ (Kgf/mm ²)	三点せん断法 $\text{層間せん断強さ} = \frac{3P}{4bh} (\text{Kgf/mm}^2)$	R.T.	≥ 11.0 Kgf/mm ²	13.5 Kgf/mm ²
	Vf (%)	$V_f = \frac{\frac{V_f}{V_e}}{\left(\frac{V_f}{V_e} - \frac{V_e}{V_f}\right)} \times 100$ (%)	—	≥ 65 %	65 %
	項目	要求性能	試験結果		
	成形品寸法		$150 \text{ mm} \times 127 \text{ mm} \times 2 \text{ mm}$		
	キニア	$180^\circ C \times 7 \text{ Kgf/mm}^2 \times 4 \text{ hr.}$	$180^\circ C \times \text{ Kgf/mm}^2 \times 0.5 \text{ hr.}$		
	ポストキニア	$220^\circ C \times 6 \text{ hr.}$	$220^\circ C \times 4 \text{ hr.}$		
	折見等				

研究開発実績

研究開発項目名 球水性骨格耐熱性エポキシ樹脂（PGN型）

研究開発実施者名 (財) 次世代金属・複合材料研究開発協会

1. 研究開発期間 昭和56年度～昭和58年度

2. 研究開発手法、前提条件等

(1) アプローチ区分

耐熱性を改善しつつ耐水性を向上させる手段として、エポキシ樹脂に対して、

(a) フッ素、(b) ナフタレン骨格のような球水性構造の導入を試みた。

(2). フッ素の導入

フッ素の導入はC—F結合の強さ及び不活性や耐水性などの特徴があるので、耐熱性及び耐水性の向上を期待した。試験結果によれば、フッ素を導入したエポキシ樹脂は耐水性の改善は示したものの硬化物のTgで表わされる耐熱性及び熱分解強度は改善されず、したがって本研究の目的及び目標の達成のための手段としては好適でないと判断した。

(3). ナフタレン骨格の導入

球水性が強くかつ耐熱性の向上が期待される骨格として多核芳香環の導入を計画し、なかでもナフタレン骨格を基本構造の中に入れるなどを試めた結果、α-ナフトールを出発物質とする新規なグリシジル化合物が、耐水性も改善されかつ現行の耐熱型エポキシ樹脂（たとえばTBMEDA理工エポキシ樹脂）に比べて耐熱性の向上も著しいことを見出した。（日本特許出願済み、外國特許出願準備中）すなわち、PGN型エポキシ樹脂が「球水性骨格耐熱性エポキシ樹脂として主眼めて高いポテンシャルを有することを見出した。

(4). 炭素繊維(トレカT400)/PGN型エポキシ樹脂系コンポジット。

PGN型エポキシ樹脂は、現行のエポキシ樹脂に比べて硬化前の流動特性など異なり、中間素材化及び成形硬化の条件についてはさらに最適化研究を展開することが好ましいが、コンポジット特性は研究開発結果要約表にも示したように特性的ヒバランスのとれた素材である。とくに、200°Cでの熱時引張強度が21.2kgf/mm²に達したことはエポキシ樹脂としては驚異的であり、今後改良開発をいそぎ、新規な高性能素材開発を完成したい。

3. 研究開発結果.

(1) 実験のポイント.

本研究は、疎水性骨格の導入が耐熱性向上に資することに着目し、フッ素の導入、ついでナフタレン骨格の導入を試みてきたものである。

すなわち、 α -ナフトール系化合物のポリグリシル化反応により得られるPGN型エポキシ樹脂は、ホットメルト型の特徴を發揮しつつ、耐熱性及び力学特性においてきわめて高いレベルに到達した。

[図1]に示すように、PGN型エポキシ樹脂硬化物のTg (DMA法) はたゞトキュア条件の選定によって 100°C にまであげうるといきすぐれた耐熱性をもち。しかも[表1]に示すように吸水率も 3% 以下となって、耐水性では最もすぐれていることが実証されているフッ素導入型のエポキシ樹脂と同等以上の耐水性を有することを見出した。

こうして得られたPGN型エポキシ樹脂系コンポジット(強化樹脂、トレカT400)は、研究開発結果要約表に示したように、力学特性、耐熱性などの性能の上できわめてバランスのとれた新規素材である。

さらに成形性の面でも本質的にはホットメルト型の中間素材を提供しうるものでキュー温度 $180 \sim 190^{\circ}\text{C}$ での融形が可能である。今後さらに分子量分布及び中間素核化方法等の最適化によって、一層の成形性並びに高温強度の向上が可能であると考えている。

(2) 注目すべき知見.

疎水性骨格の導入のひとつとして検討を加えたフッ素導入型エポキシ樹脂に関しては、[表2]に示すようなくすぐれた耐水性を示すことを見出した(吸水率 $\sim 3\%$)が、一方硬化物のTg (DMA法)に見られるように耐熱性の向上、とくに高温強度の改善が期待されないという知見をえた。したがって、本研究の目的とする短期/長期耐熱性の確保には効果的ではないと判断した。

しかしながら、耐水性、耐候性、耐薬品性などの特性が耐熱性以上に重要視される応用分野に対してはフッ素の導入は有効な手段のひとつでありうると考えている。

(3) 特徴的技術

PGN型エポキシ樹脂の特徴はナフタレン骨格の導入にある。すなわち、きわめて高い耐熱性を發揮しながらのナフタレン骨格の導入によることは[図1]からも明らかである。〔[図1]中記号PGで表わしているのがベンゼン環型の耐熱

ニホキシ樹脂のプロットであり、本研究のPGNはそれよりはるかに高いTgを有している。)

(4) 特に効果を發揮した技術

硬化前のエホキシ樹脂の分子量を制御することは、硬化と至る樹脂の流動特性及び反応性を制御するだけでなく、硬化後の成形品の特性に大きく影響する。

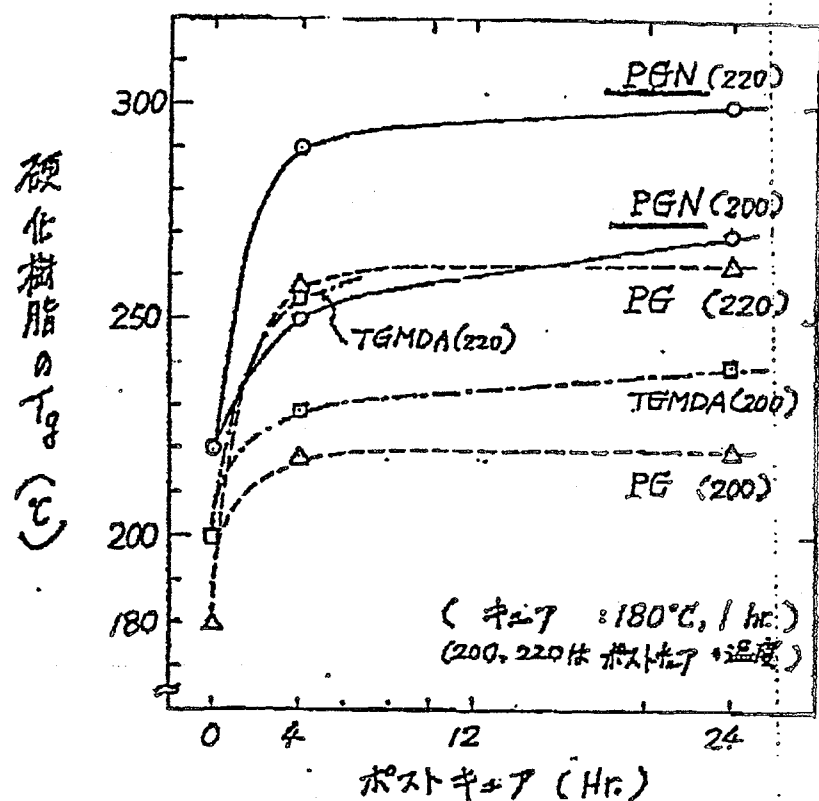
今後、分子量及びその分布の最適化並びに中間素材化方法の適正化によりな一層の特性向上を図る。

(5) 問題点と解決策について。

上述のように、PGN型エホキシ樹脂は、耐熱性・力学特性・成形性等バランスのとれたきわめて高性能のコンポジットを提供する素材であることを見出した。しかしながら、現状到達レベルから判断すれば、PGN型エホキシ樹脂系コンポジットは、つきの2点についてより向上の必要がある。

そのオ一は 0° 引張強度の向上であり、オニは熱時強度の改善である。これらの課題を解決する方策はすでに述べてきたような技術検討、すなわち、次期以後

- ①分子量分布等を含む樹脂設計の最適化。
 - ②纖維引きぞろえ方法等を含む中間素材化方法の適正化。
 - ③樹脂構成及び中間素材構成に好適な硬化・成形条件の選定。
- などについて、重点的に検討を加えてより高性能化を図るとともに、成形技術への移行を促進し複合材としての性能発揮の可能性検証に備えてゆく計画である。



[表1] PGN型エポキシ樹脂の特性

エポキシ樹脂		硬化条件			硬化物特性	
		硬化剤	温度 (°C)	時間 (hr.)	T_g (°C) (DMA法)	吸水率 (%) (10日)
PGN	液体性触媒 耐熱エポキシ樹脂	DDS	220	1	280	2.7
		DICY	190	1	260	4.0
		MNA	200	1	230	3.8
TGMDA (比較)	$\text{CH}_2=\text{CH}-\text{CH}_2$ $\text{CH}_2=\text{CH}-\text{OH}$	DDS	220	1	245	6.7
		DICY	190	1	235	9.2

* DDS: ラミダジニア=ルスルホン

DICY: デカインジシアフ

MNA: メチルメタクリレート

[表2] 含フッ素系エポキシ樹脂 (硬化剤: DDS)

No.	R [$\text{CF}_3-\text{CH}_2-\text{O}-\text{P}(\text{O})(\text{OC}_2\text{H}_5)_2$] ($\text{CF}_3-\text{CH}_2-\text{O}-$) (CF_3)	T_g (°C) (DMA法)	分解開始温度(°C)		曲げ強度 (kg/mm²)	脆性率 (%)
			N ₂ 中	Air中		
1		215	370	329	5.5	3.2
2		135	309	275	5.5	3.0
3		210	375	328	10.5	3.8

研究等

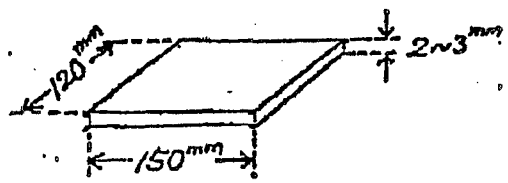
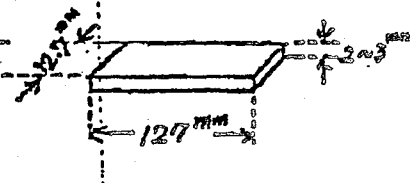
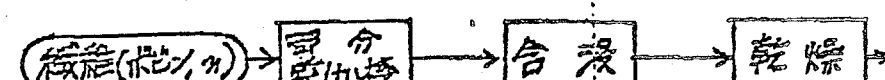
- 1). 本研究は、耐水性骨格の導入により耐熱性エポキシ樹脂を新規開発するために
メーナフトール系化合物の導入を試みたものである。すなわち、PGN型エポキ
シ樹脂をマトリックスとするコンポジットは、常温曲げ強度 224 Kgf/mm^2 (目標 205 Kgf/mm^2) 及び瞬間せん断強度 13.5 Kgf/mm^2 (目標 11.0 Kgf/mm^2)
の達成などで表わされるように、高水準で"バランスのとれた素材である。
また、 200°C (500Hr.)での曲げ強度も 155 Kgf/mm^2 (目標 135 Kgf/mm^2)
と耐熱性にすぐれたボテンシャルをもつことを確認した。
- 2). 現段階での課題は、常温引張強度及び熱時強度において若干目標性能対比で
向上の余地があることである。しかしながら、上述の長期耐熱性にすぐれている
こと及びPGN型エポキシ樹脂自身の T_g (DMA法)が $\sim 300^\circ\text{C}$ に達するなど
驚異的な耐熱性を有することが明らかであり、強化繊維のひきそろえ法などの
中間素材化技術の向上並びに硬化・成形条件の最適化等によって、上記課題の解
決を図る方針である。
- 3). PGN型エポキシ樹脂をマトリックスとするコンポジットは、上述のように
高水準で"バランスのとれた力学特性、耐熱性をもち、しかも耐水性も含まれて良
好であるので、特許出願手続きを行なった。今後、さらに性能向上のための改良
研究を実施し中間素材化技術の確立を図って、次期以後の複合材としての性能確
保の可能性を証明してゆく予定である。

研究開発結果

3(1) 高性能系の開発

サブテーマ名. 1) マトリックス樹脂の開発. ① エボキシ樹脂(PGN型)

1. 供試体

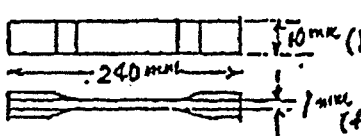
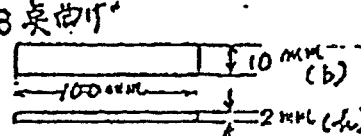
項目	内容													
① 形状・寸法	a) 平板成形片 	b) 斜面成形片 												
② 使用材料	a) マトリックス樹脂: b) 強化繊維: 炭素繊維トロカ T400 (東レ(株)) 引張強さ 420 Kgf/mm ² 引張弹性率 2.4 × 10 ³ Kgf/mm ² 引張破断伸び 1.75 %													
③ 中間系成形 試作方法	a) 手芸(バリチ方式). b) DW法.  c) UDVひきぞろえ法 													
④ 成形条件	a) プレス成形法 b) オートクレーブ成形法	<table border="1"> <thead> <tr> <th></th> <th>温度 (°C)</th> <th>圧力 (Kgf/cm²g)</th> <th>時間 (hr.)</th> </tr> </thead> <tbody> <tr> <td>プレス 成形法</td> <td>キュア ポストヒート</td> <td>180</td> <td>スモーザー 使用 0.5</td> </tr> <tr> <td>オートクレーブ 成形法</td> <td>キュア ポストヒート</td> <td>220</td> <td>4</td> </tr> </tbody> </table>		温度 (°C)	圧力 (Kgf/cm ² g)	時間 (hr.)	プレス 成形法	キュア ポストヒート	180	スモーザー 使用 0.5	オートクレーブ 成形法	キュア ポストヒート	220	4
	温度 (°C)	圧力 (Kgf/cm ² g)	時間 (hr.)											
プレス 成形法	キュア ポストヒート	180	スモーザー 使用 0.5											
オートクレーブ 成形法	キュア ポストヒート	220	4											

2. 試験

項目	目標性能	試験方法	試験結果																																								
① 0°引張 試験	R.T. 240 kgf/mm^2 200°C 216 kgf/mm^2 (90%) -60°C 205 kgf/mm^2 (85%) ($V_f \geq 65\%$)	<p>帝人KS2-T法による。</p> <p>a) 形状・寸法</p> <p>b) ロスヘッド速度 5 mm/min.</p> <p>c) 算出方法</p> $\text{引張強度} = \frac{P}{b h} (\text{kgf/mm}^2)$ $\text{引張弹性率} = \frac{P'}{b h} (\text{kgf/mm}^2)$ <p>引張伸び ストレッチ法</p> <p>(P: 破断荷重 P': 100%伸長荷重)</p> <p>分配表六位。</p>	<p>[RT] 強度 違差 倍び</p> <table> <tr><td>①</td><td>212</td><td>16.2</td><td>1.55</td></tr> <tr><td>②</td><td>241</td><td>16.1</td><td>1.56</td></tr> <tr><td>③</td><td>192</td><td>15.3</td><td>1.33</td></tr> <tr><td>④</td><td>214</td><td>15.9</td><td>1.44</td></tr> <tr><td>⑤</td><td>—</td><td>14.9</td><td>—</td></tr> </table> <p>$\bar{x} = 215$ 15.7 1.44 $\text{kgf/mm}^2 \times 10^3 \text{ kgf/mm}^2$</p> <p>[200°C] 強度 [-60°C] 強度</p> <table> <tr><td>①</td><td>214</td><td>①</td><td>210</td></tr> <tr><td>②</td><td>195</td><td>②</td><td>220</td></tr> <tr><td>③</td><td>219</td><td>③</td><td>201</td></tr> <tr><td>④</td><td>222</td><td></td><td></td></tr> <tr><td>⑤</td><td>200</td><td></td><td></td></tr> </table> <p>$\bar{x} = 212 \text{ kgf/mm}^2 \bar{x} = 210 \text{ kgf/mm}^2$ $(S = 14.9\%) (S = 9.5\%)$ $(CV = 7.0\%) (CV = 4.5\%)$</p>	①	212	16.2	1.55	②	241	16.1	1.56	③	192	15.3	1.33	④	214	15.9	1.44	⑤	—	14.9	—	①	214	①	210	②	195	②	220	③	219	③	201	④	222			⑤	200		
①	212	16.2	1.55																																								
②	241	16.1	1.56																																								
③	192	15.3	1.33																																								
④	214	15.9	1.44																																								
⑤	—	14.9	—																																								
①	214	①	210																																								
②	195	②	220																																								
③	219	③	201																																								
④	222																																										
⑤	200																																										
② 0°曲げ 試験	R.T. 205 kgf/mm^2 200°C (10min) 155 kgf/mm^2 (75%) 200°C (500hrs.) 135 kgf/mm^2 (65%) ($V_f \geq 65\%$)	<p>帝人KS2-B法による。</p> <p>a) 形状・寸法</p> <p>b) ロスヘッド速度 5 mm/min. スパン(L) 64 mm.</p> <p>c) 算出方法</p> $\text{曲げ強度} = \frac{3PL}{2bh^2} (\text{kgf/mm}^2)$	<p>[强度]</p> <table> <tr><td>R.T.</td><td>200°C</td><td>200°C</td></tr> <tr><td>(10分)</td><td>(500hr.)</td><td></td></tr> <tr><td>①</td><td>202</td><td>143</td><td>155</td></tr> <tr><td>②</td><td>236</td><td>131</td><td>157</td></tr> <tr><td>③</td><td>262</td><td>133</td><td>151</td></tr> <tr><td>④</td><td>205</td><td>146</td><td>157</td></tr> <tr><td>⑤</td><td>216</td><td>148</td><td>153</td></tr> </table> <p>$\bar{x} = 224$ 140 155 $\text{kgf/mm}^2 \text{ kgf/mm}^2 \text{ kgf/mm}^2$</p> <p>(S = 25.9) (CV = 11.2%) (S = 5.5%) (CV = 17%)</p>	R.T.	200°C	200°C	(10分)	(500hr.)		①	202	143	155	②	236	131	157	③	262	133	151	④	205	146	157	⑤	216	148	153														
R.T.	200°C	200°C																																									
(10分)	(500hr.)																																										
①	202	143	155																																								
②	236	131	157																																								
③	262	133	151																																								
④	205	146	157																																								
⑤	216	148	153																																								
③ 屋間せん 断強度	$\geq 11 \text{ kgf/mm}^2$	<p>帝人KS2-S法(3点曲げ法)。</p> <p>a) 形状・寸法</p> <p>($b = 12.7 \text{ mm}$, $l = 25 \sim 50 \text{ mm}$, $h = 2 \text{ mm}$)</p> <p>b) ロスヘッド速度 5 mm/min. $L = 8 \text{ mm}$. $(\frac{L}{h} = 4)$</p> <p>c) 算出方法</p> $\tau = \frac{3P}{4bh} (\text{kgf/mm}^2)$	<table> <tr><td>①</td><td>13.4</td></tr> <tr><td>②</td><td>14.1</td></tr> <tr><td>③</td><td>13.5</td></tr> <tr><td>④</td><td>12.7</td></tr> <tr><td>⑤</td><td>13.6</td></tr> </table> <p>$\bar{x} = 13.5$ kgf/mm^2</p> <p>(S = 0.50) (CV = 3.7%)</p>	①	13.4	②	14.1	③	13.5	④	12.7	⑤	13.6																														
①	13.4																																										
②	14.1																																										
③	13.5																																										
④	12.7																																										
⑤	13.6																																										

項目	目標性能	試験方法	試験結果
④ 繊維含有率(%)		a) A法: 硝酸分解法 b) B法: 比重法 $V_f = \frac{\left(\frac{W_f}{d_f} \right)}{\left(\frac{W_f}{d_f} + \frac{(W_f - W_c)}{d_m} \right)} \times 100 \quad (\%)$ <div style="border: 1px solid black; padding: 5px; display: inline-block;"> W_f 繊維全量 W_c 成形片重量 d_f 繊維比重 d_m マトリックス比重 </div>	65%
3. 俊用試験装置			
装置名	仕様概要	備考	
① 大型端部試験装置	UTM-10T型 荷重容量 10 t. (東洋ボールドワイン)		
② 大型特性試験高温槽	① 用恒温槽 TCF-10T-490型 高温側 max. 490°C. 低温側 -60°C. (液体CO ₂ フリーゲル) (東洋ボールドワイン)		
③ 機合燃焼耐久性試験装置	EHF-U5/05型 荷重容量 500 kg 恒温槽(290°C)付 (島津製作所)		
④ 露示天秤	LS-6DTP型 容量 160 g 最小目盛 0.1 mg (島津)		

研究開発結果要約表

サブテーブル名	3(1)高剛性ポリエチレン樹脂(PG-I型)			
研究開発手法	マトリックス樹脂：高剛性骨格エボキシ樹脂(PG-I型)			
前提条件等	強化織維；炭素織維 トレカT400 成形法；試験片標準成形法			
項目	試験方法	要求性能	試験結果	
耐力	0°引張強度 (kgf/mm²)	 引張強度 = $\frac{P_{0.3}}{b \cdot h}$ (kgf/mm²)	-60°C RT 200°C	205 240 216
				225 214 152*
究等的	0°引張弾性率 (10³kgf/mm²)	引張弾性率 = $\frac{P_{0.3}}{0.003bh}$ P₀₃；歪0.3%時の荷重	RT	15.5 14.0
耐熱性 結果	0°引張 伸び率 (%)	ストレッチ法	RT	1.55 1.48
曲げ強度	0°曲げ強度 (kgf/mm²)	 曲げ強度 = $\frac{3L^2F}{16bh^3}$ スパン = 100 mm クロスヘッド速度 = 2 mm/min	RT 200°C (10 min) 200°C (50°C/H)	205 155 135
				232 86 140
		ILSS (kgf/mm²)	3点曲げ（スパン厚さ比5） 試験片寸法 2×10×15 mm	RT
成形性	Df (%)	沸騰硫酸濃硫酸分解法	—	≥65 63.2
	項目	要求性能	試験結果	
成形品寸法	—	$260\text{mm} \times 10\text{mm} \times 1\sim 3\text{mm}$		
テュア	$180^\circ C \times 7\text{kgf/cm}^2 \times 4H$	$200^\circ C \times 7\text{kgf/cm}^2 \times 4H$		
ホットテュア	$220^\circ C \times 6H$	$220^\circ C \times 6H$		
所見等	高沸点溶媒より含浸しきり為、乾燥不充分となり、残存溶媒による T_g 低下により樹脂本来の耐熱性が現れづらいた。 * タフ剥離			

研究開発実績

研究開発項目名 剛性骨格耐熱性エポキシ樹脂（PG-I型）研究開発実施者名 (財) 次世代金属・複合材料研究開発協会

1. 研究開発期間 昭和56年度～昭和58年度

2. 研究開発手法、前提条件等

エポキシ樹脂の長期及び短期の耐熱性の向上を目的に、高耐熱骨格を有するエポキシ樹脂の開発を行なつた。高耐熱骨格としてはイミド環を取り上げ、下記の手法により検討を行なつた。

- 1) イミド骨格を有するイミドアミンオリゴマー、イミドアルコールの合成
- 2) 1)で得られた アミン、アルコールのグリシンジル化合物の合成
- 3) 1)のエポキシ硬化剤、2)のエポキシ化合物、更には市販の硬化剤、エポキシ化合物の組合せによる硬化物の耐熱性の評価。
- 4) 3)のCFとの組合せによる複合材料への適用の可否の検討。

3. 研究開発結果

1) 実績のまとめ（詳細別紙）

① 到達項目

低溫引張強度、常温曲げ強度、ILSS.

② 未到達項目

常温引張（强度、弹性率、伸び）

高温曲げ強度、Tg

③ 成形条件（キニア温度）

1) 考見

今回不₁期目標の成形条件を重視し、1-三ト₁骨格含有アミン硬化剤と市販エボキシ化合物との組合せをマトリックスとする複合材料の評価を行なつたが、補強性の観点、溶解性上難か₁り、高沸点溶媒より温水にて溶解した後、乾燥未充分あり。補強本素の耐熱性が現われてゐない。(現溶分2.5%)
 $200^{\circ}\text{C} \times 24\text{H}$ 後では曲げ強度が $86 \rightarrow 131\text{ kgf/mm}^2$ と上り₁てあり、 $200^{\circ}\text{C} \times 500\text{H}$ の曲げ強度は良好な値を示すことが期待される。

2) 注目すべき知見 (特許文献 3 件)

1) 1-三ト₁骨格を有する硬化剤、エボキシ化合物の組合せ、これらともしくは市販エボキシ化合物、硬化剤との組合せで耐熱性が大目に向上することを判明した(図2)

(例) 热分解開始温度(Td) 420°C

(現行耐熱エボキシ 275°C)

热軟化温度(Ts) 301°C

(現行耐熱エボキシ 231°C)

2) 成形条件を緩和すれば 上記 1-三ト₁骨格を有する硬化剤、エボキシ化合物をマトリックスとする複合材料が得られ、曲げ強度は、常温で 203 kgf/mm^2 、 200°C で 176 kgf/mm^2 の値が得られる。

3) 一連の70項目中で特記すべき特徴的技術 (特許公報 114)

- 1) 1) 三ト環含有複合化剤合成法の確立
- 2) 2) 三ト環含有エホキシ化合物合成法の確立。

(図 1)

4) 特二 効果を發揮する技術

5) 未到達事項の問題点と解決の目途

実験値中、高沸点系強度が非常常に低い値を示しているが、これは、残存高沸点溶媒による T_g の低下と考えられる。今後、溶媒の手直しを行ない、低沸点溶媒可溶性構造物と、乾燥を充分行なうことをあり、脂肪本来の耐熱性が発現されると予想される。

(Heating Rate 15°C/min, air 50 mL/min)

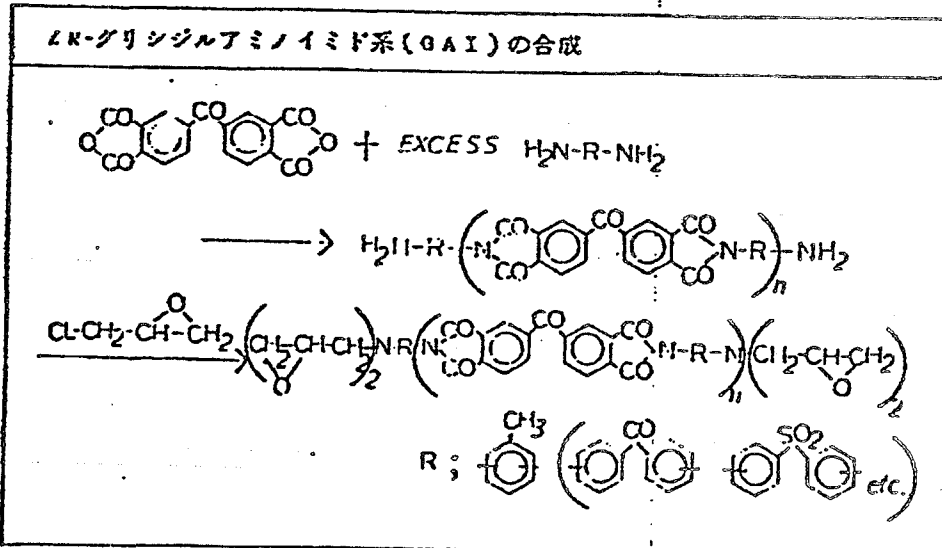
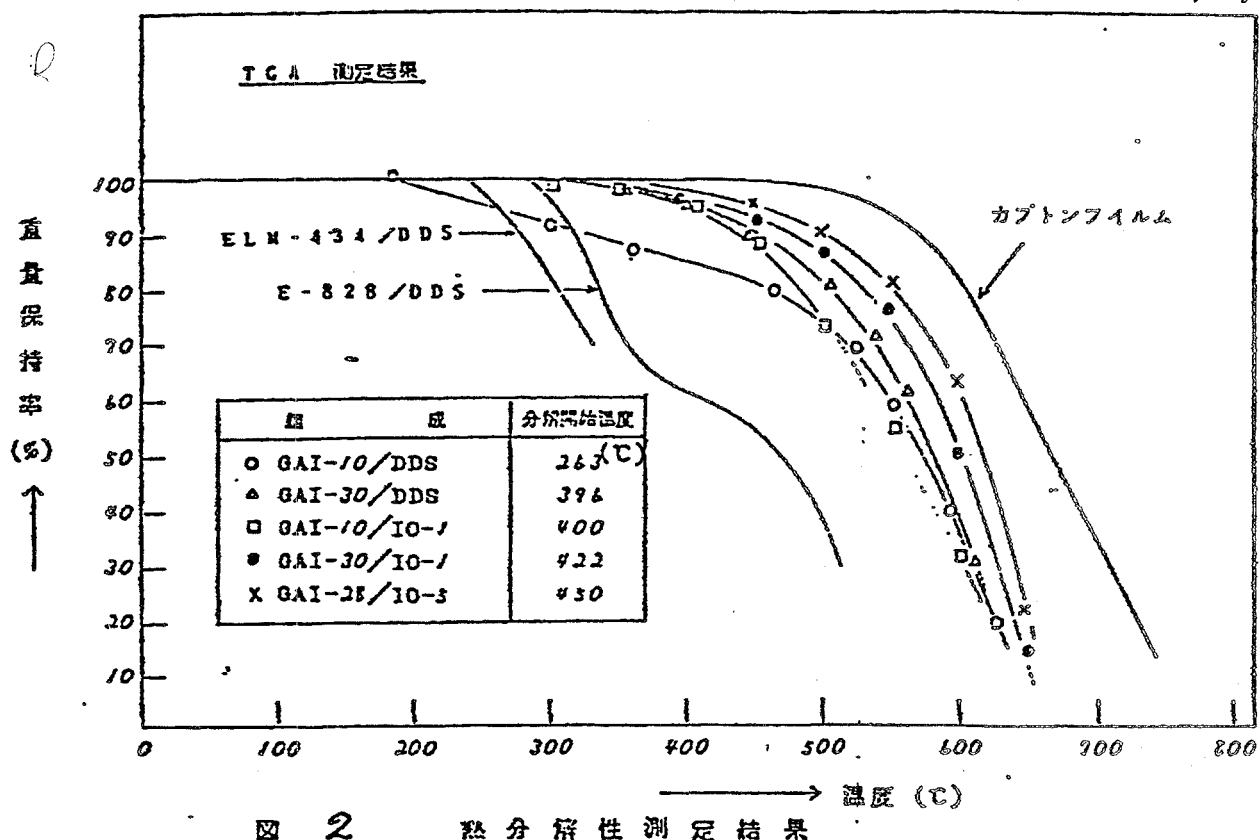
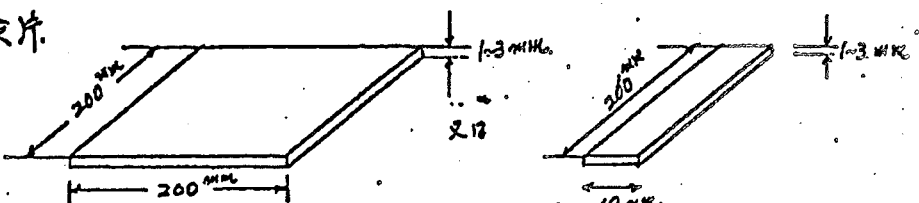
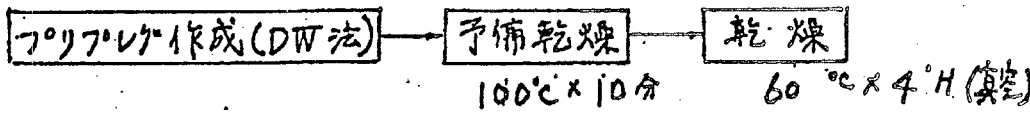
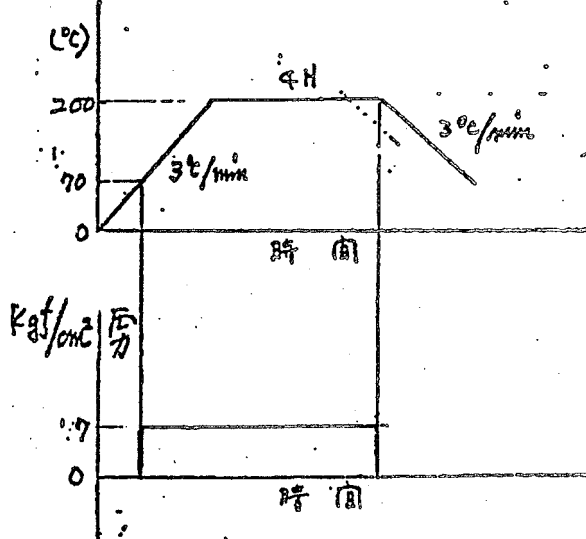


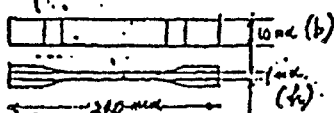
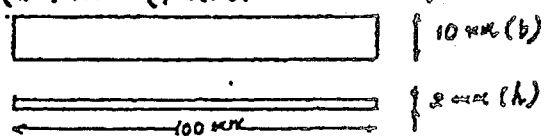
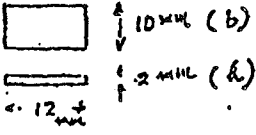
図 1. イミド環含有エポキシ化合物合成法

3(1) 高性能素材の開発
サブテーマ名 1) マトリックス樹脂の開発 - 1.エポキシ樹脂 (PGI型)

1. 供試体

項目	内 容
① 形状・寸法	平板試験片 
② 使用材料	マトリックス樹脂： 強化繊維：トレカ T 400 引張強度 : 420 kgf/mm^2 引張弾性率 : $24.5 \times 10^3 \text{ kgf/mm}^2$ 引張破断伸び : 1.71 %
③ 中間素材 作成法	主要工程 
④ 成形条件	1) キニア条件 (A法: 斜+70°-7°) (B法: 70°Vス)  2) アフターキニア条件 (スープン) $220^{\circ}\text{C} \times 6\text{H}$

2 試験

項目	目標性能	試験方法	試験結果
① 引張特性	<ul style="list-style-type: none"> 引張強度 (kgf/mm^2) -60°C: 205 RT: 240 200°C: 216 引張弾性率 (kgf/mm^2) RT: 15.5×10^3 伸 α (%) RT: 1.55 	 <p>クロスヘッド速度: 2 mm/min. (社内規格 CM-0101)</p> <p>引張強度: $\frac{P}{b h} (\text{kgf/mm}^2)$</p> <p>引張弾性率: $\frac{P_{0.2}}{0.003 b h} (\text{kgf/mm}^2)$</p> <p>引張伸度; ストレングージ法 (P: 破断時の角度) (P_{0.2}: 重0.2%時の角度)</p>	-60°C 1234, 235, 265 → av. 225 RT 强度 219, 214, 209 → av. 214 伸率 14.2, 13.7, 14.2 → av. 14.0×10^3 伸 α 1.53, 1.53, 1.39 → av. 1.48 200°C 152, 143, 162 145, 145, 165 → av. 152 (ヤハラタフ剤離)
② 曲げ強度	<ul style="list-style-type: none"> 曲げ強度 (kgf/mm^2) RT: 205 200°C (105): 155 200°C (500H): 135 	三点曲げ試験 (社内規格 CM-0201)  <p>クロスヘッド速度 2 mm/min.</p> <p>スパン (L) 80 mm 加圧エッジ 3.19R 支点エッジ 3.19R</p> <p>曲げ強度 = $\frac{3 P L}{2 b h^2}$ P: 開口部荷重</p>	RT 226, 225, 246 → av. 232 200°C × 10 min 98, 95, 64 → av. 86 200°C × 500 hr 153, 133, 134 → av. 140
③ 屈曲せん断強度	<ul style="list-style-type: none"> 屈曲せん断強度 (kgf/mm^2) RT: > 11 	 <p>クロスヘッド速度 2 mm/min.</p> <p>スパン (L) 10 mm 加圧及支点エッジ 3 R</p> <p>屈曲せん断強度 = $\frac{3 P}{4 b h}$</p>	RT 12.2, 12.3, 11.9 → av. 12.1

項目	目標性能	試験方法	試験結果
(1) V_f	65% 以上	<ul style="list-style-type: none"> 化學天秤により、試料の重量を計測する。 試料の密度を計測する。(JIS 7601準拠) ASTM D 3171-76: 半燃焼、熱硫酸銅/過酸化水素水(=ガリ), 不脂脂を分解する。 傾斜炉を用いて、脱水、乾燥後、化學天秤により、試料の堆積量を計測する。 次式により、V_fを算出する。 $V_f = \frac{\text{試料堆積量} \times \text{試験片密度}}{\text{試料密度} \times \text{試験片重量}} \times 100 \quad (\%)$	63.6, 62.8, 63.2 → 63.2

3 使用試験機器

機器名稱	仕様概要	備考
① 試料試験機	<ul style="list-style-type: none"> 機器名稱: テンション (東洋精機製) UTM-5T型 荷重容量: 5トン 	
② 化學天秤	<ul style="list-style-type: none"> 最大秤量: 200 g 最小目盛: 0.0001 g 	

要 旨

研究開発項目名 マトリックス樹脂の開発（耐熱性樹脂）

研究開発実施者名 (財) 次世代金属・複合材料研究開発協会

1. 研究開発期間 昭和56年度～昭和58年度

2. 第一期目標のポイント

米国最先端耐熱マトリックス樹脂（LARC-160級）の水準を目指し、

東レT400を強化継維とした一方向CFRPの

室温平均引張強度 210 kgf/mm^2 (最終目標値の88%)

耐熱温度 250°C (強度保持率90%)

を達成する耐熱樹脂合成の基礎技術を開発する。

3. 各年度の実施計画のポイント

昭和56年度：目標へのアプローチ手段の探索

昭和57年度：4ルートによる耐熱性樹脂の研究

(1) 末端基制御型ポリイミド樹脂

(2) 新規オリゴマー型ポリイミド樹脂

(3) 新規主鎖查型ポリイミド樹脂

(4) その他の耐熱性樹脂の基礎研究

昭和58年度：候補樹脂の合成条件、成形条件の基礎研究

4. 第一期の実績のポイント

4種のルートの研究結果、つぎのとおり目標達成の有望な樹脂が見出された。

(1) 末端基制御型ポリイミド樹脂； TPI型

(2) 新規オリゴマー型ポリイミド樹脂； OPI型

(3) 新規主鎖查型ポリイミド樹脂； MPI型

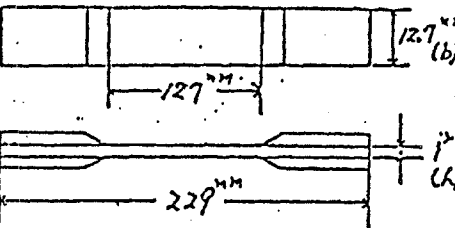
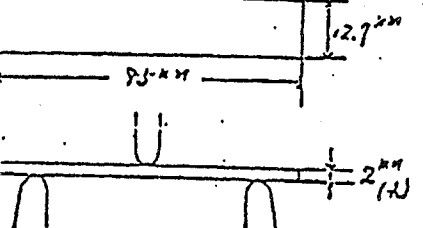
(4) その他の耐熱性樹脂； ポリフェニルキノキサリン (PPQ) 系

ルート(1)では成形性の良い耐熱樹脂用の末端化合物が見出されたが、評価試験用パネルの成形に必要な量の合成には至らなかった。

ルート(3)；MPI型樹脂は成形条件の最適化が間に合わず、室温試験片はVf 64.4%，耐熱試験片はVf 68.8% となったため、試験結果はVf 64.4% に換算した。

ルート(4)； PPQは期末の段階で外国例の性能は超えたが、目標の達成は第二期に持越された。

研究開発結果要約表

サブテーマ名	3C) 高性能素材の開発 1) マトリックス樹脂 2) 耐熱性樹脂				
研究開発手法	マトリックス樹脂: 末端基制御型ポリイミド樹脂(TPI型)				
前提条件等	強化繊維: 東レ(株)製トルク400 成形法: 試験片標準成形法(オートクレーブ成形)				
研究開発結果	項目	試験方法	要求性能	試験結果	
	引張強度 (0°引張) (kgf/mm²)		-60°C	170	188
			RT	210	223
		引張強度 = $\frac{P}{bL}$ (kgf/mm²)	250°C	190	198
	引張弾性率 (10³ kgf/mm²)	引張弾性率 = $\frac{P_{0.6} - P_{0.1}}{0.005 b \cdot L}$ $P_{0.6} = 2\pi \times 0.6\% \times \text{横幅}$ $P_{0.1} = + 0.1$	RT	15.5	16.7
	破断伸び (%)	破断伸び = $\frac{\text{引張強度}}{\text{引張弾性率}} \times 100$	RT	1.35	1.34
	引張強度 (kgf/mm²)		RT	205	252
			250°C (10mm)	155	186
		引張強度 = $\frac{P}{bL}$ (kgf/mm²)	250°C (500kgf)	135	148
	引張強度 (kgf/mm²)	• 3点曲げ(スパン/厚さ比4) • 試験寸法 $2^{mm} \times 12.7^{mm} \times 2^{mm}$	RT	—	11.5
成形性	Df (%)	• 注射法	—	≥65	69.4
	項目	要求性能	試験結果		
	成形温度	—	$200^{mm} \times 250^{mm}$, 厚さ 1~2 mm		
	ホモジニア	$290^{\circ}\text{C} \times 4H, 14 \text{kgf/cm}^2$	$290^{\circ}\text{C} \times 2H, 14 \text{kgf/cm}^2$		
所見等	ホストキニア	$320^{\circ}\text{C} \times 6H$	$320^{\circ}\text{C} \times 4H$		
		装置に不具合は無かった。フリーフォーレン作成時に糸の崩壊が少し大きめ物性低下した。装置を直して、再評価(RT, 250°C引張り)を行った。			

研究開発実績

研究開発項目名 末端基側鎖型ポリイミド樹脂(TPI型)研究開発実施者名 (財)次世代金属・複合材料研究開発協会

1. 研究開発期間 昭和56年度～昭和58年度

2. 研究開発手法、前提条件等

1). 易成形性(低温硬化型)ポリイミドの開発を目的に、末端基の反応性とポリイミドの耐熱性並びに成形性との関係について検討した。その結果付加重合型ポリイミドの成形性は、末端基の反応性とアレボリマの流動性に支配されることが分った。さらに表1に示すように末端基としてはビニル化合物が有望なことが分った。

表1. イミドオリゴマの反応性・耐熱性

End Group Structure	Melt-Temp. (°C)	Cure Exotherm (°C) Onset Maximum	Tg (°C)	Td _{5%} (°C)
	150-280	300 355	367	453
	180-310	330 370	345	467
	150-280	280 400	337	510
	155-275	290 440	237	515
	145-225	225 260	322	514

2). これらの成果をもとに各種ビニル化合物を中心とした末端化合物の検討を行った。その結果、反応性(並びに耐熱性)の点で下記の化合物が有望なことを確認した(図1)。

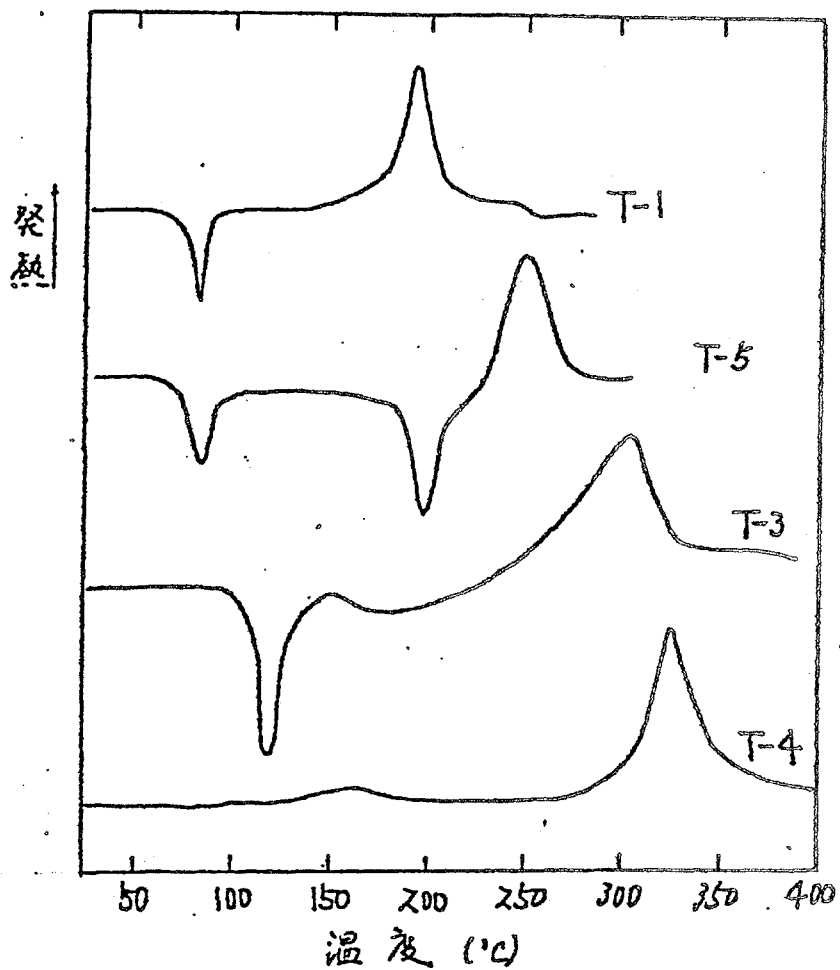


図1. 各種末端化合物の反応性

3). しかし、T-5を末端に有するポリイミドは220°C前後で硬化反応が起るため、芳香族ポリイミドでは成形時に十分な流動性が得られない。主鎖に脂環式化合物の導入を検討し、流動性の改善と次共重合ポリイミドを開発した(特許出願、国2参照)。この共重合ポリイミドはT_g320°C程度あり、耐熱性は良好である。

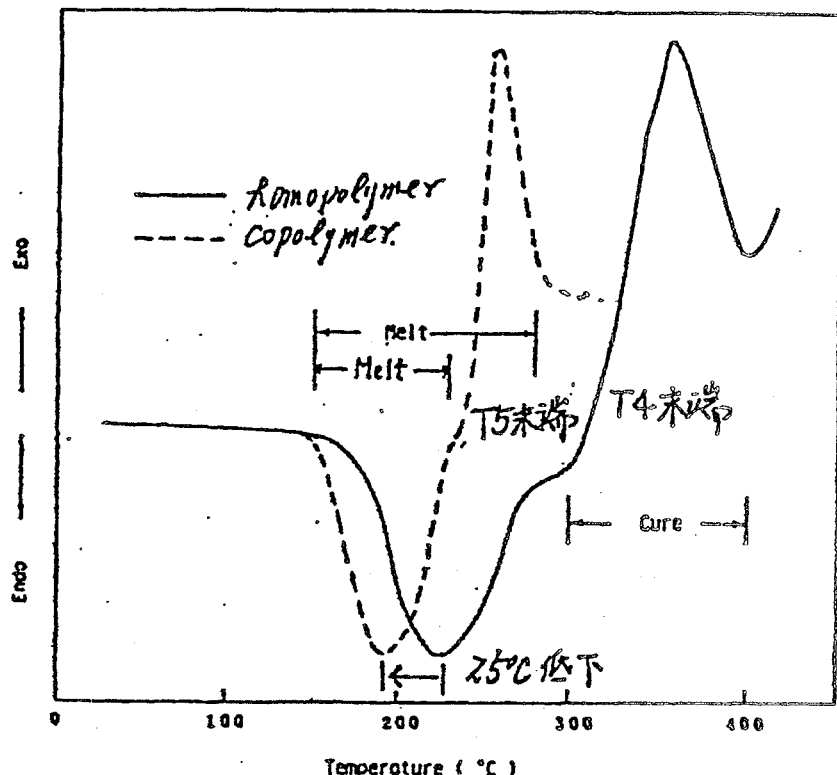


図 2 NA末端イミドオリゴマーの硬化挙動

4. 今後の課題

- (1). 末端化合物T-5は原料を米国から輸入(15,700円/10g)し、自社で合成しているが、現在の技術では収率が低く、かつ一度に極く少量の化合物しか合成できない。実用化のためには、安価な合成法の開発が必要である。
- (2). 末端化合物T-5は別途開発を進めているポリキヤサリン系樹脂の末端化合物の中間原料として利用することができる。そこで59年度は本研究開発において得られた成果をポリキヤサリン系樹脂にトランスファーして、ポリキヤサリン樹脂を付加型樹脂への改質を進める。この一連の研究を通してT5の安価な合成法の開発を進める予定である。

3. 研究開発結果.

- (1). 実績のポイント(詳細別紙). * 末端化合物としてはT-5が最適であるが、入手困難なため、本物性評価ではT-4を使用した。
• 耐熱性 250°C はクリヤード 320°C 程度) (5)を参照
• 力学特性は95%以上のレベルに到達する見込み。

(2). 注目すべき知見.

- 末端化合物T-5はポリキサリン系樹脂も付加重合型に改質する際の原料として有用。59年度ポリキサリン樹脂の開発研究に技術トランスファーする。

(3). 一連のプロセスの中で特記すべき特徴的技術.

- 脂環式カルボン酸との共重合により、耐熱性を損なうことなく成形性を改良(特許出願手続中)。

(4). 特に効果を發揮した技術.

とくになし。

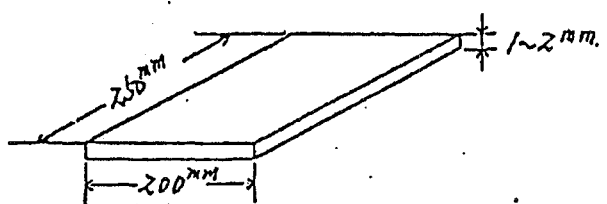
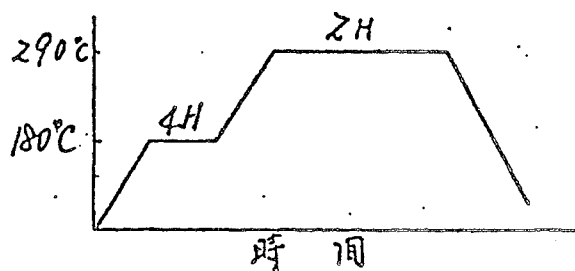
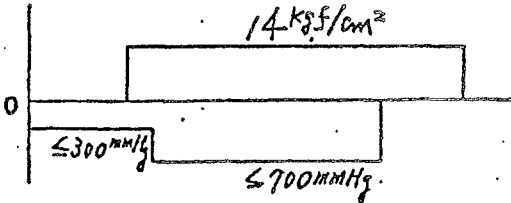
(5). 未到達事項の問題点と解決の目途.

- 付加重型ポリイミドの末端基に関する研究を行った結果、易成形性 ポリイミド(250°C 耐熱性)の末端化合物としてはT-5が最適であることが分った。しかし、T-5は現在の技術では複合材料物性の一連の評価を行つためには必要な量を合成する技術が確立していないため、物性評価はT-4を使用した(ポリイミドの基本性能はT-5を使用したとの差がない)。
- T-5は付加重型PPQの末端化合物の原料として、別途研究開発を進めているポリキサリン系樹脂の開発テーマの中で合成法の研究を進めて行く。

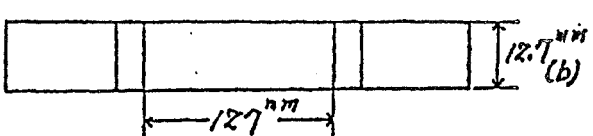
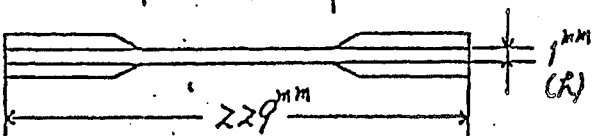
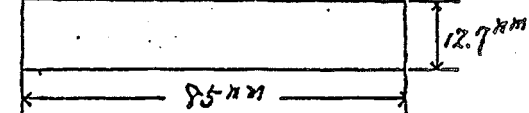
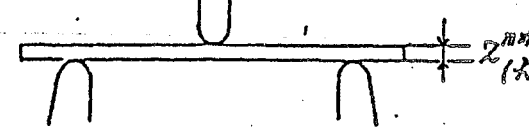
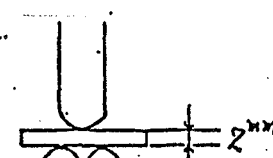
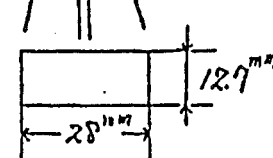
研究開発結果の詳細

3(1). 高性能素材の開発.

1. 試験体 サブマスク: 1) マトリックス樹脂の開発 -2. 耐熱性樹脂(TPI型)

項目	内容
① 形状・寸法	平板状試験片 
② 使用材料	マトリックス樹脂: 末端基制御型ポリイミド樹脂(TPI型) 強化繊維: 東レ(株)トウレT400 (測定法: JIS R-7601 (1980)) 引張強度: 420 kgf/mm^2 引張弹性率: $24.0 \times 10^3 \text{ kgf/mm}^2$ 引張破断伸び: 1.75%
③ 中間素材作成法	主要工程 <div style="display: flex; justify-content: space-around; align-items: center;"> プリプレグ作成(DTM法) → 予備乾燥(70°C × 45分) → 本乾燥(120°C × 6H) </div>
④ 成形条件	<p>A. キュア条件 (オートクレーブ)</p>  <p>B. アフターキュア条件 (オーブン)</p>  <p>$320^\circ\text{C} \times 4\text{H}$</p>

2. 試験

項目	目標性能	試験方法	試験結果
① 0°引張り	• 引張強度 (kgf/mm^2) -60°C : 170 RT : 210 250 : 190 • 引張弾性率 (kgf/mm^2) RT : 15.5×10^3 伸 ϵ $(\%)$ RT : 1.35	東レ規格 CF04RZC にて測定する。   1/2スパン速度 1.0 mm/min $\text{引張強度} = \frac{P}{b \cdot h} \quad (\text{kgf/mm}^2)$ $\text{引張弾性率} = \frac{P_{0.5} - P_{0.1}}{0.005 b \cdot h} \quad (\text{kgf/mm}^2)$ $\text{引張破断伸} \epsilon = \frac{\text{進度}}{\text{彈性率}} \times 100 \quad (\%)$ 但し。 P = 破断時の荷重 $P_{0.5}$ = 垂直 0.5% 時の荷重 $P_{0.1}$ = 垂直 0.1% 時の荷重	-60°C 206.7 174.0 <u>184.7</u> $\bar{x} 188$ RT 225.9 16.9 1.34 220.0 16.5 1.33 <u>224.3 16.6 1.35</u> 223 16.7 1.34 250°C 188.7 210.2 196.0 <u>198.3</u> $\bar{x} 198$
② 0°曲げ	• 曲げ強度 (kgf/mm^2) RT : 205 250°C : 155 (10分) 250°C : 135 (500H)	東レ規格 CF04RZC にて測定する。   スパン/厚さ比 : 32 1/2スパン速度 : $2.0 \sim 2.5 \text{ mm/min}$	RT 254.8 266.0 $\bar{x} 252$ 273.1 212.5 250°C (10分) 192.8 182.8 $\bar{x} 186$ 181.9 250°C (500H) 256.1 241.3 248.9 $\bar{x} 248$ 245.9
③ ILSS	• ILSS (kgf/mm^2) RT : > 9	  東レ規格 CF04RZC にて測定する。 スパン/厚さ比 : 4. 1/2スパン速度 : $2.0 \sim 2.5 \text{ mm/min}$	11.3 11.4 10.1 10.4 13.2 <u>12.4</u> $\bar{x} 11.5$

項目	目標性能	試験方法	試験結果
④ V_f	65%以上	仕込み法 ・プリプレグの目付及び硬化板 の厚さから計算式計算	69.4

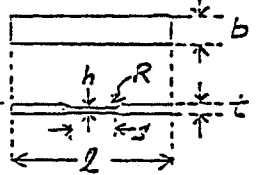
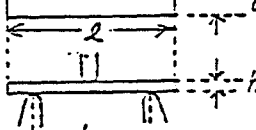
3. 使用試験機材

機材名称	仕様概要	備考
① 構造試験機	・機器名称：オートグラフ（島津製作所） ・荷重容量：10t	
② 化学天秤	・最大秤量：160g ・最小目盛：0.0001g	

備考

	1.1	1.2	1	2	3
末端化合物の合成		→			
アレボリマの流動性 改良		→			
フーレボリマの合成			→		
コンポジット物性 の評価				→	

研究開発結果彙約表

サブテーマ名		3(1)高性能素前の開発 2)耐熱性樹脂(CPI型)		
研究開発手法		マトリックス樹脂:新規リゴマ-型ポリイミド樹脂(CPI型)		
前提条件等		強化繊維:炭素繊維トレスT400 成形法:試験片標準成形法		
研究開発結果	項目	試験方法	要求性能	試験結果
	0°引張強さ (Kgf/mm ²)	 $b = 12.7 \text{ mm}$ $t = 2 \text{ mm}$ $L = 127 \text{ mm}$ $h = 1 \text{ mm}$ $s = 14 \text{ mm}$ $R = 20 \text{ mm}$ $\text{引張強さ} = \frac{P}{bh} (\text{Kgf/mm}^2)$	-60°C R.T. 250°C	170 Kgf/mm ² 210 Kgf/mm ² 190 Kgf/mm ²
	0°引張弹性率 (10 ³ Kgf/mm ²)	$\text{引張弹性率} = \frac{P'}{bh} (\text{Kgf/mm}^2)$ $(P' = 100\% \text{伸度} \times \frac{\text{初期長さ}}{\text{伸びた長さ}})$	R.T.	$15.5 \times 10^3 \text{ Kgf/mm}^2$ $15.6 \times 10^3 \text{ Kgf/mm}^2$
	0°引張伸び (%)	ストレッチ法	R.T.	1.35 % 1.59 %
	0°曲げ強さ (Kgf/mm ²)	 $b = 12.7 \text{ mm}$ $h = 2 \text{ mm}$ $L = 70 \text{ mm}$ $L = 54 \text{ mm}$ $\text{曲げ強さ} = \frac{3PL}{2bh^2} (\text{Kgf/mm}^2)$	R.T. 250°C (10 min.) 250°C (500 hrs.)	205 Kgf/mm ² 155 Kgf/mm ² 135 Kgf/mm ² (155 Kgf/mm ²)
	層間せん断強さ (Kgf/mm ²)	$\text{層間せん断強さ} = \frac{3P}{4bh} (\text{Kgf/mm}^2)$ $P = \frac{W_e}{2L}$	R.T.	$\geq 9. \text{ Kgf/mm}^2$ 16.5 Kgf/mm ²
	Vf (%)	$V_f = \frac{V_f}{V_f + (1 - V_f)} \times 100$ $V_f = \frac{V_f}{V_f + (1 - V_f)} \times 100$	—	$\geq 65 \%$ 65 %
	項目	要求性能	試験結果	
	成形品寸法		150 mm × 127 mm × 2 mm	
	キニヤ	290°C × 14 Kgf/cm ² × 4 hr.	280°C × Kgf/cm ² × 2 hr.	
	ポストキニア	320°C × 6 hr.	320 °C × 4 hr.	
所見等				

41

研究開発実績

研究開発項目名 新規オリゴマー型ポリイミド樹脂 (OPI型)

研究開発実施者名 (財) 次世代金属・複合材料研究開発協会

1. 研究開発期間 昭和56年度～昭和58年度

2. 研究開発手法、前提条件等

(1) アプローチ区分

耐熱性かつ易成形性を有する新規ポリイミド樹脂の開発を目的として、付加硬化反応性を有する新規オリゴマーの設計(分子構成要素の結合法の選定及びその分子量制御)を試みた。

(2) オリゴマーの分子量制御

オリゴマーの軟化点・融点、硬化樹脂の耐熱性(T_g 等)及び力学特性(曲げ強度等)などの評価解析を試みた結果、分子量が1000～1500(1200前後)が好適な流動特性を示すという貴重な知見を得た。

(3) オキサジソン環、キナゾロン環の導入

オリゴマー構造の中に上記環構造を導入することがポリイミド樹脂硬化物の耐熱性改善ないし強度に有効であることを見出した。しかししながら、末端基がナフタリック酸型であればギヤ温度の低下が困難となりそのため易成形性の実現が困難であるという結論を得た。

(4) 成形性改善の試み—アリルイミド末端基の導入

既存ポリイミド樹脂の成形条件はいずれも厳しく、ナシック酸型末端あるいはイセキレン型末端型の場合に見られるように300°C以上の高温を必要とするのが通常である。すなわち、硬化温度を290°C以下に下げて成形条件をより緩和にすることを目的として、アリルイミド末端基の導入によるオリゴマー設計を試みた結果、成形性の一層の向上の可能性を見出した。

(5) コンポジット化及び基本特性的評価

上記の新規オリゴマー型(OPI型)ポリイミド樹脂をマトリックスとするコンポジットは、研究開発結果要約表にも示したように、第一期目標性能をほぼ満足することが明らかとなった。したがって、次期以降はこの高いポテンシャルをさらに確実にするために、構成の最適化、中間素材化方法の適正化等による成形性の一層の向上を図る計画である。

3. 研究開発結果

(1) 実績のポイント

本研究は、付加硬化反応性末端基の導入を含むオリゴマー設計が成形性の向上に重要な役割を果すことについて着目し、アリルイミド型末端基を導入したオリゴマーの合成及び性能評価を試みた。

すなわち、各種OPI型ポリイミド樹脂の特性は、[表1]及び[図1]に示すように、300°C以上のTg(DMA法)を示し、反応性希釈剤の併用あるいはナジック酸型構造の共重合が硬化温度を低下させることに有効であることを見出した。

また、オリゴマー構成要素としてのアミン成分の芳香核にメチル基を導入することがオリゴマーの融点(軟化点)を低下させ硬化反応をより均一にかつ容易にすることに有効であることを見出した。すなわち、[表2]に示すように、アミン成分へのメチル基の導入がオリゴマーの融点を50°C以上上げることを可能にするだけではなく、上述の反応性希釈剤との相溶性改善にきわめて効果的であることを明らかにすることができます。

したがって、アリルイミド末端型(OPI型)ポリイミドを基本成分とする新規組成のポリイミド樹脂をマトリックスとするコンポジットの基本特性は、研究開発結果要約表に示したように、目標性能を満足するというきわめて優れた研究成果を得ることができた。

(2) 注目すべき知見

オリゴマー分子量の制御について1200前後が好適であることは前述したが、OPI型ポリイミド樹脂においても硬化に際しての流動特性及び硬化樹脂の耐熱性等から判断して同様な結論に帰結した。

(3) 特徴的技術

OPI型ポリイミド樹脂の最大の特徴のひとつは付加反応性末端基にアリルイミド型の炭素炭素二重結合を設定したことであり、これによって硬化時の温度を下げるなどを可能にしたと判断している。しかし、アリル性不飽和結合は通常ラジカル開始剤により連鎖的反応をおこすが、本研究では上述のような共重合成分の併用により、開始剤添加は不要となることを発見した。

(4) 特に効果を發揮した技術

OPI型ポリイミド樹脂が上述のような高性能を發揮した背景に多岐の新しい発見及び知見があるが、その一つは反応性希釈剤の採用である。トリアリルイ

シアヌレート(TAIC)のような反応性希釈剤は、OP-I型のオリゴイミドを溶解するあるいは混合して均一な樹脂液を形成するばかりでなく、硬化に臨んで分離あるいは脱離することなく共重合するという特徴をもつ。したがって、このような樹脂液は硬化時の流れ特性を改良し、ち密なコンポジットを形成する働きを有する。

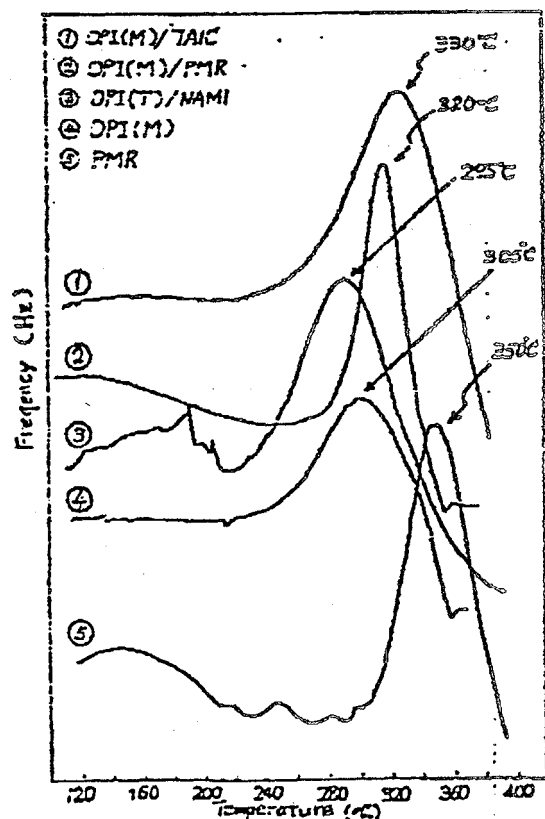
(5) 問題点と解決策

上述のように、OP-I型ポリイミド樹脂はアリルイミド末端基の導入により成形性を向上させ得ることを実証した。しかも、引張強度や曲げ強度等においても第一期の目標性能を凌駕することが確認された。

しかしながら、オリゴマー系の流れ特性はまだ"完全なものとはいえず"、耐熱性を維持しつつ成形性をさらに向上させることが重要であり、次期研究ではこれまでの研究成果の沿用・反映を含め、前述のような新規末端オリゴマーの設計による一層の成形性向上を追究するとともに、成形試験への移行を促進し複合材としての性能発揮の可能性検証に備えての技術展開が今後の課題である。

[表1] 新規オリゴマー型ホリイミド樹脂(OPI)

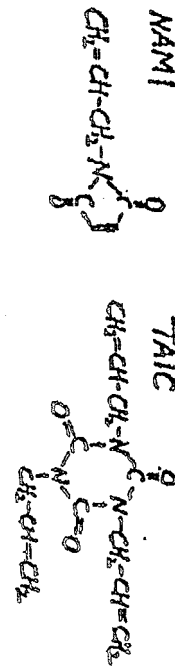
No.	樹脂組成			硬化温度 (°C.)	触媒 (開始剤)	硬化物 のTg (°C.)
	OPI	反応性 希臘剤	他			
1	OPI(M)	TAIC	—	320	—	330
2	OPI(M)	—	PMR-15 <small>量</small>	~280	—	320
3	OPI(T)	NAMI	—	150~250	ニオブMF	295
4	OPI(M)	—	—	320	—	305
5 <small>(比較)</small>	—	—	PMR-15	320	—	350



[図1] 新規オリゴマー型ホリイミド樹脂の耐熱性(Tg).

〔表2〕 ナラミドの融点及び反応性系統割合(5%の混合)

項目	アミン成分		
融点(°C)	~250	220~240	>300
反応性系統割合	X	X	X
	○	X	X
NAMI	○	○	X
TAIC	X	X	X
	○	X	X
100°C	○	○	X
200°C	○	○	X
200°C	○	○	X



折見等

- 1) 本研究は、付加反応型オリゴマー設計により耐熱性確保及び成形性向上の新規ポリイミド樹脂を開発することを目的として、アリルイミド型末端基を有する新規オリゴマーを試作しコンポジット化を試みたものである。
- 2) 本研究で展開中の OPI 型ポリイミド系樹脂をマトリックスとするコンポジット(トレカ T400, Vf 65%)は、現在評価中の低温特性をのぞく他のすべての目標性能において、第一期目標値を満足する結果を得た。すなわち、

引張強度(常温)	238 Kg/mm ²	(目標 210 Kg/mm ²)
熱時引張強度(250°C)	222	(+ 190 ~)
曲げ強度(常温)	243	(+ 205 ~)
熱時曲げ強度(250°C)	168	(- 155 ~)
耐熱強度(250°C, 500Hr.)	155	(- 135 ~)
層間せん断強度	16.5	(+ 9 ~)

等で明らかのように、バランスのとれた性能を発揮しており、しかも 280°C でのキュアが可能であるなど成形性も改善されていることを確認した。

- 3) 上記 OPI 型ポリイミド樹脂に対する次期展開の上の重点課題は、成形性がさらに向上した樹脂構成を検討しその中間素材化技術の確立をめざした改良研究を実施することにある。

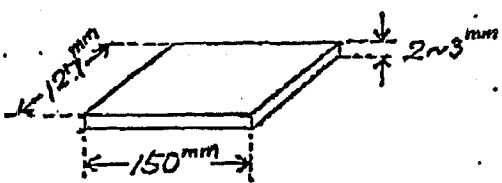
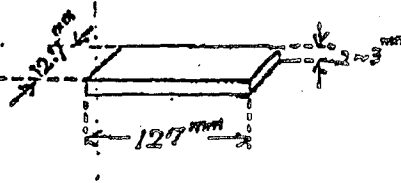
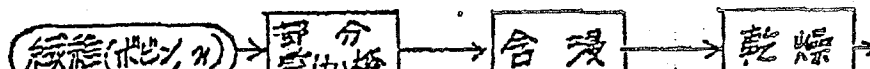
耐熱性樹脂の本質として、硬化に際しての流動特性はまだ満足すべきレベルとはいえず、アリルイミド型末端基の反応性をさらに生かすためにも成形性のより一層の改善を試みゆく計画である。

研究開発結果

3 (1) 高性能素材の開発

サブテーマ名. ①マトリックス樹脂の開発、②耐熱性樹脂(OP型)

1. 供試体

項目	内容													
① 形状・寸法	a) 平板状成形片 	b) 試験片サイズ成形片 												
② 使用材料	a) マトリックス樹脂: b) 強化繊維: 炭素繊維トレス T400 (東レ(帝人)) 引張強さ 420 Kgf/mm ² 引張弹性率 24 × 10 ³ Kgf/mm ² 引張破断伸び 1.75 %													
③ 中間素材の 製作方法	a) 手漉(バッヂ方式) b) DW法(ドライワインディング) c) UDビミネル法  													
④ 成形条件	a) フレス成形法 b) オートクレーブ成形法	<table border="1"> <thead> <tr> <th></th> <th>温度 (°C)</th> <th>圧力 (Kgf/cm².g.)</th> <th>時間 (hr.)</th> </tr> </thead> <tbody> <tr> <td>アレス 成形法</td> <td>キュア ポストキュア</td> <td>280 320</td> <td>2 4</td> </tr> <tr> <td>オートクレーブ 成形法</td> <td>キュア ポストキュア</td> <td></td> <td></td> </tr> </tbody> </table>		温度 (°C)	圧力 (Kgf/cm ² .g.)	時間 (hr.)	アレス 成形法	キュア ポストキュア	280 320	2 4	オートクレーブ 成形法	キュア ポストキュア		
	温度 (°C)	圧力 (Kgf/cm ² .g.)	時間 (hr.)											
アレス 成形法	キュア ポストキュア	280 320	2 4											
オートクレーブ 成形法	キュア ポストキュア													

2. 試験

項目	目標性能	試験方法	試験結果																									
① 0°引張 試験	R.T. 210 kgf/mm ² 250°C 190 kgf/mm ² (90%) -60°C 170 kgf/mm ² (80%) (Vf ≥ 65%)	<p>帝人KS2-T法による。</p> <p>a) 形状・寸法</p> <p>b) 12.7 mm l 12.7 mm t 2 mm h 1 mm R 20 mm S 14 mm</p> <p>c) 算出方法</p> <p>引張強度 = $\frac{P}{bh}$ (kgf/mm²)</p> <p>引張弹性率 = $\frac{P'}{bh}$ (kgf/mm²)</p> <p>引張伸び ストレッチ法</p> <p>(P: 断裂時荷重 P': 100%伸長荷重 勾配最大値)</p>	<p>[RT] 強度 年間変動係数 伸び</p> <table border="1"> <tr> <td>① 244</td> <td>15.8</td> <td>1.65</td> </tr> <tr> <td>② 228</td> <td>14.2</td> <td>1.69</td> </tr> <tr> <td>③ 243</td> <td>16.2</td> <td>1.54</td> </tr> <tr> <td>④ 235</td> <td>15.4</td> <td>1.52</td> </tr> <tr> <td>⑤ 244</td> <td>16.5</td> <td>1.56</td> </tr> </table> <p>X 238 $\frac{15.6}{kgf/mm^2} \times 10^3$ 1.59%</p> <p>S 6.7 0.90 0.074</p> <p>(CV) 2.8% 5.7% 4.7%</p> <p>[250°C] 強度 [-60°C] 強度</p> <table border="1"> <tr> <td>① 232</td> <td>227</td> </tr> <tr> <td>② 211</td> <td>214</td> </tr> <tr> <td>③ 248</td> <td>228</td> </tr> <tr> <td>④ 206</td> <td>224</td> </tr> <tr> <td>⑤ 215</td> <td>219</td> </tr> </table> <p>X 222 $\frac{222}{kgf/mm^2} \times 10^3$ 2.22</p> <p>(S. 17.3) (S. 5.9)</p> <p>(CV. 7.8%) (CV. 2.6%)</p> <p>Vf 65%</p>	① 244	15.8	1.65	② 228	14.2	1.69	③ 243	16.2	1.54	④ 235	15.4	1.52	⑤ 244	16.5	1.56	① 232	227	② 211	214	③ 248	228	④ 206	224	⑤ 215	219
① 244	15.8	1.65																										
② 228	14.2	1.69																										
③ 243	16.2	1.54																										
④ 235	15.4	1.52																										
⑤ 244	16.5	1.56																										
① 232	227																											
② 211	214																											
③ 248	228																											
④ 206	224																											
⑤ 215	219																											
② 0°曲げ 試験	R.T. 205 kgf/mm ² 250°C (10min.) 155 kgf/mm ² (75%) 250°C (500hrs.) 135 kgf/mm ² (65%) (Vf ≥ 65%)	<p>帝人KS2-B法による。</p> <p>a) 形状・寸法</p> <p>b 12.7 mm l 70 mm h 2 mm</p> <p>b) クロスヘッド速度 5 mm/min. スパン(L) 64 mm.</p> <p>c) 算出方法</p> <p>曲げ強度 = $\frac{3PL}{2bh^2}$ (kgf/mm²)</p>	<p>[强度] RT 250°C 250°C (10分) (500hr)</p> <table border="1"> <tr> <td>① 241</td> <td>157</td> </tr> <tr> <td>② 236</td> <td>195</td> </tr> <tr> <td>③ 240</td> <td>174</td> </tr> <tr> <td>④ 247</td> <td>167</td> </tr> <tr> <td>⑤ 252</td> <td>168</td> </tr> </table> <p>X 243. $\frac{168}{kgf/mm^2} \times 10^3$ 2.29</p> <p>(S. 6.3) (S. 7.2) (CV. 3.6%) (CV. 4.3%)</p> <p>前回記録 250°C (500hr) ① 155 ② 155 155 $\frac{155}{kgf/mm^2}$</p>	① 241	157	② 236	195	③ 240	174	④ 247	167	⑤ 252	168															
① 241	157																											
② 236	195																											
③ 240	174																											
④ 247	167																											
⑤ 252	168																											
③ 層間せん 断強度	≥ 9. kgf/mm ²	<p>帝人KS2-S法(3点曲げ法)。</p> <p>a) 形状・寸法</p> <p>[b 12.7 mm, l 25~50 mm] h 2 mm.</p> <p>b) クロスヘッド速度 5 mm/min. L=8 mm. $(\frac{L}{h} = 4)$</p> <p>c) 算出方法</p> <p>$\tau = \frac{3P}{4bh}$ (kgf/mm²)</p>	<table border="1"> <tr> <td>① 16.1</td> </tr> <tr> <td>② 16.6</td> </tr> <tr> <td>③ 16.6</td> </tr> <tr> <td>④ 16.6</td> </tr> <tr> <td>⑤ 16.6</td> </tr> </table> <p>X 16.5 kgf/mm²</p> <p>(S. 0.22) (CV. 1.3%)</p>	① 16.1	② 16.6	③ 16.6	④ 16.6	⑤ 16.6																				
① 16.1																												
② 16.6																												
③ 16.6																												
④ 16.6																												
⑤ 16.6																												

項目	目標性能	試験方法	試験結果
④ 織維含有率 (Vf)	≥ 65%	a) A法: 硝酸分解法 b) B法: 比重法 $V_f = \frac{\left(\frac{W_f}{d_f} \right)}{\left(\frac{W_f}{d_f} \right) + \left(\frac{W_e - W_f}{d_m} \right)} \times 100 \quad (\%)$ <div style="border: 1px solid black; padding: 5px; display: inline-block;"> Wf 織維重量 We 放形片重量 df 織縫比重 dm マトリックス比重 </div>	65%
3. 使用試験装置			
機器名	仕様概要	備考	
① 大型端坐試験装置	UTM-10T型 荷重容量 10トン (東洋ホールドワイン)		
② 大型端坐試験高溫槽	① 用恒温槽 TCF-10T-490型 高温側 max. 490°C. 低温側 - 60°C. (液体CO ₂ 79.4%) (東洋ホールドワイン)		
③ 機合耐久性試験装置	EHF-US/05型 荷重容量 500kg 恒温槽(290°C)付 (島津製作所)		
④ 定示天秤	LS-6DTP型 容量 160g 最小目盛 0.1mg (島津)		

研究開発結果彙約表

サブテーブル名		3.(1)高分子系の開発によるトライカーボンの開発-2耐熱性不燃性(MPI型)		
研究開発手法		マトリックス不燃性と新規主鎖型ホリミド(MPI型)		
前提条件等		強化繊維；炭素繊維 トレカ T400 成形法；説明片複合成形法		
項目	試験方法	実験結果	試験結果	試験結果
研究室的測定	<p>0°引張強度 (K_{GJ}/mm²)</p> <p>クロスヘッド速度 2mm/min. 引張強度 = $\frac{P}{b h}$ (K_{GJ}/mm²)</p>	<p>-60°C</p> <p>RT</p> <p>250°C</p>	<p>170</p> <p>210</p> <p>190</p>	<p>222</p> <p>202</p> <p>186 *</p>
力学的測定	<p>0°引張弾性率 (10³K_{GJ}/mm²)</p> <p>引張弾性率 = $\frac{P_{0.3}}{0.003bh}$ $P_{0.3}$; 至 0.3% 時の荷重</p>	RT	15.5	13.7
物理的測定	<p>0°緩衝伸び (%)</p> <p>ストレンゲージ法</p>	RT	1.35	1.38
物理的測定	<p>0°曲げ強度 (K_{GJ}/mm²)</p> <p>3点曲げ</p> <p>クロスヘッド速度 2mm/min. スパン</p>	<p>RT</p> <p>250°C (10min)</p> <p>250°C (5sec)</p>	<p>205</p> <p>155</p> <p>135</p>	<p>245</p> <p>173</p> <p>172</p>
	ILSS (K _{GJ} /mm ²)	3点曲げ(スパン厚さ比 5) 試験片寸法 2 × 10 × 15 mm	RT	≥ 9
	Vf (%)	濃硫酸過酸化水素分解法	—	≥ 65
成形性	項目	実験結果	試験結果	試験結果
成形品寸法	—	—	≥ 60 mm × 10 mm × 1~3 mm	
キニア	270°C × 14 K _{GJ} /cm ² × 4H	270°C × 14 K _{GJ} /cm ² × 4H	320°C × 3H	
ホストキニア	320°C × 6H			
研究見事	溶媒可溶性；トライカーボンの分子量が小さい為、引張強度 ILSS が低下します。分子量 分子量分布等の最適化により、物性の向上が予想されます。			

* 199 K_{GJ}/mm² (V_f=63.8%) の値より換算

研究開発実績

研究開発項目名 新規主鎖型ホリイント樹脂 (MPI型)

研究開発実施者名 (財) 次世代金属・複合材料研究開発協会

1. 研究開発期間 昭和56年度～昭和58年度

2. 研究開発手法、前提条件等

耐熱性のみならず、複合材料の種々の物性に影響を与える炭素繊維との接着性、複合材の破断伸び、更にFRPリフレクターの安定性、成形加工性の観点からホリイント系ストリックス不飽和樹脂の開発を目的に、下記の手法により検討を行なつた。

- 1) 検討対象を主鎖骨格に置く。
- 2) 複合材料用ホリイントは一般的に使用されているハニカムエインテトラカルボン酸に加えて、耐熱性の良好なホリイントが開発されたことにより、ヒロメリット酸でも複雑的に使用する。
- 3) 樹脂の形態として、PMR及びFRPリフレクターの安定性、成形加工性の向上を目的に、複雑可溶型モノマーを用いる。

3. 研究開発結果

① 実験の本件 (詳細別紙)

① 完成項目

低溫引張強度

引張伸び

曲げ強度 (常温, 高温)

成形条件

② 未達項目

常温引張 (强度, 弹性率)

ILSS

ヨーロッパで車両用接着剤の市販率は53%であるが、今後更に65%以上になると予想される。複合接着剤は接着強度が三倍以上ある。

2) 3. 一方、今後、既成の形状物から接着剤を用いて、X線検査装置の組立を行なうことが、二つの影響で約15%の現れが見込まれる。即ち、到着伸びが9低下(1.63%→1.38%)
 $\rightarrow V_f \text{ up } 1=8$ 物性と伸び低下(伸長率)の関係低下($227 \text{ kgf/mm}^2 \rightarrow 202 \text{ kgf/mm}^2$), 更に I LSS の大幅な低下 ($111.2 \text{ kgf/mm}^2 \rightarrow 6.8 \text{ kgf/mm}^2$) が予測される。

2) 洋月下旬見

1) ポリイミドの一試合がヨーロッパでトラカルボン酸の中、複合材料の使用実績を示すが、セロメタリウム酸以外、複合材料用ポリイミドは使用可能であることを実証した。(表1)

2) 形状が自工程、7.0%の安定性と、物性向上を目指して、複合接着剤の接着強度が三倍以上となることを達成し、二種の複合材料への適用が可能である。又、ヨーロッパ複合材料外商社では、既成の力学的性質を示すことが判明した(表2)
 (半許大原清)

- 更に物性向上を目標に、主鎖環骨格を複数分子で構成する。
- 有望な構造が得られる。

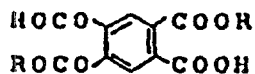
3) 一直 970℃ 中心發泡可吸入特徵的技術

4) 新規成形方法，實驗到達半精工流程之技術。

1) 1300℃ 以上之成形法之研究。

5) 未到達事處的問題與其解決方法

方面或形性之檢討並充分進行之可。單分子量之下降之
或形性之向上進行之行為，引張伸長，T_G之低下
之研究也。二項系之，基本的延伸之擴大上考慮此
為，分子量，分子量分布等，最適化之利，未成形溫度之
向上考慮上考慮此。



R -	融点 (°C) *1		溶解性 *2 (33wt%)		
	ピーク	分解	MeOH	Acetone	D MF
CH_3-	-	240	x	x	△
$\text{CH}_3, \text{CH}_2-$	-	227	x	x	x
$(\text{CH}_3)_2\text{CH}-$	212	207 ~227	x	x	○
$(\text{CH}_3)_2\text{CHCH}_2-$	154	201	△	△	△
$\text{CH}_3\text{OCH}_2\text{CH}_2-$	176	214	x	x	○

*1 DSC

*2 ○: 可溶 △: 一部可溶 x: 不溶

表 2 イミドオリゴマの融点及び溶解性

No	組成 (モル比 2/3/2)	融点 (DSC, °C)	溶解性 *1 (33wt%)			
			MeOH	MEK	T-HF	D MF
PE-1	PMDA/3,3'-EDDM/MNA	296	x	○	○	○
PE-2	PMDA/3,3'-EDDM/NA	-	x	○	○	○
PE-3	PMDA/3-EDDM/MNA	-	x	x	△	○
PE-4	PMDA/3-EDDM/NA	-	x	x	△	○
BE-1	BTDA/3,3'-EDDM/MNA	290	x	△	○	○
BE-2	BTDA/3,3'-EDDM/NA	307	x	△	○	○
BE-3	BTDA/3-EDDM/MNA	-	x	x	○	○
BE-4	BTDA/3-EDDM/NA	-	x	x	○	○
BD-1	BTDA/DDM/NA	-	x	x	x	x

*1 ○: 可溶 △: 一部不溶 x: 不溶

15/17

6392

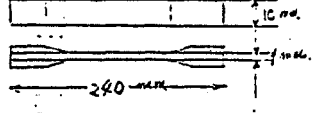
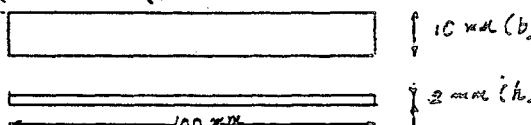
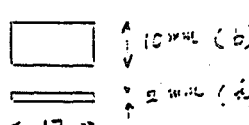
3(1) 高性能素板の開発

サブテーマ名 1) マトリックス樹脂の開発・2) 高強性複合材(MPI型)

1. 供試体

項目	内 容
① 形状・寸法	<p>平板試験片</p>
② 使用材料	<p>マトリックス樹脂：</p> <p>強化繊維：トレス T 400</p> <p>引張強度 : 420 kgf/mm^2</p> <p>引張弾性率 : $24.5 \times 10^3 \text{ kgf/mm}^2$</p> <p>引張破断伸び : 1.71 %</p>
③ 中間素板 作成法	<p>主要工程</p> <p>フリードレグ作成(DW法) → 予備乾燥 → 乾燥</p> <p style="text-align: right;">$100^\circ\text{C} \times 0.5\text{H}$</p>
④ 成形条件	<p>1) キュア条件 (°C)</p> <p>(A法:オートクーラー) (B法:フーレス)</p> <p>2) 779-キュア条件 (オーブン)</p> <p>$320^\circ\text{C} \times 3\text{ H}$</p>

2 試験

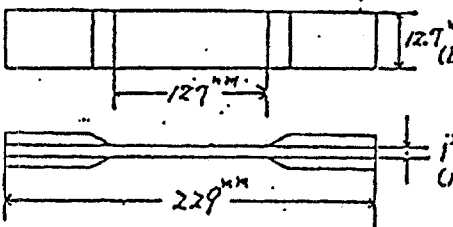
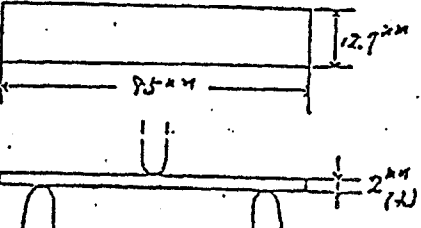
項目	目標性能	試験方法	試験結果
① 引張特性	<ul style="list-style-type: none"> 引張強度 (kgf/mm^2) -60°C: 170 RT: 210 250°C: 190 引張弾性率 (kgf/mm^2) RT: 15.5×10^3 伸 ϵ (%) RT: 1.35 	 <p>(-60°C, RTを考慮) (250°Cの場合)</p> <p>クロスヘッド速度 2 mm/min.</p> <p>(社内規格 CM 01G1)</p> <p>引張強度: $\frac{P}{bh}$ (kgf/mm^2)</p> <p>引張弾性率: $\frac{P_{0.3}}{0.003bh}$ (kgf/mm^2)</p> <p>引張伸度; ストレングージ法 (P: 破断時の荷重) ($P_{0.3}$: 垂 0.3% 時の荷重)</p>	-60°C 224, 221, 222 → av. 222 RT 强度 187, 200, 220 198, 206 → av. 202 弹性率 15.1, 13.8, 13.6 12.9, 13.0 → av. 13.7 伸 ϵ 1.17, 1.35, 1.47 1.44, 1.47 → av. 1.38 250°C 190, 197, 209 → av. 199 (但し $V_f = 68.8$)
② 回り強度	<ul style="list-style-type: none"> 回り強度 (kgf/mm^2) RT: 205 250°C (10%) : 155 250°C (50%) : 135 	三吳回り法 (社内規格 CM 0201)  <p>クロスヘッド速度 2 mm/min.</p> <p>スパン (L) 80 mm</p> <p>加圧二等分 3.18R</p> <p>支点二等分 3.18R</p> <p>回り強度 = $\frac{3PL}{2bh^2}$ P: 斜面荷重</p>	RT 254, 241, 239 → av. 245 250°C × 10 min 182, 170, 166 → av. 173 250°C × 500 hr 169, 160, 188 → av. 172
③ 層間せん断強度	<ul style="list-style-type: none"> 層間せん断強度 (kgf/mm^2) RT: > 9 	 <p>クロスヘッド速度 2 mm/min.</p> <p>スパン (L) 10 mm</p> <p>加圧二等分及支持二等分 3 R</p> <p>層間せん断強度 = $\frac{3F}{4bh}$</p>	RT 7.1, 7.0, 6.4 → av. 6.8

項目	目標性能	試験方法	試験結果
④ V_f	65% 以上	<ul style="list-style-type: none"> 化學天秤により試料の重量を計測す。 試料の密度を計測す。(JIS 7601準拠) ASTM D 3171-76に準拠して熱濃硫酸/過酸化水素水(5%)、不溶性を溶解す。 繊維を分別、洗浄、乾燥后、比重天秤により繊維重量を計測す。 次式により V_f を算出す。 $V_f = \frac{\text{繊維重量} \times \text{試験片密度}}{\text{試料総重量} \times \text{試験片重量}} \times 100 \quad (\%)$	65.2, 65.7, 62.3 → 平均 64.4

3 使用試験機材

機材名称	仕様概要	備考
① 試料試験機	<ul style="list-style-type: none"> 破壊荷重 : テンション (東洋ゴーリング社) UTH-5T型 荷重容量 : 5トン 	
② 化學天秤	<ul style="list-style-type: none"> 最大秤量 : 200 g 最小目盛 : 0.0001 g 	

研究開発結果要約表

サブテーマ名	30) 高性能素材の開発 I) マトリックス樹脂 2) 耐熱性樹脂					
研究開発手法	マトリックス樹脂: ポリキノキサリジ系樹脂 (PPQ型)					
前提条件等	強化織維: 東レ(株)製 T400 成形法: 試験片標準成形法 (プレス成形)					
研究開発結果	項目	試験方法	要求性能	試験結果		
	0°引張強度 (0°kgf/mm²)	 $\text{引張強度} = \frac{P}{b \cdot L} \quad (\text{kgf/mm}^2)$ <p>引張速度: 1.0^{±1%}/min</p>	-60°C	170	166	
			RT	210	166	
			250°C	190	174	
	0°引張弾性率 (10 ³ kgf/mm²)	$\text{引張弾性率} = \frac{P_{0.6} - P_{0.1}}{0.005 b \cdot L}$ $P_{0.6} = \frac{2\pi}{E} \cdot 0.6\% \cdot \text{時}\cdot \text{荷重}$ $P_{0.1} = \frac{2\pi}{E} \cdot 0.1\%$	RT	15.5	15.4	
	0°破断伸び (%)	$\text{破断伸び} = \frac{\text{引張速度}}{\text{引張弾性率}} \times 100$	RT	1.35	1.08	
	0°曲げ強度 (kgf/mm²)	 $\text{えんさ/全さ比: } 3:2$ <p>引張速度: 2.0~2.5^{±1%}/min</p>	RT	205	150	
			250°C (10min)	155	130	
			250°C (500hr)	135	135	
	1LDS (kgf/mm²)	<ul style="list-style-type: none"> 3点曲げ(えんさ/全さ比 4) 試験寸法 $2^{mm} \times 12.7^{mm} \times 28^{mm}$ 	RT	—	9.0	
成形性	D_f (%)	・仕込み法	—	≥ 65	64.0	
	項目	要求性能	試験結果			
	成形温度	—	$200^{mm} \times 250^{mm}$, 厚さ $1 \sim 2^{mm}$			
	半エア	$290^\circ C \times 4H, 14 \text{kgf/cm}^2$	$320^\circ C \times 2H, 30 \text{kgf/cm}^2$			
所見等	ポストキュア	$320^\circ C \times 6H$	なし			
			引張り強度の低い原因是装置の不具合(専用装置でないため)による配列の乱れと成形性不良による成形時の欠陥(ボリド等)による。			

研究開発実績

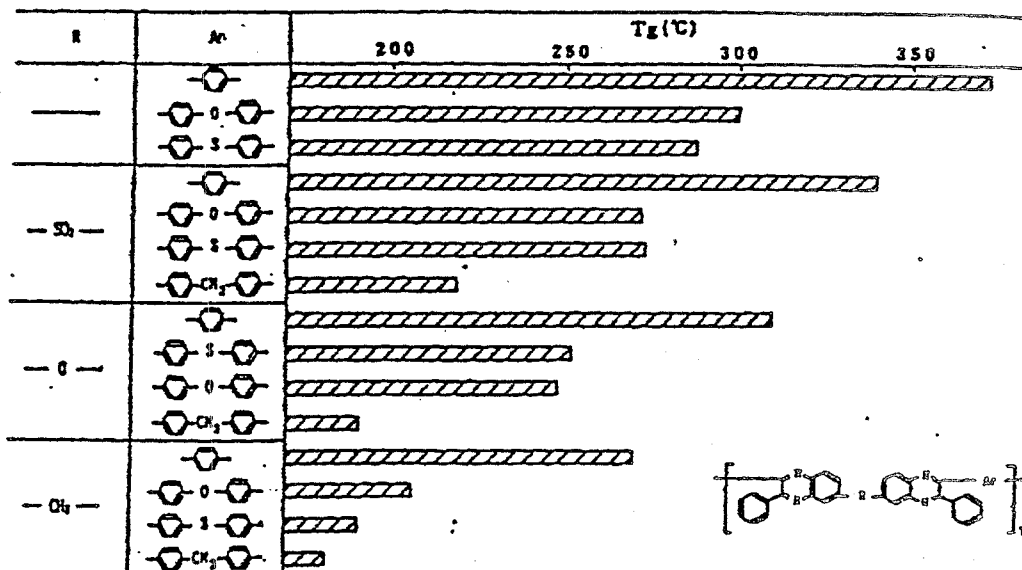
研究開発項目名 ポリキノキサリン系樹脂

研究開発実施者名 (財) 次世代金属・複合材料研究開発協会

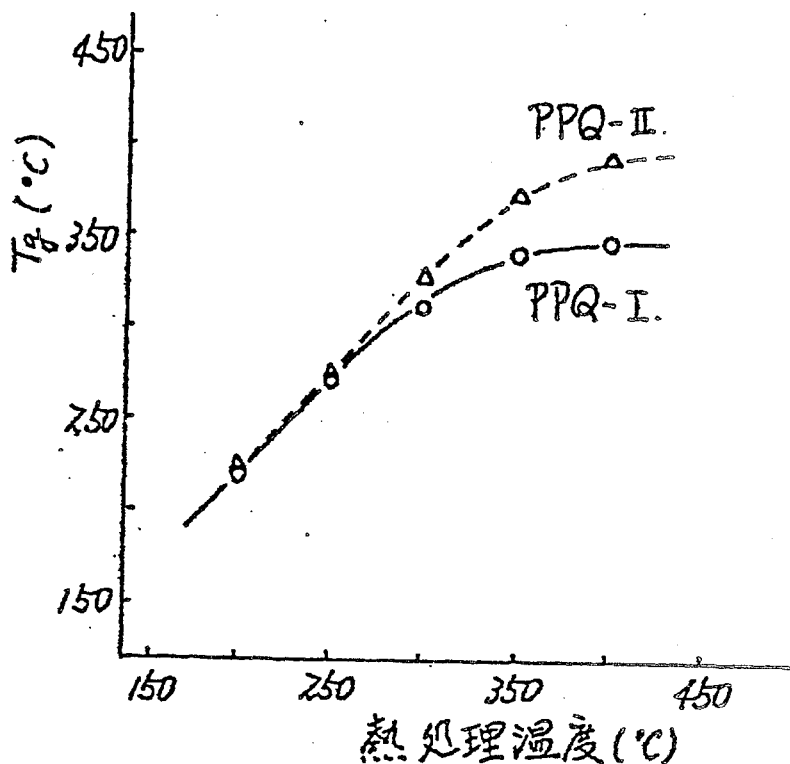
1. 研究開発期間 昭和56年度～昭和58年度

2. 研究開発手法、前提条件等

- 1). PPQの化学構造と耐熱性との関連について研究した結果
図1に示すように T_g 300°C以上の耐熱性の良好なPPQが得られることが分った。

図1. PPQの化学構造と T_g

- 2). これらの成果をもとに、CFRP用マトリックス樹脂としてPPQ-Iを開発した。PPQ-Iは180～220°Cで流動性を有するので、基本的には250°C成形可能であるが、流動性は残存溶剤の影響を強く受けることが分った。
- 3). PPQの耐熱性並びに物性の向上を目的として共重合による改質を検討し、PPQ-IIを開発した。PPQ-IIは熱処理によって T_g が400°C程度になり、PPQ-Iに比べて50°C以上向上。



4). PPQ-I 及び PPQ-II について複合材料物性の評価を行った。耐熱性は期待通り良好であったが、物性はポリイミド系に比べて低かった。この原因は成形時の樹脂の流動性が悪いためであることが分った（成形品にはボイド等の欠陥が多い）。とくに PPQ-II は環構造の形成に 300~350°C の高温が必要なため、縮合水の除去が困難であった。

* PPQ に期待される利点..

PPQ はポリイミド系に比べて 耐酸化性、耐水性等 が優れていたので、耐環境性の点で有利である。さうにポリイミドの場合、イミド化反応が 150~180°C であるのに対し、PPQ はバルク重合でも 150°C 以下で、メタリゾール中では室温で高重合化するところ、低温成形樹脂の開発が期待できる。

3. 研究開発結果.

(1). 実績のポイント(詳細別紙).

- ・力学特性は目標値をクリスマーするに到らなかった(79%)。
- ・250°C耐熱性はT_g(340°C)並びに曲げ強度の保持率が確認できる。

(2). 注意すべき知見.

- ・高い力学特性を実現するためには良好な成形条件であることが最も重要である。そのためには樹脂の含浸性(とくに成形時の樹脂の流動性)が重要な要因である。
- ・アリフレグ中の残存溶剤(とくにNMP等の高沸点溶剤)は性能低下の原因となる。

(3). 一連のプロセスの中で特記すべき特徴的技術

- ・主鎖の化学構造の最適化(PPQ-I)(特許出願手続中)
- ・新規構造の導入による共重合PPQの開発(PPQ-II)(特許出願手続中).

(4). 特に効果を發揮した技術.

- ・樹脂の化学反応に対するステップウェアによる成形条件の最適化(PPQ-IIの場合).

(5). 未到達事項の問題点と解決の目途.

- ① PPQの最大の問題点は樹脂の流動性が悪いことである。対策としては、(1)付加重合型樹脂への改質と(2)主鎖構造の最適化(共重合による改質)が考えられる。これらの対策によって複合材料物性は大いに向上するものと期待される。

◎ PPQの付加重合型樹脂への改質研究にあたっては、別途開発を進めて来た末端基制御型ポリイミド樹脂の研究によって得られた成果をトランスファーし(具体的にはT-5化合物の利用等)効率の良い研究開発を目指す。

(6) 先行技術・特許の状況

1) 特許(日本には障害となる特許は見当らない)

USP 3,661,850 (1970.7.16出願) PPQの製法。

3,748,307 (1972.4.3.)  末端

3,975,444 (1975.5.19.)

4,098,825 (1977.1.24.) CH≡C-R 末端

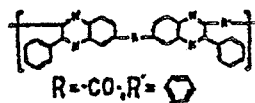
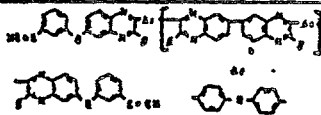
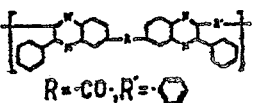
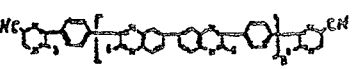
4,147,868 (1978.1.19.)

2) 先行技術

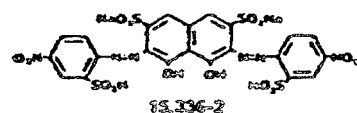
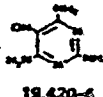
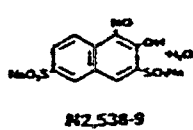
別表(次頁)にまとめた通り、-R-CN 末端 PPQ の物性が高いが、結じて低物性。NASA 及び民間では Boeing 社が研究している。

(7) 原料事情

初期は全て実験室レベルで合成または委託合成にて来だが、
中期はスケールアップが必要。調査の結果特定のグリオキサリルはフランスの IFP から購入できることになったが試験生産のため高価(30万円/kg)。テトラアミンは国内委託生産の線で検討中。いずれにしても当分は開発段階のため原料は高価。

REFERENCES	Flexural(MPa)	ILSS(MPa)	STRUCTURE
SAMPE,19,146(1974)	837	43	 R=CO, R'=C6H5
J. Applied Polymer Sci.,17,3235(1973)	1283	103	Ibid
SAMPE,20,315(1975)	803	32	Copolymer
	796~1052	32~53	?
SAMPE,21,83(1976)	1050	103	
SAMPE,8,114(1976)	1283	103	
	1667	62	

			# 677 #
11,470-7	*	2-Nitroso-1-naphthol, 95% [132-63-6] ONC ₆ H ₅ OH FW 173.17 mp 156-158° (dec.) Beil. 7,715 NMR 5,1420 IR 3,802G RTECS# QL4550000 Disp. C For the histochemical demonstration of tyrosine residues by fluorescence. <i>Histochemistry</i> , 58, 39 (1976). <i>J. Histochem. Cytochem.</i> , 28, 401 (1980).	10g \$ 9.00 50g 32.00
N2,538-9	*	1-Nitroso-2-naphthol-3,6-disulfonic acid, disodium salt hydrate [525-05-3] (nitroso-R-salt) FW 377.26 mp > 300° Beil. 11(2),190 Merck Index 9,5453 NMR 10,30A IR 3,1159F Disp. C	100g 21.00 500g 53.55
17,506-4	*	Nitrosonium tetrafluoroborate [74635-75-7] NOBF ₄ FW 116.81 Fieser 1,747 4,360 7,253 8,364 Merck Index 9,6469 Disp. N CORROSIVE MOISTURE-SENSITIVE	25g 43.45 50g 63.95
11,709-9	*	ρ -Nitrosophenol [704-91-6] ONC ₆ H ₅ OH FW 123.11 mp 132-134° (dec.) Beil. 7,622 Merck Index 9,5452 NMR 5,142A IR 3,801G RTECS# SM4725000 Sax 5,868 Disp. C FLAMMABLE SOLID TOXIC Moist solid containing 40% water	25g 8.20 100g 20.90
15,824-0	*	1-Nitrosopyrididine [930-55-2] FW 100.12 bp 214° n _D 1.4896 d 1.085 Fp 182°F(83°C) Beil. 20,6 IR 3,234F RTECS# UY1575000 Disp. C CANCER SUSPECT AGENT TOXIC Nitroso-R-salt, see N2,538-9, 1-Nitroso-2-naphthol-3,6-disulfonic acid, disodium salt	10g 9.15 50g 30.45
N2,640-7		2-Nitrosotoluene, 97% [611-23-1] CH ₃ C ₆ H ₄ NO FW 121.14 mp 72-75° Beil. 5,317 NMR 5,141B IR 3,801B RTECS# XT3400000 Disp. C	5g 71.50 25g 38.65
19,420-4	*	5-Nitroso-2,4,5-triaminopyrimidine [1006-23-1] FW 154.13 mp > 300° IR 3,1368E Disp. C	25g 12.85
N2,580-6	*	β -Nitrostyrene, 97% [102-96-5] C ₆ H ₅ CH=CHNO ₂ FW 149.15 mp 56-58° bp 250-260° Beil. 5,478 Fieser 6,422 NMR 5,143B IR 3,803B RTECS# WL5450000 Disp. C LACHRYMULATORY IRRITANT	25g 24.40 100g 67.45
N2,660-1		3-Nitrostyrene, 97% [586-39-0] H ₂ C=CHC ₆ H ₄ NO ₂ FW 149.15 mp 5° n _D 1.5840 d 1.070 Fp 225°F(107°C) Beil. 5,478 NMR 5,149A IR 3,807B Disp. C	2.5g 15.60 10g 39.40
15,336-2		Nitrosotungstate III, analytical grade [1504-09-2] FW 822.51 λ _{max} 573(407)nm Disp. C,D For the rapid titrimetric determination of phosphates and sulfates.	1g 15.40 5g 61.60 10g 109.05
20,812-4	*	Nitrosylsulfuric acid, 95 + % [7782-78-7] HO ₂ SONO FW 127.08 Fieser 1,755 2,299 Merck Index 9,6468 Sax 5,869 Disp. T CORROSIVE TOXIC Nitrosyl tetrafluoroborate, see 17,506-4, Nitrosonium tetrafluoroborate	50g 22.10 250g 85.50

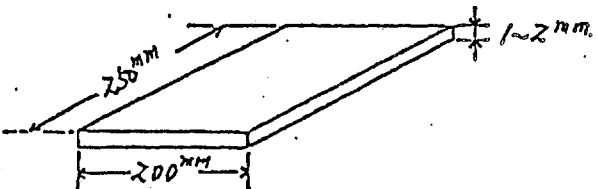
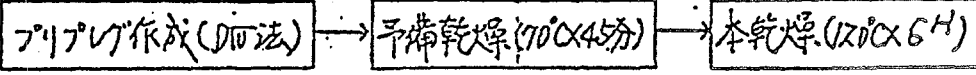
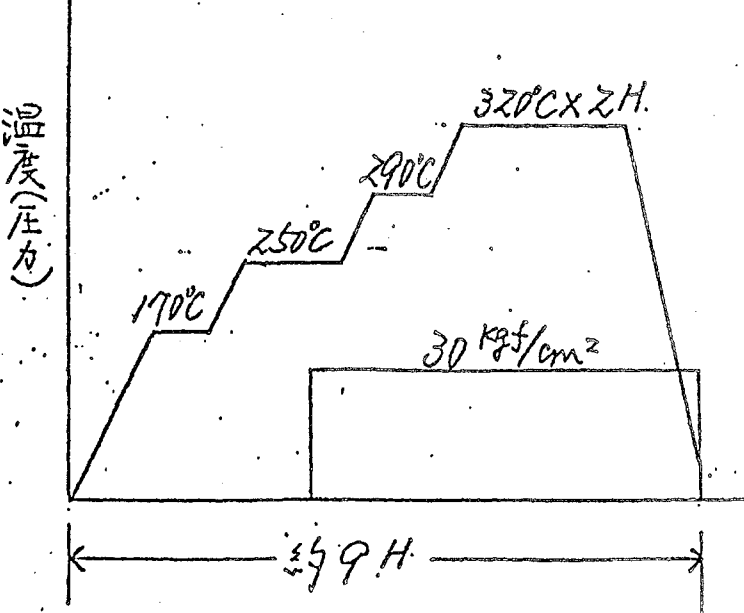


SEE PAGE F8 FOR RTECS# EXPLANATION

研究開発結果の詳細

3(1). 高性能素材の開発.

1. 試験体 サブマスク: 1) マトリックス樹脂の開発. 2) 耐熱性樹脂.(PPQ型)

項目	内 容
① 形状・寸法	平板状試験片 
② 使用材料	マトリックス樹脂: ポリキササリン系樹脂(PPQ型) 強化繊維: 東レ(株) トルカT400 (測定法: JIS R-7601(1980)) 引張強度 : 420 kgf/mm^2 引張弾性率 : $24.0 \times 10^3 \text{ kgf/mm}^2$ 引張破断伸び : 1.75%
③ 中間素材作成法	主要工程: 
④ 成形条件	プレス成形 

2. 試験

項目	目標性能	試験方法	試験結果																
① 0°引張り	<ul style="list-style-type: none"> 引張強度 (kgf/mm^2) -60°C: 170 RT: 210 250: 190 引張弾性率 (kgf/mm^2) RT: 15.5×10^3 伸び (%) RT: 1.35 	<p>東レ規格 CFR4RZCに準拠して測定する。</p> $\text{引張強度} = \frac{P}{b \cdot h} \quad (\text{kgf/mm}^2)$ $\text{引張弾性率} = \frac{P_{0.6} - P_{0.1}}{0.005 b \cdot h} \quad (\text{kgf/mm}^2)$ $\text{引張破断伸び} = \frac{\text{伸び}}{\text{弾性率}} \times 100 \quad (\%)$ <p>但し。 P = 破断時の荷重 $P_{0.6}$ = 垂直 0.6% 時の荷重 $P_{0.1}$ = 垂直 0.1% 時の荷重</p>	<p>-60°C 181.0 166.3 159.9 156.2 <hr/> 166</p> <p>RT 163.4 15.8 1.03 182.6 15.1 1.21 165.4 15.6 1.06 154.2 15.0 1.03 <hr/> 166 15.4 1.08</p> <p>HT 167.2 181.0 <hr/> 174</p>																
② 0°曲げ	<ul style="list-style-type: none"> 曲げ強度 (kgf/mm^2) RT: 205 250°C: 155 (10分) 250°C: 135 (500H) 	<p>東レ規格 CFR4RZC法にて測定する。</p> <p>スパン/厚さ比: 32 ロードヘッド速度: 2.0~2.5 mm/min</p>	<p>RT</p> <table border="0"> <tr> <td>[150</td> <td>X 150</td> </tr> <tr> <td>156</td> <td>X 156</td> </tr> <tr> <td>153</td> <td>X 153</td> </tr> </table> <p>250°C X 10分</p> <table border="0"> <tr> <td>128</td> <td>X 130</td> </tr> <tr> <td>132</td> <td>X 132</td> </tr> </table> <p>250°C X 500H</p> <table border="0"> <tr> <td>150.1</td> <td>X 136.9</td> </tr> <tr> <td>129.3</td> <td>X 125.3</td> </tr> <tr> <td>133.3</td> <td>X 133.3</td> </tr> </table>	[150	X 150	156	X 156	153	X 153	128	X 130	132	X 132	150.1	X 136.9	129.3	X 125.3	133.3	X 133.3
[150	X 150																		
156	X 156																		
153	X 153																		
128	X 130																		
132	X 132																		
150.1	X 136.9																		
129.3	X 125.3																		
133.3	X 133.3																		
③ ILS	<ul style="list-style-type: none"> ILSS (kgf/mm^2) RT: > 9 	<p>東レ規格 CFR4RZC 法にて測定する。</p> <p>スパン/厚さ比: 4. ロードヘッド速度: 2.0~2.5 mm/min</p>	<p>8.9 9.0 <hr/> X=9.0</p>																

項目	目標性能	試験方法	試験結果
④ Vf.	65%以上。	仕込み法。 ・フリーフレグの目付及び硬化板の厚さから計算に計算出。	64.0%

3. 使用試験機材。

機材名称	仕様概要	備考
① 材料試験機	・機器名称：オートグラフ(島津製作所) ・荷重容量：10トン	
② 化学天秤	・最大秤量：160g ・最小目盛：0.0001g	

番号		11	12	1	2	3
	PPQ-1のコンポジット物性評価		→			
	PPQ-2の合成		→			
	PPQ-2のコンポジット物性評価			→		

要旨

研究開発項目名 マトリックス樹脂の開発（熱可塑性樹脂）

研究開発実施者名 (財) 次世代金属・複合材料研究開発協会

1. 研究開発期間 昭和56年度～昭和58年度

2. 第一期目標のポイント

既存各種エンジニアリング・プラスチックについて、宇宙構造物等に用いられる炭素繊維複合材料のマトリックス樹脂としての可能性の有無を検討する。

3. 各年度の実施計画のポイント

昭和56年度：目標へのアプローチ手段の探索

昭和57年度：東レT300を強化繊維とし、つぎのエンジニアリング・プラスチックをマトリックスとした一方向複合材料の試作研究

ポリスルホン (P S)

ポリエーテルスルホン (P E S)

ポリカーボネート (P C)

ナイロン66 (N 6 6)

ポリフェニレンスルフィド (P P S)

4. 第一期の実績のポイント

-60°C～+100°Cの温度範囲において、炭素繊維複合材料用マトリックス樹脂としてはポリエーテルスルホン (P E S)、ポリスルホン (P S) が有望であり、耐熱性ではP E Sが、プロセス性、複合材料力学特性ではP Sが優れている。

3(1). 高性能素材の開発. 3). 熱可塑性樹脂

研究開発手法			①ドリップス樹脂: 热可塑性樹脂 ②強化繊維: 東レ製T300及#1371 ③成形法: 試験片標準成形法		
前提条件等					
研究開発 力学的 性質 結果	一方 向 找 力	項目	温度(°C)	ホリスUVホン	ホリエテルスUVホン
		0°引張り 強度 弹性率 伸び	RT RT RT	167 14.6	146 14.3
		0°曲げ 強度 弹性率	RT RT	180 13.5	161 13.2
		ILSS (kgf/mm²)	—	9.5	8.1
		Vf (%)	—	60.2	59.7
	TPE 素 材	曲げ強度 (kgf/mm²)	RT 100 150 200	84.7 77.6 57.5 —	77.4 65.7 62.1 34.8
		曲げ弾性率 (10³ kgf/mm²)	RT 100 150 200	6.0 6.0 5.9 —	5.7 5.7 5.7 5.5
		ILSS (kgf/mm²)	—	6.2	7.0
		Vf (%)	—	58.2	57.2
		成形温度 成形圧力	330°C 30 kgf/cm²	350°C 30 kgf/cm²	
所見等					

* 単位: 強度 kgf/mm², 弾性率 10³ kgf/mm², 伸び %

研究開発実績

研究開発項目名 マトリックス樹脂の開発(熱可塑性樹脂)

研究開発実施者名 (財) 次世代金属・複合材料研究開発協会

1. 研究開発期間 昭和56年度～昭和58年度

2. 研究開発手法、前提条件等

1). 热可塑性樹脂複合材料は、热硬化性樹脂複合材料に比べて、下記の特徴を有することから、宇宙機器用途に有望であることが分った。

① 热可塑性樹脂複合材料の利点

- プリプロセスに可使用期間がない。
- プリプロセスを加熱・賦形・冷却するだけで成形でき、成形サイクルが早い。
- 粘着剤を使用せずに加熱融着によって接着できる。

2). これらの成果をもとに既存の各種エンジニアリングプラスチックについて、炭素繊維複合材料用マトリックス樹脂との可能性を検討した結果、热可塑性樹脂としてはポリエーテルスルホンとポリスルホンが有望なことが分った(表1-2)。

表1-2 热可塑性樹脂複合材料の成形条件

項目 樹脂	プレス成形条件		文献にみられる成形条件	
	成形温度(℃)	成形圧力(kg/cm ²)	成形温度(℃)	成形圧力(kg/cm ²)
N66	270	7	250-280	3.5
PS	330	30	290-370	10-14
PES	360	30	290-340	14
PPS	360	60	320	10-14
PC	260	15	260	7

表1.1.1-31 耐熱樹脂複合材料物性

項目	樹脂 ℃	PES	PS	PC	N66	PPS
曲げ強度 (kgf/mm)	23	77.4	84.7	78.0	86.8	86.4
	100	65.7	72.6	57.1	46.2	48.0
	150	52.1	57.5	32	34.9	28.6
	200	34.8	1.9	-	26.3	11.3
曲げ弹性率 (10 ⁴ kgf/mm ²)	23	5.65	5.98	5.73	5.44	5.84
	100	5.66	5.98	5.63	5.23	5.43
	150	5.66	5.88	5.65	4.62	5.00
	200	5.45	1.3	-	4.31	4.07
ILSS (kgf/mm ²)	23	7.0	5.2	4.9	7.4	8.2
VIC(%)	57.2	58.2	57.5	58.5	57.8	

VIC 60万換算値

- 3) そこでさうにポリエーテルスルホンとポリスルホンについて比較検討を行った結果、耐熱性ではポリエーテルスルホンが優れているが、プロセス性並びに複合材料物性の点ではポリスルホンが優れていることが分った。

3. 研究開発結果

(1). 実績のポイント(詳細別紙).

- ・熱可塑性樹脂複合材料の力学的特性は熱硬化性樹脂複合材料(とくにエポキシ樹脂)に比べて劣る。
- ・耐熱性は150~180°Cが限界。

(2). 注目すべき知見.

- ・成形には高温・高圧が必要であるが、成形時間は熱硬化性樹脂に比べて短い。短時間成形用材料として有望。

(3) 一連のプロセスの中で特記すべき特徴的技術。
とくになし。

(4) 特に効果を發揮した技術。

- ・強化繊維中に樹脂を完全に含浸させることがポイント。
- ・樹脂を含浸させる手段として溶剤を用いる方法は性能(力学特性)低下の原因となる。

(5) 未到達事項の問題点と解決の目途

既存のエンジニアリングプラスチックスでは力学特性・耐熱性の点で限界がある。今後は斬新高性能樹脂開発の一環として可能性の探索を行おう。

VI 60% 氧气

项目	VI (%)						VA (%)
	PPS	PC	N66	PES	PS	TG	
聚丙烯 熔融指数 ($10^{-4} \text{g}/\text{min}$)	200	2.0	1.62	4.9	7.4	7.1	22
	150	3.65	1.8	-	9.31	4.07	20
	150	3.66	2.68	1.65	4.62	3.00	24
	100	5.66	3.98	3.63	5.22	5.43	23
	23	5.66	3.98	3.73	5.44	5.84	23
	200	3.48	1.9	-	2.63	1.15	20
	150	6.21	5.75	3.2	3.49	2.86	150
	100	6.57	7.26	5.21	4.62	4.80	100
	23	7.74	6.47	7.80	8.68	8.64	23

表 1.1.1-31 聚丙烯熔融指数与材料力学性能

项目	力学性能参数			
	屈服强度 (N)	屈服应力 ($10^3 \text{f}/\text{cm}^2$)	断裂强度 (N)	断裂应力 ($10^3 \text{f}/\text{cm}^2$)
PPS	350	60	320	10~14
PES	350	30	290~340	14
PS	330	30	290~370	10~14
N66	270	7	250~280	8.5

表 1.1.1-30 聚丙烯熔融指数与材料的力学性能

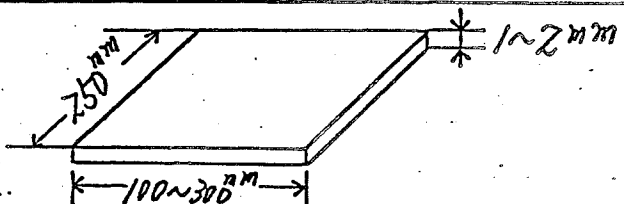
聚丙烯力学性能结果

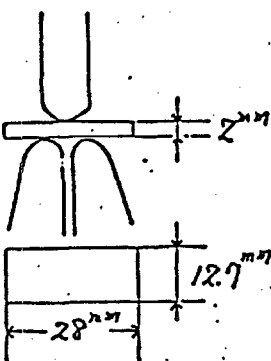
研究開発結果

3(1) 高性能素桿の開発

サブテ-マ名 1).マトリックス樹脂の開発-3 热可塑性樹脂

1.供試体

項目	内 容
①形状・寸度	平板状試験片 
②使用材料	マトリックス樹脂：ポリスルホン（UCC社 P1700） ポリエーテルスルホン（ICI社 100P） 強化繊維：東レ（株）トレカT300 トレカクロス #7373
③中间素桿作成法	主要工程 プリプレグ作成（手含浸）→乾燥（80°C×16時間）
④成形条件	A: ポリスルホン 金型温度：330°C 压 力：30 kgf/cm² 時 间：15分 B: ポリエーテルスルホン 金型温度：350°C 压 力：30 kgf/cm² 時 间：15分

③ ILSS	 <p>東レ規格 CF04RZC 法にて測定する。 スパン/支点比: 4 クロスヘッド速度: 2.0~2.5 mm/min</p>	<p><u>一方向拉</u></p> <table border="1"> <thead> <tr> <th>PS</th> <th>PES</th> </tr> </thead> <tbody> <tr> <td>9.5</td> <td>8.1</td> </tr> </tbody> </table> <p><u>クロス拉</u></p> <table border="1"> <thead> <tr> <th>PS</th> <th>PES</th> </tr> </thead> <tbody> <tr> <td>6.2</td> <td>7.0</td> </tr> </tbody> </table>	PS	PES	9.5	8.1	PS	PES	6.2	7.0
PS	PES									
9.5	8.1									
PS	PES									
6.2	7.0									
④ TF	<p>東レ社内規格 CF04RZC による 燃焼法</p>	<p><u>一方向拉</u></p> <table border="1"> <thead> <tr> <th>PS</th> <th>PES</th> </tr> </thead> <tbody> <tr> <td>60.2</td> <td>59.7</td> </tr> </tbody> </table> <p><u>クロス拉</u></p> <table border="1"> <thead> <tr> <th>PS</th> <th>PES</th> </tr> </thead> <tbody> <tr> <td>58.2</td> <td>57.2</td> </tr> </tbody> </table>	PS	PES	60.2	59.7	PS	PES	58.2	57.2
PS	PES									
60.2	59.7									
PS	PES									
58.2	57.2									

3. 使用機器

機器名	仕様概要	備考
① 材料試験機	<ul style="list-style-type: none"> 機器名: オートグラフ (島津製作所) 荷重容量: 10t 	
② 化学天秤	<ul style="list-style-type: none"> 最大秤量: 160g 最小目盛: 0.0001g 	

研究開発項目名 繊維の表面改質（炭素繊維）

研究開発実施者名 (財) 次世代金属・複合材料研究開発協会

1. 研究開発期間 昭和56年度～昭和57年度

2. 第一期目標のポイント

「マトリックス樹脂の開発」の対象とする炭素繊維（東レT300及びT400）のこの研究で開発されるマトリックス樹脂との接着性が現行表面改質処理（表面酸化法）で充分であるか否かを確かめる。

評価基準は一方向複合材の層間せん断強度が米国の耐熱CFRPに対する要求値並であることとする。

3. 各年度の実施計画のポイント

昭和56年度：既存エポキシ樹脂との適合性の確認試験

昭和57年度：東レT300と新開発耐熱樹脂との適合性の研究

4. 第一期の実績のポイント

昭和57年度までに東レT300の現行表面処理は高温及び吸水状態における力学特性、層間せん断強度についてエポキシ樹脂並びにポリイミド樹との接着性に有意義な不具合点が認められず、研究は一応中断されたが、昭和58年度には強化繊維をT400とした各種耐熱樹脂の開発に当たり一方向複合材の層間せん断強度の測定が行われるので、その結果によって再評価した結果、一部試験片が成形上の問題（ボイド）のため評価の対象とならなかった他は何れも目標を達成していることが確認された。

研究開発結果要約表

サブテーマ名		3.(1) 高性能素材の開発 2). 繊維の表面改質. -1. 炭素繊維.	
研究開発手法		ILSS(3点曲げショートビーム法)による評価.	
前提条件等		強化繊維: 東レ(株)製トルカT400 成形法: 試験片標準成形法.	
研究開発結果	区分	要求性能	試験結果
	工ホキシ系樹脂	ILSS $\geq 11.0 \text{ kgf/mm}^2$	PGP型 12.0
			PGN型 13.5
			PGI型 12.1
	耐熱性樹脂	ILSS $\geq 9.0 \text{ kgf/mm}^2$	TP1型 11.5
			OPI型 16.5
			MPI型 6.8
			PPQ型 9.0
所見等		PPQ型のILSSが低いのは、試験片のボイドが多いため。	

研 究 明 確 実 結

研究開発項目名 繊維の表面改質(炭素繊維)

研究開発実施者名 (社) 次世代金属・複合材料研究開発協会

1. 研究開発期間 昭和56年度～昭和57年度

2. 研究開発手法、前提条件等

- 1) 炭素繊維トルカT300と既存のエポキシ樹脂との適合性の確認試験を行った。その結果、高温及び吸水状態における力学特性、層間せん断強度(JIS S)に関して、繊維と樹脂との接着性に起因する有意義な不具合点は認められなかつた。一方複合材料の曲げ破断面におけるSEM観察の結果からも繊維と樹脂との接着性に関しては、基本的に問題のない事が確認できます。
- 2) 第1期に開発した高耐熱性樹脂(DGI型、MPI型)とトルカT300との接着性に関して実施した確認試験でも、繊維と樹脂との接着性に関しては、基本的に問題のないことが確認できた。
- 3) さらに第1期で開発した高耐熱性樹脂とトルカT400との接着性を層間せん断強度の点から評価したが、繊維と樹脂との接着性に関しては、基本的に問題ないことが分った。

3. 研究開発結果

(1). 実績のポイント(詳細別紙)

いずれの樹脂も目標をクリヤーした。

(2). 注目すべき知見。

現行の炭素繊維の表面特性に関しては次世代で開発中の高耐熱性樹脂に關しても、基本的には問題のないことが確認できた。

(3) 一連のプロセスの中で特記すべき特徴的技術

とくになし。

(4) 特に効果を發揮した技術

とくになし。

(5) 未到達事項の問題点と解決の目途

現行炭素繊維と新規高耐熱性樹脂との適応性に関しては、今後の樹脂開発研究の中で検討していく。

要旨

研究開発項目名 繊維の表面改質（アラミド繊維）

研究開発実施者名 (財) 次世代金属・複合材料研究開発協会

1. 研究開発期間 昭和56年度～昭和58年度

2. 第一期目標のポイント

強化繊維ヒマトリックス樹脂との接着性向上を目的として、強化繊維の表面改質に関する基礎研究を行なう。

アラミド繊維、ヒマトリックス樹脂のもつ引張強さ、衝撃強さなどの特徴をコンポジット特性にもつとも効果的に発揮させるためには、表面接着性の向上が必須条件であり、HM-50繊維の表面処理によってアラミド繊維のせん断強度の向上のための改質技術を探求することを第一期の目標とする。

3. 各年度の実施計画のポイント

56年度：アラミド繊維の表面改質技術に関する解析・探索を行ない、問題点を明確にする。

57年度：HM-50繊維の現状把握および改質技術の探索を実施し、接着性向上策の方向づけを行なう。

58年度：HM-50繊維の表面改質技術の改良・展開により、接着性向上を達成する。

4. 第一期の実績のポイント

(1) アラミド繊維の表面改質技術の探索により、表面の活性機能を化学的に活用しないで出るニードル接着性向上の有効法三段であると判断した。

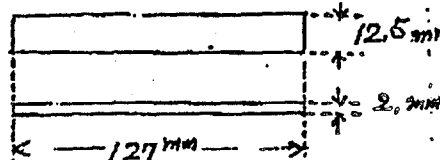
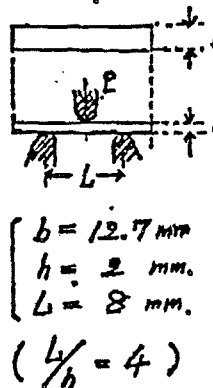
(2) 繊維の化学的改質法を検討した結果、下記3つのアプローチがHM-50繊維の接着性向上に効果的であることを見出し、改質の方向づけを行なった。

- (1) アラミドポリマー・アレコーティング(たとえば、ポリマーなど)
- (2) 極性溶剤処理(たとえば、溶剤N、溶剤Dなど)
- (3) 試薬N処理

(3) 上記のような改質法の原因分析および展開を試みた結果、コンポジットヒマトリックス：エボキシ樹脂の層間せん断強さで20%の改善を達成した。

4/10

研究開発結果要約表

サブテーマ名		3.(1)高機能素材の開発②繊維の表面改質②アラミド繊維			
研究開発手法		HM-50繊維の化学的処理法			
使用材料		強化繊維: HM-50繊維 (標準: 1500 den/1000fil.) マトリックス樹脂: エポキシ樹脂			
供試体形状		一方向引きそろえコンポジット(試験片) 			
供試体特性					
成形条件	項目	温度(°C)	圧力(kgf/cm²)	時間(hr.)	備考
	ギア	160	スローハイ使用	0.5	
研究開発結果	項目	試験方法	要求性能	試験結果	
	①層間せん断強度 (kgf/mm²)	3点曲げ法 	R.T. 7 kgf/mm²	7.2 kgf/mm²	
新見等					

6/10

研究開発実績

研究開発項目名 繊維の表面改質 (アラミド繊維: HM-50)

研究開発実施者名 (財) 次世代金属・複合材料研究開発協会

1. 研究開発期間 昭和56年度～昭和58年度

2. 研究開発手法、前提条件等

(1) アプローチ区分

HM-50繊維の接着性向上を目的として、表面改質とくに化学的処理を中心とした表面処理を試み、コンポジットの層間せん断強度の向上を実施する。

(2) 化学的処理の実施

種々の繊維表面処理を試めた。その概要は以下の通りである。

- ① 通常の溶剤処理(製糸用油剤の除去を含む)により、層間せん断強度は数%の改善を達成した。
- ② 特定の活性溶剤(溶剤N、溶剤Dなど)処理により、繊維表面の疎水性状態をひきおこし表面活性化に有効であることを見出した。
- ③ 通常の樹脂(エポキシ系、ポリウレタン系など)のプレコーティングにより、接着性は数%改善した。
- ④ HM-50繊維と同族ポリマー(溶液)のプレコーティングは層間せん断強度で15%前後の上昇を見せた。
- ⑤ エッティング作用をもつ特殊試薬(試薬Nなど)処理により、層間せん断強度は15%前後の上昇を見えた。
- ⑥ 上記の処理の組合せにより、層間せん断強度で25～30%の改善を示すことを観察した。

(3) コンポジットの層間せん断強度の改善

上述のように複数の化学処理の組合せによって、HM-50繊維(処理)/エポキシ樹脂系コンポジットの層間せん断強度を7.2 Kgf/mmまで上昇させることが可能となった。(目標性能7.0 Kgf/mm)

(4) 新規開発の耐熱マトリックスへの適用によって上述の化学的処理効果を確立する予定である。

3. 研究開発結果

(1) 実績のポイント

本研究は、アラミド繊維と樹脂との接着性向上に各種の繊維表面改質法が有効であることに着目し、HM-50繊維に対して各種の化学的処理を試みてきたものである。

HM-50繊維の表面を活性状態にするために有効な手段は、①特定の極性溶剤による処理、②特殊なエッキング効果をもつ試薬による処理、などである。（[図1]及び[図2]参照）、さらに、これら処理を特定して組合せることによって接着性の向上を達成することができた。（[表1]及び[表2]）。

すなわち、アラミド繊維に関する世界的標準（Kevlar）から離れた目標性能 7.0 Kgf/mm^2 を凌駕する実績を得た。

(2) 注目すべき知見

HM-50繊維の表面活性化処理に際し、繊維自身の強度特性を低下させずに表面層を改質することを試みたところ、試薬Nで代表される特定の試薬を用いる処理によって所期の目的達成に有効であるという知見を得た。

(3) 特徴的技術

本研究で実施した改質技術のポイントのひとつに、中間素地化工程におけるトリックス樹脂含浸に先立って連続的に処理するのが好ましい進様であることがあげられる。

(4) 特に効果を發揮した技術

HM-50繊維の接着性を向上させることを目的として実施したいくつかの化学的処理の中でも[表1]及び[表2]に示したように特定の極性溶剤による処理の寄与率が大きめ大きいことを見出した。

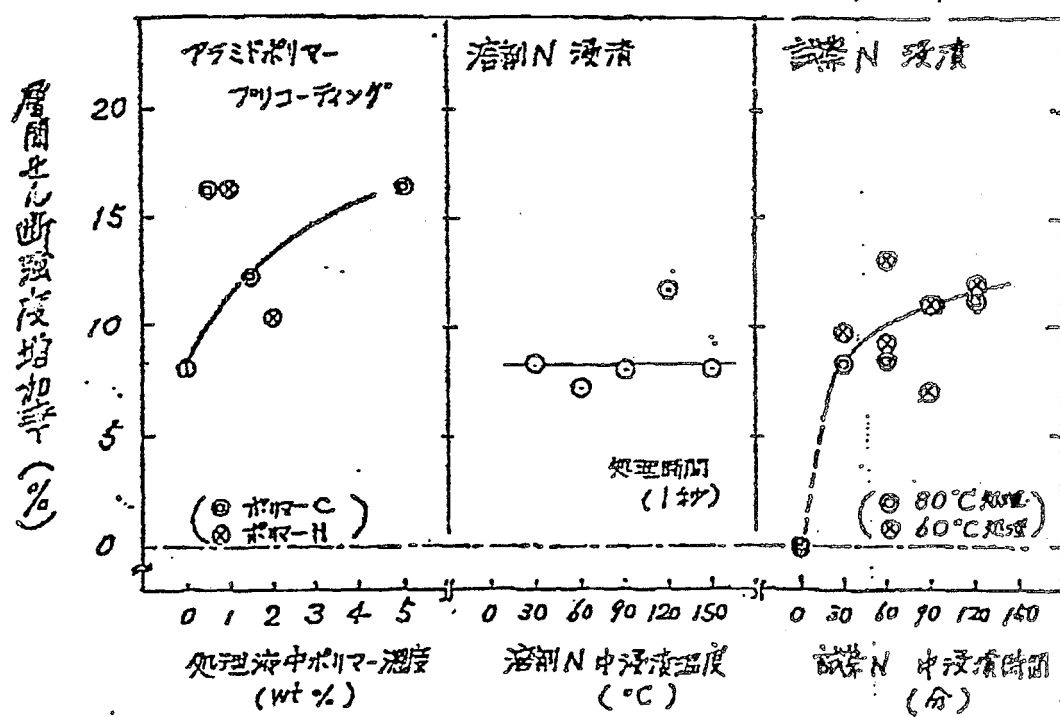
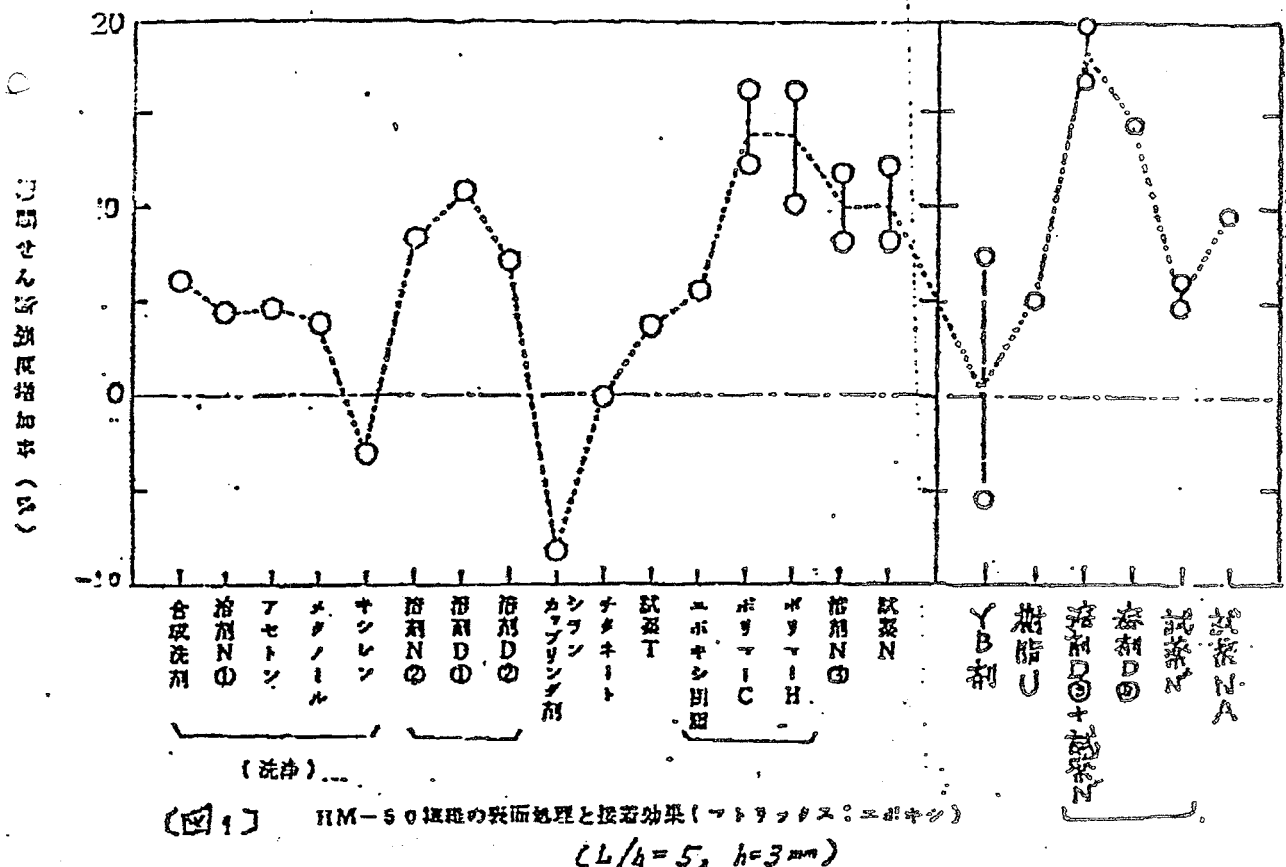
(5) 問題点と解決策

上述してきたように、いくつかの特定の化学的処理によってHM-50繊維の接着性を改善しコンポジットの層間せん断強度において目標性能を達成することができた。したがって問題点ではないが、今後の展開課題としては、これら技術を現在開発中の新規樹脂に適用して効果を検証するとともに処理条件をさらに適正化することによって一層の接着性向上を確認していくことがあげられる。

5/
10

所見等

- 1) アラミド繊維としてのHM-50繊維に対していくつかの特徴の化学的処理を実施し、エポキシ樹脂(現行)系コンポジットにおける層間せん断強度を評価したところ、特定の組合せによって～30%の改善を実現することを確認した。
- 2) すなわち、第一期の目標性能 7.0 kgf/mm²を超える処理方法が存在する二とが示された。
- 3) 上述の結果はいずれも通常のエポキシ樹脂をマトリックスとするコンポジットにおいて得られた成果である。したがって、今後の課題は現在研究開発中の新規耐熱樹脂への技術転移にあると考えている。



(図 2) HM-50 繊維の表面改質と層間せん断強度 (アクリル酸:エポキシ)
($L/h = 5, h = 3\text{mm}$)

*) 半加理 HM-50 鋼鐵 (757-7)

No.	表面改質 層間化學分析試樣 (L/H=4)	氮 鋼 N % C %	表面處理 方法 D 酸 洗 液 類 別	表面處理 方法 D 酸 洗 液 類 別	Kgf/mm ²	增加率 (%)	表面改質 層間化學分析試樣 (L/H=4)	No.
1 (*)	—	—	—	—	5.59	—	—	1
2	80°C, 24h RT, 1mm	—	—	—	6.88	+ 23.1	2	2
3	—	—	80°C, 1hr ^(a)	6.99	6.99	+ 25.0	3	3
4	60°C, 1hr ^(a)	—	—	—	6.51	+ 16.5	4	4
5	“	—	80°C, 1hr ^(a)	7.19	7.19	+ 28.6	5	5
6	“	—	80°C, 1hr ^(a)	7.18	7.18	+ 28.4	6	6
7	“	—	—	—	7.21	+ 28.0	7	7

〔表2〕 HM-50 鋼鐵の表面改質上層間化學分析試樣 (L/H=4)

*) 半加理 HM-50 鋼鐵 (757-7)

No.	表面改質 層間化學分析試樣 (L/H=4)	氮 鋼 N % C %	表面處理 方法 D 酸 洗 液 類 別	表面處理 方法 D 酸 洗 液 類 別	Kgf/mm ²	增加率 (%)	表面改質 層間化學分析試樣 (L/H=4)	No.
1 (*)	—	—	—	—	5.56	—	—	1
2	—	—	○	—	6.54	+ 17.6	2	2
3	—	—	○	—	6.07	+ 9.7	3	3
4	—	—	○	○	6.88	+ 23.7	4	4
5	—	—	—	○	5.14	- 9.6	5	5
6	—	—	○	—	6.45	+ 16.0	6	6
7	—	—	—	○	5.62	+ 1.1	7	7
8	—	—	○	○	6.67	+ 20.0	8	8

〔表1〕 HM-50 鋼鐵の表面改質上層間化學分析試樣 (L/H=4)

10/10

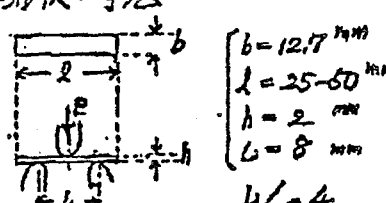
研究開発結果

3. (1) 高性能系繊の開発 ② 繊維の表面改質
サブテーマ名. ② アラミド繊維: HM-50

1. 試験体

項目	内容
① 形式	a) 表面処理 HM-50 繊維 (ボビン) b) 成形片 (標準試験片) 150×127×2 mm (または 12.5×127×2 mm.)
② 使用材料	a) HM-50 繊維: カーブ 標準 1500 de/1000fil. (他の例として 1000 de/666 fil., 250 de/166 fil. など)
③ 処理条件	a) 手法及び処理剤 化粧処理 (溶剤類, 油脂類, 極性溶剤等) b) 処理条件 常温, ~80°C (加温). 連続詰めはバッチ方式

2. 試験

項目	目標性能	試験方法	試験結果
① 層間せん断強度 (kgf/mm²)	R.T. 7 kgf/mm²	市人 KS2-S 法 (3 点曲げ法) a) 形状・寸法  b) クロスヘッド速度 5 mm/min. c) 算出方式 $\text{層間せん断強度} = \frac{3P}{4bh}$ $(ILSS) \quad (kgf/mm^2)$	1) 処理-1. { ① 化粧 N. } { ② 溶剤 D. } { ③ 油脂 E. } $ILSS = 7.2 \text{ kgf/mm}^2$ 2) 処理-2. { ① 化粧 N. } { ② 溶剤 D. } $ILSS = 7.0 \text{ kgf/mm}^2$

3. 使用試験装置

装置名	仕様 装置	備考
大型耐性試験装置	UTM-10T型 (東洋ボールドウイン) (容量 10トン)	ロードセル 500kg 使用。

主旨

研究開発項目 中間素材の開発(炭素繊維三次元織物)

研究開発実施者名 繊維高分子材料研究所

1. 研究開発期間 昭和57年度～昭和58年度。

2. オ一期目標のポイント。

製品に要求される性能(機械的、熱的)及び形態に応じた繊維(又は)の配列と組織を有する三次元(3-D)織物複合材料の3-D織物の開発を目指し

① 織物の糸(炭素繊維ロービンク)配列密度、組織及び成形条件(樹脂含浸条件)と複合効果の関係を調べ、3-D織物の設計及び複合材料の性能向上のための資料を得る。

② 縦、横、高さ又は円周、半径、長さ方向の糸が任意に転位蛇行して三次元的組織を有し、柱状又は環状等の立体賦形の織物を製織できる3-D織物織成装置を考案し設計する。

3. 各年度の実施計画ポイント。

57年度：糸の交点が通常の織物のように組織して3-D織物の製織法の開発とその方法を用いて試織して3-D織物複合材料の諸条件(組織、密度等)と力学特性の関係を求める。また織物を構成する要素部の力学的特性についても調べる。

58年度：前年度に引き続けて3-D織物複合材料の力学特性を調べると共に環状等立体形状賦形の可能な三次元組織体の製織装置を開発するための予備実験と装置の設計を行う。

4. オ一期の実績のポイント。

① 組織状態の異なる3-D織物を試織し、成形した複合材料の力学的性質は織物の繊維配列に直線部分の多い組織の方が圧縮強度及び弾性率において大きな値が得られた。ロービンク配列密度の異なる種々の格子状3-D織物複合材は曲げ、圧縮に対して大きな比強度、比弾性率が得られ、これらの値は一般的傾向として配列密度が小さくなるにつれて増加する。またこの材料の弱点に弱い欠点は材料の外周に補助クローピングを配することにより解決できることがわかった。

② 絡み組織の3-D織物は直交組織のものより優れたアフレーチュル特性を示す。

③ 環状、異形断面柱状織物の織成機構の考案と装置の設計を行った。この機械の主要部の一部を設計試作し、問題との把握と改善により織成の可能性を確認した。 83

研究開発結果まとめ表

サブテーマ名		③(1) 高性能素材の開発 ③) 宇宙素材の開発	
研究開発手法		三次元織物	
複合材料等	機械的特性の検討	使用材料 強化織維；炭素織維（東邦レヨン製ベスファイト, 12,000f） マトリックス樹脂；エポキシ樹脂（シエル化型エピコート828）	供試体形状
複合材料等	供試体特性	①炭素織維ロービングを用いた組み隔たり異なる三種類の3-D織物、及び“ロービング”の配列密度の異なる四種類の3-D織物に樹脂を浸した複合材料。 ②ロービング配列ピッチがツイードの格子状多孔3-D織物複合材、及びこれに補強ロービングを追加した複合材料	
成形条件		3-D織物を樹脂液槽に浸せきした後、槽より取り出し、室温で48時間放置、80°Cのモードで8時間加熱硬化	
アブレニヨン特性の検討	使用材料 強化織維；炭素織維（東邦レヨン製ベスファイト, 12,000f） マトリックス樹脂；フェノール樹脂（大日本インキ製、アライオーフェン5900） 供試体形状 50mm × 25mm × 100mm	供試体特性 組織（直交組織） (組織) ロービングの配列密度 直交組織、組織 織糸に4本/cm	
成形条件		樹脂を含浸後、3-D織物を100°Cで4時間加熱処理後、160°Cで24時間キニア	
三次元織物の織成方法		織機、高さ、又は円周、半径、長さ方向のロービング（糸）が往復運動位相を行って組織し、柱状、環状等の立体幾何学的形状の織物を製織できる構造の考案と設計。	
要求性能等		試験法等	結果
複合材料	機械的特性	軽量で大きな強度、弾性率を有する3-D織物複合材料の織成、成形等の考案	試験片は特殊な形状を有しているが、試験方法及び計算式は一般的な方法に準拠した。 曲げ試験（曲げ度0.5mm/min）、圧縮試験、圧縮速度2mm/min、振り試験（速度0.03rad/min） ① 組みビッソ4の異なる三種類の3-D織物複合材では、見掛け比重は約0.48で曲げ強度44kg/mm ² 、圧縮強度3.5kg/mm ² の値が得られた。 ② 同々の配列密度の格子状多孔3-D織物複合材は大きな比強度、比弹性率が得られる。 ③ 3-D織物複合材の振り回り剛性は補助ロービングを配することにより向上する（実験例で約6倍）。
アブレニヨン特性		直角組織の3-D複合材より大きなアブレニヨン性能	各々直角組織の3-D織物は直交組織のものより、アブレニヨン性能として優れた性能を示す。各々直角組織の3-D織物は高温放射炎（理論燃焼温度3000°C）より160mmの位置で120秒、10mmの位置で60秒間にわたりヤクモ上の変化を示すことがわかった。
三次元織物の織成方法		糸配列、組織、及び形態に多様性を有する織成法と構造の設計	製織中に、糸の配列密度と組織の変更、曲面の形成がでて、円柱、環状の異形形が可能となる3-D織物の織成法を考案した。この構造の主要部分の一部を試作し、その製織動作の多様性を五室を設けた。

研究開発実績

研究開発項目名

宇宙素材の開発(炭素繊維三次元織物)

研究開発実施者名 綾織高分子材料研究所

1. 研究開発期間 昭和57年度～昭和58年度

2. 研究開発手法、前提条件等。

2-1. 研究開発手法

三次元織物

三次元(3-D)織物を素材とした複合材料には優れた力学的特性、熱的特性の発現が期待できる。高強度、耐衝撃性、高温熱特性を有し車体構造材やアレーション材料に使用可能な複合材料の宇宙素材を開発するためには、製品の要求性能に応じた基材(織維)構成と成型が必要であるとの見地から3-D織物の構成条件と材料特性の関係を調べ、3-D織物の設計資料を得ると共に織成法及び樹脂複合化法を開発する。

2-2 前提条件等。

2-2-1. 炭素繊維三次元織物複合材料

(1) 使用織維

実験に用いた炭素繊維の諸元を表1-1に示す。

(2) 成形条件

実験に用いた樹脂及び成形条件を表1-2に示す。

表1-1. 使用織維の諸元

織維 (ロービング)	炭素繊維(東洋レジン製) 12,000f 0.8g/m 单纖維の直径7μm	ロービングには下ヨリ、上ヨリを加え双糸とした。 ヨリ数は次の三種類のものと用意した a 下ヨリ 20t/m・S, 上ヨリ 15t/m・Z b 下ヨリ 40t/m・S, 上ヨリ 30t/m・Z c 下ヨリ 78t/m・S, 上ヨリ 60t/m・Z
---------------	--	--

樹脂合浸ロービングの強度試験にはa,b,cを使用し、3-D織物複合材の成形にはbを用いた

表1-2 樹脂及び成形条件

組成	(1) 配合比	(2) 配合比	(3) 配合比	硬化条件	備考	
					①	②
エポキシ樹脂 粘度調整剤 硬化剤(トリニチレンテトラミン)	100	100	100	合浸後室温 で48時間放置 80°Cで2~3 時間加熱	3-D織物複合材 の成形には主として ①の配合比で使用 一部の3-D織物 について、②③④の 配合比で使用	
フェノール 樹脂	Plyophen 5900(日本化成工業製) フェノール・ホルムアルデヒド初期重合物 三溶媒(MEK変性アルコール) 過酸化フエノール 過酸化ホルムアルデヒド	63%	27%	8%	2%	合浸後100°C で9時間加 熱後室温 160°Cで24 時間キュア

* 株式会社の特許の不承認試験では、炭素繊維織物-エポキシ樹脂複合材を用い、一
つめの特許はノーベル賞受賞者による、二つめの特許はノーベル賞受賞者による、三つめの特
許はノーベル賞受賞者による。

(3) 供試体形状及び特性.

炭素繊維ロービングを用いた断面が $50mm \times 50mm$ の柱状で、終み間隔の異なる三種類の3-D織物とロービングの配列ピッチの異なる四種類の3-D織物を樹脂合浸成形した複合材料を用い、及び圧縮試験片とした。曲げ試験片はその長さを $300mm$ とし、圧縮試験片は長さが $100mm$ で両端をエポキシ樹脂で補強したもの用いた。

また織縦配列ピッチが $10mm$ の柱状3-D織物複合材料及びこの材料の最外周にトラス状に補強ロービングを配して長さ $160mm$ のものを接り試験片とした。表2-1及び表2-2は3-D織物複合材の組織概略図、ロービング配列ピッチ等を示す。

表2-1. 三次元織造複合材の構造

組織記号		0	I' I	II	III
組織概略図					
Zx	-	5 mm	5 mm	5 mm	5 mm
Zy	-	5	5	5	5
XY	2.5 (0)	2.5(2.5)	5(5)	5 (10)	5 (15)
XZ	2.5 (0)	2.5(2.5)	5(5)	5 (10)	5 (15)
YX	2.5 (0)	2.5(2.5)	5(5)	5 (10)	5 (15)
YZ	2.5 (0)	2.5(2.5)	5(5)	5 (10)	5 (15)
備考		アブレーション供試体 フェノール樹脂合浸	機械的性質についての供試体 エポキシ樹脂合浸		

表2-2. 三次元織造複合材の構造

三元三号:		A	B	C	D	三元三号:
Zx	-	10	10	10	15	-
Zy	-	10	10	10	15	-
XY	10	10	10	15	-	-
XZ	20	20	10	15	-	-
YX	10	10	10	15	-	-
YZ	20	20	10	15	-	-

三元三号について、アトリックニ（正統）①、②、③を置いて三元三号を行った。他の三元のものは②を置いて三元した。

2-2-2 3-D織物織製法.

製織中に於いて糸(ロービング)の配列数、密度、組織の変更、及び織物外形の変化について多様性をもつ織成機種について検討しトーションレスの手法を基本にした機構を考案した。

3. 研究開発結果

(1) 実績のポイント (詳細別紙)

① 3-D 織物の構成条件と複合材料の機械的性質の関係

- i) 組織状態の異なる3-D織物を試織し、成形した複合材料の力学的性質は織物の織糸配列に直線部分の多い組織のものが圧縮強度及び弾性率において大きな値が得られた。
- ii) 格子状(多孔)3-D織物複合材料は曲げ、圧縮に対して大きな比強度、比弾性率が得られ、これらの値はロービングの配列密度が小さくなるに従つて増加する。また、この材料の挨りに弱い欠点は材料の外周に補助ロービングを組織させることにより解決できることがわかつた(特許昭57-167847)。
- iii) 格子状(多孔)3-D織物複合材料を構成する構造要素の力学的特性を検討し、構造体の力学的解析についての基礎資料を得た。

② 3-D 織物の組織と溶融耐熱性

サーマルスフレーガンによる溶融耐熱性(アブレーション)試験において、絡み組織の3-D織物を基材とした試料は、直交組織の3-D織物を基材とした試料よりも大きな溶融耐熱性を示し、絡み組織の3-D織物は高性能アブレータ用の基材としての応用が期待できる結果が得られた。

③ 3-D 織物の織成法の考案とその装置の設計

環状、異形断面3-D織物の織成法について検討し、織成機構の考案と装置の設計を行つた。また、この構成の主要部の一部を試作し、問題点を把握すると共に、数次の改造を行い、製織の可能性を確認した(特許昭58-243562号他)。

(2) 注目すべき知見

絡み組織の3-D織物はロービングの面配列密度の調節と、ロービングの交差位置における転位の効果により、耐衝撃性や振動吸収性などの柔構造的特性を示すことがGFRPの試料で確認されており、CFRPにおいても、織物の組織(密度、絡み间隔など)と素材の最適化を行うことによって、緩衝材への応用が期待できる。

(3) 一連のプロセスの中で特記すべき特徴的技術

本研究における3-D織物織成法の特徴の一つは、糸(ロービング)の位置の交差位置において糸が転位した絡み組織の織物が得られるこことであり、このことによって、3-D織物の組織及び転郭形成上の多様性

を得るべしかつた。

また、組み組織の3-D織物は多くの変形に際しても糸の耐引状態が“遙かにくく、安定した組織立体である。この性質は、複合化の発展における織物革新上の利便性となつた。

(4) 特に効果を発揮した技術

炭素織維は鉛錆土、加工小走り、織造ではなく、特に組み組織の3-D織物の製織に際しては、張力、然の状態等、製織性能を得るために配慮が“必要であり、製織技術に関して、当场が着する多くの結果が役立つた。

(5) 未到達事項の問題と解決の目途

- ① 織合材料の性能向上
構造材としての3-D複合材料には、一層の強度向上が必要である。某においては、製織性能の観点から比較的多くにたいロービンゲ（1,200sf）を双糸（二股）にして用いたため、織物の糸面倒密度が小さく、複合材料としての織織完成度が低い。織合率本数が少ないと、ロービング（例えば“3,000sf）を用い、比較的大きく糸に直線部分の多い織子状の組み組織を採用するなど、織織の高完成度を図り、構造用基材としての性能も向上を目指す。

- ② 3-D織物の組織及び曲面形成について、多孔性を有する不燃構の表置化を図ることか”で”きたが、各動作の完全な全量化については、次期に計画している表置の試作と並行して検討する。

研究開発結果の詳細

(1) 3-D織物の構成条件と複合材料の力学特性

表2-1に示したような組織状態は異なるが見かけ比重のはほとんど変わらない3-D織物複合材料(試料記号I, II, III, 図1上)を成形し曲げ及び圧縮試験を行った。試験片数は2で力学的性質を表3にまとめて示した。曲げ強度及び弾性率には組織の違いによる影響はあまり見られないが圧縮強度及び弾性率は織維配列に直線部分の多い、つまり負荷方向に直線部分の多い組織ほどその値が大きくなることがわかった。(III)>(II)>(I)。また配列密度(ロービング配列ピッチ)の異なる3-D織物複合材料(表2-2, 図1下参照)の力学的性質を調べた結果を表4に示す。

種々の強度、弾性率はロービングの配列が密になると同時にあって单调に増加するが実測値を見掛け比重で除した比強度、比弾性率については曲げの場合に单调に増加し、圧縮の場合には増加せずむしろ減少する傾向が見られる。また表中の試料C-①, C-②, C-③は組織Cの織物を表1に示したようなストリップスの配合比(①, ②及び③)で含浸成形した複合材料でその試験結果には顕著な傾向は見られないがC-③が最も曲げ特性が良いが圧縮特性が悪いようである。

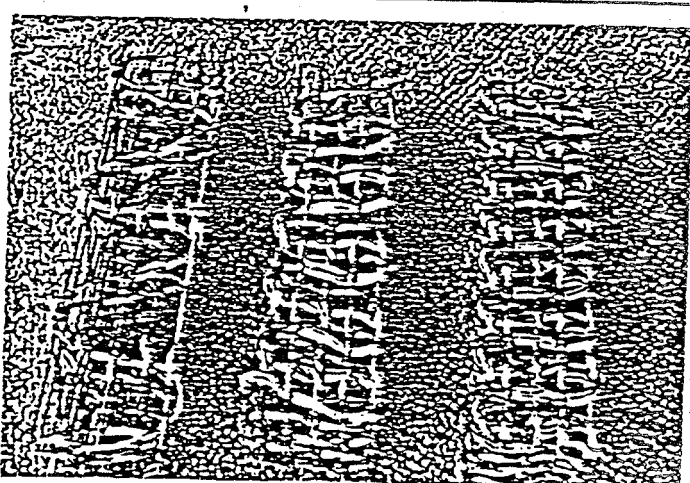
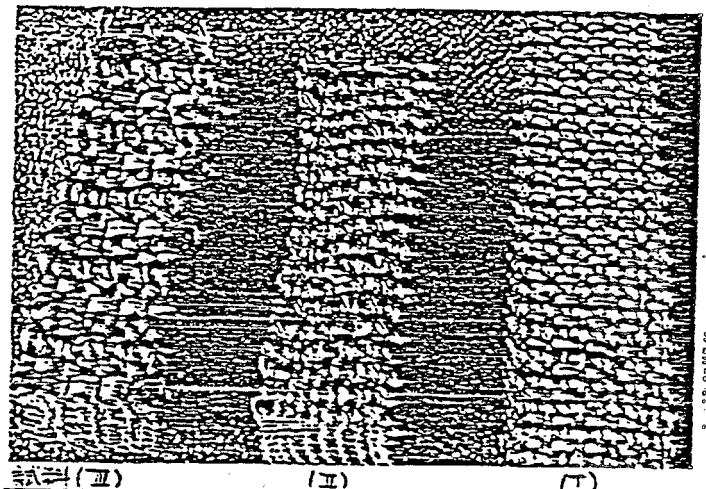


図1 3-D織物複合材料の外観写真

表3. 組織で異にする三次元構造複合材料の力学的性質

試料記号	I	II	III
見掛け比重	0.487	0.477	0.478
曲げ強度 (Kg/mm²)	4.02	3.84	4.02
比曲げ強度	8.25	8.05	8.41
曲げ弾性率 (%)	124	127	119
比曲げ弾性率 (%)	255	266	249
圧縮強度 (Kg/mm²)	2.29	3.38	3.70
比圧縮強度	4.70	7.09	7.74
圧縮弾性率 (%)	155	214	215
比圧縮弾性率 (%)	318	449	450

* 試験片寸法：曲げ試験 50 (mm) × 50 (mm) × 300 (mm)
圧縮試験 50 (mm) × 50 (mm) × 100 (mm)

表4 ローピング配列ピッチの異なる三次元複合材料の力学的性質

試料記号	A-②	B-②	C-①	C-②	C-③	D-②
見掛け比重 曲げ強度 比曲げ強度 (Kg/mm ²)	0.082 0.260 3.170	0.112 0.440 3.930	0.157 0.770 4.900	0.177 0.780 4.410	0.180 1.240 6.890	0.092 — —
曲げ弹性率 比曲げ弹性率 (Kg/mm ²)	10.0 121.9	15.0 133.9	34.5 219.7	40.0 226.0	67.5 375.0	— —
圧縮強度 比圧縮強度 (Kg/mm ²)	0.48 5.85	0.56 5.00	1.21 7.71	1.73 9.77	1.15 6.39	0.45 5.00
IE標準性率 比IE標準性率 (Kg/mm ²)	1.91.8 1.19.5	110.2 983.9	124.4 792.4	147.8 835.0	125.6 637.8	71.8 780.4

繊維配列ピッチの大きい格子状多孔3-D織物複合材料は大きな振り変形に耐えられるが振り剛性は小さいという欠点がある。そこでこの欠点を補うために材料の外周圍にトラス状に補強ローピングを組織させた試料について振り試験を行な結果、力学的特性、特に振り特性の向上に大きな効果があることがわかった。

表5に試料C-0を

補強したC-1,C-2の

振り試験結果を示す。

最大振り剪断応力、剪断弾性係数は共にローピング補強により大きくなる。特に剪断弾性係数は補強法により3~6倍と増加する。

表5 三次元複合材料の振り試験結果

(無効=ローピングによる遮蔽効果)

三三三号	C-0	C-1	C-2
三三三号	—	—	—
最大引張強度	0.177	0.197	0.222
最大引張強度(無効)	0.170	0.260	0.410
最大引張強度(無効)	0.960	1.320	1.680
せん断弾性率G (E _s /E _c)	5.100	15.600	33.500
せん断弾性率G (E _s /E _c)	28.800	79.200	137.300

(2) 3-D織物複合材料を構成する構造要素の力学的特性

3-D織物を用いた格子状の複合材料は樹脂を複合したローピングとこれが交差した接点部から形成されている。これらの構造要素の力学的性質を検討し要素の曲げ、圧縮、振り特性等を明らかにし構造体の力学的解析に対する基礎的資料を得ることは重要であると考えられる。

表6には樹脂含浸CFローピングの系数、エトリックス配合比が圧縮強度、圧縮弾性率及び振り剪断弾性係数等に及ぼす影響について調べた結果を示す。

座屈荷重、圧縮弹性率については糸の上捻数の増加と共に大きくなり配合比にも影響されるようである。他方、剪断弹性係数及び最大捩り剪断応力は糸の上捻数の増加と共に減少する傾向があり、また配合比に大きく影響されるようである。ここでローピングの捩り試験における捩りの方向は糸の捻り方向とは逆方向であるため上記の結果は予想されることである。

表6 繊維吉田 C-F-P-1ローピングの力学特性

(単繩ヨリ立、トライックニッティングの三三三三にて測定データ)

6-1. 三三三三 (E/S=2)

糸上ヨリ立 (三三三)	15 (E)	30 (S)	60 (C)	ローピング径 D (E)	最高強度 Gmax (kg)
①	46.0	40.1	35.7	1.613	4.52
②	50.8	45.3	36.0	1.660	4.89
③	55.1	48.4	45.3	1.635	4.16

三三三三よりヨリ立の番号に表/参考

6-2. 三三三三 (E/S=2)

糸上ヨリ立 (三三三)	15	30	60
①	2.31×10^3	2.23×10^3	2.51×10^3
②	2.63	2.47	2.57
③	2.70	2.25	2.53

三三三三試験：試料 1=20mm 試料の初期比 (l_0/l) < 50。三三三三 T=5mm/2mm

6-3. セン断弹性係数 G と最大ねじりセン断応力 Tmax

糸上ヨリ立 (E/S=2)	15	30	60	G (E/S=2)	Tmax (E/S=2)	G (E)	Tmax (E)
①	35.9	1.32	39.7	1.21	39.6	0.87	
②	29.7	1.46	16.5	1.16	19.2	1.05	
③	56.7	1.76	43.8	1.33	36.0	1.19	

ねじり試験：試料長さ 1=20mm ねじり歪度 $\theta = 0.628$ rad/mm

図4 1=3-D構造要素の捩りモデルとその捩り特性耳す。ここでは捩り方向は糸の捻り方向と一致する。

3-D構造要素(接点部)

3-D構造要素(接点部)の最大捩り剪断応力 T_{max} 及び剪断弹性係数 G はローピング单一要素のそれより大きな値を示した。要素の長さと捩り特性との相関は見出せなかつた。また3-D構造要素の捩り変形に伴う破壊は要素の接点部では生じなかつた。また図4に示すに値よりかなり大きな値となつてあり、3-D織物を構成する要素は当然のことではあるが糸の捻り方向に対する捩りの方が強いことがわかる。

図5に幾つかの座屈モデルにおける座屈強度と細長比 l/r_0 の関係を示す。モデル③が3-D構造要素の二軸方向のローピング要素端を固定し他の軸に荷重を加えた場合で、中央に水平方向の拘束力と回転力が作用するモデルであり、格子状溶接3-D線拘束材の各部位の座屈挙動に最も類似した挙動を示すものと考えられる。実験結果から3-D構造要素の座屈モデル②の座屈挙動はモデル③のそれに近似して考えられる。なお3-D構造要素の座屈による破壊は接点部において認められて接点部以外ではじている。

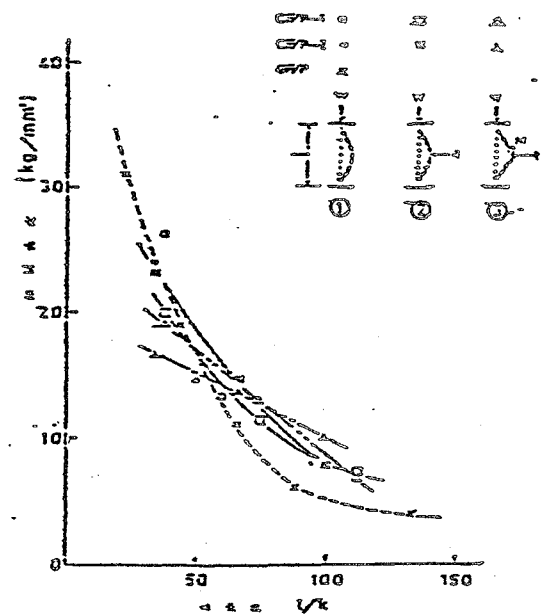
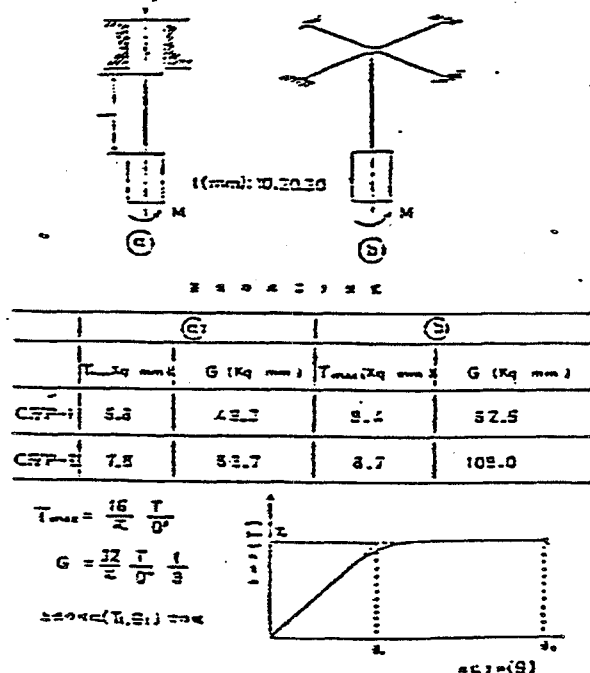


図5. ローピング要素及び3-D構造要素の座屈强度

図6. 3-D構造要素(接点部)
のばく離強度測定法
とばく離(剪断)強度

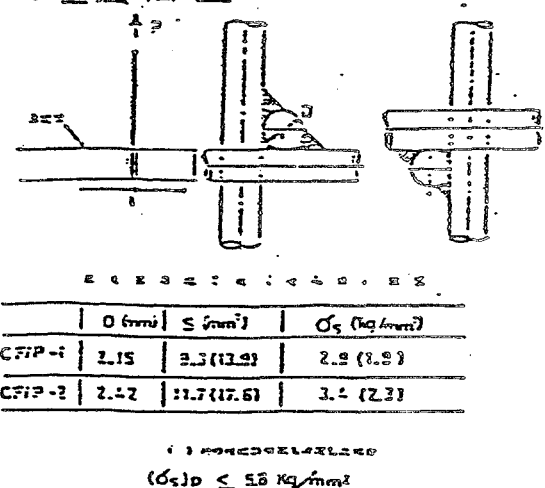


図6に3-D構造要素接点部のばく離強度の測定法と測定結果を示す。図中の(σ_s)Aは使用したエボキシ樹脂の剪断強度である。

3. 3-D 織物複合材料のアブレーション特性。 (次ページ参照)

4. 環状・異形断面柱状織物の織成装置の考案と設計
縦、横、高さ又は円周、半径、長さ方向の各が任意に転位実行する三次元的組織を有する環状柱状体(例えは断面が円形、菱形状のもの)や異形断面柱状体(例えは断面が溝形、工形状のもの)を織成する機構を考案した。またこの機構の主要部の一部を設計、試作し、考案した機構の問題点を把握した。また数次の改造を行い考案した機構によって環状・異形断面柱状織物の製成が可能であることを確認した。その内容も特許「三次元織物の織成方法及びその装置(特願昭58-242562他)」を考案した。この装置によって織られる組織と断面形状の一例を図7-1, 7-2示す。

図 7-1

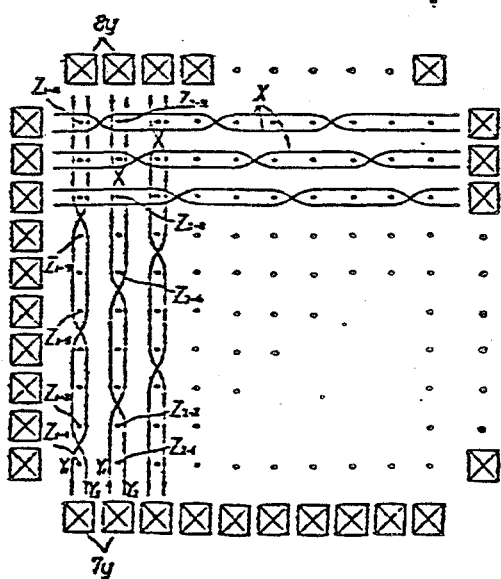
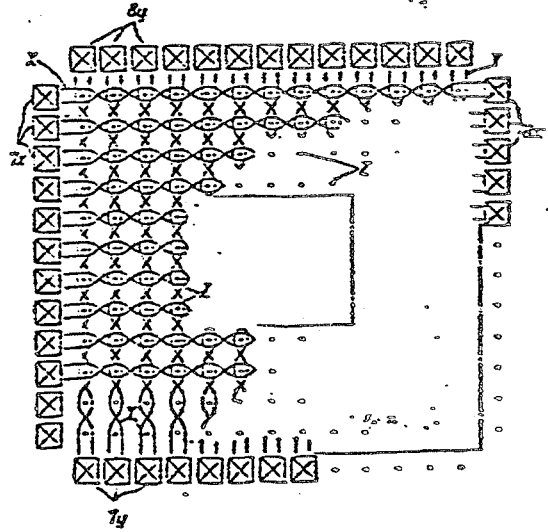


図 7-2



3-D織物複合材料のアブレーション特性

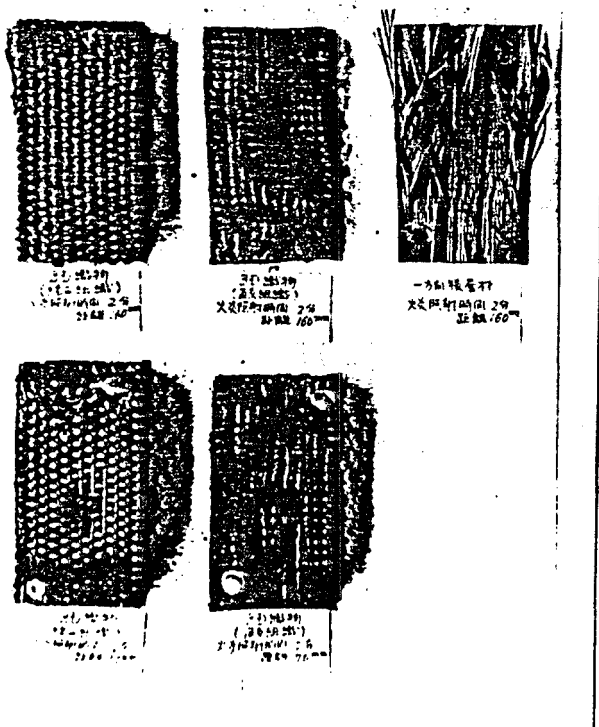
試料に用いた基材は表2-1の試料記号0, I'の3-D織物であり、同一のロービング面に列密度を有する直交組織と絡み組織のものを選んだ。上記5-3-D織物に表1-2に示す組成のフェノール樹脂を含浸し、同表の硬化条件(50mm × 50mm × 100mm)の大きさの直方体に成形し、これを長さ方向に中央において切断し、た裁片をテストに供した。試料の織維充てん率は41.3wt%である。

酸素・アセチレン燃焼炎(理論燃焼温度3,000°C)を試料の裁断面に対して、35°の角度で放射した。試料面から火炎ノズルの先端までの距離が70mm, 160mmについて、火炎を1~2分間放射し、試料面の形態の変化を観察した。表7に、実験条件及び結果の要旨を示す。アブレーションテスト後の試料表面の状態を写真に示す。

表7 実験条件及び結果

試料形状 (mm)	基材の 組織 度(°C)	火炎理論 燃焼温 度(°C)	ガス欠圧 力(PSI)	放射距 離(mm)	放射時 間(sec)	重量損失 率(%)	損傷面積 (cm ²) (最大深さ)	試料面の損傷状況の観察		
直方体 (50×100×25)	直交 組織	3000	20	160	60	—	—	樹脂のみ焼失のみ、基材には変化なし		
					120	10.0	3.5 cm ² (3.2 mm)	表層部の織縫が剝離し、剥離		
					70	21.9	3.0 (3.8 mm)	5 cm ² にわたり凹部を形成、溶着が 認められる		
	絡み 組織			160	60	—	樹脂のみ焼失のみ、基材には変化なし			
				160	120	(12.5)	0 (0)	基材に変化を認めない		
				70	120	15.3	11 (2.6 mm)	約1 cm ² の面積に凹発生、溶着あり		
平板** (50×100×3)	一方向 積層			160	60	22.5	全面	織縫は試料表面より剝離、一部剥離		
				160	120	27.9	全面	" 多数の織縫が剥離		

*ガス欠圧 20,13PSI のときのガス消費量；回復量 1.7 m³/h
**一方向積層材；Vf 60% アセチレン 0.94 m³/h



実験結果

放射距離70mmの比較的低温部の火炎下では放射時間60秒までは直交組織及び絡み組織の基材には変化は殆んどなく、アブレーションに対する両基材の差は認められない。以後120秒までの放射によつて、直交組織の基材は表層の広い範囲で織縫が焼失し、凹部を形成する。一方、絡み組織の基材には変化が認められなかつた。

放射距離160mmの高温部の火炎を作用下の経過観察では、60秒程度で直交組織のものに凹部を生じたが、絡み組織の基材には変化がなく、放射の継続により、約90秒後より絡み組織の基材にも凹部を生ずるが、その面積は直交組織の凹部面積に比して小さく、絡み組織を基材とした3-D複合材料の耐熱性に優れかつた。

要 旨

研究開発項目名 中間素材の開発（三軸織物）

研究開発実施者名 (財) 次世代金属・複合材料研究開発協会

1. 研究開発期間 昭和56年度～昭和58年度

2. 第一期目標のポイント

炭素繊維3軸織物が次世代複合材料の成形用中間素材として可能性の有無を探索する。

素材としての評価基準は相似配向の一方向中間素材複合材に対する強度発現率（織目による低下）が平織クロスの80%以上とした。

3. 各年度の実施計画のポイント

昭和56年度：布帛中間素材の問題点と可能性の研究

昭和57年度：3軸織物の構成、試織並びに評価

昭和58年度：3軸織物の改良、試織並びに評価

4. 第一期の実績のポイント

Bi-Plainをもつ3軸織物が繊維密度、方向性のバランスの良いことが解り、試織品の引張強度発現率は在来クロス（直交織物）に劣らないことが確認された。

研究開発結果要約表

サブテーマ名	3C(1).高性能素材の開発、3)中間素材の開発		
研究開発手法	炭素繊維三軸織物		
使用材料	強化繊維: U.C.C.社製Thornel T300 マトリックス樹脂: 東レ(株) #3601樹脂(350°F硬化型)		
前 提 条 件 等	供試体形状		
供試体特性	組織 Bi-Plain. 糸使い バイアス: Thornel T300; 3K ヨ エ: Thornel T300; 3K 糸角度 +17°, -17°, 90° 密度 6.75×6.75×3.95		
成形条件	キュー	180°C × 27, 6 kg/cm²	
	ポストキュー	—	
	その他	オートクレーブ成形	
研究開発結果	要求性能	試験法	試験結果
	引張強度 $\frac{\text{3軸織物}}{\text{UD織物}} \geq 55\%$	 12.7 mm height 22.9 mm width 70スベッド速度 1.0 mm/min	三軸織物 39.2 kgf/mm² 一方向拉 57.5 強度発現率 $\frac{39.2}{57.5} \times 100 = 68.2\%$
	所見等	Barber-Colman 社の事情により、織物の入手が遅れ(7月6日入手)。	

研究開発実績

研究開発項目名 中間素材の開発(炭素繊維3軸織物)

研究開発実施者名 (財) 次世代金属・複合材料研究開発協会

1. 研究開発期間 昭和56年度～昭和58年度

2. 研究開発手法、前提条件等

1) 複合材の成形コストを低減させる手段として、繊維が3方向に配列した3軸織物が有望なことが分った。この成果をもとに、社内で手作りで織物構造の最適化を行い、織物設計を行い。米国のBarber-Colman社に試織を依頼した(Barber-Colman社の織機では下図の3種類が製織可能)。

品目名		規格図	別稱	一覧面図
A	Basic Weave		a - a'	
			b - b'	
			c - c'	
B	Stuffed Basic Weave		a - a'	
			b - b'	
			c - c'	
C	Bi-Plain Weave		a - a'	
			b - b'	
			c - c'	

2) 織物構造と複合材物性との関係について基礎研究を行った結果、炭素繊維3軸織物としては、Bi-Plain構造が適していることが分った。これらの成果をもとに、織物設計を行い、手作りで3軸織物を試作して、複合材物性の評価を行い、TWF-4が有望であることが分った(表1、表2)。

表 1 手作り三軸織物の性質

項目	水準	TWF-4	TWF-5
機組類		Bi-Plain	Basic
糸種	バイアス方向	"トレカ" T300, 3K	"トレカ" T300, 3K
	ヨコ方向	"トレカ" T300, 1K	"トレカ" T300, 3K
糸角度	バイアス方向 ヨコ方向	+23°, -23° 90°	+23°, -23° 90°
密度(本/cm)		6.7×6.7×3.7	3.6×3.6×2.7
目付(タ/m ²)		299	198
織物厚み(mm)		0.40	0.61

表2 物性評価結果

項目	水準	第2回試作		
		三軸織物	比較品	
		TWF-4	TWF-5	一方向プリプレグ
積層枚数		3	3	12
積層構成		一方向	一方向	2)
硬化板VF(%)		49.9	47.5	62.8
硬化板厚み(mm)		1.07 1.04~1.09	1.50 1.46~1.60	2.07 2.01~2.10
0°	引張り強度(kg/mm ²)	47.3	23.4	48.3
	引張り弾性率(10 ³ kg/mm ²)	7.5	3.5	7.1
±45°	破断歪(%)	0.64	0.88	0.76
	引張り強度(kg/mm ²)	34.2	17.5	55.1
	引張り弾性率(10 ³ kg/mm ²)	5.5	2.9	5.6
±45°	破断歪(%)	0.63	—	0.99

58年度は3軸織機によるTWF-4中の製織性の確認並びに
擬似等方性のTWF-6、バイアス構造のTWF-11を設計して米国
Barber-Colman社に試織依頼した。

水 純		TWF-6	TWF-11
膜組成		Bi-Plain	Basic
系種	バイアス方向	"トレカ" T300, 3K	"トレカ" T300, 3K
	ロコ方向	"トレカ" T300, 3K	GFR 450 1/2
系角度	バイアス方向	+30°, -30° 90°	+45°, -45° 90°
	ロコ方向		
寸 法 (m/m)		3.6×3.6×3.6	4.5×4.5×5.4

これらうち TWF-6, TWF-11 は Barber-Colman 社では製織できないことが判明。TWF-6 については目ズレが大きいことが分り、織密度をアップして TWF-8 に設計変更し、2 月始めてサンプル入手し、現在複合材料物性の評価を行っている。

4) TWF-6 類似の三軸織物は合纖(ナイロン系等)又ケブラーでは製織できていることから、炭素繊維で製織できなかた原因は、炭素繊維そのものが製織性の悪い点であるうえに Barber-Colman 社が織機メーカーであって高度の製織技術を有していない点に本質的な原因があると思われる。

3. 研究開発結果

(1). 実績のポイント(詳細別紙)

目標性能はクリヤーはできる見込みである。

(2). 注目すべき知見

引張強度の低下が一方向拘り相似構造の 50% 以下に抑えられることから、三軸織物は面内の糸の交絡効果による耐衝撃性の向上が期待されるので、面板材としての応用が期待できる。

(3). 一連のプロセスの中で特記すべき特徴的技術

とくになし。

(4). 特に効果を発揮した技術

織物中の纖維はタテ糸とヨコ糸が互いに交絡しているため屈曲した形態をしている。そのため糸が交絡している所で纖維又樹脂に作用する力を力集中のため強度低下を来たす。三軸織物の場合には交絡点が多く、かつ糸の屈曲が大きいので、三軸織物の組織、糸の纖度・密度を最適化することによって物性の向上を図った。

(5). 未到達事項の問題点と解決の目途

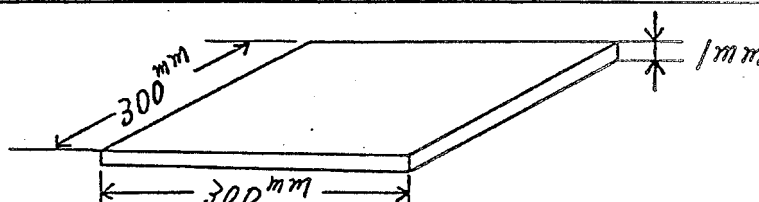
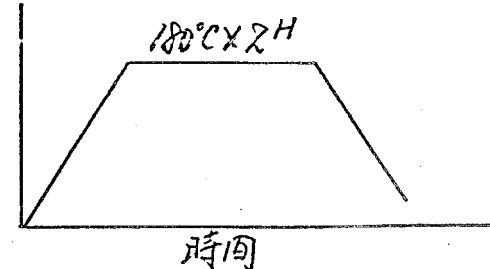
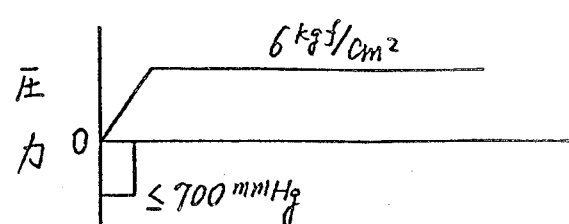
三軸織物は米国のBarber-Colman社に試織を依頼して来たが、同社は織機メーカーであって、炭素纖維の不扱いや十分な製織技術を保有していないため、織機の性能とては製織できる筈の三軸織物が製織できないなどの問題点が顕在化した。今後研究を促進するためには織機の導入が必要である。

研究開発結果

3(1). 高性能素材の開発

1. 供試体

サブテーマ3: 3) 中間素材の開発 - 1) 炭素繊維3軸織物

項目	内 容
① 形状・寸法	平板状試験片 
② 使用材料	マトリックス樹脂: 東レ(株) #3601 (350°F硬化型) 強化繊維: Thorneel T300, 3K. 織物組織: Bi-Plain
③ 中間素材作成法	主要工程 [フリーリゲ作成(手含浸)] → [乾燥(120°C×10分)]
④ 成形条件	A. キニア条件 (オートクレーブ)   B. アフター-キニアなし。

2. 試験

項目	目標性能	試験方法	試験結果														
① 引張強度	- 方向中间 素材の相似 複合材に対する 强度発現率 55%以上	<p>東レ規格 CF04RZCに準拠して測定。</p> <p>クロスヘッド速度 1.0 mm/min.</p> $\text{引張強度} = \frac{P}{b \cdot h} (\text{kN/mm}^2)$ <p>但し. P = 破断時の荷重</p>	<p>3軸織物</p> <table> <tbody> <tr><td>43.3</td></tr> <tr><td>35.8</td></tr> <tr><td>40.6</td></tr> <tr><td>35.4</td></tr> <tr><td>41.1</td></tr> <tr><td><hr/></td></tr> <tr><td>39.2</td></tr> </tbody> </table> <p>- 方向材</p> <table> <tbody> <tr><td>59.6</td></tr> <tr><td>54.6</td></tr> <tr><td>53.6</td></tr> <tr><td>62.7</td></tr> <tr><td>57.2</td></tr> <tr><td><hr/></td></tr> <tr><td>57.5</td></tr> </tbody> </table> <p>强度発現率</p> $\frac{39.2}{57.5} \times 100 = 68.2\%$	43.3	35.8	40.6	35.4	41.1	<hr/>	39.2	59.6	54.6	53.6	62.7	57.2	<hr/>	57.5
43.3																	
35.8																	
40.6																	
35.4																	
41.1																	
<hr/>																	
39.2																	
59.6																	
54.6																	
53.6																	
62.7																	
57.2																	
<hr/>																	
57.5																	
② V_f	—	<ul style="list-style-type: none"> 化学天秤によって試料の重量を計測。 東レ規格 CF04RZC法によって密度を計測。 加熱濃硫酸にて樹脂を溶解分離。 繊維を洗浄後、化学天秤によって繊維重量を計測。 $V_f = \frac{\text{繊維重量} \times \text{試験片密度}}{\text{繊維密度} \times \text{試験片重量}} \times 100 (\%)$	<p>3軸織物</p> <p>51.1%</p> <p>一方向材</p> <p>51.6%</p>														

3. 使用試験機材

機材名	仕 様 概 要	備 考
① 試験機	<ul style="list-style-type: none"> 機器名：オートグラフ（島津製作所） 荷重容量：10トン 	
② 化学天秤	<ul style="list-style-type: none"> 最大秤量：160g 最小目盛：0.0001g 	

要 目

研究開発項目名 中間素材の開発（ハイブリッド中間素材）

研究開発実施者名 (財) 次世代金属・複合材料研究開発協会

1. 研究開発期間 昭和56年度～昭和58年度

2. 第一期目標のポイント

ハイブリッド中間素材に関する基礎研究を行なう。すなわち、ハイブリッド構造の特徴を把握するとともに、中間素材の試作技術の基礎研究を行なう。

3. 各年度の実施計画のポイント

56年度：炭素繊維・アラミド繊維系ハイブリッドコンポジットの特徴および問題点を把握する。

57年度：炭素繊維・HM-50繊維系ハイブリッドコンポジットの基礎特性の評価、把握を行い、とくに衝撃強さが効果的に発揮できる構成について探索する。

58年度：構造モデル提案のための基礎特性の把握を行なう。

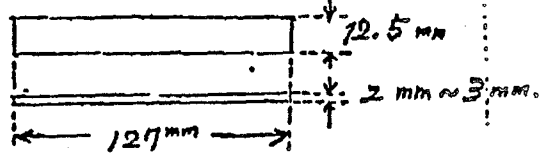
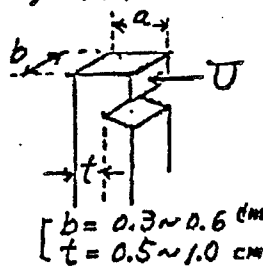
4. 第一期の実績のポイント

(1)ハイブリッドの基本構造のひとつである内蔵分散型UDエンドポジットの各種力学特性は、炭素繊維系およびHM-50繊維系のものとの特性について、ほぼ相加平均的水準にあることを認めた。

(2)ハイブリッドの最大の特徴は、衝撃強さにあり、これはアラミド繊維とくにHM-50繊維を用いることに由来してくることを確認した。

(3)UDブリッジ層用ひも積層コンポジットにおいて、アラミド繊維層を厚め方の位置に配置せよとによって、ハイブリッドコンポジットの力学特性が変化する。たゞでハイブリッド衝撃特性は顕著な差が生じる。さらに、HM-50繊維はケブラー構造の優れた水準にあることが実証された。

研究開発結果報告表

サブテーマ名	3.(1)高性能素材の開発 3)中間素材の開発				
研究開発手法	炭素繊維/アラミド繊維(HM-50)系ハイブリッド				
使用材料	強化繊維: 炭素繊維 + レカ T300 (T400) アラミド繊維 HM-50 マルクス樹脂: エポキシ樹脂				
前段条件等					
供試体形状					
供試体特性					
被形 条件	項目	温度(°C)	圧力(kgf/cm²)	時間(hr.)	備考
条件	ギニア	160	スペーサー使用	0.5	
	ポストギニア	160		2.	
研究開発結果	項目	試験方法	要求性能	試験結果	
	①衝撃強さ (アイソト)	a)アイソト衝撃 試験法 (JIS K7110準拠) b)試験片寸法  c)算出式 衝撃強さ = $\frac{U}{bt}$ (kgf-cm/cm²)	衝撃強さ/ゲージ49系 コンボジットの80% アソフ		
	新見等				

研究開発実績

研究開発項目名 中間素材の開発(炭素繊維-アラミド繊維ハイブリッド)

研究開発実施者名 (財) 次世代金属・複合材料研究開発協会

1. 研究開発期間 昭和56年度～昭和58年度

2. 研究開発手法、前提条件等

(1) アプローチ区分

炭素繊維を強化材とするコンポジットの問題点のひとつに耐衝撃性が弱いことがある。この弱点を解消しがつより軽量の材料を提供する手段として、炭素繊維/アラミド繊維(HM-50繊維)系ハイブリッド構造を設定した。

(2) HM-50繊維系コンポジット

アラミド繊維を強化材とするコンポジットとしてはデュポン社のケブラーを用いたものが知られており、比強度、振動減衰、衝撃特性などの特徴をもっている。HM-50繊維の場合もケブラーと同系統のものであるが、顕著な差異は、比強度がさらに大きいこと及びアイソット衝撃値が50%も高水準に位置することである。(アイソット衝撃値は、炭素繊維系に比べれば約3倍)([表1]参照)。

(3) ハイブリッド構造とコンポジットの衝撃特性

炭素繊維/アラミド繊維系ハイブリッド構造の衝撃強さは、UDコンポジットの均質分散型では両成分の相加平均値的特性を示すが、層間ハイブリッドにおいてはアラミド繊維層の位置により奇異な挙動を示すことを見出した。

(4) ハイブリッド構造モデルとして層間ハイブリッドを設定し、炭素繊維:アラミド繊維=90:10とした場合の衝撃強度を[図1]に示しているが、上述のように積層位置により衝撃強度が異なりアラミド層を外皮側に位置させたことが有利であること及びHM-50ハイブリッド系がケブラーハイブリッド系よりもるかに耐衝撃性が大きいという知見を得た。

(5) 強化材として使用する炭素繊維及びアラミド繊維のマーシャルの大きさによりコンポジット特性に若干の差を生じること、したがって目的、構造等に応じて、ハイブリッドの混合割合、配置、繊維束の選択などが必要であるという結論を得た。([表2]参照)

3. 研究開発結果

(1) 実績のポイント

炭素繊維/アラミド繊維のハイブリッド化が複合材料の高性能化に資することに着目し、炭素繊維/HM-50系層間ハイブリッドコンポジットを試作し、衝撃特性の評価を実施した。

[図1]に示した90:10層間ハイブリッドのアインダット衝撃値は、均質分散型ハイブリッドから予測される衝撃値よりも高い側に位置づけされた。HM-50系ハイブリッドの場合約 100 Kgf-cm/cm^2 と予測されるが、層間ハイブリッドでは、 100 Kgf-cm/cm^2 以上であり、HM-50繊維層を最外層に設定することにより、 120 Kgf-cm/cm^2 の衝撃値を達成できた。同じ構成のケブラー系ハイブリッドの場合($85 \sim 90 \text{ Kgf-cm/cm}^2$)に比べて、30%以上の高水準を發揮できた。

また均一分散型ハイブリッドの場合でも[表2]の55:45比率において、HM-50系ハイブリッドの衝撃値は 190 Kgf-cm/cm^2 であるのに対しケブラー系ハイブリッド(相似配置)の場合は約 140 Kgf-cm/cm^2 であって、この場合もHM-50系はケブラー系対比で約35%の優位性を示した。

すなわち、炭素繊維/HM-50繊維系ハイブリッドは、炭素繊維/ケブラー系を上回る卓越した衝撃強さを發揮することを確認した。

(2) 注目すべき知見

本研究において得られた注目すべき知見は、層間ハイブリッドコンポジットにおけるアラミド繊維層の配置と衝撃特性の相関関係である。すなわち、少割合のアラミド層を外側層に配置することによって大きな衝撃特性の改善いうこと及びその傾向はHM-50繊維を用いた系で特徴的に発現したことは予期以上の成果であった。

(3) 特徴的技術

HM-50繊維を強化材とするコンポジットはいくつかのすぐれた特徴をもつているが、そのひとつである衝撃特性が炭素繊維とのハイブリッド化においていかんなく発現した。しかもその改善効果は(2)項で述べたように、均質分散型ハイブリッド構成から予期される値をはるかに超えた大きなものであることが実証された。

(4). 特に効果を發揮した技術

炭素繊維に対してHM-50繊維をハイブリッドさせることの特徴は、上述してきたような衝撃特性の改善であるが、その他にHM-50繊維の特徴である①低比重 1.39 (炭素繊維は1.74~1.76)、②高強度 300Kg/cm²以上なども充分にいかしうることが確認された。

(5) 問題点と解説について。

炭素繊維系コンポジットに対してHM-50繊維をハイブリッドさせることが衝撃特性の改善にきわめて効果的であることは上述した通りであるが、本研究において使用したマトリックス樹脂は現世代の通常のエポキシ樹脂である。しかし、これらのハイブリッド効果が次世代研究において開拓しつつある新規な高性能マトリックス樹脂においても発現できるかを実証していくことが今後の課題であり、次期研究開拓の中では疎水性骨格型エポキシ樹脂に適用する計画である。

図10 UDコンポジットのアイゴート衝撃特性（エボキシ系Vf60%）

織 目 項 目	有		無			
	U	σ_{max} (K_{fmax}/cm^2)	U	σ_{max} (K_{fmax}/cm^2)	U	σ_{max} (K_{fmax}/cm^2)
アラミド繊維	HM-50	300	81	300	88	230
	Kevlar29	220	53	210	85	210
	Kevlar49	200	57	170	68	140
炭素繊維	Torayca T-300	80	67	—	—	80
	Torayca T-400	120	101	—	—	90

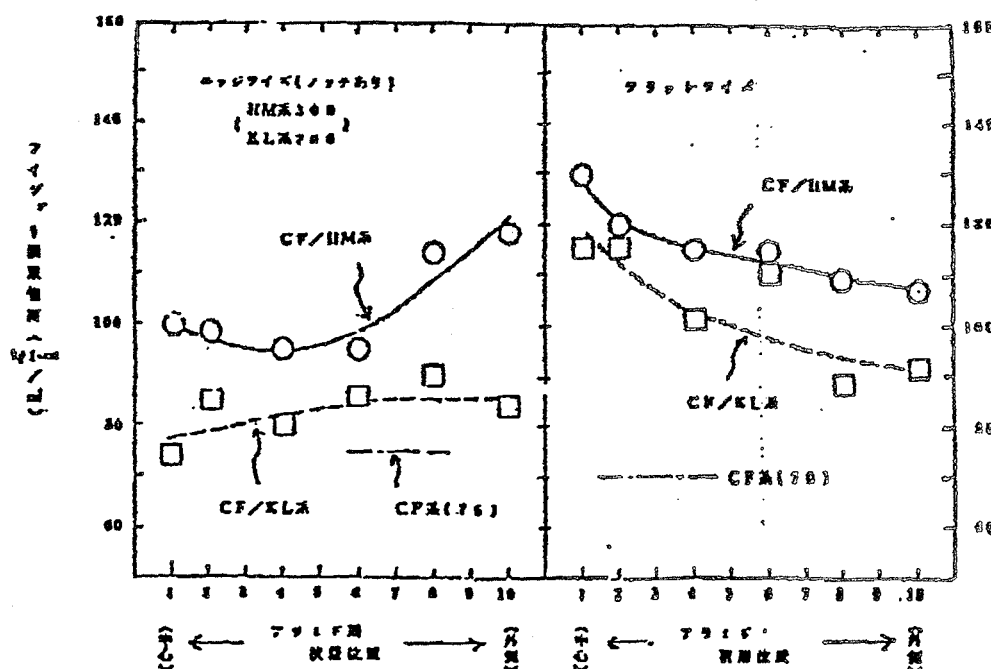


図11 HM系/アラミド繊維系-イフロ-UDコンポジットの衝撃特性
 [Vf60%, CF/T300=39/10,
 CF=T400, XLA=T400, HM=HM-50]

(表2) 放射織維/HM-50織維系ハイブリッド(均質分散型)
(UDコアボンド、マトリックス:エボキシ Vf 60%)

No.	1	2	3	
織維組成	Carbon (27 yarn)	3600 de/ _{8000 fil} (55 yarn)	1800 de/ _{5000 fil} (110 yarn)	600 de/ _{1000 fil} (110 yarn)
	HM-50	1600 de/ _{1000 fil} (54 yarn)	800 de/ _{500 fil} (110 yarn)	250 de/ _{166 fil} (220 yarn)
	断面比	55/45	55/45	55/45
三点曲げ	強度(kgf/mm ²)	107	116	111
	弹性率(kgf/mm ²)	8000	7920	7690
	たわみ量(mm)	2.2	2.3	2.3
片持ち曲げ强度	(kgf/mm ²)	57	55	53
	アイントロード强度(kgf/cm ²)	190	195	185
	層間せん断强度(kgf/mm ²)	8.5	8.6	8.4



* 均質分散型ハイブリッドモデル (放熱織維/HM-50織維=55/45)
として計算値 180 kgf-cm/cm².

研究開発結果

3. (1) 高性能素材の開発 (2) 中間素材の開発

サブテーマ名、炭素繊維/アミド繊維(CHM-50)系ハイブリッド

1. 試験体

項目	内 容
① 形式	a) 標準成形片(試験片)
② 使用材料	a) 炭素繊維、トレカT800 (T400) b) アミド繊維 HM-50繊維 (標準 1500de/1000fl/L)
③ 試作方法	a) 繊維(未モロイ) b) 樹脂含浸 c) 織層・成形

2. 試験

項目	目標性能	試験方法	試験結果
① 衝撃強さ (ハイブリット)	炭素繊維/ガラス 系コンポジットの 30%アップ	<p>a) 常人 KS2-I 法 (JIS K7110 に準拠)</p> <p>b) 斜面落球法</p> <p>c) 算出方式 $\text{衝撃強さ} = \frac{U}{bt} \quad (\text{kgf}\cdot\text{cm}/\text{cm}^2)$</p>	<p>ハイブリット衝撃強度: (144.7 kgf, エンジニアス)</p> <p>炭素繊維(CF)/アミド 織能系層間ハイブリッド (CF:アミド = 90:10)</p> <p>CF/HM-50系 120 $\text{kgf}\cdot\text{cm}/\text{cm}^2$</p> <p>(CF/ガラス系 85~90) $\text{kgf}\cdot\text{cm}/\text{cm}^2$</p> <p>相似配向ハイブリット 33~41%の74.7° 達成 U.E.</p>

3. 使用試験装置

装置名	仕様概要	備考
アイント衝撃試験機	UF Impact Tester (上島製作所) 容量 60 kgf·cm (Umax.)	

要 旨

研究開発項目名 成形加工技術の開発（積層一体成形加工法／開断面構造）

研究開発実施者名 (財) 次世代金属・複合材料研究開発協会

1. 研究開発期間 昭和56年度～昭和58年度

2. 第一期目標のポイント

市販の炭素繊維－エポキシ樹脂プリプレグ材を用いて、厚肉フレーム及びストリングバーの付いたパネル構造の一体成形基本技術を開発する。

評価の基準は理論計算による強度の発現率及びバラツキとする。

3. 各年度の実施計画のポイント

昭和56年度：開断面積層一体成形加工法の現状と問題点の抽出

誘電特性による樹脂硬化モニター基礎技術の研究（プレス成形）

昭和57年度：誘電特性による樹脂硬化モニター技術の研究（オートクレーブ成形）

開断面積層一体成形パネルの試作による最適成形条件の研究

昭和58年度：誘電特性による樹脂硬化モニター技術を適用した開断面積層一体成形
パネルの成形実験、評価

4. 第一期の実績のポイント

実機並の断面を持つ 500×500 mmの供試体の試作研究により、厚肉フレーム
及びストリングバーの付いたパネル構造の一体成形加工法について、治工具、副資材、
成形プロセスにわたる基本技術が開発された。

特に外国において実験室的に試みられている硬化モニター手法が実機構造物の一体
成形に応用出来るようになった。

研究開發結果彙約表

3

サブテーマ名	3.(2) 成形加工技術の開発 1)-2 積層-一体成形加工法：開断面単純形状							
研究開発手法	供試体形状							
成形条件	積層-一体成形法 (オートクレーブ, 350°F 7 kg/cm ² 2h)							
前処理等	材料	350°F 硬化 炭素繊維/エポキシ 一方向配列プリプレート (パイルファイル 三巻レイヤン) (株)						
研究開発結果	要求性能	寸法精度	Vf	ポイド率	引張強さ	層間せん断強さ	生産性	
	板厚±8%以下	65%以上	1%以下	バラツキ 10%以下 ROM % 80以上 (71.9 kg/mm ²)	バラツキ 10%以下	バラツキ 10%以下	分割組立法の70%以上	
研究開発結果	試験法	マイクロメータによる測定 外板 n=12 フレーム n=12 ストリンガ n=8 一本部 n=28	ASTM D3171 (酸分解法) n=32	ASTM D2734 (比重, Wf から換算) n=32	ASTM D3039 (形状異なる) n=4 (フレーム, 外板) (一本成形部)	ASTM D2344 n=8 (一本成形部)	製造期間の比較	
研究開発結果	試験結果	測定期 平均値 バラツキ	測定期 平均値 バラツキ	測定期 平均値 バラツキ	平均値 = 79.2 % バラツキ = +7.4 % -8.8 % ROM % = 88.1	平均値 = 71.4 % バラツキ = +2.8 % -5.6 %	$\frac{T}{T} \times 100$ $T = 71.4\%$ T:一本成形 T:分割組立 製造期間	
	外板	0.97 ±4.1	外板	66.2	外板	0.2		
	フレーム ウエブ	1.39 ±2.2	フレーム ウエブ	66.5	フレーム ウエブ	0		
	フレーム キャップ	2.10 ±2.9	フレーム キャップ	66.3	フレーム キャップ	0		
	ストリンガ	1.93 ±3.1	ストリンガ	67.4	ストリンガ	0		
	外板・ フレーム 一本部	2.25 ±7.1	外板・ フレーム 一本部	66.5	外板・ フレーム 一本部	0		
	外板・ フレーム・ ストリンガ 一本部	3.37 ±3.6	外板・ フレーム・ ストリンガ 一本部	67.0	外板・ フレーム・ ストリンガ 一本部	0		
	所見等							

研究開発実績

研究開発項目名 積層一体成形加工法(開断面構造)

研究開発実施者名 (財)次世代金属・複合材料研究開発協会

1. 研究開発期間 昭和56年度～昭和58年度

2. 研究開発手法、前提条件等

(1) 開発の狙い

ビーム、ストリッガ、パネル等の開断面構造要素の積層一体成形技術を確立するため、単純形状品の試作実験により基礎的成形加工条件を設定する。

(2) 現世代を超える開発要素

硬化モニタによる航空機胴体パネル模擬供試体の積層一体成形

(3) 開発手法

① まず、誘電特性による硬化モニタ技術を確立し。

② 次にこれを用いた単純形状開断面パネルの成形加工研究を実施して、基本成形加工条件を設定する。

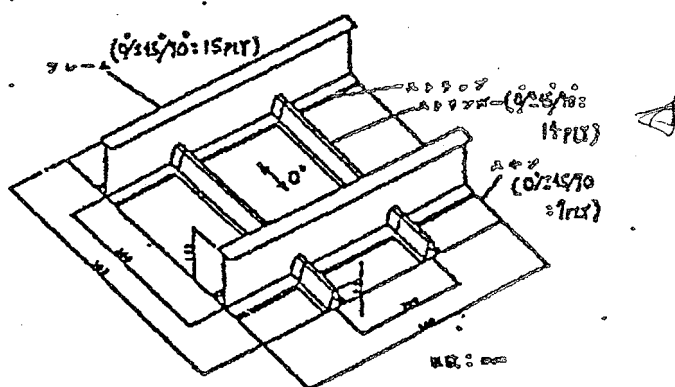
→ 典型的積層構成

右図

→ 装工具

エラストマーリール専用

オトクレーブ成形治具



(4) 前提条件

使用材料は、現世代エボキシ樹脂系の一向向オーバーレイ材料。

3. 研究開発結果

(1) 実績のポイント

目標性能との対比

項目	寸法精度	V _f	ボト率	引張強さ	層間切削強さ	生産性
目標性能	±8%以下	65%以上	1%以下	117.7 ROM% 80以上	10%以下 10%以下	分離組立法 90%以下
実績	Max. +7.1% -4.1%	Min. 66.2%	Max. 0.2%	Max. -8.8% 88.1%	Max. -5.6%	71.4%
クリヤ 木達	○	○	○	○	○	×

(2) 注目すべき知見

成形工程における 鋼電特性モニター技術による 成形条件精密制御技術。

特許出願「樹脂系複合材料の成形方法」特願57-167658

第2回日米複合材料会議「Process Optimization Studies by Monitoring the Electrical Properties During the Cure Cycle for CFRP」

(3) 一連のプロセスの中で特記すべき特徴的技術

① エラストマツール併用オートクレーブ成形治具技術

試作対象開断面ハネル供試体に最適な形状・寸度/構成の治工具技術により、寸法精度等の目標を達成。

② 溶出タイプ治工具技術

低融点合金の中子への応用による 生産性の向上。

(4) 特に効果を發揮した技術

① フリップレグ積層品予備成形技術

外板・フレーム・ストリンガ単体の硬化前加熱加圧工程が目標寸法精度・V_f等の達成に効果を發揮。

② オートクレーブ成形時のバッギング技術

ブリーダ材(余剰樹脂吸収用)、フレザー材(脱気用)等の適用が目標寸法精度・V_f等の達成に効果を發揮。

(5) 未到達事項の問題点と解決の目途

① 生産性が目標に未到達

問題点： 1) 評価方法の海外例との違い及び分割成形の実績のない（見積値）点。

2) 粘着組立工程の省略の製造期間全体に占める割合が小さい点。

② 解決の目途

接着工程以外の工程期間を短縮し、生産性向上を図る。 1) 積層作業の自動化。

2) 硬化モニタ技術の実用レベル迄の完成による硬化サイクルの簡略化。

研究開発結果

カーテーマ名：II-2 構造一体成形加工法：開口面直角形状

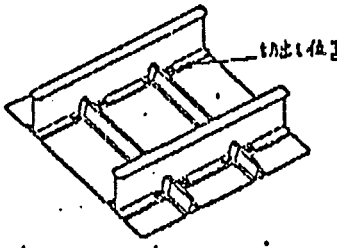
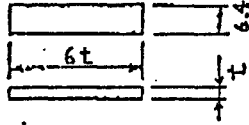
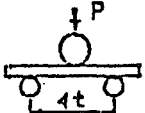
1. 試験体

題目	内容										
① 形状・寸法	<p>外板/ストリング/フレーム一体構造断面ハニカル</p> <p>板厚 1.0~3.5mm (7~24 PLY)</p>										
② 使用材料	<p>350°F硬化尿素繊維/エポキシ 一方向配列フリップケーブル</p> <ul style="list-style-type: none"> 商品名：バイロフィル A410-150 (ミラスイオン) 基本特性 (メーカー値) <table border="1"> <tr> <td>炭素繊維</td> <td>標準一方向積層板特性 (Vf=60%)</td> </tr> <tr> <td>引張強度 : 280 MPa</td> <td>0°引張強度 : 170 MPa 90°引張強度 : 8.6 MPa</td> </tr> <tr> <td>引張弾性率 : 21000 MPa</td> <td>0°引張弾性率 : 12600 MPa 90°引張屈度 : 0.8%</td> </tr> <tr> <td>フィラメント数 : 10000</td> <td>屈曲せん断強度 : 13.5 MPa</td> </tr> <tr> <td>密度 : 1.82</td> <td></td> </tr> </table>	炭素繊維	標準一方向積層板特性 (Vf=60%)	引張強度 : 280 MPa	0°引張強度 : 170 MPa 90°引張強度 : 8.6 MPa	引張弾性率 : 21000 MPa	0°引張弾性率 : 12600 MPa 90°引張屈度 : 0.8%	フィラメント数 : 10000	屈曲せん断強度 : 13.5 MPa	密度 : 1.82	
炭素繊維	標準一方向積層板特性 (Vf=60%)										
引張強度 : 280 MPa	0°引張強度 : 170 MPa 90°引張強度 : 8.6 MPa										
引張弾性率 : 21000 MPa	0°引張弾性率 : 12600 MPa 90°引張屈度 : 0.8%										
フィラメント数 : 10000	屈曲せん断強度 : 13.5 MPa										
密度 : 1.82											
③ 成形条件	<p>主要工程</p> <pre> graph LR A["フリップケーブル カット"] --> B["フリップケーブル (ライアーフ)"] B --> C["バブ適用"] C --> D["硬化"] </pre> <p>詳細硬化条件</p> <p>加圧の時間は、硬化モニタ信号とともに決定した。</p>										

2. 試験

項目	目標性能	試験方法	試験結果																																																
① 尺寸精度	板厚±0.5以下	<ul style="list-style-type: none"> 板厚をミクロメータで測定し、各部それぞれの平均値Mを求める板厚とする。 板厚は、100mmまで読み取る。 <p><u>測定箇所</u></p> <p>② 外板部(7ply): n=12</p> <p>③ フレーム部ウエブ(10ply): n=6 チーク(15ply): n=6</p> <p>④ ストリンガ部上部(14ply): n=8</p> <p>⑤ 外板/フレーム一体部 (16ply): n=12.</p> <p>⑥ 外板/フレーム/ストリンガ部(21ply) : n=16</p> <p>・供試体数nに対する平均値からの最大値M_{max}, 及び最小値M_{min}のバラツキを%で表わす。 バラツキ: $\frac{M_{\max} - M}{M} \times 100 (\%)$</p> <p>バラツキ: $\frac{M_{\min} - M}{M} \times 100 (\%)$</p>	<table border="1"> <thead> <tr> <th>No</th> <th>測定箇所</th> <th>P_n</th> <th>板厚 (mm)</th> <th>板厚の平均値 (mm)</th> <th>バラツキ (%)</th> </tr> </thead> <tbody> <tr> <td>②</td> <td>外板部</td> <td>7</td> <td>0.97 0.99 0.95 1.01 0.95 0.96</td> <td>0.96 0.97 0.97 0.98 0.97 1.01</td> <td>+4.1 -4.1</td> </tr> <tr> <td>③</td> <td>フレーム部 ウエブ</td> <td>10</td> <td>1.40 1.42 1.37</td> <td>1.38 1.39 1.37</td> <td>+2.2 -1.4</td> </tr> <tr> <td>④</td> <td>フレーム部 チーク</td> <td>15</td> <td>2.12 2.07 2.16</td> <td>2.11 2.03 2.12</td> <td>-2.9 -2.3</td> </tr> <tr> <td>⑤</td> <td>ストリンガ部 上部</td> <td>14</td> <td>1.75 1.91 1.87 1.89</td> <td>1.76 1.90 1.91 1.97</td> <td>+3.1 -3.1</td> </tr> <tr> <td>⑥</td> <td>フレーム/ストリンガ 部</td> <td>16</td> <td>2.41 2.26 2.29 2.19 2.32 2.24</td> <td>2.21 2.27 2.23 2.21 2.20 2.22</td> <td>-0.21 -0.14</td> </tr> <tr> <td>⑦</td> <td>外板/フレーム 部</td> <td>21</td> <td>3.41 3.37 3.32 3.47 3.41 3.35</td> <td>3.31 3.32 3.38 3.40 3.33 3.38</td> <td>+3.6 -3.0</td> </tr> <tr> <td>⑧</td> <td>ストリンガ 部</td> <td>21</td> <td>3.40 3.38 3.40 3.45 3.38</td> <td>3.37 3.35 3.45 3.27</td> <td>-2.6 -2.0</td> </tr> </tbody> </table>	No	測定箇所	P _n	板厚 (mm)	板厚の平均値 (mm)	バラツキ (%)	②	外板部	7	0.97 0.99 0.95 1.01 0.95 0.96	0.96 0.97 0.97 0.98 0.97 1.01	+4.1 -4.1	③	フレーム部 ウエブ	10	1.40 1.42 1.37	1.38 1.39 1.37	+2.2 -1.4	④	フレーム部 チーク	15	2.12 2.07 2.16	2.11 2.03 2.12	-2.9 -2.3	⑤	ストリンガ部 上部	14	1.75 1.91 1.87 1.89	1.76 1.90 1.91 1.97	+3.1 -3.1	⑥	フレーム/ストリンガ 部	16	2.41 2.26 2.29 2.19 2.32 2.24	2.21 2.27 2.23 2.21 2.20 2.22	-0.21 -0.14	⑦	外板/フレーム 部	21	3.41 3.37 3.32 3.47 3.41 3.35	3.31 3.32 3.38 3.40 3.33 3.38	+3.6 -3.0	⑧	ストリンガ 部	21	3.40 3.38 3.40 3.45 3.38	3.37 3.35 3.45 3.27	-2.6 -2.0
No	測定箇所	P _n	板厚 (mm)	板厚の平均値 (mm)	バラツキ (%)																																														
②	外板部	7	0.97 0.99 0.95 1.01 0.95 0.96	0.96 0.97 0.97 0.98 0.97 1.01	+4.1 -4.1																																														
③	フレーム部 ウエブ	10	1.40 1.42 1.37	1.38 1.39 1.37	+2.2 -1.4																																														
④	フレーム部 チーク	15	2.12 2.07 2.16	2.11 2.03 2.12	-2.9 -2.3																																														
⑤	ストリンガ部 上部	14	1.75 1.91 1.87 1.89	1.76 1.90 1.91 1.97	+3.1 -3.1																																														
⑥	フレーム/ストリンガ 部	16	2.41 2.26 2.29 2.19 2.32 2.24	2.21 2.27 2.23 2.21 2.20 2.22	-0.21 -0.14																																														
⑦	外板/フレーム 部	21	3.41 3.37 3.32 3.47 3.41 3.35	3.31 3.32 3.38 3.40 3.33 3.38	+3.6 -3.0																																														
⑧	ストリンガ 部	21	3.40 3.38 3.40 3.45 3.38	3.37 3.35 3.45 3.27	-2.6 -2.0																																														
② Vf	65%以上	<p>ASTM D 3171 球液 酸分解法</p> <ul style="list-style-type: none"> 供試体各部より試験片とり出す。 <p><u>試験片採取位置</u></p> <p>① 外板部: n=6</p> <p>② フレーム部ウエブ: n=3 チーク: n=3</p> <p>③ ストリンガ部上部: n=6</p> <p>④ 外板/フレーム/外部: n=6</p> <p>⑤ 外板/フレーム/ストリンガ一体部: n=8</p> <p><u>試験片形状</u></p> <p><u>試験器材</u> 直示分析天秤</p> <ul style="list-style-type: none"> 直示分析天秤によって試験片重量を測定する。 ASTM D 792 Method A に従って密度を測定する。 加熱濃硫酸により樹脂を溶解分離する。 樹脂を洗浄後、直示分析天秤により樹脂重量を測定する。 次式によりVfを算出する。 <p>$V_f = \frac{W_f \times P_c}{P_f \times W_C} \times 100 (\%)$</p> <p>Wf: 樹脂重量 Pf: 樹脂密度 WC: 試験片重量 Pc: 直示分析密度</p>	<table border="1"> <thead> <tr> <th>No</th> <th>測定箇所</th> <th>Vf (%)</th> <th>平均値 (%)</th> </tr> </thead> <tbody> <tr> <td>①</td> <td>外板部</td> <td>66.2 66.4 66.0 65.9 66.4 66.5</td> <td>66.2</td> </tr> <tr> <td>②</td> <td>フレーム チーク</td> <td>66.7 67.0 65.9</td> <td>66.5</td> </tr> <tr> <td>③</td> <td>フレーム チーク</td> <td>66.5 66.8 65.7</td> <td>66.3</td> </tr> <tr> <td>④</td> <td>ストリンガ部 上部</td> <td>67.1 67.4 67.5 67.6 66.8 69.7</td> <td>69.4</td> </tr> <tr> <td>⑤</td> <td>フレーム 一体部</td> <td>66.3 66.7 67.2 65.8 66.4 66.7</td> <td>66.5</td> </tr> <tr> <td>⑥</td> <td>外板/フレーム 部</td> <td>66.9 67.5 66.6 67.4 66.7 66.0 67.4 67.3</td> <td>67.0</td> </tr> </tbody> </table>	No	測定箇所	Vf (%)	平均値 (%)	①	外板部	66.2 66.4 66.0 65.9 66.4 66.5	66.2	②	フレーム チーク	66.7 67.0 65.9	66.5	③	フレーム チーク	66.5 66.8 65.7	66.3	④	ストリンガ部 上部	67.1 67.4 67.5 67.6 66.8 69.7	69.4	⑤	フレーム 一体部	66.3 66.7 67.2 65.8 66.4 66.7	66.5	⑥	外板/フレーム 部	66.9 67.5 66.6 67.4 66.7 66.0 67.4 67.3	67.0																				
No	測定箇所	Vf (%)	平均値 (%)																																																
①	外板部	66.2 66.4 66.0 65.9 66.4 66.5	66.2																																																
②	フレーム チーク	66.7 67.0 65.9	66.5																																																
③	フレーム チーク	66.5 66.8 65.7	66.3																																																
④	ストリンガ部 上部	67.1 67.4 67.5 67.6 66.8 69.7	69.4																																																
⑤	フレーム 一体部	66.3 66.7 67.2 65.8 66.4 66.7	66.5																																																
⑥	外板/フレーム 部	66.9 67.5 66.6 67.4 66.7 66.0 67.4 67.3	67.0																																																

項目	目標基準	試験方法	試験結果																												
		<p><u>試験片形状</u></p> <p>試験機にセットし、荷重負荷速度 1.0~1.5 %/sec で破壊時の荷重を測定し、次式で引張強さを算出する。</p> $\text{引張強さ } \sigma = \frac{P}{b t} \quad (\text{kgf/mm}^2)$ <p>P = 最大破壊荷重 b = 試験片幅 t = 測定板厚</p> <p>上記で求めた引張強さの平均値のからの最大値 σ_{\max} 及び最小値 σ_{\min} のバラツキを % で表わす。</p> $\text{バラツキ} = \frac{\sigma_{\max} - \sigma}{\sigma} \times 100 \quad (\%)$ $\text{バラツキ} = \frac{\sigma_{\min} - \sigma}{\sigma} \times 100 \quad (\%)$ $\text{ROM} \% = \frac{\sigma}{\text{設計値}} \times 100 \quad (\%)$	* 設計計算書 NA-42422																												
(3) ポイド率	1%以下	<p>ASTM D2734 準拠。</p> <p>Vf 測定法に同じ。</p> <p>次式によりポイド率を算出する。</p> $\text{ポイド率} = 100 - \rho_c \left(\frac{W_f}{\rho_f} + \frac{W_t}{\rho_t} \right) \quad (\%)$ <p>ρ_c : 試験片密度 W_f : 繊維重量 % ρ_f : 繊維密度 W_t : 衍脂重量 % ρ_t : 衍脂密度</p>	<table border="1"> <thead> <tr> <th>No</th> <th>測定箇所</th> <th>ポイド率 (%)</th> <th>平均値 (%)</th> </tr> </thead> <tbody> <tr> <td>Ⓐ</td> <td>外板部</td> <td>0.1 0.3 0.1 0.3 0.2 0.2</td> <td>0.2</td> </tr> <tr> <td>Ⓑ</td> <td>フランジ部 内側</td> <td>0 0 0</td> <td>0</td> </tr> <tr> <td>Ⓒ</td> <td>フランジ部 外側</td> <td>0 0 0</td> <td>0</td> </tr> <tr> <td>Ⓓ</td> <td>ストライプ部 上部</td> <td>0 0 0.1 0 0 0</td> <td>0</td> </tr> <tr> <td>Ⓔ</td> <td>外板/フランジ 一体部</td> <td>0 0 0 0 0 0</td> <td>0</td> </tr> <tr> <td>Ⓕ</td> <td>ストライプ 一体部</td> <td>0.1 0 0 0 0.2 0</td> <td>0</td> </tr> </tbody> </table>	No	測定箇所	ポイド率 (%)	平均値 (%)	Ⓐ	外板部	0.1 0.3 0.1 0.3 0.2 0.2	0.2	Ⓑ	フランジ部 内側	0 0 0	0	Ⓒ	フランジ部 外側	0 0 0	0	Ⓓ	ストライプ部 上部	0 0 0.1 0 0 0	0	Ⓔ	外板/フランジ 一体部	0 0 0 0 0 0	0	Ⓕ	ストライプ 一体部	0.1 0 0 0 0.2 0	0
No	測定箇所	ポイド率 (%)	平均値 (%)																												
Ⓐ	外板部	0.1 0.3 0.1 0.3 0.2 0.2	0.2																												
Ⓑ	フランジ部 内側	0 0 0	0																												
Ⓒ	フランジ部 外側	0 0 0	0																												
Ⓓ	ストライプ部 上部	0 0 0.1 0 0 0	0																												
Ⓔ	外板/フランジ 一体部	0 0 0 0 0 0	0																												
Ⓕ	ストライプ 一体部	0.1 0 0 0 0.2 0	0																												
(4) 引張強さ	バラツキ 10%以下 ROM % 80以上 (119 kgf/mm ²) 以上	<p>ASTM D3039 準拠 短冊試片引張</p> <p>供試体より試験片をとり出す。</p> <p><u>試験片採取位置</u></p> <p>Ⓐ 外板/フランジ部: n=4</p> <p><u>試験器材</u> インストロン型・片側試験機</p>	<table border="1"> <thead> <tr> <th>No</th> <th>測定箇所</th> <th>引張強さ (kgf/mm²)</th> <th>バラツキ (%)</th> <th>ROM (%)</th> </tr> </thead> <tbody> <tr> <td>Ⓐ</td> <td>外板/フランジ 一体部</td> <td>85.1 72.2 79.3 80.2</td> <td>+7.1 -8.8 (CV38) (CV6.7)</td> <td>79.2</td> </tr> </tbody> </table> <p>** 設計計算書 NA-42422 により。 設計値 = 81.9 kgf/mm² を使用。</p>	No	測定箇所	引張強さ (kgf/mm ²)	バラツキ (%)	ROM (%)	Ⓐ	外板/フランジ 一体部	85.1 72.2 79.3 80.2	+7.1 -8.8 (CV38) (CV6.7)	79.2																		
No	測定箇所	引張強さ (kgf/mm ²)	バラツキ (%)	ROM (%)																											
Ⓐ	外板/フランジ 一体部	85.1 72.2 79.3 80.2	+7.1 -8.8 (CV38) (CV6.7)	79.2																											

項目	目標性能	試験方法	試験結果															
⑤	パラツキ 10%以下	<p>ASTM D2344 片側 3点曲げ ・供試体より試験片を切り出す。 <u>試験片採取位置</u> ⑥ 外板／フレーム／ストリンガ一部部：H・B</p>  <p><u>試験機材</u> インストロン型材料試験機</p> <p><u>試験片形状</u></p>  <p>・試験片を荷重負荷装置を用いて荷重速度 1.0~1.5 mm/分で破壊するまで荷重負荷する。</p>  <p>・破壊荷重を測定し、次式で屈間せん断強さを 算出する。</p> $\text{屈間せん断強さ } H_s = \frac{P}{b t} \quad (\text{kN/mm}^2)$ <p>P = 最大破壊荷重 b = 試験片幅 t = 測定板厚</p> <p>・上記で求めた屈間せん断強さの平均値 H から の最大値 H_{max} 及び最小値 H_{min} のパラツキを 次で表わす。</p> $\text{パラツキ} = \frac{H_{\max} - H}{H} \times 100 (\%)$ $\text{パラツキ} = \frac{H_{\min} - H}{H} \times 100 (\%)$	<table border="1"> <thead> <tr> <th>NO</th> <th>測定箇所</th> <th>屈間せん断強さ (kg/mm²)</th> <th>平均値 (kg/mm²)</th> <th>パラツキ (%)</th> </tr> </thead> <tbody> <tr> <td>⑥</td> <td>外板ケーリー</td> <td>7.0 6.9</td> <td>7.1 7.3</td> <td>+2.8 -5.6</td> </tr> <tr> <td></td> <td>ストリンガ 一部部</td> <td>6.7 7.2</td> <td>7.3 9.1</td> <td></td> </tr> </tbody> </table>	NO	測定箇所	屈間せん断強さ (kg/mm ²)	平均値 (kg/mm ²)	パラツキ (%)	⑥	外板ケーリー	7.0 6.9	7.1 7.3	+2.8 -5.6		ストリンガ 一部部	6.7 7.2	7.3 9.1	
NO	測定箇所	屈間せん断強さ (kg/mm ²)	平均値 (kg/mm ²)	パラツキ (%)														
⑥	外板ケーリー	7.0 6.9	7.1 7.3	+2.8 -5.6														
	ストリンガ 一部部	6.7 7.2	7.3 9.1															

項目	目標性能	試験方法	試験結果
(6) 生産性	分割組立法の70%以下	<p>一体成形法と分割成形+接着組立法による開断面構造供試体の製造期間を比較する。</p> <ul style="list-style-type: none"> ・一体成形法 ・分割成形+接着組立法 ・上記2つの方法の製造期間T, T'より比率を算出する。 <p>製造期間の比率(%) = $\frac{T'}{T} \times 100$</p>	<p>・一体成形法による開断面構造供試体の製造期間(T) --- 12.5日間</p> <p>・分割成形+接着組立法による開断面構造供試体の製造期間(見直り値) (T') --- 17.5日間</p> <p>・製造期間の比率(%) = $\frac{T'}{T} \times 100$ = 71.9%</p>

使用試験機材

機材名稱	仕様概要	台数	備考
インストロン型 材料試験機	荷重容量 : 25トン 試験速度 : 0.05 ~ 500mm/min ストローク : 1200mm	1	
直示分析天秤	最大秤量 : 100g 最小目盛 : 0.0001g	1	

1. 備考(研究日程)

	58/4	5	6	7	8	9	10	11	12	59/1	2	3
1) 樹脂一 体成形加工 法												
(1) - 2												

最適化条件の研究

開拓面積と工具条件の設計、製作、評価

開拓面単純形状試作研究

#1成形

新面試験

#2成形

新面を採用
取り報告

要 旨

研究開発項目名 成形加工技術の開発（積層一体成形加工法／閉断面構造）

研究開発実施者名 (財) 次世代金属・複合材料研究開発協会

1. 研究開発期間 昭和56年度～昭和58年度

2. 第一期目標のポイント

市販の炭素繊維-エポキシ樹脂プリプレグ材を用いて、多数の隔壁をもつ箱形構造（マルチセル構造）の一体成形基本技術を開発する。

評価の基準は理論計算による強度の発現率及びバラツキとする。

3. 各年度の実施計画のポイント

昭和56年度：閉断面積層一体成形加工法の現状と問題点の摘出

電気抵抗による樹脂硬化モニター基礎技術の研究（プレス成形）

昭和57年度：電気抵抗による樹脂硬化モニター技術の研究（オートクレープ成形）

閉断面積層一体構造模型の試作による最適成形条件の研究

昭和58年度：電気抵抗による樹脂硬化モニター技術を適用した6面拘束閉断面構造模型の成形実験、評価

4. 第一期の実績のポイント

500×500mmの6面拘束閉断面構造模型供試体の試作研究により、航空機翼構造に見られるような多数の隔壁をもつ箱形構造（マルチセル構造）の一体成形加工法について、治工具、副資材、成形プロセスにわたる基本技術が開発された。

特に外国において実験室的に試みられている硬化モニター手法が実機構造物の一体成形に応用出来るようになった。

藏 約 聯 詞 條 索

研 究 開 発 結 果

研究開発項目名 筋骨一体成形加工法(閉断面構造)

研究開発実施者名 (財) 次世代金属・複合材料研究開発協会

1. 研究開発期間 昭和56年度～昭和58年度

2. 研究開発手法、前提条件等

航空機構造の重量軽減と製造コストの低減を目的とする一体化構造を安定した品質で得るために、基礎的加工技術の確立を計った。

素材ケループにより開発される新材料の供給が第2期以降となるため、第1期は、既存の材料を用いてこの加工法の基礎的要素技術の開発が重点となつた。開発対象は、航空機の翼等の構造を想定して、外板部と桁小骨部に相当する要素を組込んだ閉断面構造とし、外板部は将来のテラリンク技術に対処するため一方向材主体とした。初年度(56年度)は、単純な4面拘束閉断面構造を試作し、年度を追って拘束面を増し、58年度は、最も拘束面の多い、6面拘束閉断面構造を試作し評価した。(図1)

3. 研究開発結果

(1) 実績のポイント(詳細別紙)

硬化過程によるエポキシ樹脂の直流電気抵抗変化を指標とする加圧時期決定手法開発の目途をたてた。6面拘束閉断面構造の試作において、本手法により、加圧時期を設定して加圧を行い、板厚、T_f、ボット率および引張強度については、目標値を達成したが、層間剪断強度は12%程度の変動に留まった。

(2) 注目すべき知見

1) 硬化過程にあるエポキシ樹脂の直流電気抵抗と、そのときの樹脂粘度との間に深い相関関係のあることを見出した。

2) 直流電気抵抗を利用し、加圧時期を決定する手法を構造要素の試作に応用した。(図2)

3) 硬化過程での加圧用密封袋としては、コムバックが有効であった。(図3)

(3) 一連のプロセスの中で特記すべき特徴的技術

1) 硬化過程の樹脂の直流電気抵抗を積層品の片面のみに取付けた電極によりモニターする「片面電極法」の技術(図4)

3(3) 1) フフミ

[実用新案出願] 熟硬化型樹脂系複合材料についての直流電気抵抗計測装置

2) 硬化過程にある樹脂の粘度と直流電気抵抗を同時に計測する技術

[特許出願] 樹脂の粘度と電気特性の同時計測器

(4) 特に効果を發揮した技術.

1) 硬化過程の樹脂の直流電気抵抗を計測する技術

2) 積層品を硬化過程中コムバックを用いて加圧する手法。

(5) 未到達事項の問題点と解決の目途

層間剪断強度の変動系数が目標値(10%以内)に納まらなかった。これは、応用した硬化モニターの測定点が少ないので構造要素全体の樹脂状態を十分に管理できず硬化サイクルの適正化度が低かったためと判断している。硬化モニターの測定点多点化の技術を開発し、それを適用して硬化サイクルの適正度を向上させることにより、層間剪断強度の変動系数の低下が期待できる。

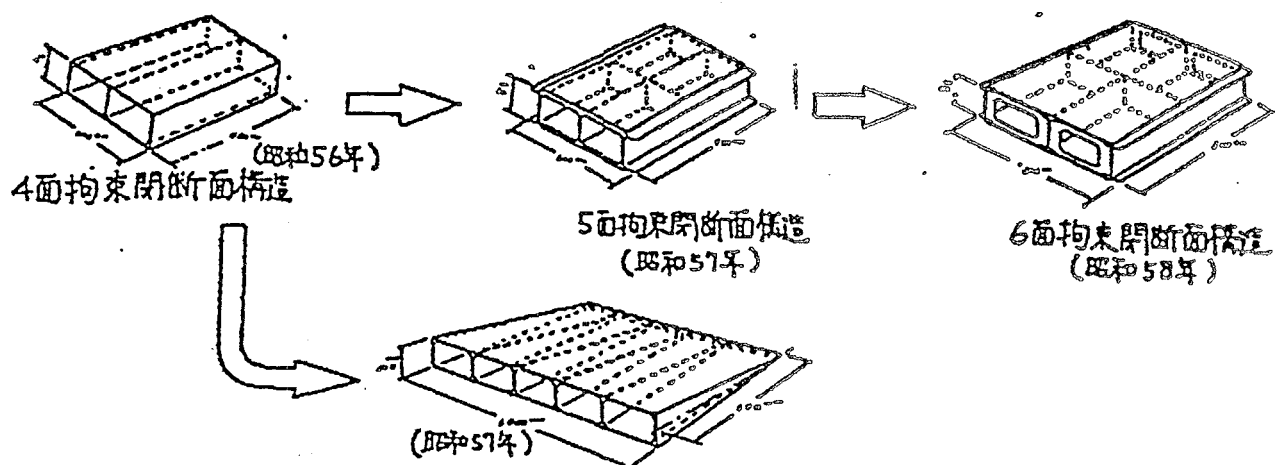


図1 閉断面構造の開発推移

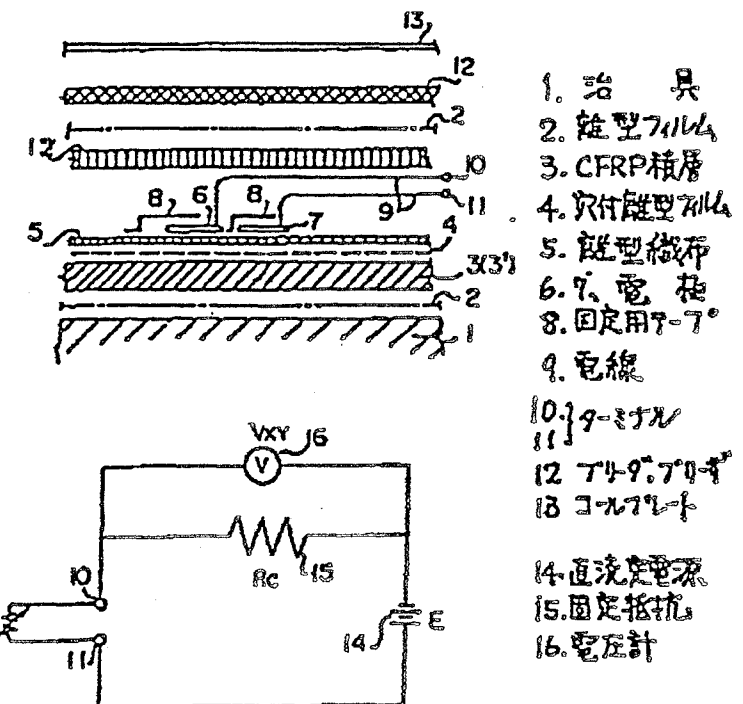


図4 片面電極法の原理図

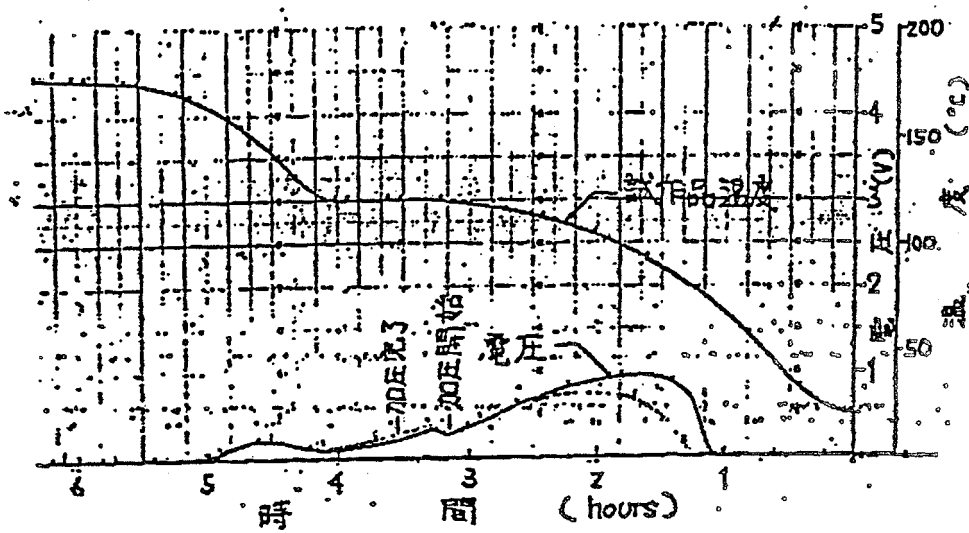


図2. 樹脂の直流電気抵抗変化を利用する加圧時期決定法の構造要素への応用例

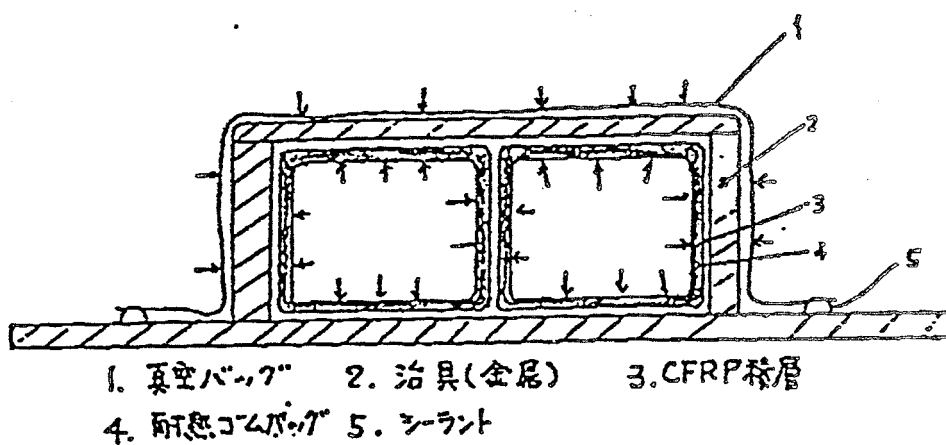


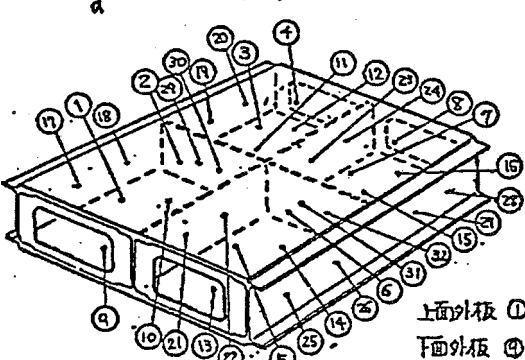
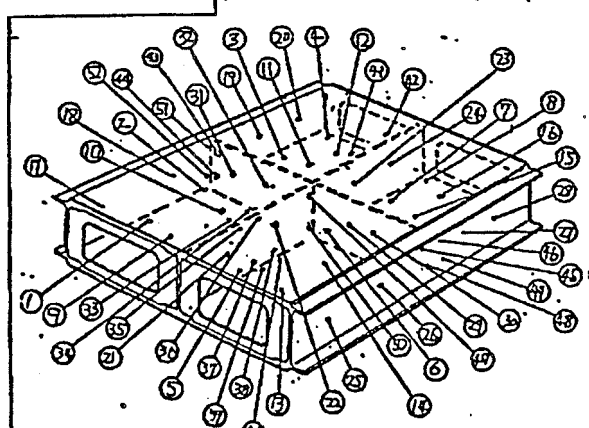
図3. 開断面構造用基本治具構造

サブテーマ名：3(2)成形加工技術の開発 1) - 1 積層一体成形加工法、6面拘束閉断面構造

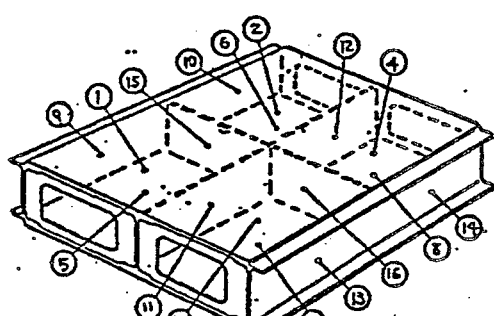
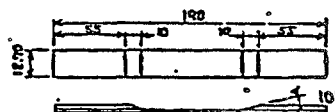
1. 供試体

項目	内 容													
① 形状・寸度	<p>6面拘束閉断面構造供試体</p>	<p>外板部: 炭素繊維/エポキシ一向向材 板厚 4mm</p> <p>拘束部: 炭素繊維/エポキシ複合材 板厚 2mm</p>												
② 使用材料	<p>350°F硬化炭素繊維/エポキシアリフレグ™</p> <table border="1"> <tr> <td>商品名</td> <td>一方向材 P3060-15 (東レ株式会社製)</td> <td>織布 F7373-06M (東レ株式会社製)</td> </tr> <tr> <td>基 本 性 質</td> <td>アリフレグ™ 標準積層板(23°C, T45%)</td> <td>アリフレグ™ 標準積層板(23°C, T45%)</td> </tr> <tr> <td>使 用 系 (X-0.5 10.7mm)</td> <td>使用系 T-300 重 量 $145 \pm 5 \text{ g}/\text{m}^2$ アリフレグ™ 重量 $259 \pm 12 \text{ g}/\text{m}^2$ 樹脂含有率 42% (by weight) 揮発分 2%以内 ($163 \pm 5^\circ\text{C}$)</td> <td>引張強度 165 kgf/cm^2 引張弾性率 $15,000 \text{ kgf/cm}^2$ 40°引張強度 5 kgf/mm^2 引張伸ひき 0.5% 引張強度 12 kgf/mm^2</td> </tr> <tr> <td>特 性 (Y-0.5 10.7mm)</td> <td>引張強度 $145 \pm 5 \text{ g}/\text{m}^2$ 引張弾性率 $15,000 \text{ kgf/cm}^2$ 40°引張強度 5 kgf/mm^2 引張伸ひき 0.5% 引張強度 12 kgf/mm^2</td> <td>組織・重量 平均 $19318 \text{ g}/\text{m}^2$ アリフレグ™ 重量 $333 \pm 16 \text{ g}/\text{m}^2$ 樹脂含有率 42% (by weight) 揮発分 2%以内 ($163 \pm 5^\circ\text{C}$)</td> </tr> </table>	商品名	一方向材 P3060-15 (東レ株式会社製)	織布 F7373-06M (東レ株式会社製)	基 本 性 質	アリフレグ™ 標準積層板(23°C, T45%)	アリフレグ™ 標準積層板(23°C, T45%)	使 用 系 (X-0.5 10.7mm)	使用系 T-300 重 量 $145 \pm 5 \text{ g}/\text{m}^2$ アリフレグ™ 重量 $259 \pm 12 \text{ g}/\text{m}^2$ 樹脂含有率 42% (by weight) 揮発分 2%以内 ($163 \pm 5^\circ\text{C}$)	引張強度 165 kgf/cm^2 引張弾性率 $15,000 \text{ kgf/cm}^2$ 40°引張強度 5 kgf/mm^2 引張伸ひき 0.5% 引張強度 12 kgf/mm^2	特 性 (Y-0.5 10.7mm)	引張強度 $145 \pm 5 \text{ g}/\text{m}^2$ 引張弾性率 $15,000 \text{ kgf/cm}^2$ 40°引張強度 5 kgf/mm^2 引張伸ひき 0.5% 引張強度 12 kgf/mm^2	組織・重量 平均 $19318 \text{ g}/\text{m}^2$ アリフレグ™ 重量 $333 \pm 16 \text{ g}/\text{m}^2$ 樹脂含有率 42% (by weight) 揮発分 2%以内 ($163 \pm 5^\circ\text{C}$)	
商品名	一方向材 P3060-15 (東レ株式会社製)	織布 F7373-06M (東レ株式会社製)												
基 本 性 質	アリフレグ™ 標準積層板(23°C, T45%)	アリフレグ™ 標準積層板(23°C, T45%)												
使 用 系 (X-0.5 10.7mm)	使用系 T-300 重 量 $145 \pm 5 \text{ g}/\text{m}^2$ アリフレグ™ 重量 $259 \pm 12 \text{ g}/\text{m}^2$ 樹脂含有率 42% (by weight) 揮発分 2%以内 ($163 \pm 5^\circ\text{C}$)	引張強度 165 kgf/cm^2 引張弾性率 $15,000 \text{ kgf/cm}^2$ 40°引張強度 5 kgf/mm^2 引張伸ひき 0.5% 引張強度 12 kgf/mm^2												
特 性 (Y-0.5 10.7mm)	引張強度 $145 \pm 5 \text{ g}/\text{m}^2$ 引張弾性率 $15,000 \text{ kgf/cm}^2$ 40°引張強度 5 kgf/mm^2 引張伸ひき 0.5% 引張強度 12 kgf/mm^2	組織・重量 平均 $19318 \text{ g}/\text{m}^2$ アリフレグ™ 重量 $333 \pm 16 \text{ g}/\text{m}^2$ 樹脂含有率 42% (by weight) 揮発分 2%以内 ($163 \pm 5^\circ\text{C}$)												
③ 成形条件	<p>(積層一体成形法主要工程)</p> <pre> graph TD A[材料切断] --> B[積層・成形] B --> C[組立] C --> D[パッキン] D --> E[オートクレーブ硬化] E --> F[離型] F --> G[仕上げ] </pre>	<p>(詳細硬化条件)</p> <p>オートクレーブ缶体圧</p> <p>パック内圧</p>												

Z. 試験

項目	目標性能	試験方法	試験結果			
			外板部	荷・小骨部		
寸法精度 ① 板厚のバラツキ	±8% 以下	<ul style="list-style-type: none"> 供試体より小片を切出し(下図参照).各小片の板厚をマイクロメータで3回計測し、その平均を切出しへの板厚 d_{av} とする。 板厚は $1/100 \text{ mm}$ まで読み取る。板厚のバラツキは、外板部および荷・小骨部ごとに供試体数 $n=16$ に対する平均値 d からの最大値 d_{max} および最小値 d_{min} のバランスキを % で表す。 $\frac{d_{max} - d}{d} \times 100 (\%)$ にて $d_{max}; d_{min}$ $\frac{d_{min} - d}{d} \times 100 (\%)$ にて $d; d_{min}, d_{max}$ の平均値。  <p>上面外板 ①~⑬^上 下面外板 ⑭~⑯^下 荷・骨部 ⑰~⑲^中</p>	1 3.94 2 3.97 3 3.99 4 3.93 5 3.93 6 3.94 7 3.91 8 3.95 9 3.95 10 3.96 11 3.95 12 3.90 13 3.92 14 3.94 15 3.95 16 3.94 17 3.94 18 3.99 19 3.90 20 1.95 21 3.92 22 2.06 23 2.11 24 2.09 25 2.07	1.97 2.02 2.00 1.98 2.06 2.06 2.09 2.07 1.99 1.97 1.96 1.95 2.06 2.11 1.95 + 1.3 % - 1.0 % ± 3.9 %		
品質 ② V_f	一方向外部 65% 以上 (外板部) 織布部 60% 以上 (荷・骨部)	<ul style="list-style-type: none"> 供試体各部より試験片を切出し(下図参照)化学天秤によって重量を計測する。 化学天秤にかけ重さを計測する。 ASTM D 792 Method A に従って密度を計測する。 加熱濃硝酸により樹脂を溶解分離する。 織維を洗浄後、化学天秤によって織維重量を計測する。 次式により V_f を算出する $V_f = \frac{W_f \times \rho_e}{\rho_s \times W_e} \times 100 \%$ にて W_f : 織維重量, ρ_e : 織維密度 W_e : 試験片重量, ρ_s : 試験片密度 水試験方法は ASTM D 3171 に準拠  <p>外板部 ①~⑯ 荷・骨部 ⑰~⑲ 外板荷・骨部接合部 ⑳~㉑ 荷・骨部接合部 ㉒~㉓</p>	1 67.8 2 68.1 3 68.3 4 68.4 5 68.6 6 68.6 7 68.9 8 68.8 9 68.3 10 68.3 11 68.0 12 67.7 13 68.4 14 68.4 15 68.4 16 68.2 Ave 68.3	64.6 62.2 63.1 64.6 61.8 61.2 60.8 61.5 64.3 64.7 65.0 63.4 61.1 61.4 62.1 62.7 66.6 67.2 66.7 65.7 65.2 65.6 61.0 66.8 66.4 66.2 63.0	66.3 66.7 66.7 66.8 67.2 67.0 66.3 66.8 66.4 66.2 65.0 67.7 61.1 61.4 62.1 62.7 64.7	66.6 67.2 66.5 65.5 65.2 65.6 61.0 62.0 64.2 63.0

項目	目標性能	試験方法	試験結果				
			外板部	接着部	内板部	接着部	
③ ポイド率	1%以下	<p>・ V_v 測定結果より、下式により算出する。</p> $V_v = 100 - (V_f + V_r) \quad V_v: ポイド率$ $V_r = \frac{W_r \times P_c}{P_r \times W_c} \times 100 \quad V_r: 樹脂体積含有率$ $W_r: 樹脂重量 (W_c - W_3)$ $P_r: 樹脂密度$ <p>* 試験方法は、ASTM D 2734 Method B に準拠。</p>	1 2 3 4 5 6 7 8 9 10 11 12 13 14 15 16	0.1 0.1 0.0 0.2 0.1 0.1 0.1 0.1 0.2 0.0 0.5 0.6 0.5 0.6 0.5 0.5	0.4 0.3 0.6 0.5 0.5 0.4 0.3 0.7 0.5 0.3 0.8 0.3 0.1 0.2 0.5 0.3	0.9 0.8 0.9 0.9 0.8 0.8 0.8 0.8 0.8 0.8 0.8 0.3 0.8 0.6 0.6 0.3 0.2	0.8 0.7 0.4 0.6 0.3 0.6 0.8 0.6 0.6 0.3 0.8 0.3 0.2 0.8 0.6 0.6 0.3 0.2
			MAX	0.6	0.8	0.9	0.8
			AVE	0.3	0.4	0.8	5.3

項目	目標・性能	試験方法	試験結果																																								
			外板部	筋・小骨部																																							
④ 引張強さ	変動係数 10% 以下 ROM% 80 以上 [設計要求値] 外板部: 65 kgf/mm ² 筋・小骨部: 15.9 kgf/mm ²	<p>供試体各部より試験片を切り出し、試験片加工を行ふ。(1回巻型) 試験片を引張試験機にセットし、荷重負荷速度 1.0 ~ 1.5 mm/min で破壊まで負荷する。破壊荷重を計測し、次式で引張強さを算出する。</p> $\sigma_a = \frac{P}{\text{長さ} \times \text{幅}} \quad (\text{kgf/mm}^2)$ <p>P: 最大破壊荷重 長: 試験片長さ 幅: 公称板厚</p> <p>* 試験方法は ASTM D3039 に準拠。 * 計測結果は、次式によること ROM% 及び変動係数 CV を算出する。</p> $\text{ROM\%} = \frac{\sigma_a}{\sigma_d} \times 100 \quad (\%)$ <p>σ_d: 設計要求値 σ_a: 実測値</p> $C_V = \frac{\sigma}{\bar{\sigma}} \times 100 \quad (\%)$ <p>σ: 標準偏差 $\bar{\sigma}$: 平均値</p>	<table border="1"> <thead> <tr> <th></th> <th>外板部</th> <th>筋・小骨部</th> </tr> </thead> <tbody> <tr> <td>1</td> <td>75.0</td> <td>16.6</td> </tr> <tr> <td>2</td> <td>72.0</td> <td>18.6</td> </tr> <tr> <td>3</td> <td>75.5</td> <td>17.2</td> </tr> <tr> <td>4</td> <td>72.9</td> <td>16.4</td> </tr> <tr> <td>5</td> <td>73.0</td> <td>19.2</td> </tr> <tr> <td>6</td> <td>77.1</td> <td>17.8</td> </tr> <tr> <td>7</td> <td>80.1</td> <td>17.6</td> </tr> <tr> <td>8</td> <td>76.3</td> <td>18.3</td> </tr> <tr> <td>Ave</td> <td>75.2</td> <td>17.7</td> </tr> <tr> <td>Min</td> <td>72.0</td> <td>16.4</td> </tr> <tr> <td>ROM</td> <td>111% 以上</td> <td>103% 以上</td> </tr> <tr> <td>CV</td> <td>3.5%</td> <td>5.5%</td> </tr> </tbody> </table>		外板部	筋・小骨部	1	75.0	16.6	2	72.0	18.6	3	75.5	17.2	4	72.9	16.4	5	73.0	19.2	6	77.1	17.8	7	80.1	17.6	8	76.3	18.3	Ave	75.2	17.7	Min	72.0	16.4	ROM	111% 以上	103% 以上	CV	3.5%	5.5%	
	外板部	筋・小骨部																																									
1	75.0	16.6																																									
2	72.0	18.6																																									
3	75.5	17.2																																									
4	72.9	16.4																																									
5	73.0	19.2																																									
6	77.1	17.8																																									
7	80.1	17.6																																									
8	76.3	18.3																																									
Ave	75.2	17.7																																									
Min	72.0	16.4																																									
ROM	111% 以上	103% 以上																																									
CV	3.5%	5.5%																																									
④ 引張強さ (つづき)		 <p>計測機器 引張正縮可能試験機 (オーフ-5)</p> <p>試験片形状 $\longleftrightarrow 0^\circ$ 方向  </p> <p>注 1. 試験片平行度は $\pm 0.13^\circ$ 以内。</p>																																									

項目	目標性能	試験方法	試験結果																																																									
			外板・行一体接合部 行小脛一体接合部																																																									
⑤層間剪断強さ	変動係数10%以下	<p>供試体一體接合部より試験片を切出す(下図参照)</p> <p>(外板・行一体接合部 ①～⑯) (行・小脛一体接合部 ⑰～㉗) 試験片を加工(下図)</p>	<table border="1"> <thead> <tr> <th></th> <th>外板・行一体接合部</th> <th>行小脛一体接合部</th> </tr> </thead> <tbody> <tr> <td>1</td> <td>4.85</td> <td>6.09</td> </tr> <tr> <td>2</td> <td>5.92</td> <td>5.56</td> </tr> <tr> <td>3</td> <td>6.01</td> <td>6.11</td> </tr> <tr> <td>4</td> <td>4.45</td> <td>6.94</td> </tr> <tr> <td>5</td> <td>6.10</td> <td>6.42</td> </tr> <tr> <td>6</td> <td>5.82</td> <td>5.20</td> </tr> <tr> <td>7</td> <td>4.99</td> <td>5.34</td> </tr> <tr> <td>8</td> <td>6.29</td> <td>5.00</td> </tr> <tr> <td>9</td> <td>6.14</td> <td>5.15</td> </tr> <tr> <td>10</td> <td>5.55</td> <td>4.99</td> </tr> <tr> <td>11</td> <td>5.61</td> <td>6.88</td> </tr> <tr> <td>12</td> <td>4.68</td> <td>6.91</td> </tr> <tr> <td>13</td> <td>5.40</td> <td>6.82</td> </tr> <tr> <td>14</td> <td>4.43</td> <td>6.26</td> </tr> <tr> <td>15</td> <td>5.01</td> <td>6.66</td> </tr> <tr> <td>16</td> <td>4.89</td> <td>6.52</td> </tr> <tr> <td>Ave</td> <td>5.39</td> <td>6.05</td> </tr> <tr> <td>CV</td> <td>11.5%</td> <td>12.1%</td> </tr> </tbody> </table>		外板・行一体接合部	行小脛一体接合部	1	4.85	6.09	2	5.92	5.56	3	6.01	6.11	4	4.45	6.94	5	6.10	6.42	6	5.82	5.20	7	4.99	5.34	8	6.29	5.00	9	6.14	5.15	10	5.55	4.99	11	5.61	6.88	12	4.68	6.91	13	5.40	6.82	14	4.43	6.26	15	5.01	6.66	16	4.89	6.52	Ave	5.39	6.05	CV	11.5%	12.1%
	外板・行一体接合部	行小脛一体接合部																																																										
1	4.85	6.09																																																										
2	5.92	5.56																																																										
3	6.01	6.11																																																										
4	4.45	6.94																																																										
5	6.10	6.42																																																										
6	5.82	5.20																																																										
7	4.99	5.34																																																										
8	6.29	5.00																																																										
9	6.14	5.15																																																										
10	5.55	4.99																																																										
11	5.61	6.88																																																										
12	4.68	6.91																																																										
13	5.40	6.82																																																										
14	4.43	6.26																																																										
15	5.01	6.66																																																										
16	4.89	6.52																																																										
Ave	5.39	6.05																																																										
CV	11.5%	12.1%																																																										
		<p>試験片を荷重負荷装置を用いて有効速度1.0-1.5 パン分ごと破壊するまで荷重負荷する。</p> <p>(下図参照)</p>																																																										
生産性																																																												
⑥分割組立法との対比。	70%以下 (30%以上の短縮)	<p>一休成形法と 分割成形+接着組立法による面拘束開削面構造試験体の製造期間を比較する。</p> <p>一休成形法</p> <p>製造期間 T (試作実績値)</p> <p>分割成形+接着組立法</p> <p>製造期間 T' (見積り値)</p> <p>上記二つの方法の製造期間 T, T' の比率を算出する</p> <p>製造期間の比率 (%) = $\frac{T}{T'}$</p>	$\frac{T}{T'} \times 100\% = \frac{90}{136} \% \\ = 66\%$ <p>$T = 90^{\text{h}}$ $T' = 136^{\text{h}}$</p>																																																									

項目	目標性能	試験方法	試験結果
生産性 ④分割組立法との 対比。	70%以下 (30%以上の短縮)	<p>一休成形法と 分割成形+接着組立法による面内束 閉断面構造試験体の製造期間を比較する。</p> <p>一休成形法</p> <p>製造期間 T (試作実績値)</p> <p>分割成形+接着組立法</p> <p>製造期間 T' (見積り値)</p> <p>上記二つの方法の製造期間 T, T' の比率を算出する</p> $\text{製造期間比} (\%) = \frac{T}{T'}$	$\frac{T}{T'} \times 100 = \frac{90}{136} \times 100\% = 66.2\%$ <p>T = 90^H T' = 136^H</p>

3 備考

項目	細目	第3四半期		第4四半期		
		11	12	1	2	3
①最適硬化条件 研究	条件確認試験	→				
②閉断面構造要素 成形研究	試作・品質評価	11.2月	—	(3月)		
③T-ε 解析。 接着部作成				—	→	

要　　旨

研究開発項目名 成形加工技術の開発（モールド成形法／一体構造）

研究開発実施者名 (財) 次世代金属・複合材料研究開発協会

1. 研究開発期間 昭和56年度～昭和58年度

2. 第一期目標のポイント

市販の炭素繊維及びマトリックス樹脂を用いて、金属構造の継手金具及び深絞りに代る複合材継手及び深絞り部材の基本成形技術を開発する。

評価の基準は理論計算による強度の発現率又は引張弾性率及びバラツキとする。

3. 各年度の実施計画のポイント

昭和56年度：長、短繊維モールド成形の現状と問題点の抽出

加工性把握試験

昭和57年度：短繊維整列技術の開発、短繊維整列材の力学特性の研究

長繊維杉綾織（フィラメントワインディング）材の力学特性及び深絞り性の研究

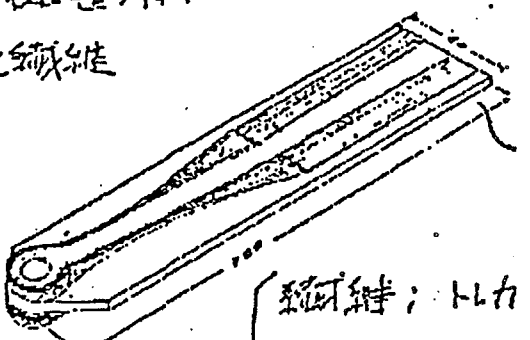
昭和58年度：短繊維及び編組材一体構造模型の試作、評価

4. 第一期の実績のポイント

短繊維整列技術並びに短繊維及び編組材一体構造成形基本技術が開発され、

複合材継手部材及び波形深絞り材等への応用の道が開けた。

充電率結果要約表

サブティ-ク名	3(2) 成形加工技術の開発 2) モールド成形法 2)-1 一本化構造 1.複雑断面変化部(矢立筋組織)																				
供試体形状	<input checked="" type="checkbox"/> 矩形維整列材 <input checked="" type="checkbox"/> 連続織維																				
材料	 <p>(引張強度用 x 1個) (切出し寸用 x 5個)</p>																				
成形条件	$90^{\circ}\text{C} \times 1\text{H} + 180^{\circ}\text{C} \times 4\text{H} (> 6 \text{ kN/cm}^2)$ 7.4ト9.9成形温度																				
要求性能	短 ROM %	T _f	寸法精度	ボット率	生産性																
	60%以上 (実測値) (理論値) バラツキ10%以下	35%以上 45%以下	(肉厚) ±0.1以下	1%以下	分割組立法 70%以下 (30%以上半自動)																
志水駆法	ASTM D638 (T形形状異法) $n=5$	ASTM D3171 酸分解法 $n=5$	マイクロ-CT による測定 $m=15$	シロ撮影 によりボット面 積を統計 (参考:比重法) $n=5$	製造時間 の比較 $n=6$																
試験結果	<table border="1"> <thead> <tr> <th>\bar{x}</th> <th>σ</th> <th>ROM</th> </tr> <tr> <th></th> <th>kN/mm^2</th> <th>%</th> </tr> </thead> <tbody> <tr> <td></td> <td>43.1</td> <td>76.0</td> </tr> <tr> <td></td> <td></td> <td>35.7</td> </tr> </tbody> </table> <table border="1"> <thead> <tr> <th>CP</th> <th>%</th> </tr> </thead> <tbody> <tr> <td></td> <td>5.2</td> </tr> </tbody> </table>	\bar{x}	σ	ROM		kN/mm^2	%		43.1	76.0			35.7	CP	%		5.2			0.9 (0.4)	64.9
\bar{x}	σ	ROM																			
	kN/mm^2	%																			
	43.1	76.0																			
		35.7																			
CP	%																				
	5.2																				
所見等	第一期目標を概ね達成した。																				

研究開発結果要約表

サブテーマ名	3(c) 成形加工技術の開発 2, モールド成形法 2)-1 -<本化構造 口, 三次元曲面部(長絞り部)				
供試体(本形状)					
材料	<p>織維強化:</p> <p>トレイ T300 等</p> <p>樹脂:</p> <p>EPOXY 827 /</p> <p>NMA/BONA</p>				
成形条件	$90^{\circ} \times 1H + 180^{\circ} C \times 4H$ ($6^{\circ}/cm^2$) バーフモールド成形法				
要求性能	弾性率	寸法精度	Vf	ボット率	生産性
	7000 kg/mm^2 以上	(板厚)			分割組立法 70%以下 (30%以上 短距離)
	バラツキ 10% 以下	10%以下	50%以上	1%以下	
試験法	ASTM D-3039 (V形引張強度)	マイクロヤータ による測定	ASTM D-2171 酸分解法	ミクロ撮影 によるボルト面 積を統計 (参考: 比重法)	製造期間 の比較
	外板 2.3 76.4×4 用	$n = 23$	$n = 21$	$n = 21$	$n = 4$
試験結果	\bar{x} 6.998	K_{E}/mm^2	58.2	0 (0.03)	65.7
CD	19.7%	+18.8% (一方筋部) -17.6% (外板部)			
所見等	弾性率と板厚のバラツキが大きい理由は、深い絞り化用のため織布の織維交差角度が場所によって変動したため				

研究開発実績

研究開発項目名 モールド成形法(複雑維及び織組材一体構造)

研究開発実施者名 (財) 次世代金属・複合材料研究開発協会

1. 研究開発期間 昭和56年度～昭和58年度

2. 研究開発手法、前提条件等

1) 開発の狙い

将来的複合材構造は、より大型化するとともに形状を複雑化するため、成形加工の研究対象としては単純なハネレザビーチ等の組合せから、鋳鍛品や金型深鉄り品に類似する形状複雑部材を複合化して同時に組入込んだ一体化成形品を想定する必要がある。従って短纖維強化材・長纖維強化材を含むモールド一本成形法を、航空機等の二次構造部材に適用する目途をたてたため

1. 短纖維強化材と長纖維強化材からなる複雑断面変形部分をモールドダイ成形する要素加工技術
 2. 長纖維強化材組合せと方向不連続強化材からなる三次元曲面部分をバックモールド成形する要素加工技術
- の研究を進め、基本技術を豆又りまとめることを狙った。

2) 現世代技術で越える開発要素

1. (1) 鋳鍛品のような複雑形状部を複合化する場合には、成形性の確保のため、一部の織維を不連続化する必要がある
 (2) その部分の強度低下を最少限に押さえたため、短纖維・整列性の向上や含有率の最適化を図る等の必要がある。
 (3) そのための整列工程の技術化と長短一体化マッドダイ成形法の開発を実施した。

2. (1) 錫金深鉄り材のような多くの複数面を持つ部分の複層においては、アリアレグ材に切れ目を入れたり、シワを付けていたりする。
 (2) そのため強度剛性と深絞り性の相反する要素をバランスよく満たす織布材の追求を行なった。
 (3) また、バックモールディング法を導入させて深鉄り一本成形法を開発を行なった。

3. 研究開発結果

(別紙)

3. 研究開発結果

(1) 実績のポイント (詳細別紙)

① 複雜断面変化部(短繊維系)

矢立ROM%、強度バラツキ、アフタ法精度、ボイド率及び生産性のすべての要求性能を達成した。

② 三次元曲面部(長繊維系)

弾性率、アフタ法精度及び生産性は要求性能を満たしたが、弹性率のバラツキと板厚精度は、深い成形作用を受けた場所においては繊維方向交差角が変動するため、±20°程度となつた。

(2) 注目すべき知見

① モルダメント間でインターインターフェースさせた短繊維整列の効果により。

0°方向引張強さがA445%でMAX60kgf/mm²に達した。

本整列技術では、炭素以外の繊維(ホイスカ等)、エポキシ以外のマトリクス(金属等)にも発展の可能性を有する。

② 強度剛性と成形性の相反する要求をバランスよく満たす織布材を造りし、杉綾織布が航空機等のニーズ構造に適することを見出した。

(3) 一連のプロセスの中で特記すべき特徴的技術

① 短繊維整列工程の機械化に関する特許(特願昭58-153089号)を出願した。

② 16枚朱子織物(16本ごとにタテ・ヨコが交互)及び16枚杉綾織布(F10方式)を試織し、成形性等を評価した(従来は8本とひき)。

(4) 特に効果を發揮した技術

① 縫合部等の鋳金鍛材の複合化における成形性確保のために繊維を短く切ること及び、補強部等の鋳金統合部の複合化における荷重の伝達と生産性確保のためアーフレグに切れ目を入れないことは、いずれも目的達成に効果が認められた。

② 織布の成形性を定量評価するため「ウェーピング数」と「アーフ率」によるデータ整理を試みた。

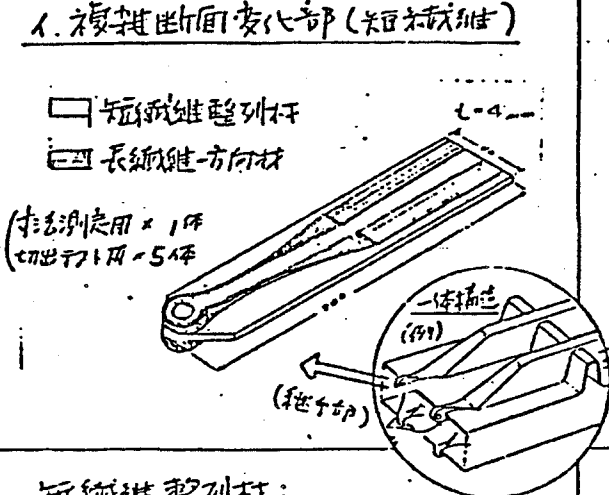
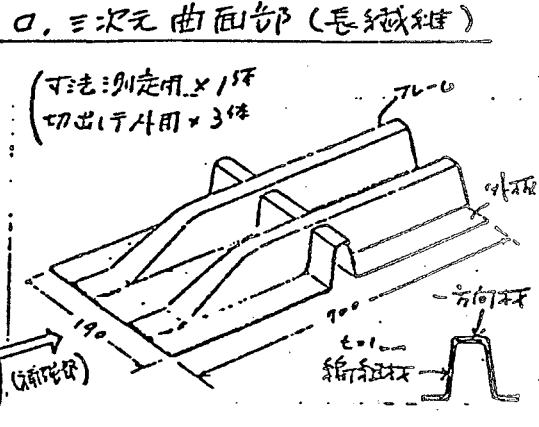
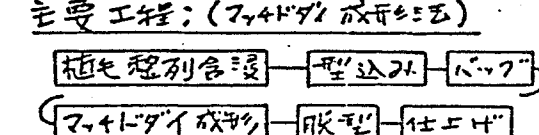
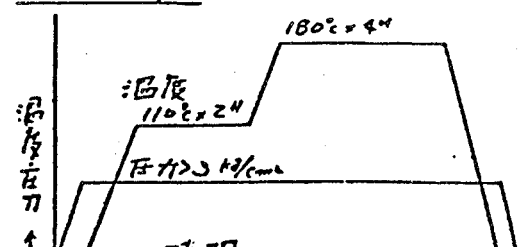
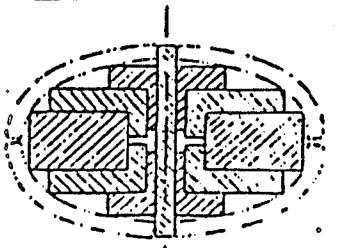
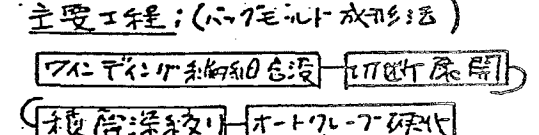
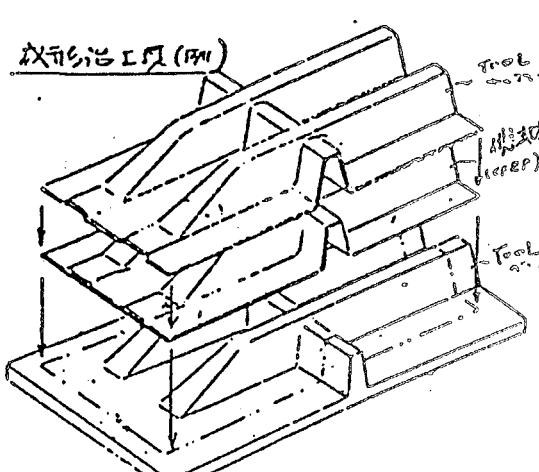
(5) 未到達事項の問題点と解決の目途

織物の深絞り部分における繊維方向と板厚のコントロールには、成形作用による繊維交差角の変動を予測する設計手法の開発が不可欠である。

研究開発結果

サブテーマ名： 2) モールド成形法 2)-1 一体成形構造

1 供試体

項目	内容	
(1) 形状・寸法 (供試体)	<p>1. 複雜断面変化部(短繊維維)</p>  <p>□ 短繊維織物列材 ■ 長繊維一方向材</p> <p>(方法測定用×1件 切出寸引用×5件)</p>	<p>□, △三次元曲面部(長繊維維)</p>  <p>(方法測定用×1件 切出寸引用×3件)</p>
(2) 使用材料	<p>短繊維織物列材； 織維, Tレカ T300 - 3K L 樹脂, エビコ-ト827/NMA/BDMA</p> <p>連續繊維； 織維, Tレカ T300A D-T=7° 樹脂, エビコ-ト827/NMA/BDMA</p>	<p>長繊維織物列材； 織維, Tレカ T300-3K 杉綾織等 樹脂, エビコ-ト827/NMA/BDMA</p> <p>長繊維一方向材； 織維 Tレカ T300A D-T=7° 樹脂, エビコ-ト827/NMA/BDMA</p>
(3) 成形条件	<p>1. 複雜断面変化部(短繊維維)</p> <p>主要工程；(モールド法成形法)</p>  <p>硬化条件；</p>  <p>成形治工具(例)</p> 	<p>2. 三次元曲面部(長繊維維)</p> <p>主要工程；(モールド法成形法)</p>  <p>硬化条件；</p> <p>左記短繊維維条件と同じ (樹脂温度: 同一, T=130°C)</p> 

乙 試験 1. 複合断面変化部(半端無し)

項目	目標性能	試験方法	試験結果																		
① ROM %	60%以上 (実測値) (理論値)		<table border="1"> <thead> <tr> <th>Xn</th> <th>測定値(%)</th> <th>ROM %</th> </tr> </thead> <tbody> <tr> <td>No.1</td> <td>40.2</td> <td>76.5</td> </tr> <tr> <td>No.2</td> <td>47.0</td> <td>74.1</td> </tr> <tr> <td>No.3</td> <td>42.5</td> <td>80.2</td> </tr> <tr> <td>No.4</td> <td>42.1</td> <td>63.0</td> </tr> <tr> <td>No.5</td> <td>43.5</td> <td>86.0</td> </tr> </tbody> </table> <p>引張強度 43.1 kN/mm² ROM : 76.0 %</p>	Xn	測定値(%)	ROM %	No.1	40.2	76.5	No.2	47.0	74.1	No.3	42.5	80.2	No.4	42.1	63.0	No.5	43.5	86.0
Xn	測定値(%)	ROM %																			
No.1	40.2	76.5																			
No.2	47.0	74.1																			
No.3	42.5	80.2																			
No.4	42.1	63.0																			
No.5	43.5	86.0																			
パランキ	10%以下		<p>引張強度 C.V 値 5.2%</p>																		

試験方法:

供試体(長尺端板無一体化)へ短尺端板を差し
列入れのみの部分(上図)より引張試験片を
切り出し、引張試験を行なう。(引張試験片
はFRPダブルー接着後R加工を行なう。)

評価条件(設計許容値):

$$\sigma_c = \sigma_f (1 - \frac{L}{L_0}) C_0 + C_m (1 - \sigma_f) \quad \text{より} \\ \text{許容値(設計計算書 案設-00-2679 参照)} \\ \text{を算出し、比較する。}$$

試験器: 1/2ストロ：5t

2. 試験 1. 複合断面変化部(半端無し)

項目	目標性能	試験方法	試験結果																																								
② Vf	35%以上 45%以下	<p>前項①引張試験破壊部近傍より V字試験片を切り出る。評価値</p> <p>試験法: ASTM-D3177 酸分解法</p>	<table border="1"> <thead> <tr> <th>Xn</th> <th>No.1</th> <th>No.2</th> <th>No.3</th> <th>No.4</th> <th>No.5</th> </tr> </thead> <tbody> <tr> <td>(%)</td> <td>32.5</td> <td>39.9</td> <td>32.8</td> <td>42.2</td> <td>31.2</td> </tr> </tbody> </table> <p>平均 35.7 %</p> <p>C.V.</p>	Xn	No.1	No.2	No.3	No.4	No.5	(%)	32.5	39.9	32.8	42.2	31.2																												
Xn	No.1	No.2	No.3	No.4	No.5																																						
(%)	32.5	39.9	32.8	42.2	31.2																																						
③ 尺寸精度	±2.0%以下 (肉厚)	<p>下記④EP-7点(各15mm)へ厚さで実測 1. 四面寸法に対する板厚誤差率*を求める。</p> <p>*板厚誤差率 = $\frac{X - X'}{X'} \times 100$ X':四面寸法 X:板厚寸法</p>	<table border="1"> <thead> <tr> <th>Xn</th> <th>1</th> <th>-2.5</th> <th>9</th> <th>-2.5</th> </tr> </thead> <tbody> <tr> <td>(%)</td> <td>2</td> <td>-2.0</td> <td>10</td> <td>+0.4</td> </tr> <tr> <td></td> <td>3</td> <td>-2.5</td> <td>11</td> <td>-1.4</td> </tr> <tr> <td></td> <td>4</td> <td>+1.8</td> <td>12</td> <td>-0.4</td> </tr> <tr> <td></td> <td>5</td> <td>-0.8</td> <td>13</td> <td>-3.9</td> </tr> <tr> <td></td> <td>6</td> <td>0</td> <td>14</td> <td>-3.1</td> </tr> <tr> <td></td> <td>7</td> <td>+1.0</td> <td>15</td> <td>-5.2</td> </tr> <tr> <td></td> <td>8</td> <td>-0.5</td> <td></td> <td></td> </tr> </tbody> </table> <p>四面寸法 計13回測定 +1.8% -5.2%</p>	Xn	1	-2.5	9	-2.5	(%)	2	-2.0	10	+0.4		3	-2.5	11	-1.4		4	+1.8	12	-0.4		5	-0.8	13	-3.9		6	0	14	-3.1		7	+1.0	15	-5.2		8	-0.5		
Xn	1	-2.5	9	-2.5																																							
(%)	2	-2.0	10	+0.4																																							
	3	-2.5	11	-1.4																																							
	4	+1.8	12	-0.4																																							
	5	-0.8	13	-3.9																																							
	6	0	14	-3.1																																							
	7	+1.0	15	-5.2																																							
	8	-0.5																																									
④ ホットサ	±1.0%以下	<p>前項①引張試験破壊部近傍より ホットサ試験片を切り出る。評価値</p> <p>試験法: ミクロ撮影(50~100倍)(・全寸 度にて)と熱不等温度を算出す (最大値にてヒートショックを算出)</p>	<table border="1"> <thead> <tr> <th>Xn</th> <th>No.1</th> <th>No.2</th> <th>No.3</th> <th>No.4</th> <th>No.5</th> </tr> </thead> <tbody> <tr> <td>(%)</td> <td>0</td> <td>0.5</td> <td>3.2</td> <td>0.6</td> <td>0</td> </tr> </tbody> </table> <p>平均 0.9 % (0.4) %</p> <p>()内は比較法による評価</p>	Xn	No.1	No.2	No.3	No.4	No.5	(%)	0	0.5	3.2	0.6	0																												
Xn	No.1	No.2	No.3	No.4	No.5																																						
(%)	0	0.5	3.2	0.6	0																																						

2 試験 口 三次元曲面部 (長方形柱)

項目	目標性能	試験方法	試験結果																																																							
(1) 弾性率 (タテ糸方向) 7.000 kN/mm ² /以上	(引張弾性率) 7.000 kN/mm ² /以上	<p>弾性率評価用試験片</p> <p>ASTM D3039 MOD. F3.</p> <p>KFC-Z-C1-11 X25</p> <p>試験条件: インストロン 5TON, XYレバ</p> <p>試験片切出(位置: 下記 GP)</p> <p>FYS法実験式(1枚布の深継糸品)</p>	<table border="1"> <thead> <tr> <th></th> <th>試験件</th> <th>No.1</th> <th>No.2</th> <th>No.3</th> </tr> </thead> <tbody> <tr> <td>外</td> <td>A</td> <td>6033</td> <td>7861</td> <td>8051</td> </tr> <tr> <td>板</td> <td>D</td> <td>9346</td> <td>5136</td> <td>8908</td> </tr> <tr> <td>部</td> <td>G</td> <td>9020</td> <td>5710</td> <td>5950</td> </tr> <tr> <td>X_m</td> <td>B</td> <td>8115</td> <td>7752</td> <td>8014</td> </tr> <tr> <td>(mm)</td> <td>C</td> <td>4057</td> <td>5734</td> <td>8438</td> </tr> <tr> <td>L</td> <td>E</td> <td>6565</td> <td>6224</td> <td>5941</td> </tr> <tr> <td>部</td> <td>F</td> <td>6887</td> <td>7020</td> <td>6193</td> </tr> <tr> <td>X</td> <td></td> <td>7146</td> <td>6491</td> <td>7356</td> </tr> <tr> <td></td> <td></td> <td>6998</td> <td></td> <td></td> </tr> <tr> <td>CV</td> <td></td> <td></td> <td>19.7%</td> <td></td> </tr> </tbody> </table>		試験件	No.1	No.2	No.3	外	A	6033	7861	8051	板	D	9346	5136	8908	部	G	9020	5710	5950	X _m	B	8115	7752	8014	(mm)	C	4057	5734	8438	L	E	6565	6224	5941	部	F	6887	7020	6193	X		7146	6491	7356			6998			CV			19.7%	
	試験件	No.1	No.2	No.3																																																						
外	A	6033	7861	8051																																																						
板	D	9346	5136	8908																																																						
部	G	9020	5710	5950																																																						
X _m	B	8115	7752	8014																																																						
(mm)	C	4057	5734	8438																																																						
L	E	6565	6224	5941																																																						
部	F	6887	7020	6193																																																						
X		7146	6491	7356																																																						
		6998																																																								
CV			19.7%																																																							

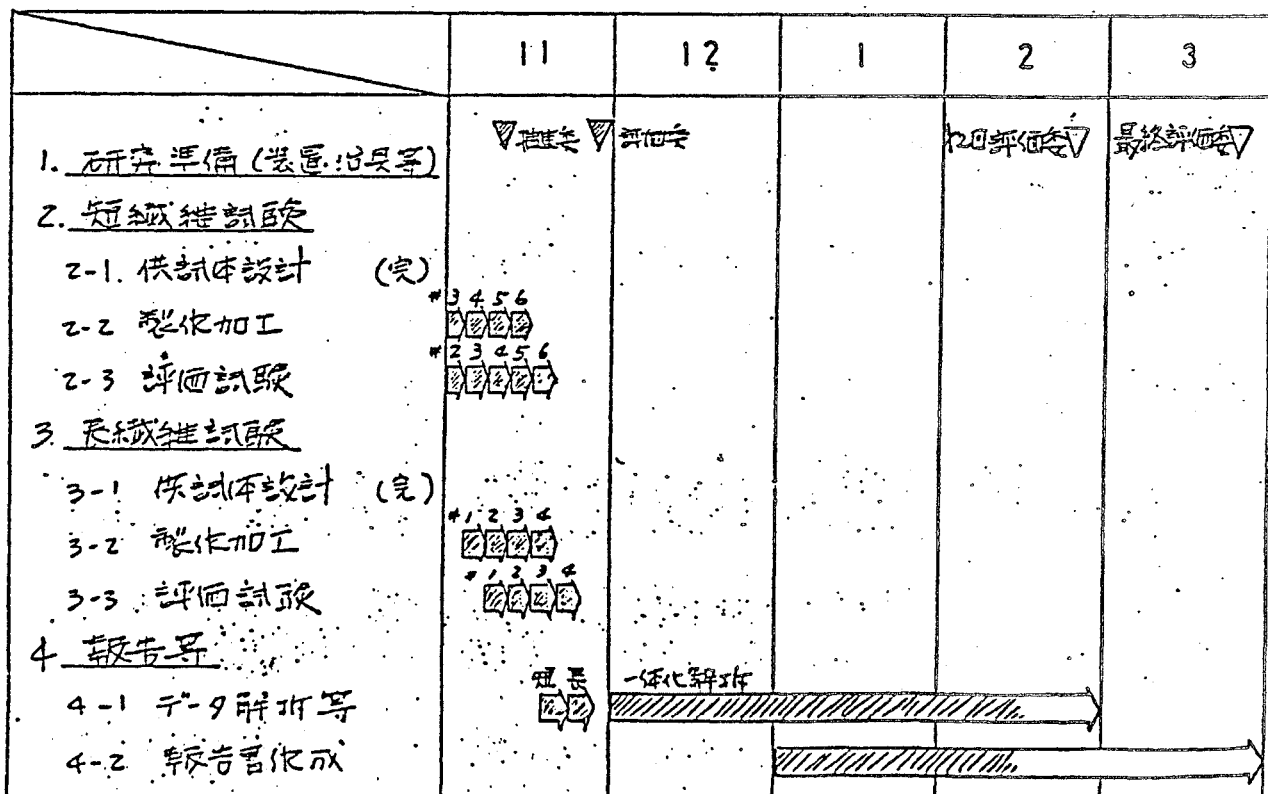
2 試験 口 三次元曲面部 (長方形柱)

項目	目標性能	試験方法	試験結果																																																																					
(2)寸法精度 (板厚) 10%以下	(板厚) 10%以下	下記の印の点 (23ヶ所) の厚みを、実測し各部の板厚バラツキを調べる。	<table border="1"> <thead> <tr> <th></th> <th>外板部</th> <th>フレーム部</th> <th>内板部</th> </tr> </thead> <tbody> <tr> <td>1</td> <td>0.79</td> <td>0.74</td> <td>1.61</td> <td>1.83</td> </tr> <tr> <td>2</td> <td>0.91</td> <td>1.0</td> <td>0.87</td> <td>1.72</td> </tr> <tr> <td>3</td> <td>0.83</td> <td>1.1</td> <td>0.79</td> <td>1.94</td> </tr> <tr> <td>4</td> <td>0.84</td> <td>1.2</td> <td>0.91</td> <td>1.73</td> </tr> <tr> <td>5</td> <td>0.94</td> <td>1.3</td> <td>0.79</td> <td>1.94</td> </tr> <tr> <td>6</td> <td>0.70</td> <td>1.4</td> <td>0.78</td> <td>2.21</td> </tr> <tr> <td>7</td> <td>0.78</td> <td>1.5</td> <td>0.81</td> <td>1.79</td> </tr> <tr> <td>8</td> <td>0.80</td> <td></td> <td></td> <td>2.31 1.70</td> </tr> <tr> <td>X_{MAX}</td> <td>0.91</td> <td>0.99</td> <td></td> <td>2.21</td> </tr> <tr> <td>X_{MIN}</td> <td>0.70</td> <td>0.78</td> <td></td> <td>1.70</td> </tr> <tr> <td>X_{AVE}</td> <td></td> <td>0.85</td> <td></td> <td>1.86</td> </tr> <tr> <td>%V</td> <td>+9.1%</td> <td>+16.5%</td> <td>+16.8%</td> <td>-8.8%</td> </tr> <tr> <td>%V</td> <td>-19.6%</td> <td>-3.2%</td> <td>-</td> <td>-</td> </tr> </tbody> </table>		外板部	フレーム部	内板部	1	0.79	0.74	1.61	1.83	2	0.91	1.0	0.87	1.72	3	0.83	1.1	0.79	1.94	4	0.84	1.2	0.91	1.73	5	0.94	1.3	0.79	1.94	6	0.70	1.4	0.78	2.21	7	0.78	1.5	0.81	1.79	8	0.80			2.31 1.70	X _{MAX}	0.91	0.99		2.21	X _{MIN}	0.70	0.78		1.70	X _{AVE}		0.85		1.86	%V	+9.1%	+16.5%	+16.8%	-8.8%	%V	-19.6%	-3.2%	-	-
	外板部	フレーム部	内板部																																																																					
1	0.79	0.74	1.61	1.83																																																																				
2	0.91	1.0	0.87	1.72																																																																				
3	0.83	1.1	0.79	1.94																																																																				
4	0.84	1.2	0.91	1.73																																																																				
5	0.94	1.3	0.79	1.94																																																																				
6	0.70	1.4	0.78	2.21																																																																				
7	0.78	1.5	0.81	1.79																																																																				
8	0.80			2.31 1.70																																																																				
X _{MAX}	0.91	0.99		2.21																																																																				
X _{MIN}	0.70	0.78		1.70																																																																				
X _{AVE}		0.85		1.86																																																																				
%V	+9.1%	+16.5%	+16.8%	-8.8%																																																																				
%V	-19.6%	-3.2%	-	-																																																																				
(3) V _f	50%以上	前記(1)～弾性率引張破断部近傍より V _f 試験片で切出し、ASTM-D3171 破断分解法により測定して	<table border="1"> <thead> <tr> <th></th> <th>外板部</th> <th>フレーム部</th> <th>X</th> </tr> </thead> <tbody> <tr> <td>No.1</td> <td>44.4</td> <td>57.3</td> <td>61.7</td> <td>66.5</td> <td>63.6</td> <td>53.5</td> <td>57.6</td> </tr> <tr> <td>No.2</td> <td>52.8</td> <td>43.6</td> <td>53.6</td> <td>49.3</td> <td>52.9</td> <td>55.4</td> <td>58.9</td> <td>54.9</td> </tr> <tr> <td>No.3</td> <td>58.9</td> <td>54.0</td> <td>62.2</td> <td>52.8</td> <td>55.8</td> <td>62.0</td> <td>58.1</td> <td>58.2</td> </tr> </tbody> </table>		外板部	フレーム部	X	No.1	44.4	57.3	61.7	66.5	63.6	53.5	57.6	No.2	52.8	43.6	53.6	49.3	52.9	55.4	58.9	54.9	No.3	58.9	54.0	62.2	52.8	55.8	62.0	58.1	58.2																																							
	外板部	フレーム部	X																																																																					
No.1	44.4	57.3	61.7	66.5	63.6	53.5	57.6																																																																	
No.2	52.8	43.6	53.6	49.3	52.9	55.4	58.9	54.9																																																																
No.3	58.9	54.0	62.2	52.8	55.8	62.0	58.1	58.2																																																																
(4)ホット率	1%以下	前記(1)～弾性率引張破断部近傍より ホット試験片を切出し、ミクロ探査法 (50° ～100°C) で表面に約73%熱分布 ² にて 面積で算出する (参考: JIS Z 2241-1996 (宣示))	<table border="1"> <thead> <tr> <th></th> <th>外板部</th> <th>フレーム部</th> <th>Z</th> </tr> </thead> <tbody> <tr> <td>No.1</td> <td>0</td> <td>0</td> <td>0</td> <td>0</td> <td>0</td> <td>0</td> </tr> <tr> <td>No.2</td> <td>0</td> <td>0</td> <td>0</td> <td>0</td> <td>0</td> <td>0</td> </tr> <tr> <td>No.3</td> <td>0</td> <td>0</td> <td>0</td> <td>0</td> <td>0</td> <td>0</td> </tr> <tr> <td></td> <td></td> <td></td> <td></td> <td></td> <td></td> <td></td> </tr> <tr> <td>(%)</td> <td>0.0</td> <td>0.0</td> <td>0.0</td> <td>0.0</td> <td>0.0</td> <td>0.0</td> </tr> </tbody> </table>		外板部	フレーム部	Z	No.1	0	0	0	0	0	0	No.2	0	0	0	0	0	0	No.3	0	0	0	0	0	0								(%)	0.0	0.0	0.0	0.0	0.0	0.0																														
	外板部	フレーム部	Z																																																																					
No.1	0	0	0	0	0	0																																																																		
No.2	0	0	0	0	0	0																																																																		
No.3	0	0	0	0	0	0																																																																		
(%)	0.0	0.0	0.0	0.0	0.0	0.0																																																																		

2 試験

項目	目標性能	試験方法	試験結果																																	
(5) 生産性 70%以下 (30%以上短縮)	分割組立法 → 70%以下 (30%以上短縮)	<p>一本成形法と分割成形+接着組立法 によるモール成形の硬化精度、製造期間で比較する。</p> <p>分割成形+接着組立法</p> <p>接着 → 積層 → 硬化 → 組立 → 喷漆 → 仕上</p> <p>← 製造期間 T (貯蔵回数) →</p> <p>上記 T と一本化の T を比較 ($\frac{T}{T}$) す。</p>	<p>1. 表面断面観察部(表面硬度)</p> <table> <tr> <td>No.1</td> <td>69.9</td> <td>%</td> </tr> <tr> <td>No.2</td> <td>61.9</td> <td></td> </tr> <tr> <td>No.3</td> <td>67.7</td> <td></td> </tr> <tr> <td>No.4</td> <td>63.3</td> <td></td> </tr> <tr> <td>No.5</td> <td>59.7</td> <td></td> </tr> <tr> <td>\bar{x}</td> <td>64.9</td> <td></td> </tr> </table> <p>2. 三次元測定部(表面精度)</p> <table> <tr> <td>No.1</td> <td>64.7</td> <td>%</td> </tr> <tr> <td>No.2</td> <td>68.6</td> <td></td> </tr> <tr> <td>No.3</td> <td>61.9</td> <td></td> </tr> <tr> <td>No.4</td> <td>67.6</td> <td></td> </tr> <tr> <td>\bar{x}</td> <td>65.7</td> <td></td> </tr> </table>	No.1	69.9	%	No.2	61.9		No.3	67.7		No.4	63.3		No.5	59.7		\bar{x}	64.9		No.1	64.7	%	No.2	68.6		No.3	61.9		No.4	67.6		\bar{x}	65.7	
No.1	69.9	%																																		
No.2	61.9																																			
No.3	67.7																																			
No.4	63.3																																			
No.5	59.7																																			
\bar{x}	64.9																																			
No.1	64.7	%																																		
No.2	68.6																																			
No.3	61.9																																			
No.4	67.6																																			
\bar{x}	65.7																																			
短織維	上記 $T = 1$																																			

3. 時序



番号 構設-00-2679	課題 モルド成形材の 理論強度・剛性値の計算	承認	点検	製作 改版 58.10.13.
------------------	---------------------------	----	----	-----------------------

1. 目的

航空機工次構造用として開発中の短纖維整列材の理論強度と長纖維編組材の剛性値を算定する。

2. 理論強度・剛性値

項目	理論強度 F_{tu} (kg/mm^2)	理論剛性 E_t (kg/mm^2)
短纖維整列材	56.2 ~ 70.8 ($V_f = 35\%$) ($V_f = 45\%$)	—
長纖維編組材	—	7,000

3. 参考資料

1) 第11回卓富航空材料シンポジウム (1981.2.20)

「短纖維強化複合材料の強度について」

2) 日本航空宇宙学会誌 Vol. 13, No. 183

「纖維強化複合材料の強度理論」

4. 短纖維整列材の理論強度

参考資料により次式福田/CHOUの式に基づいて算定する。

$$\sigma_c = \sigma_f V_f (1 - l_c/2l) C + \sigma_m' (1 - V_f). \quad (1)$$

上式で σ_c : 短纖維整列材の理論強度 (kg/mm^2)

σ_f : T300 繊維の保証強度 $\sigma_f = 280 \text{ kg/mm}^2$

σ_m' : 樹脂強度 社内試験より $\sigma_m' = 4.8 \text{ kg/mm}^2$

V_f : 繊維含有率

l : 短纖維長さ $l = 3 \text{ mm}$

l_c : 限界長さ (mm) $l_c = (\sigma_f / 2 \sigma_m') \cdot d$

C_0 : 配向係数

$$\sigma_{fy} = \sigma_f = 280 \text{ kg/mm}^2, d: 繊維径 d = 0.007 \text{ mm}$$

τ_{my} : 樹脂の界面剪断強度

τ_{my} は 参考資料¹⁾に示された ガラス/エポキシの強度を使用

$$\tau_{my} = 2.0 \text{ kg/mm}^2$$

C_0 は 参考資料¹⁾に示された INJECTION MOULDE材の 0.59 を使用

上記のデータに基づいた $V_f = 35\% \sim 45\%$ の σ_c の 計算値を以下に示す。

$$l_c = \frac{280}{2 \times 2.0} \times 0.007 = 0.49 \text{ mm}$$

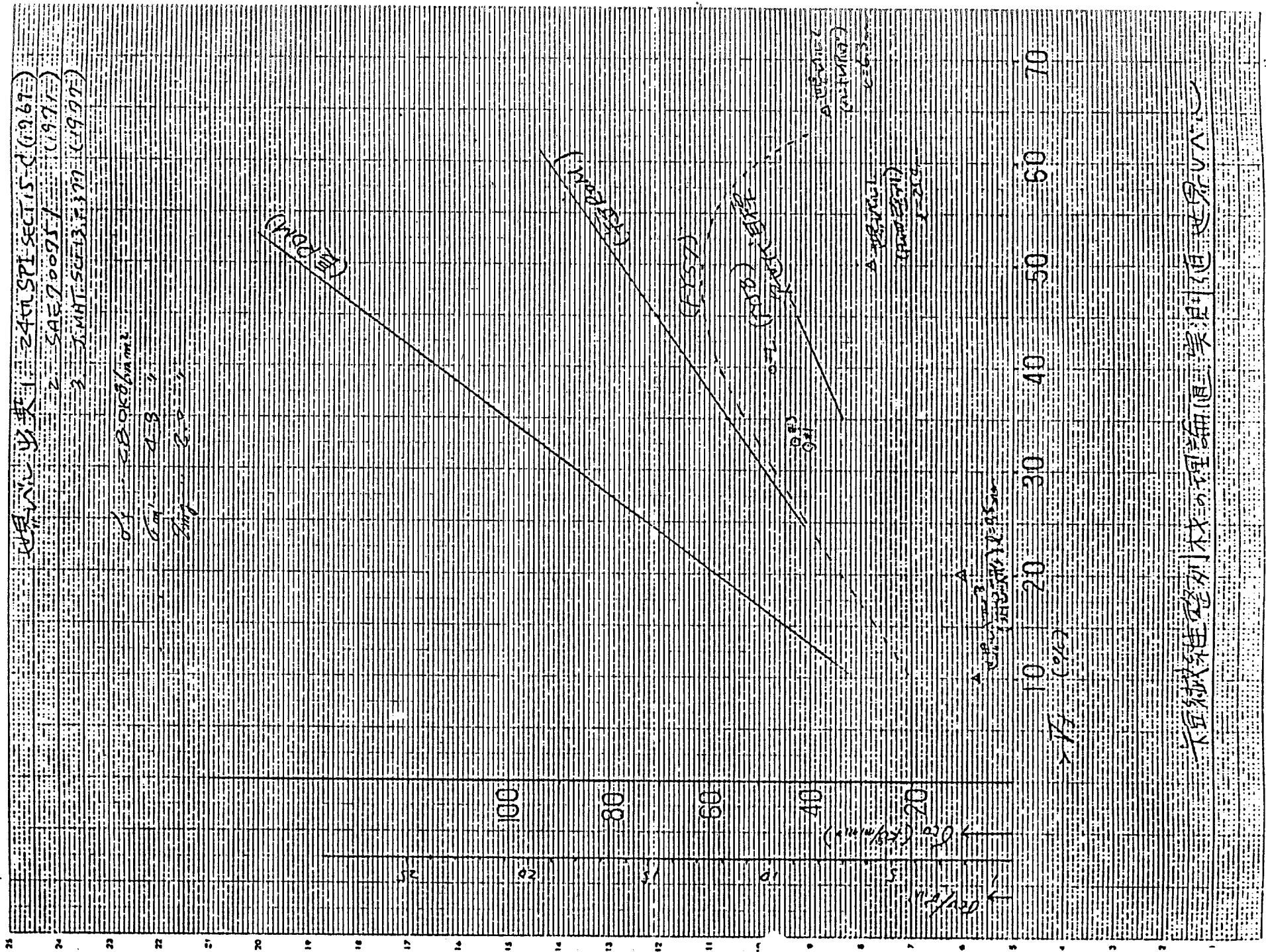
$$\sigma_c = 280 \left(1 - \frac{0.49}{2 \times 3}\right) V_f \times 0.59 + 4.8(1 - V_f) = 4.8 + 146.84 V_f$$

$$\sigma_c = 56.2 \text{ kg/mm}^2 (V_f = 0.35), 70.8 \text{ kg/mm}^2 (V_f = 0.45)$$

5. 長纖維編組材の理論剛性

長纖維編組材の理論剛性の計算式は 設定されていないため、類似素材である航空機用クロス材の剛性要求値 ($E_{T(0\%)} = 7000 \text{ kg/mm}^2$) を長纖維編組材の理論剛性とする。

$$\text{理論剛性 } E_{T(0\%)} = 7,000 \text{ kg/mm}^2$$



要 旨

研究開発項目名 成形加工技術の開発（モールド成形法／ホットプレス法）

研究開発実施者名 (財) 次世代金属・複合材料研究開発協会

1. 研究開発期間 昭和56年度～昭和58年度

2. 第一期目標のポイント

自動車用大形パネル部品のFRP化を目指し、ホットプレスによる高剛性パネルの低圧成形基本技術を開発する。

評価の基準は生産性（成形圧力、成形サイクル）とする。

3. 各年度の実施計画のポイント

昭和56年度：ホットプレス成形の現状と問題点の抽出

成形予備試験

昭和57年度：ガラス繊維-不飽和ポリエステルSMC、炭素繊維-ビニルエス

タルSMCパネルの比較研究

昭和58年度：400×500mm炭素繊維-ビニルエス

タルSMC箱型パネルの試作

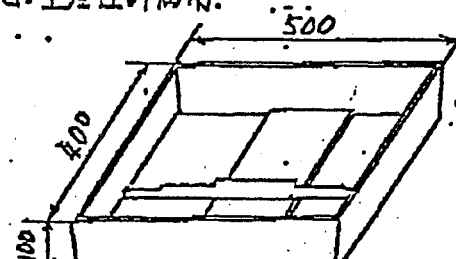
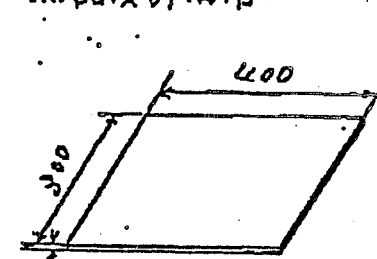
による生産性、力学特性の評価

4. 第一期の実績のポイント

ホットプレスによる高剛性パネルの低圧成形基本技術が開発された。

(2/7)

併究開發站點獎約表

サブテーマ名	3.(2) 成形加工技術の開発 2)-2. ホットプレス&ヒストレーチ法		A: ホットプレス法	
研究開発手法	供試体形状		(i) 生産性評価用  (ii) 品質評価用 	
成形条件	項目 生産性評価用 品質評価用		上型: $135 \sim 148^{\circ}\text{C}$ 下型: $137 \sim 144^{\circ}\text{C}$ 上型: $145 \pm 2^{\circ}\text{C}$, 下型: $140 \pm 2^{\circ}\text{C}$	
	成形圧力	MAX 50 kgt/cm^2	40 kgt/cm^2	
	加圧時間	180秒	150秒	
	データ条件	展開面積の90%データ	$80\% \times 3$ 枚(同一方向)	
前条件	材料 SMC (炭素短繊維強化ビニルエスチル) 東レ(株)のトレカSMC(試作品番号: S-1R-201/D)			
研究開発結果	要求性能	生産性 品質		
試験法	成形圧力 成形サイクル 品の脱型速度 より算出した ヒストラップ パラメータ	3分以下 3.000 kgt/cm ² 以上 JIS K 6919 洋行式三点曲げ 試験法 n=24(標準値) z=3(信頼度)	変形寸数 15%以下 E10%以下 板厚±5%	
試験結果	現有プレスの能力限界 である 50 kgt/cm^2 でも 垂直部が圧力不足となり 満足な成形品は得られ ない。	E = 2962 kgt/mm^2	C _v = 8.0% + 1.9% - 1.7%	d = 3.17 mm + 2.2% - 1.6%
予見	品質では薄物SMCにより繊維の初期強度を上げ、弹性率の向上、接着性等の改善が図れども、生産性の面では深絞り成形に問題が残されており、外観品質の向上も含めた着地の改善と第2期にて実施する。			

研究開発実績

研究開発項目名 モールド成形法(ホットプレス法)

研究開発実施者名 (財)次世代金属複合材料研究開発協会

1. 研究開発期間 昭和56年度～昭和58年度

2. 研究開発手法、前提条件等

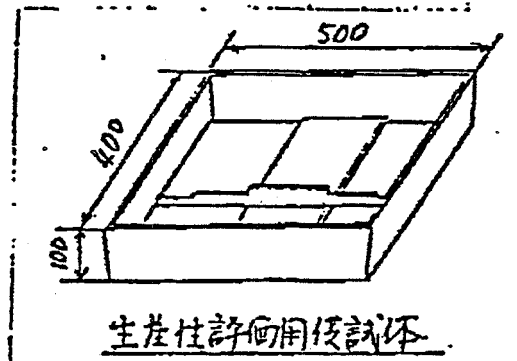
高剛性パネルの低圧速硬化成形を実現するため、ホットプレス法による要素技術の研究を下記により実施した。

SMCのホットプレス成形について

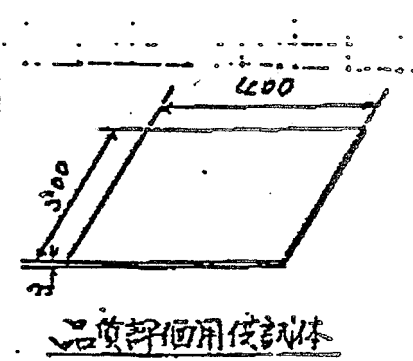
(1) 生産性評価用 … $400 \times 500 \times$ 深さ $100 \pm 3 \sim 5$ mm の箱型

(2) 品質評価用 … $300 \times 400 \times \pm 3$ mm の平板

の供試体と成形するための成形条件を検討し、品質及び生産性の向上を図る。成形材料としては、高弹性率及び擬似等方性を考慮に入れ炭素短繊維強化 SMC (東レ(株)製品: トレス SMC(繊維長19)) を用い改善を進めた。



生産性評価用供試体



品質評価用供試体

3. 研究開発結果

(1) 実績のポイント(詳細別紙)

	生産性		品質		
	成形圧力	成形サイクル	弹性率	弹性率の方向性	弹性率のバラツキ
目標性能	40 kgf/cm ² 以下	3分以下	3000 kgf/cm ² 以上	変動係数 15%以下	±10%以下 板厚±5%以下
試験結果	50 kgf/cm ² でも成形不可		2.962	8.0	+1.9 -1.7 ±2.2 -1.6

上表の如く、品質においては、弹性率がやや不足するものは目標値を達成しており、高弹性率、擬似等方性の面での改善が図れた。

一方、生産性に関しては、平板の成形であれば、 $40 \text{ kgf/cm}^2 \times 3$ 分で可能であるが、箱型の深紋り成形では現有プレスの能力限度である 50 kgf/cm^2 でも直角部の圧力不足となり、満足な成形品は得られない。

(2) 注目すべき知見

高弹性率、機械強度、外観品質等と同時に低圧、速硬化と達成するには、素材とGF強化SMCと同レベルの生産性今まで改善することは重要な課題であり、これに主として素材メーカーの技術開発に頼らざる入る。さて、素材の改善はどの程度まで可能か、またその素材を用いての実用化に対する技術的課題は何か、という事と並んで把握し、解決していく事が本研究の重要な課題となる。

(3) 一連のプロセスの中で特記すべき技術的技術

高弾性率を必要とする場合、ガラス繊維では長繊維と使用する事に機械強度を要求することは困難であるが、炭素繊維と使用する事により、成形性の問題が若干残るもの、導電率面用混調体(平板)では100%の要求品質を達成する事ができる。

(4) 特に効果を發揮した技術

上記の実績を得るに当たっては、炭素繊維(1イチ長)の3000アラメタのものを使用して繊維含有率を高め(55wt%)、かつ薄物SMCに対する繊維の補強効果を、ニードル方向のロスと併せて二次元に有効活用するなどの改善と施された。

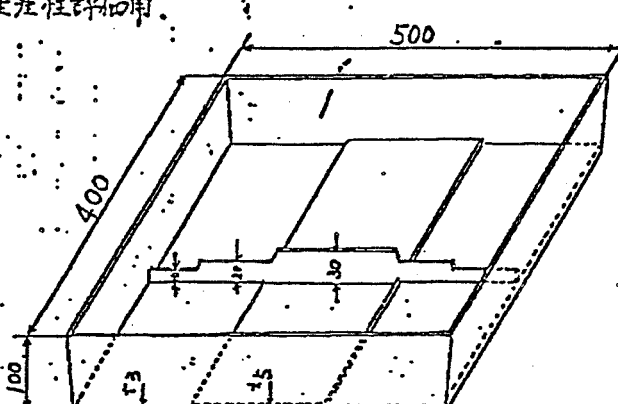
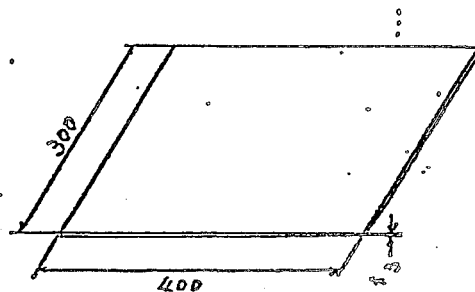
(5) 未到達項目の問題点と解決の目途

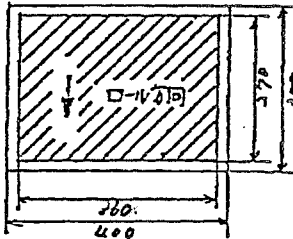
現在使用しているCF強化SMCでは、低圧(40kgf/cm^2)での深めり成形(100mm)及び外観品質に問題が残されており、これは素材面から改善することべき務である。今二期会においては、この点に力を注ぎ、品質の目標性能を第一期と同レベルに抑えて、成形性を改善していく。

アフテーマル: 3.12 成形加工技術の開発 → 2. ポートフレスマスチレン法

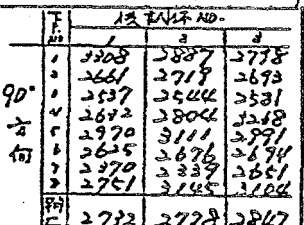
A: ポートフレスマスチレン法

1. 供試体

項目	容.																								
① 形状寸法	<p>(1) 生産性評価用.</p>  <p>矩形 (400×500×100×300 mm)</p> <p>斜面勾配: 最大30°と33°。 外R5とする。</p> <p>(2) 品質評価用.</p>  <p>平板 (300×400×300 mm)</p>																								
② 使用材料	<p>SMC (炭素短纖維強化ビニルエスチル) --- 素材(市販) ハトガ SMC (素材品番 no. S31R-201B) (ハトガ下-300.3000アラメント 1%炭素 55wt%)</p> <p>基本特性. (試作品であり、実験仕様のみ。カタログ値は異なる)。</p> <table border="0"> <tr> <td>参考: 自社製造値.</td> <td>曲げ強度 (0方向)</td> <td>44~52 kgf/cm²</td> </tr> <tr> <td></td> <td>曲げ弹性率</td> <td>2800~3400 kgf/cm²</td> </tr> <tr> <td></td> <td>引張強度</td> <td>26~38 kgf/cm²</td> </tr> <tr> <td></td> <td>圧縮強度</td> <td>26~30 kgf/cm²</td> </tr> <tr> <td></td> <td>衝撃強度 (JIS K 7089)</td> <td>27~50 kgf/cm/cm</td> </tr> </table>	参考: 自社製造値.	曲げ強度 (0方向)	44~52 kgf/cm ²		曲げ弹性率	2800~3400 kgf/cm ²		引張強度	26~38 kgf/cm ²		圧縮強度	26~30 kgf/cm ²		衝撃強度 (JIS K 7089)	27~50 kgf/cm/cm									
参考: 自社製造値.	曲げ強度 (0方向)	44~52 kgf/cm ²																							
	曲げ弹性率	2800~3400 kgf/cm ²																							
	引張強度	26~38 kgf/cm ²																							
	圧縮強度	26~30 kgf/cm ²																							
	衝撃強度 (JIS K 7089)	27~50 kgf/cm/cm																							
③ 成形条件	<p>成形工程.</p> <pre> graph LR A[SMCの成形] --> B[所定のマッキン 条件準備] B --> C[型工セット] C --> D[型溝] D --> E[加压保持] E --> F[型閉] F --> G[脱型 型清掃] G --> H[冷却] H --> I[次回] </pre> <p>成形条件.</p> <p>(1) 生産性評価用.</p> <ul style="list-style-type: none"> ・金型温度 右図(1)通り。 (但し、側面部も含めた 温度範囲を示す) <table border="1"> <tr> <td>上型(椎型)</td> <td>135</td> <td>136</td> <td>135</td> </tr> <tr> <td></td> <td>3</td> <td>3</td> <td>3</td> </tr> <tr> <td></td> <td>147°C</td> <td>148°C</td> <td>147°C</td> </tr> </table> <table border="1"> <tr> <td>下型(底型)</td> <td>137</td> <td>141</td> <td>137</td> </tr> <tr> <td></td> <td>3</td> <td>3</td> <td>3</td> </tr> <tr> <td></td> <td>143°C</td> <td>144°C</td> <td>143°C</td> </tr> </table>	上型(椎型)	135	136	135		3	3	3		147°C	148°C	147°C	下型(底型)	137	141	137		3	3	3		143°C	144°C	143°C
上型(椎型)	135	136	135																						
	3	3	3																						
	147°C	148°C	147°C																						
下型(底型)	137	141	137																						
	3	3	3																						
	143°C	144°C	143°C																						

項目	内容
	<ul style="list-style-type: none"> ・成形圧力 50 kgf/cm^2 ・加圧時間 180秒 ・マージ条件 右図のせんく直通部にもマージ 中央の層内(5mm厚)部及び リブ部にマージ量を増加し、 マージ面積は展開面積の 約90%である。 (SMCのロール方向の比率ではない)
	<p>ii) マジック用</p> <ul style="list-style-type: none"> ・全室温度 上空: $146 \pm 2^\circ\text{C}$ 下空: $140 \pm 3^\circ\text{C}$ ・成形圧力 40 kgf/cm^2 ・加圧時間 150秒 ・マージ条件  <p>左図のATC 成形品面積の約90%マージの 大きさ SMC 3枚 同一方向に並べてある。</p>

2. 試験

項目	目標仕様	試験方法	試験結果
生産性 ①成形圧力	40kg/cm ² 以下	型抜刀 P (t _m) と成形品の投影面積 S (cm ²) から次式より算出する。 $P = \frac{P_m \times 10^4}{S}$:: P: 成形圧力 (kg/cm ²) P _m : 型抜刀 (t _m) (フレスの反力を計り読み取り) S: 成形品の投影面積 (cm ²)	直部に17t圧力不足の為、フレス能力の限界 (200t _m) である 50kg/cm ² で、満足な成形品は得られない。 (参考) ・トレーSMCでの半板成形 (品厚平面用) 40kg/cm ² × 3/1
②成形サイクル	3分以下	材料供給から脱型までの時間(ストップウォッチ)にて測定する。	ガラス繊維強化SMC での生産性評価用候試 体の実験 40kg/cm ² × 3/1
品質 ③柱寸	3.000 mm以上	JIS K 6919規格による表面凹凸試験により、柱寸を測定する。 但し、治具はインストロング社の曲り試験治具を使用する。 (i)装置: インストロン1125型万能試験機を使用。 (ii)試験条件: 供試体から厚さ約80mm、幅25±0.5mm 機械加工したもの。 (iii)試験体からの採取位置は次図の通り。	13柱寸表  (iv)方法: 試験片の柱寸をマイクロメータで0.01mmまで測定する。 試験片を右図に示す如く50mm×50mmの正方形に切り取る。 支点間距離50mmを金具で固定する。 試験片中央部に押し金具により1mm/minの速度で試験片を加圧する。このときの荷重に対する変位を記録する。 初期の直線部分に接線を引いてその勾配を求める。次いで平行四辺形柱寸を算出する。 $E = \frac{L \cdot m}{4 \cdot d \cdot d}$:: L: 試験片長さ (mm) m: 荷重に対する柱寸の初期直線部分の傾き (kgf/mm)

項目	目標仕様	試験方法	試験結果				
④弾性率の方向性 変動係数15%以下。		<p>0°, 45°, 90°方向の大きさ。各方向の平均値 E_1, E_2, E_3 の供試体数 $n=3$ に対する E_i の平均値として弾性率 E 上式。 上記③で測定した弾性率 $E_{1,2,3}$ にて、供試体1枚当たりの曲げ弾性率 $C_{v1} (n=24)$ の波动係数 C_{v1} 及び3枚の供試体数 $n=3$ に対する平均値 C_v で表わす。 $C_{v1} = \frac{E_{1,2,3}}{E} \times 100$ $C_v = \frac{C_{v1}}{3}$ $E_{1,2,3} : \text{曲げ弾性率} (\%)$ $E : \text{供試体1枚当たりの平均曲げ弾性率} (\%)$ $C_v : \text{波动係数} (\%)$ </p>	<table border="1"> <tr> <th>供試体 No.</th> <th>1</th> <th>2</th> <th>3</th> </tr> </table> $C_{v1} : 9.3\% (C_{v1})$ $C_v : C_{v1} + C_{v2} + C_{v3}$ $= 8.0\% (C_v)$	供試体 No.	1	2	3
供試体 No.	1	2	3				
⑤弾性率バラツキ $\pm 10\%$ 以下。		<p>上記③で求めた平均曲げ弾性率 E_1, E_2, E_3 のうち、最大値 E_{max} 及び最小値 E_{min} の、平均値 E からのバラツキを % で表わす。</p> $\frac{E_{max} - E}{E} \times 100 (\%)$ $E_{max} : E_1, E_2, E_3 の最大値$ $E_{min} : E_1, E_2, E_3 の最小値$ $\frac{E_{max} - E}{E} \times 100 (\%)$ $E : E_1, E_2, E_3 の平均値 \left(\frac{E_1 + E_2 + E_3}{3} \right)$	$+ 1.9\%$ $- 1.7\%$				
⑥寸法精度 板厚 $\pm 5\%$ 以下		<p>上記①で測定した板厚 d_1, d_2, d_3 にて、供試体1枚当たりの平均板厚 d ($n=24$) を求め、供試体数 $n=3$ に対する平均値 d_{avg} 及び最大値 d_{max} 及び最小値 d_{min} のバラツキを % で表わす。</p> $\frac{d_{max} - d}{d} \times 100 (\%)$ $d_{max} : d_1, d_2, d_3 の最大値$ $\frac{d_{min} - d}{d} \times 100 (\%)$ $d_{min} : d_1, d_2, d_3 の最小値$ $d : d_1, d_2, d_3 の平均値 \left(\frac{d_1 + d_2 + d_3}{3} \right)$	<table border="1"> <tr> <th>供試体 No.</th> <th>1</th> <th>2</th> <th>3</th> </tr> </table> $d : 3.17 (cm) \pm 2.2\%$ $- 1.6\%$	供試体 No.	1	2	3
供試体 No.	1	2	3				

3. 使用試験機材

インストロン1125型万能試験機
及び曲げ試験治具

4. 備考

・炭素繊維強化SMCでは、成形圧力 50 kgt/cm^2 以下での主張性評価用供試体の深めり成形は不可能である。

①平板(品質評価用供試体)では $40 \text{ kgt/cm}^2 \times 3$ 分で成形可能

②ガラス繊維強化SMCであれば、主張性評価用供試体と $40 \text{ kgt/cm}^2 \times 3$ 分で成形可能
という実績が得られている。

さて、炭素繊維強化SMCとガラス繊維強化SMCと同レベルの生産性などで改善するべく検討課題があり、今後実施する。

要 旨

研究開発項目名 成形加工技術の開発（モールド成形法／ストレッチ法）

研究開発実施者名 (財) 次世代金属・複合材料研究開発協会

1. 研究開発期間 昭和56年度～昭和58年度

2. 第一期目標のポイント

自動車用大形パネル部品のE R P化を目指し、ストレッチ法による高剛性パネルの成形基本技術を開発する。

評価の基準は生産性（成形圧力、成形サイクル）とする。

3. 各年度の実施計画のポイント

昭和56年度：ストレッチ成形法の現状と問題点の摘出

成形予備試験

昭和57年度：ストレッチ法による各種ハイブリッドパネルの比較試験

昭和58年度： $1,000 \times 1,000\text{mm}$ ハイブリッドパネルの試作による生産性、力学特性の評価

4. 第一期の実績のポイント

ストレッチ法による高剛性パネルの成形基本技術が開発された。

研究開発結果要約表

サブテーマ名	3.(2) 成形加工技術の開発 2)-2 ホットプレスアリストレンチ法 8: ストレッチ法					
研究開発手法	試験体形状					
成形条件	空気温度 24°C 型表面温度 (徐々に昇温させ 20分後で 40~50°C) 配合比 树脂(100) : 硬化剤(1) : 促進剤(1) 1:1:1 模型構成 $(CF)_2/(GF)_2/(CF)_2$ 同一方向					
前提条件	材料	ガラス繊維・平織りクロス (日本ガラス繊維(株)マジロガラスクロス YEH-2401-N) 空気温度: 平織りクロス (東レ(株))、トロカラス 6343 不飽和ポリエスチル (日本導品工業(株) ポリマール X-440-AM.) 硬化剤 MEKP. (日本油化(株) バーメーツ-N) 促進剤 ナフテン酸パル (日本導品工業(株) ポリマール促進剤 QP-3)				
要求性能	生産性	品質	検査			
	成形圧力 10 kgf/cm^2 以下	成形サイクル 20分以下	弹性率 3.000 kgf/mm^2 以上	厚さ変化率 ±10%以下	寸法精度 板厚±2% 以下	
試験法	フィルム張力 重直荷重保持 K-加压保持 は持ちていい い	材料供給方法 模型寸法測定 とストアラボン 1:2測定する	JIS K 6919規格 び:3豆西ゲージ 試験 $n=15$ (試験体数) $i=3$ (供試体数)	←	マジロメータ ±2%測定 ←	
試験結果	常圧下	20分	$E = 3122$ kgf/mm^2	+ 4.9% - 4.0%	$d = 3.89 \text{ mm}$ + 1.8% - 2.9%	
所見	平板成形においては、型と含浸脱泡作業用温度との兼用が可能であり、含浸脱泡時から徐々に昇温するに伴って生産性の向上が図られた。(しかし今後の構造要素の成形に当たっては既成技術の開発が必要であり、含浸脱泡技術の開発と併せて全体の成形プロセスの合理化を進めなければならない。)					

本卷共計 2613 頁，總字數約 17211 萬字。要點摘要見於第 21 頁。

題目分為三級：一級為各項具體的問題；二級為各項問題的子題；三級為各項問題的子題的子題。

(2) 本卷可分為三類：

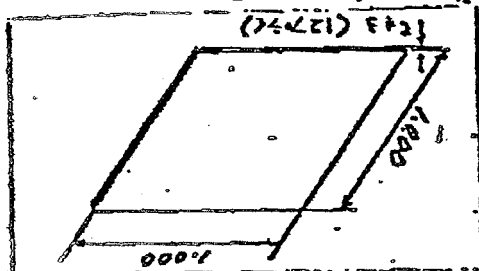
- 1. 球形試驗的特性和方法（第 1~10 頁）。
- 2. 單元彈性模量的測定（第 11~15 頁）。
- 3. 其他問題（第 16~26 頁）。

測驗結果	常溫	20	3/22	+4.9	+1.8	-2.9
目標性能	10 kgf/cm ²	20 kgf/cm ²	3000 kgf/cm ²	±10% K/T	精度 ±8%	K/T
試驗方法	萬能試驗機	壓縮試驗	壓縮試驗	拉伸試驗	剪切試驗	彎曲試驗

(1) 單元彈性模量 (詳見圖 1-1)

3. 單元彈性模量

以下各項為成形條件之檢驗：品質及公差範圍如下。



- 成形尺寸及尺寸公差
- 游隙公差
- 其他配合公差
- 強度及硬度公組合 (1879-15)

適用於以下之成形條件：大電火光 (1000×1000×3 mm³) 及不規則形狀 (127×127×127 mm³) 之圓柱或球體 (其外表面及凹槽等處之半徑為 7.5mm)。

以下之要素取自於所附之標準：尺寸公差 (±5%)，材料為 1879-15，尺寸為 1000×1000×3 mm³。

高剛性 / 小火光 / 低反應彈性成形之實現方法：尺寸為 1000×1000×3 mm³，材料為 1879-15。

2. 單元彈性模量、剪切系数等。

1. 單元彈性模量範圍：56 千克 ~ 58 千克

單元彈性模量範圍：(約) 次數：1/1000 合格率：100% (1879-15)

單元彈性模量範圍：(約) 次數：1/1000 合格率：100% (1879-15)

研究問題彙編

(3) 一連のプロセスの中で特記すべき特徴的技術.

樹脂の速硬化と図りに付・硬化剤の増量又加熱硬化などは効果的であるが、いずれも・ゲル化時間が早まり・含浸・脱泡作業には支障を来たすためこれらのバランスをうまく調整することにより目標を達成すべし。

(4) 特に効果を發揮した技術.

上記のバランスを取りために、平板の成形における含浸脱泡作業台と型とのいずれも走盤であるといふ看目し、両者の兼用により、1工程者賄うとともに含浸脱泡時から徐々に型を昇温させ、成形サイクルの短縮を狙うべし。

(5) 未到達事項の問題点と解決の目途.

平板の成形に際しては、上記(4)の手法が可能であるが、代表的構造要素の成形における走盤上での含浸・脱泡後、型上へのセッティング・硬化といふ工程れならざるを得ない。

よつて、今二期においては、「含浸・脱泡技術の開発」、「異成形技術の開発」を行ない、その成果と基に、全体の成形プロセスの合理化を図り、ストレッチ成形の高度化を進めよう。

研究開発結果

B:ストレッチ法.

1.供試体

項目	平位	各																																																													
①形状・寸法		平板(1,000×1,000×1.000mm)																																																													
②使用材料	<ul style="list-style-type: none"> ガラス繊維・平戻りクロス(日本硝子織物(株)マイクロガラスクロスYEH-2101-NL) 炭素繊維・平戻りクロス(東レ(株))・トレンカフロス 6343 不飽和ポリエスチル(武田高分子工業(株) ポリマーX-440-AM) 硬化剤 MEKP (日本油化(株) パーマーク-N) 促進剤 ナフテン酸コバルト(武田高分子工業(株) ポリマール促進剤OP-3) 																																																														
	<p>基本特性(仕様) → カタログ値。</p> <p>マイクロガラスクロス YEH-2101-NL</p> <table border="1"> <thead> <tr> <th>標準厚さ</th> <th>標準密度</th> <th>密度(±1%)</th> <th>引張強度</th> </tr> <tr> <th>(mm)</th> <th>(g/cm³)</th> <th>(g/cm³)</th> <th>(kg/mm²)</th> </tr> </thead> <tbody> <tr> <td>0.25</td> <td>2.06</td> <td>2.2</td> <td>21</td> </tr> <tr> <td></td> <td></td> <td></td> <td>EP-25</td> </tr> </tbody> </table> <p>→ テクスチャーラン表面處理。</p> <p>平戻りクロス</p> <p>トレンカフロス 6343</p> <table border="1"> <thead> <tr> <th>標準厚さ</th> <th>標準密度</th> <th>密度(±1%)</th> <th>使用範囲</th> </tr> <tr> <th>(mm)</th> <th>(g/cm³)</th> <th>(g/cm³)</th> <th>(kg/mm²)</th> </tr> </thead> <tbody> <tr> <td>0.27</td> <td>2.00</td> <td>1.5</td> <td>1.5</td> </tr> <tr> <td></td> <td></td> <td></td> <td>T300-3000</td> </tr> </tbody> </table> <p>平戻りクロス</p>	標準厚さ	標準密度	密度(±1%)	引張強度	(mm)	(g/cm ³)	(g/cm ³)	(kg/mm ²)	0.25	2.06	2.2	21				EP-25	標準厚さ	標準密度	密度(±1%)	使用範囲	(mm)	(g/cm ³)	(g/cm ³)	(kg/mm ²)	0.27	2.00	1.5	1.5				T300-3000	<p>・ ポリマール X-440</p> <p>光学倍率20倍 → カタログ値</p> <table border="1"> <thead> <tr> <th>項目</th> <th>平位</th> </tr> </thead> <tbody> <tr> <td>曲げ強度</td> <td>kg/mm²</td> <td>12.2</td> </tr> <tr> <td>曲げ弾性率</td> <td>kg/mm²</td> <td>83.0</td> </tr> <tr> <td>引張強度</td> <td>kg/mm²</td> <td>4.9</td> </tr> <tr> <td>引張耳拉伸率</td> <td>kg/mm²</td> <td>37.0</td> </tr> <tr> <td>伸・縮率</td> <td>%</td> <td>-1.3</td> </tr> <tr> <td>圧縮強度</td> <td>kg/mm²</td> <td>16.0</td> </tr> <tr> <td>ショット-耐熱温度</td> <td>kg/mm²/℃</td> <td>3.8</td> </tr> <tr> <td>熱変形温度</td> <td>℃</td> <td>105</td> </tr> <tr> <td>UV-C-V吸收度</td> <td>4f</td> <td>4f</td> </tr> </tbody> </table>	項目	平位	曲げ強度	kg/mm ²	12.2	曲げ弾性率	kg/mm ²	83.0	引張強度	kg/mm ²	4.9	引張耳拉伸率	kg/mm ²	37.0	伸・縮率	%	-1.3	圧縮強度	kg/mm ²	16.0	ショット-耐熱温度	kg/mm ² /℃	3.8	熱変形温度	℃	105	UV-C-V吸收度	4f	4f
標準厚さ	標準密度	密度(±1%)	引張強度																																																												
(mm)	(g/cm ³)	(g/cm ³)	(kg/mm ²)																																																												
0.25	2.06	2.2	21																																																												
			EP-25																																																												
標準厚さ	標準密度	密度(±1%)	使用範囲																																																												
(mm)	(g/cm ³)	(g/cm ³)	(kg/mm ²)																																																												
0.27	2.00	1.5	1.5																																																												
			T300-3000																																																												
項目	平位																																																														
曲げ強度	kg/mm ²	12.2																																																													
曲げ弾性率	kg/mm ²	83.0																																																													
引張強度	kg/mm ²	4.9																																																													
引張耳拉伸率	kg/mm ²	37.0																																																													
伸・縮率	%	-1.3																																																													
圧縮強度	kg/mm ²	16.0																																																													
ショット-耐熱温度	kg/mm ² /℃	3.8																																																													
熱変形温度	℃	105																																																													
UV-C-V吸收度	4f	4f																																																													

項目	工程
③成形条件	<p>成形工程</p> <pre> graph TD A[GFRとCFRを混合] --> B[樹脂条件に合わせてクロスと複層にする。] C[樹脂500cc 硬化剤50cc を混合する。] --> D[樹脂と硬化剤を混合する。] E[上下枠に大きさ 比=1:1で固定する。] --> F[底盤上に下枠 をセットする。] G[フィルム上の基材 (硬化剤を含む)を セットする。] H[樹脂の半分量 を基材の隙間に 塗りこなす。] I[硬化剤50cc を樹脂と混合する。] J[樹脂の上に 樹脂のまま を塗る。] K[上枠をセット。 上下枠の間隔 を2センチ以上して 固定する。] B --> D D --> G G --> H H --> I I --> J J --> K F --> G C --> D E --> F D --> H I --> J K --> L[ローラーにて元 位置へ戻す] L --> M[ヒーターを 取出す] </pre> <p>* 本工程の中で□で囲んだ工程に電子 焼刃(材料供給から成型まで)を成形 タイクルを付す。</p> <p>各条件</p> <ul style="list-style-type: none"> 空気温度 24°C 樹脂温度 22°C 型表面温度 20分迄遅延で $40 \sim 52^{\circ}\text{C}$ (型内加熱(はかぐ) 配合比 (vol比) GFR : CFR = 100 : 1 促進剤 / 複層条件 $(CF)_1 / (GF)_2 / (CF)_3$ すべて同一方向に複層。

2. 試験

項目	目標値	試験方法	試験結果																																																																								
生産性																																																																											
① 成形圧力	10 kg/cm ² 以下	特に上型を用い、下型は、フィルム(ビニロンフィルム)張りの垂直成形インサートの加圧保持にていい。今回には平板成形法で治具と差し合さず。	19.5 kg/cm ² 下																																																																								
② 成形サイクル	20分以下	材料は、からめ脱型までの時間とストップウォッシャにて測定する。	20分 20分 20分 <u>平均 20分</u>																																																																								
品質																																																																											
③ 弾性率	3.000 kgf/mm ² 以上	<p>JIS K 6701標準によく曲げ試験により、曲げ弾性率を求める。 但し、治具は、インストロン社の曲げ試験治具を使用する。</p> <p>寸法規定：インストロン1125型万能試験機を使用。 曲げ試験：供試体は厚さ約1mmで、長さ80mm、幅25±0.5mmの板状とする。 エンドロード：ひじき板試験用不変化板採取位置は以下図の通り。</p>	<table border="1"> <thead> <tr> <th>試験番号</th> <th>1</th> <th>2</th> <th>3</th> </tr> </thead> <tbody> <tr> <td>1</td> <td>3082</td> <td>3097</td> <td>2787</td> </tr> <tr> <td>2</td> <td>3082</td> <td>3160</td> <td>2795</td> </tr> <tr> <td>3</td> <td>3042</td> <td>3307</td> <td>2979</td> </tr> <tr> <td>4</td> <td>3196</td> <td>3223</td> <td>2982</td> </tr> <tr> <td>5</td> <td>3144</td> <td>3204</td> <td>2962</td> </tr> <tr> <td>6</td> <td>3063</td> <td>3215</td> <td>2953</td> </tr> <tr> <td>7</td> <td>3071</td> <td>3440</td> <td>3031</td> </tr> <tr> <td>8</td> <td>3022</td> <td>3395</td> <td>2977</td> </tr> <tr> <td>9</td> <td>3193</td> <td>3324</td> <td>2962</td> </tr> <tr> <td>10</td> <td>3261</td> <td>3327</td> <td>2942</td> </tr> <tr> <td>11</td> <td>3201</td> <td>3446</td> <td>2942</td> </tr> <tr> <td>12</td> <td>3205</td> <td>3128</td> <td>2962</td> </tr> <tr> <td>13</td> <td>3236</td> <td>3200</td> <td>3190</td> </tr> <tr> <td>14</td> <td>3277</td> <td>3208</td> <td>3281</td> </tr> <tr> <td>15</td> <td>3208</td> <td>3218</td> <td>3123</td> </tr> <tr> <td>平均</td> <td>3094</td> <td>3274</td> <td>2997</td> </tr> <tr> <td></td> <td>(E₁)</td> <td>(E₂)</td> <td>(E₃)</td> </tr> </tbody> </table> <p>$E = (E_1 + E_2 + E_3)/3$ = 3.22 kgf/mm²</p>	試験番号	1	2	3	1	3082	3097	2787	2	3082	3160	2795	3	3042	3307	2979	4	3196	3223	2982	5	3144	3204	2962	6	3063	3215	2953	7	3071	3440	3031	8	3022	3395	2977	9	3193	3324	2962	10	3261	3327	2942	11	3201	3446	2942	12	3205	3128	2962	13	3236	3200	3190	14	3277	3208	3281	15	3208	3218	3123	平均	3094	3274	2997		(E ₁)	(E ₂)	(E ₃)
試験番号	1	2	3																																																																								
1	3082	3097	2787																																																																								
2	3082	3160	2795																																																																								
3	3042	3307	2979																																																																								
4	3196	3223	2982																																																																								
5	3144	3204	2962																																																																								
6	3063	3215	2953																																																																								
7	3071	3440	3031																																																																								
8	3022	3395	2977																																																																								
9	3193	3324	2962																																																																								
10	3261	3327	2942																																																																								
11	3201	3446	2942																																																																								
12	3205	3128	2962																																																																								
13	3236	3200	3190																																																																								
14	3277	3208	3281																																																																								
15	3208	3218	3123																																																																								
平均	3094	3274	2997																																																																								
	(E ₁)	(E ₂)	(E ₃)																																																																								
④ 弹性率のバラツキ	$\pm 10\%$ 以下	<p>曲げ方法：ホットプレス法と同じく曲げ試験を行ない、曲げ弾性率を算出する。 供試体は、$n=3 \times 5 \times 1/15$ の平均値をと求め、供試体数は3つに対するE₁の平均値として弾性率Eとする。</p> <p>上記③で求めた平均曲げ弾性率E₁～E₃より、最大値E_{MAX} 29.8%、最小値E_{MIN} 29.2%、平均値E_{Avg} 30.0%のバラツキを%で表わす。</p> $\frac{E_{MAX} - E}{E} \times 100 (\%)$ $\therefore E_{MAX}: E_1 \sim E_3 の最大値$ $E_{MIN}: E_1 \sim E_3 の最小値$ $E: E_1 \sim E_3 の平均値$ $(= \frac{E_1 + E_2 + E_3}{3})$ $+ 4.9\%$ $- 4.0\%$																																																																									
⑤ 尺寸精度	板厚 ± 2% 以下	<p>上記③で規定した板厚について、供試体1枚当たりの平均取扱量d_{av} ($n=15$) を求め、供試体数3つに対する平均値d_{a1a}、最大値d_{max} および最小値d_{min} のバラツキを%で表わす。</p> $\frac{d_{max} - d}{d} \times 100 (\%)$ $\therefore d_{MAX}: d_{max} \sim d_{av} の最大値$ $d_{MIN}: d_{min} \sim d_{av} の最小値$ $d: d_{av} \sim d_{av} の平均値$ $(= \frac{d_{max} + d_{min}}{2})$ $d = 3.39 (\pm) = 1.8\%$ $= 2.9\%$	<table border="1"> <thead> <tr> <th>供試体番号</th> <th>1</th> <th>2</th> <th>3</th> </tr> </thead> <tbody> <tr> <td>d_a</td> <td>3.45 (d₁)</td> <td>3.29 (d₂)</td> <td>3.44 (d₃)</td> </tr> </tbody> </table>	供試体番号	1	2	3	d _a	3.45 (d ₁)	3.29 (d ₂)	3.44 (d ₃)																																																																
供試体番号	1	2	3																																																																								
d _a	3.45 (d ₁)	3.29 (d ₂)	3.44 (d ₃)																																																																								

3. 使用試験機材.

インストロソ1125型万能試験機
及び曲げ試験治具

4. 備考.

要　　旨

研究開発項目名 成形加工技術の開発（モールド成形法／レジンインジェクション）

研究開発実施者名 (財) 次世代金属・複合材料研究開発協会

1. 研究開発期間 昭和56年度～昭和58年度

2. 第一期目標のポイント

自動車用大形パネル部品のE R P化を目指し、レジンインジェクション法による高剛性パネルの成形基本技術を開発する。

評価の基準は生産性（成形圧力、成形サイクル）とする。

3. 各年度の実施計画のポイント

昭和56年度：レジンインジェクション成形法の現状と問題点の摘出
予備成形型による樹脂注入実験

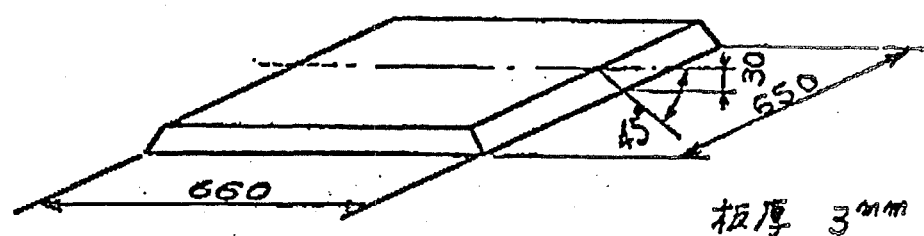
昭和57年度：樹脂の選定、低圧速硬化実験装置による注入、硬化試験

昭和58年度：660×650mmパネルの試作による生産性、力学特性の評価

4. 第一期の実績のポイント

レジンインジェクション法による高剛性パネルの成形のための樹脂高速注入並びに速硬化基本技術が開発された。

研究用發結果要約表

サブテーマ名	3. (2) 成形加工技術の開発 2)-3 レジンインジェクション法							
研究用発手法	供試体形状							
成形条件	型温度: 150°C 注入樹脂温度: 100°C 樹脂注入圧力: max 15kgf/cm² 樹脂混合比 設定: 主剤:硬化剤:促進剤 = 100:87:8							
前提条件等	材料	炭素繊維平織 70Z (東レ #6343) > リアリスト ガラス繊維コンパニエスストラットマット (ガラス繊維 H8600) 主剤: ビスフェノールA 917・エボキシ (日本インキ エビクロン 840) 硬化剤: 酸熱硬化 { "エビクロン B570 } 促進剤: イミダゾール { 四国化成 2E4ME }						
研究用発手法	要求性能	生産性		品質		寸法精度		
	試験法	成形サイクル 以下	成形圧力 以下	弾性率 以上	弾性率のバラツキ 以下	弾性率均値 以下	板厚 ±8% 以下	
		20分	10kgf/cm²	3000kgf/cm²	±10%	15% 以下	±10% 以下	
		○ストップカウント ○脱型剤塗布 ○型清掃	○最高必要型錠 力を7-7の 投射面積で 割った値	ASTM D0790-71	← 最大最小偏差 の割合を算出	← 供試体から 無作為に試 験片を10個 選択	±10% による測定 最大最小偏差 の割合を算出	
研究用発結果	試験結果	15分53秒 (n=5)	5.8 kgf/cm² (n=5)	3594 kgf/mm (n=5)	+5.7% -5.7% (n=5)	6.4% (n=10)	+7.6% -7.2% (n=5)	

研究開発実績

研究開発項目名 モールド成形法(レジンインジェクション法)研究開発実施者名 (財) 次世代金属・複合材料研究開発協会

1. 研究開発期間 昭和56年度～昭和58年度

2. 研究開発手法、前提条件等

1) 開発の狙い

将来の自動車用大型FRPパネルの製造技術として
 レジンインジェクション成形の低圧性を維持した上で、大巾な
 サイクルアップを実現させるための要素技術の研究を行ない。
 基本技術として取りまとめることを狙いとした。

これに際し、特に、下記の技術について開発を進める
 こととした。

1) 樹脂の高速注入技術

現代技術を大きく越えるVf条件下で、ゲル化前に樹脂を
 フィルアップさせよ。

2) 樹脂の速硬化技術

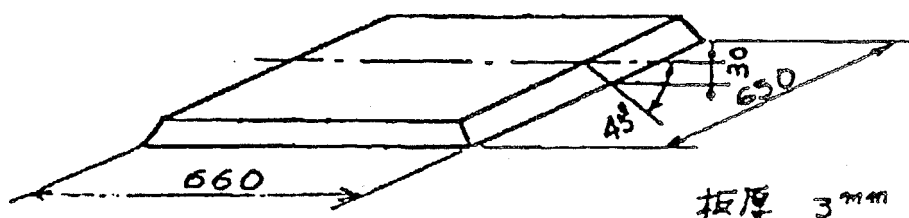
上記1)を満足させながら、速硬化を実現する樹脂組成、
 及び設備技術。

2) 開発手法

1) テストピース型による要素技術検討

2) 成形実験用装置(モールド、樹脂混合注入装置、モールド温調
 装置)の仕様検討及び導入。

3) 基本成形条件の設定



3. 打开电源结果

(1) 安装的材料

材料构成，成形条件·玻璃的主要基本材料是硅土
于材料之外的成形材料(660·650)以及水和糊精
①生理性材料，品质材料在满足以下。

(2) 法目有关的必要

市販の樹脂(PE)、合成樹脂の特性を検討し、要求する
用途に応じて、現地代理店は比較的大量に販売する。
特に35%以上(15÷20%)の温度で34℃(13.3K)
が、現地代理店は15℃(13.3K)で15℃(13.3K)。合成樹脂含有
率、現地代理店は15℃(13.3K)で15℃(13.3K)。
※ 1. 1112-9A-2 1981.10.41

70%以上(15%)以上、約48%の可燃性を有する。

(2) 植脂の注入技術

器具：表面層の高弹性樹脂、中間層の反応性樹脂。
树脂：该物质为了柔软化可能公树脂之温差之使用。

① 树脂技术

(3) 一毫秒技术中的特殊技术与特性的技术

3 种的树脂在混合前以微温度℃加温12-13℃。混合后
倒入模腔内树脂软化至下述为止树脂混合注入模具内膨胀1K。
成型品温度到150℃后进行℃加温12℃。温度

(3) 金型加温度120-130

成型温度为70℃至通用温度。

5.11.12-9A-2 15℃树脂硬化温度为保溼12-13℃。

成型在150℃后进行℃加温12℃。温度

③ 金型加温度120-130

倒入模腔内树脂软化至下述为止树脂混合注入模具内膨胀1K。

3 种的树脂在混合前以微温度℃加温12-13℃。温度

(2) 植脂的注入技术

器具：表面层的高弹性树脂，中间层的反应性树脂。(浅色)

树脂：该物质为了柔软化可能公树脂之温差之使用。

器具：该物质为了柔软化可能公树脂之温差之使用。

① 树脂技术

(3) 一毫秒技术中的特殊技术与特性的技术

※ 1. 1112-9A-2 1981.10.41

70%以上(15%)以上、约48%的可燃性有。

特别35%以上(15÷20%)的温度34℃(13.3K)。

树脂，现地代理店是15℃(13.3K)。合成树脂含有

树脂，可能温度22℃是膨胀1K。

用途有二种(1)。现地代理店是比它大量的生产70℃

树脂，现地代理店是15℃(13.3K)。合成树脂含有

树脂，可能温度22℃是膨胀1K。

(4) 特に効果を發揮した技術

① 繊維構成

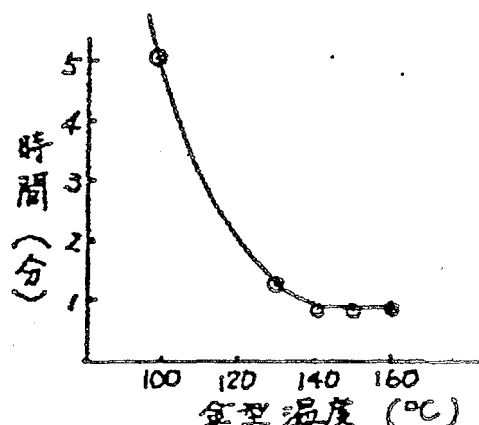
表面層を CFクロス(表裏各4枚)とし、中間層を当初の GF-ショップドストランドマットから GF-コンティニュアスストランドマットに変更した構成は 生産性(樹脂注入時間短縮及び成形圧力の低下), 品質(曲げ弾性率の向上)の両面で効果を發揮した。

中間層繊維	樹脂注入時間 (秒)	成形圧力 (kgf/mm²)	曲げ弾性率 ($\times 10^3$ kgf/mm²)
ショップドストランドマット	10 20 30 40 50	0 2 4 6 8 10	0 1 2 3
コンティニュアスストランドマット			

他の成形条件は同じ

② 金型の温度コントロール

金型温度を適正にコントロールすることにより、硬化時間が飛躍的に短縮された。右図は樹脂注入開始から最高発熱温度到達までの時間との関係を示す。



(5) 實用化のための問題点

① 樹脂注入硬化以外のプロセス時間が長い。

サイクルタイム 約16分と目標20分以下を達成し、外割レベル(0.2 m^2 で35分)より大幅に短縮することができたが、離型剤塗布、型内真空引き、脱型等の工程で全体の6割強の時間を消費している。こうにサイクルタイムを短縮して実用化に近づけるため、これらの工程についての検討(型構造、表面材質等)が必要である。 \Rightarrow 第2期で検討したい。

② 成形面積が拡大した場合 現状よりも注入硬化時間が長くなる。

大型FRPパネルの場合 樹脂の流動距離が増加し、増粘も相まって 流動時間が長くなる。このため、ゲル化の長い樹脂を選定する必要があるが、これは通常 硬化時間短縮とは逆行する。これに対応するため、低粘度でかつゲル化から硬化までの時間の短い新規の樹脂を開発するとともに、PAIケル内で金型温度を急速に昇降できる温調システムが必要である。

⇒ 第2期で検討したい。

③ パネルだけでは実用に供せない。

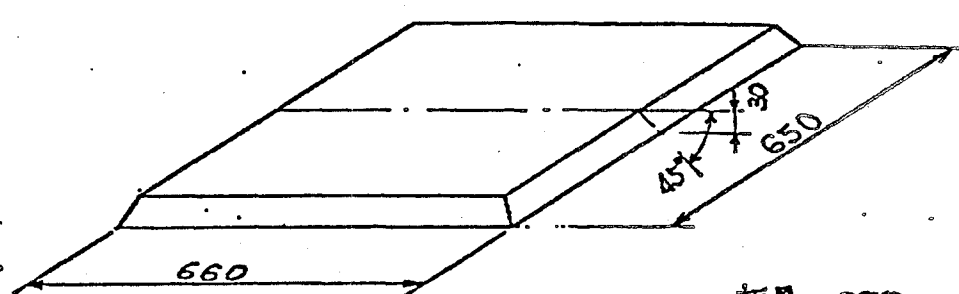
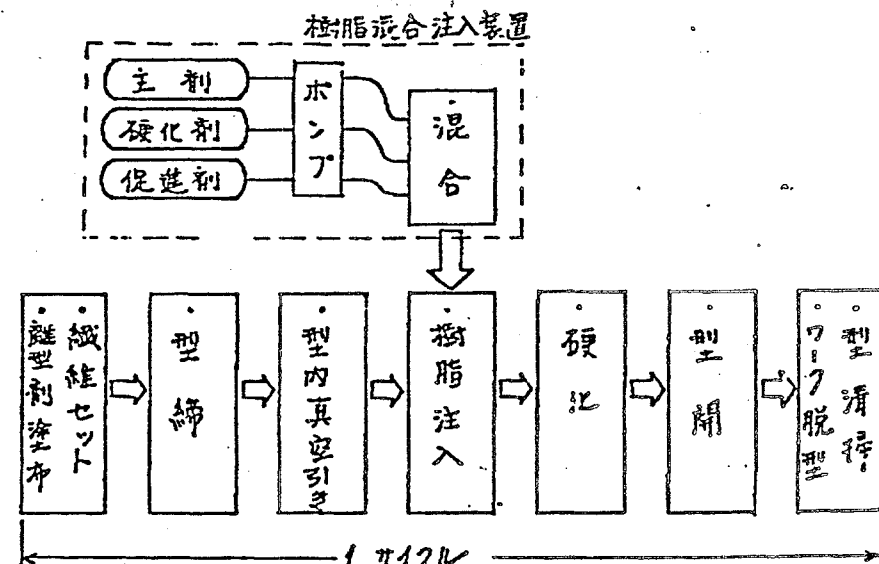
パネル部品との機能を保持させるため、発泡体コアの設置、接合のための機構等を検討する必要がある。

⇒ 第2期～第3期で検討したい。

3.(2) 成形加工技術の開発

サブテーマ名： 2)-3 レジンインジェクション法

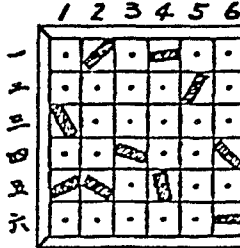
1. 供試体

項目	内 容												
① 形状、寸法	 <p>板厚 3mm</p>												
② 使用材料	<p>繊維：炭素繊維 平織ガラス(東レトキロス 6343) ガラス繊維 コンティニュアスストランドマット (大日本ファイバー M8600)</p> <p>樹脂：主剤；ビスフェノールA型エボキシ (大日本インキ エビクロン840) 硬化剤；酸無水物 (大日本インキ エビクロンB570) 促進剤；イミダゾール (四国化成 ZE4HZ)</p> <table border="1"> <thead> <tr> <th colspan="4">繊維の基本特性(仕様)</th> </tr> <tr> <th>トキロス 6343</th> <th>標準厚さ (mm) 0.27</th> <th>標準重量 (g/m²) 200</th> <th>密度(体積) 経糸 縦糸 (経糸共に) 15 15 T300-3000</th> </tr> </thead> <tbody> <tr> <td>コンティニュアス ストランドマット M8600</td> <td>450</td> <td>混雑形態 連続織維</td> <td>表面処理剤 アクリルシラン</td> </tr> </tbody> </table>	繊維の基本特性(仕様)				トキロス 6343	標準厚さ (mm) 0.27	標準重量 (g/m ²) 200	密度(体積) 経糸 縦糸 (経糸共に) 15 15 T300-3000	コンティニュアス ストランドマット M8600	450	混雑形態 連続織維	表面処理剤 アクリルシラン
繊維の基本特性(仕様)													
トキロス 6343	標準厚さ (mm) 0.27	標準重量 (g/m ²) 200	密度(体積) 経糸 縦糸 (経糸共に) 15 15 T300-3000										
コンティニュアス ストランドマット M8600	450	混雑形態 連続織維	表面処理剤 アクリルシラン										
③ 成形条件	<p>主要工程</p>  <p>1サイクル</p> <p>成形条件</p> <ul style="list-style-type: none"> 型温度 : 150°C 注入樹脂温度 : 設定 100°C ± 5°C 樹脂注入圧力 : 注入ヘッド内 5~15kgf/cm² (左カセンサー) max 15kgf/cm² 樹脂混合比 : 主剤:硬化剤:促進剤 = 100:87:8. 繊維構成 : CFガラス4枚 / ガラスコンティニュアスストランドマット2枚 / CF70入4枚, V4; 47.8% 												

2. 試験

項目	目 標 性能	試験方 法	試験結果																								
生産性	20分以下	P2 工程 1番17m ² ストップウオッシュ測定	<table border="1"> <tr> <td>①</td><td>17.4</td><td>30.4</td><td>0</td> </tr> <tr> <td>②</td><td>15.4</td><td>40.4</td><td>0</td> </tr> <tr> <td>③</td><td>15.4</td><td>55.4</td><td>0</td> </tr> <tr> <td>④</td><td>15.4</td><td>25.4</td><td>0</td> </tr> <tr> <td>⑤</td><td>14.4</td><td>55.4</td><td>0</td> </tr> <tr> <td>Ave.</td><td>15.4</td><td>53.4</td><td></td> </tr> </table>	①	17.4	30.4	0	②	15.4	40.4	0	③	15.4	55.4	0	④	15.4	25.4	0	⑤	14.4	55.4	0	Ave.	15.4	53.4	
①	17.4	30.4	0																								
②	15.4	40.4	0																								
③	15.4	55.4	0																								
④	15.4	25.4	0																								
⑤	14.4	55.4	0																								
Ave.	15.4	53.4																									
②成形圧力	10kgf/cm ² 以下	<p>成形に必要とする最低型師圧力 P_{min}。</p> <p>P_p... 模擬注入压による型師圧 < P_{min} 型師圧。</p> <p>A... プレスの圧力ゲージ該用面積 (cm²)</p> <p>S... 7-7の投影面積 (4300 cm²)</p> <p>$P = \frac{P_p \times 10^3}{S}$ (kgf/cm²)</p>	$\frac{25 \times 10^3}{4300} = 5.8 \text{ kgf/cm}^2$																								

品質	③ 弹性率 3000kgf/mm ² 以上	<ul style="list-style-type: none"> 試験片 供試体5個から下図の要領で採取する。 <ul style="list-style-type: none"> 切出し寸法: 長さ L=70 mm 幅 b=15 mm 厚さ d=供試材厚 	<table border="1"> <tr> <th>供試材 No.</th> <th>E</th> </tr> <tr> <td>1</td> <td>3660</td> </tr> <tr> <td>2</td> <td>3800</td> </tr> <tr> <td>3</td> <td>3400</td> </tr> <tr> <td>4</td> <td>3390</td> </tr> <tr> <td>5</td> <td>3720</td> </tr> <tr> <td>平均</td> <td>3594</td> </tr> </table>	供試材 No.	E	1	3660	2	3800	3	3400	4	3390	5	3720	平均	3594
供試材 No.	E																
1	3660																
2	3800																
3	3400																
4	3390																
5	3720																
平均	3594																
	<ul style="list-style-type: none"> 試験方法 ASTM D0790-71 (3点曲げ試験) スパン L=48 mm 荷重速度 1.5mm/min 環境 RT, 60% RH 試験装置 島津オートレフ (24) 算出 2x701-7実測の b,d から計算荷重 & force 曲線の初期剛性を E と算出 	$\frac{E_{\text{算出}} - E}{E} \times 100 = 5.7$ $\frac{E_{\text{算出}} - E}{E} \times 100 = -5.7$ <p>④ 弹性率の 差 +5.7% -5.7%</p>															

項目	目標性能	試験方法	試験結果																						
⑤弾性率の方向性	変動係数 15%以下	<ul style="list-style-type: none"> 試験片 供試体1個から下記の要領で採取する。 試験片寸法はP4に同じ。  <ul style="list-style-type: none"> 採取場所 左回り振作務に 10箇所を規定 (サイクロの2度振り) 採取角度 180°を5°23'まで 36等分し、振作務に 10箇所分の角度を規定 (サイクロの2度振り) 切り出し：ダイヤモンドカット n = 10 試験方法 P4 に同じ 試験機 算出 P4と同様に n=10 の三を求め、この平均値 及び標準偏差から変動係数 Cv を算出 	<table border="1"> <thead> <tr> <th>試験片No</th> <th>E [kg/mm²]</th> </tr> </thead> <tbody> <tr><td>1</td><td>4040</td></tr> <tr><td>2</td><td>3740</td></tr> <tr><td>3</td><td>3250</td></tr> <tr><td>4</td><td>3380</td></tr> <tr><td>5</td><td>3910</td></tr> <tr><td>6</td><td>3870</td></tr> <tr><td>7</td><td>3710</td></tr> <tr><td>8</td><td>3520</td></tr> <tr><td>9</td><td>3520</td></tr> <tr><td>10</td><td>3770</td></tr> </tbody> </table> <p>平均値 $\bar{E} = 3671$ 標準偏差 $\sigma = 235.9$</p> $C_v = \frac{\sigma}{\bar{E}} \times 100$ $= 6.4\%$	試験片No	E [kg/mm²]	1	4040	2	3740	3	3250	4	3380	5	3910	6	3870	7	3710	8	3520	9	3520	10	3770
試験片No	E [kg/mm²]																								
1	4040																								
2	3740																								
3	3250																								
4	3380																								
5	3910																								
6	3870																								
7	3710																								
8	3520																								
9	3520																								
10	3770																								
⑥寸法精度	板厚 ±8%以下	P4 ③, ④ で測定した試験片の板厚 の平均値 \bar{d} を求め 最大値 d_{max} 及び 最小値 d_{min} との差を % 表示	<table border="1"> <thead> <tr> <th>供試体No</th> <th>d [mm]</th> </tr> </thead> <tbody> <tr><td>1</td><td>2.61</td></tr> <tr><td>2</td><td>2.44</td></tr> <tr><td>3</td><td>2.83</td></tr> <tr><td>4</td><td>2.58</td></tr> <tr><td>5</td><td>2.69</td></tr> </tbody> </table> <p>平均値 $\bar{d} = 2.63$</p> $\frac{d_{max} - \bar{d}}{\bar{d}} \times 100 = 7.6$ $\frac{d_{min} - \bar{d}}{\bar{d}} \times 100 = -7.2$ <p>板厚: $2.63 \pm 7.6\% = 7.2\%$</p>	供試体No	d [mm]	1	2.61	2	2.44	3	2.83	4	2.58	5	2.69										
供試体No	d [mm]																								
1	2.61																								
2	2.44																								
3	2.83																								
4	2.58																								
5	2.69																								

要 旨

研究開発項目名 成形加工技術の開発（連続成形法／開断面構造）

研究開発実施者名 (財) 次世代金属・複合材料研究開発協会

1. 研究開発期間 昭和57年度～昭和58年度

2. 第一期目標のポイント

市販の炭素繊維及び熱可塑性樹脂プリプレグ材を用いて、L型、U型等の開断面構造要素の連続成形基本技術を開発する。

評価の基準は理論計算による強度の発現率及びバラツキとする。

3. 各年度の実施計画のポイント

昭和57年度：材料及び加工装置の検討

基本加工試験による成形基礎試験機の計画

昭和58年度：成形基礎試験機によるL型材の試作研究

4. 第一期の実績のポイント

30×30×700mmのL型材の試作研究により、高弾性炭素繊維－熱可塑性樹脂系材料のセクションロールによる段階的連続曲げ成形加工法についての基本技術の問題点が解明されたが、研究開始2年目で試験機、供試素材とも第一回試作品であるため、目標の達成には至らなかった。

研究開発結果の表

テーマ名		3 (2) 成形加工技術の開発 3) -1 連続成形法：開断面長尺単純形状					
研究開発 用意	供試体形状	長さ 400mm 肉厚 1mm	織維配列 0° 方向配列 (表面ガラススクリュ 1ph)				
手法	成形条件	次世代 連続成形法 (Section Roll Forming)	温度 230 °C 圧力 3.1 kg/mm² 速度 0.1 m/min.				
前段条件等	材料	高弹性PEI・聚酰胺/熱可塑樹脂 (IM-G/PES.)					
研究開発 用意	要求性能	寸法精度 板厚 $\pm 5\%$ 以下	不作率 1% 以下	ROM % 80 以上	V_f 60% 以上	生産性 30m/hr	
試験法	マイクロメータによる 測定 $n=20$	ASTM D2734 (比重 四分之三) $n=11$	ASTM D3039 引張強度率 $n=4$	ASTM D317 酸分解法 $n=11$	成形速度 と測定		
試験結果	平均値 1.18 mm バラツキ +11.9 % -3.4 %	平板部 曲げ加工R部	平均値 6.5 % 平均値 3.7 %	平均値 12700 N/mm² ROM % 80.1 %	平板部 曲げ加工R部	平均値 54.7 % 平均値 52.1 %	平均値 6 m/hr
予見等	目標性能たる達成しがたが、基本的加工条件を把握し 連続成形の前途は得たと考える。						

(87)

研究開発実績

研究開発項目名 連続成形法(開断面構造)

研究開発実施者名 (財) 次世代金属・複合材料研究開発協会

1. 研究開発期間 昭和57年度～昭和58年度
2. 研究開発手法、前提条件等

(1) 開発の狙い

アングル、チャンネル等の開断面構造要素の連続成形加工技術を確立するため、試験片(約300～500mm程度)の試作実験により基本加工条件を設定する。

(2) 現世代をこえる開発要素

薄肉長尺開断面構造要素の連続成形

- ① 高弹性炭素繊維／熱可塑樹脂系材料の適用
- ② セクションロールによる段階的連続曲げ成形条件の確立

(3) 開発手法、手段

- ① まず、材料・加工法(含む装置)の基礎的検討と素材の基礎評価を行って、
- ② そのデータをもとに基礎実験機を試作し、単純形状品の成形加工研究を実施して基本加工条件を設定する。

(4) 前提条件

使用材料は、現世代熱可塑樹脂系成形材料。

3. 研究開発結果

(1) 実績のポイント

目標性能との対比

項目	寸法精度	ボイド率	ROM%	Vf	生産性
目標性能	±5% 以下	1% 以下	80 以上	60% 以上	30 m/hr
実績	←	別	右	→	6 m/hr
未達	X	X	O	X	X

(2) 注目すべき知見

炭素繊維/熱可塑樹脂製薄肉長尺型材の連続曲げ成形技術及び装置。[特許出願。パトナ別冊化予定]

(3) 一連のプロセスの中で特記すべき特徴的技術

① 成形素材の適正余熱条件

段階的曲げを可能とし、品質を劣化させない温度・時間の管理。

② 連続曲げロール形状

段階的曲げを可能とする最適ロール形状・ロール数。

(4) 特に効果を發揮した技術

① 成形素材の繊維配列仕様

段階的曲げを可能とする最適繊維配列。

(5) 未到達事項の問題点と解決の日途

① 問題点

1) 連続成形用高性能長尺成形素材の入手。

2) 寸法精度のコントロール。

3) 耐熱樹脂複雑形状への展開。

② 解決の日途

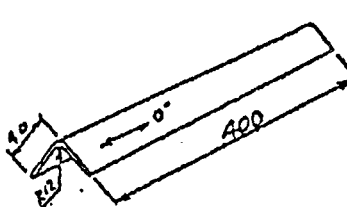
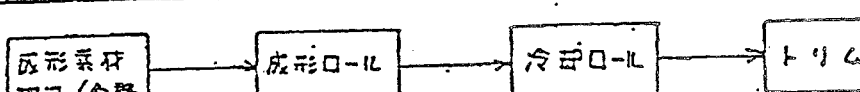
1) 素材メーカーの供給促進。

2) 加熱・加圧、冷却条件の最適化。

3) 実験装置改修による対応。

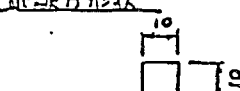
研究開発結果の詳細

サブテーマ名： 3) 連続成形法：断面形状

項目	内容										
① 形状、寸法	<p>アンクル断面形状 寸法</p>  <p>肉厚: 1mm 横幅: 0°端末 (カットスリット付)</p>										
② 使用材料	<p>高導電性・炭素繊維/熱可塑樹脂 ・IM-G/PES (注塑化)</p> <table border="1"> <thead> <tr> <th>炭素繊維</th> <th>模造樹脂板</th> </tr> </thead> <tbody> <tr> <td>引張強度 400 kg/mm²</td> <td>引張強度 133 kg/mm²</td> </tr> <tr> <td>弾性率 29000 kg/mm²</td> <td>弾性率 14300 kg/mm²</td> </tr> <tr> <td>スラメント数 12000</td> <td></td> </tr> <tr> <td>密度 1.73</td> <td></td> </tr> </tbody> </table>	炭素繊維	模造樹脂板	引張強度 400 kg/mm ²	引張強度 133 kg/mm ²	弾性率 29000 kg/mm ²	弾性率 14300 kg/mm ²	スラメント数 12000		密度 1.73	
炭素繊維	模造樹脂板										
引張強度 400 kg/mm ²	引張強度 133 kg/mm ²										
弾性率 29000 kg/mm ²	弾性率 14300 kg/mm ²										
スラメント数 12000											
密度 1.73											
③ 成形条件	<p>成形代謝曲げ成形法</p>  <p>成形条件</p> <ul style="list-style-type: none"> 成形口-L部温度 230°C 加圧力 3.1 kg/mm² (250kg/80mm) 成形速度 0.1 mm/min (6m/hr) 										

2. 試験

項目	目標範囲	試験方法	試験結果			
① 厚さ	板厚 ISZUT	<ul style="list-style-type: none"> 板厚をマイクロメータにより測定し、その平均値 Mを次の表とする。 板厚は $\frac{M_{max} - M}{100}$ %で統計取る。 <p><u>測定箇所</u></p>  <p>・供試体表面に対する平均値からの最大偏差 M_{max}、及び最小値 M_{min}のパラッキ値を下表に記す。</p> <p>パラッキ $= \frac{M_{max} - M}{M} \times 100 (\%)$</p> <p>パラッキ $= \frac{M_{min} - M}{M} \times 100 (\%)$</p>				
			板厚 (mm)	平均値 (mm)	パラッキ (%)	
			1.21	1.16	1.15	1.14
			1.21	1.20	1.16	1.16
			1.18	1.19	1.14	1.14
			1.19	1.24	1.15	1.13
			1.32	1.13	1.25	1.13

② ポイド率	1%以下	<p>ASTM D 2734 標準</p> <p>供試体より試験片を切り出す。</p> <p><u>試験片採取位置</u></p> <ul style="list-style-type: none"> 平板部 n=6 曲げ加工部 n=5 <p><u>試験片形状</u></p>  <p><u>試験器種</u></p> <p>直示分折天秤</p> <p>・直示分折天秤により試験片重量を測定する。</p> <p>・ASTM D792 Method A にて密度を測定する。</p> <p>・加熱減量法により脂肪を逐次分離する。</p> <p>・脂肪を洗浄後、直示分折天秤により試験片重量を測定する。</p> <p>・式により精度を算出する。</p> <p>ポイド率 = $100 - \rho_c \left(\frac{w_f}{\rho_f} + \frac{w_r}{\rho_r} \right) (\%)$</p> <p>$\rho_c$: 試験片密度 w_f: 脂肪重量 % ρ_f: 樹脂密度 w_r: 脂肪重量 % ρ_r: 樹脂密度</p>				
			測定箇所	ポイド率 (%)	平均値 (%)	
			平板部	2.3 6.8		
				7.8 10.4	6.5	
				4.3 7.1		
			曲げ加工部	3.7 2.2		
				5.3 0.4	3.7	
				6.9		

项目	日期/年份	试验方法	结果与结论	③ ROM X	④ Vf	⑤ 硫酸盐
引脚强度 (kg/mm ²)	12800 13100	ASTM D 3039 测量引脚强度	引脚强度高，符合要求。	引脚强度 (kg/mm ²) 平均值 ROM% 11900 12900 12700 80.1	引脚强度 E = $\frac{P \cdot L}{4L^3}$ ASTM D 3171 测量引脚强度 Vf (%) 平均值 55.7 54.5 54.6	引脚强度 E = $\frac{P \cdot L}{4L^3}$ ASTM D 3171 测量引脚强度 Vf (%) 平均值 52.7 55.0 55.8 54.7
弯曲强度 (kg/mm ²)	52.9 52.9 50.3	ASTM D 3171 测量弯曲强度 Vf (%) 平均值 52.1	弯曲强度高，符合要求。 弯曲强度 E = $\frac{P \cdot L}{4L^3}$ ASTM D 3171 测量弯曲强度 Vf (%) 平均值 52.4 52.0	弯曲强度 E = $\frac{P \cdot L}{4L^3}$ ASTM D 3171 测量弯曲强度 Vf (%) 平均值 52.1	弯曲强度 E = $\frac{P \cdot L}{4L^3}$ ASTM D 3171 测量弯曲强度 Vf (%) 平均值 52.4 52.0	弯曲强度高，符合要求。 弯曲强度 E = $\frac{P \cdot L}{4L^3}$ ASTM D 3171 测量弯曲强度 Vf (%) 平均值 52.1
抗拉强度 (kg/mm ²)	52.9 52.9 50.3	ASTM D 3171 测量抗拉强度 Vf (%) 平均值 52.1	抗拉强度高，符合要求。 抗拉强度 E = $\frac{P \cdot L}{4L^3}$ ASTM D 3171 测量抗拉强度 Vf (%) 平均值 52.4 52.0	抗拉强度 E = $\frac{P \cdot L}{4L^3}$ ASTM D 3171 测量抗拉强度 Vf (%) 平均值 52.1	抗拉强度高，符合要求。 抗拉强度 E = $\frac{P \cdot L}{4L^3}$ ASTM D 3171 测量抗拉强度 Vf (%) 平均值 52.4 52.0	抗拉强度高，符合要求。 抗拉强度 E = $\frac{P \cdot L}{4L^3}$ ASTM D 3171 测量抗拉强度 Vf (%) 平均值 52.1
③ ROM X	80 kg (2640 kg/mm ²)	ASTM D 3039 测量引脚强度	引脚强度高，符合要求。	④ Vf	60 kg ASTM D 3171 测量引脚强度 Vf (%) 平均值 55.7 54.5 54.6	⑤ 硫酸盐 30% 硫酸盐 E = $\frac{P \cdot L}{4L^3}$ ASTM D 3171 测量弯曲强度 Vf (%) 平均值 52.7 55.0 55.8 54.7

3. 使用試験器

器材名	仕様概要	台数	備考
インストロン型 引張試験機	荷重容量 : 25トン 試験速度 : 0.05~500 mm/min スロットル : 1200 mm	1	
直示分析天秤	最大秤量 : 100g 最小目盛 : 0.0001g	1	

4. 働程(研究日程)

3月度終	5月度	6月度	7月度	8月度	9月度	10月度	11月度	12月度	1月度	2月度	3月度
方法	5/4	5	6	7	8	9	10	11	12	5/1	2
33-1		新面長尺並形状度規定形式規範								改設並形規範	

● 材料評価 → 形状実験 → 評価結果 → 特性報告

<別添>

連続成形試作品 ROM 計算値

1. 材料

IM6/PES 一方向材

糸の弾性率 $E_f = 29000 \text{ N/mm}^2$ (X-力情報)

2. ROM 計算式

積層板中のガラスクリュ、樹脂の弾性率 E_g, E_r 寄与分を無視し、($\because E_g, E_r \ll E_f$)

$$ROM = E_f \times T_f \quad \text{とする。}$$

3. 結果

平板部の $T_f = 0.547 \text{ mm}$

$$ROM = 29000 \times 0.547 = 15860 \text{ N/mm}^2$$

$$(ROM - 80\% = 12690 \text{ N/mm}^2)$$

要 旨

研究開発項目名 成形加工技術の開発（連続成形法／閉断面構造）

研究開発実施者名 (財) 次世代金属・複合材料研究開発協会

1. 研究開発期間 昭和57年度～昭和58年度

2. 第一期目標のポイント

市販の炭素繊維及びマトリックス樹脂を用いて、宇宙構造物用薄肉長尺円筒の連続成形基本技術を開発する。

評価の基準は理論計算による強度の発現率及びバラツキとする。

3. 各年度の実施計画のポイント

昭和57年度：材料及び加工装置の検討

基本加工試験による成形基礎試験機の計画

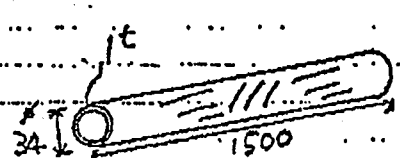
昭和58年度：成形基礎試験機（引抜硬化装置）による薄肉長尺円筒の試作研究

4. 第一期の実績のポイント

$1t \times 34\phi \times 1,500\text{mm}$ の薄肉円筒の試作研究により、ホットダイ引抜法における加熱スケジュール等の基本加工技術が開発された。

昭和59年2月15日

研究開発結果要約表

サブ テーマ	3(2) 成形加工技術の開発 3)-2 連続成形法:肉断面長尺薄肉構造				
研究開発手法	長さ 1500mm パイロ径 (φD) 34mm 肉厚 1mm				
供試体 形状・寸法	 1t 34 1500				
成形条件	10熱硬化条件 引抜硬化 $20^{\circ}\text{C}/2$ (硬化 $140^{\circ}\text{C} \times 9\text{分}$ 炉長 300mm) 後硬化 $170^{\circ}\text{C} \times 9\text{分}$ 炉長 300mm (引張速度 2.768)				
前提条件 材料	高弾性 217°C 炭素繊維 (M-40) エボキシ樹脂 (E2500) $20117^{\circ}\text{C} S405-12$ 東レ(株)				
研究 要求性能	寸法精度	ボイド率	引張弾性率 ROM %	V_f	生産性
研究 試験法	肉厚 $\pm 5\%$ 以下	1%以下	80以上	60%以上	2myr 以上
研究 試験法	JIS-K6911-5.5.3 (2準拠) (2170×2(22) 測定)	ASTM D2734 (2準拠) (引張試験法)	ASTM D3171 (2準拠) (引張弾性率)(酸分解法)	引抜速度 (標点間移動 速度計時)	
結果 試験 結果	$n=16$	$n=4$	$m=4$	$m=4$	$m=3$
結果 試験 結果	$\bar{x}=0.908$ $\pm 0.1(%)$ $\pm 11.3(%)$	$0.4(%)$	$96(%)$	$60.8(%)$	2.0myr
所見等	寸法精度(1.要求性能)に未達成である。今後肉断面連続成形基礎試験機のシステムアップ(積層成形装置等の結合) (2)により改善が見込まれる。				

研究開発実績

研究開発項目名 連続成形法(断面構造)

研究開発実施者名 (財) 次世代金属・複合材料研究開発協会

1. 研究開発期間 昭和57~昭和58年度

2. 研究開発手法、前提条件等

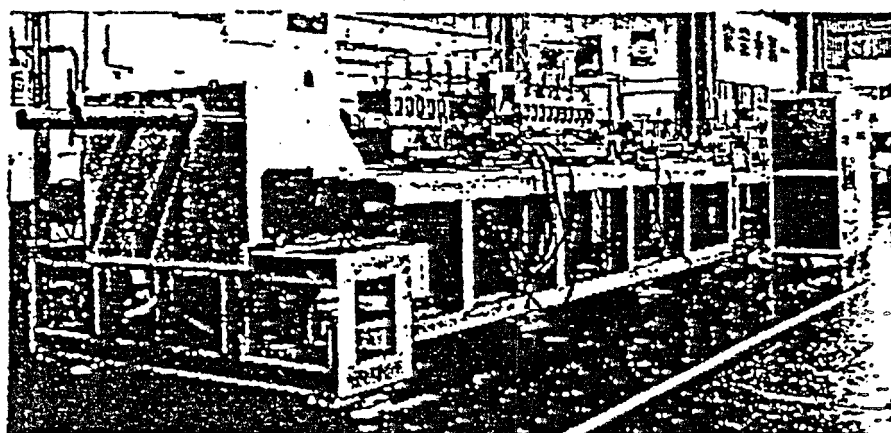
宇宙機器大型化への対応を可能にするため、基本部材として必要とする CFRP 製
断面長尺薄肉構造要素の高効率連続成形技術を開発する。

高性能素材(高弾性炭素繊維/エポキシ樹脂)からなる複合材を精型成形する
場合、現状ではフィラメントワインディング/オートクレーブ法によるのが一般的
であるが、該端面からの寸法上の制約と生産性が極めて悪い難点がある。

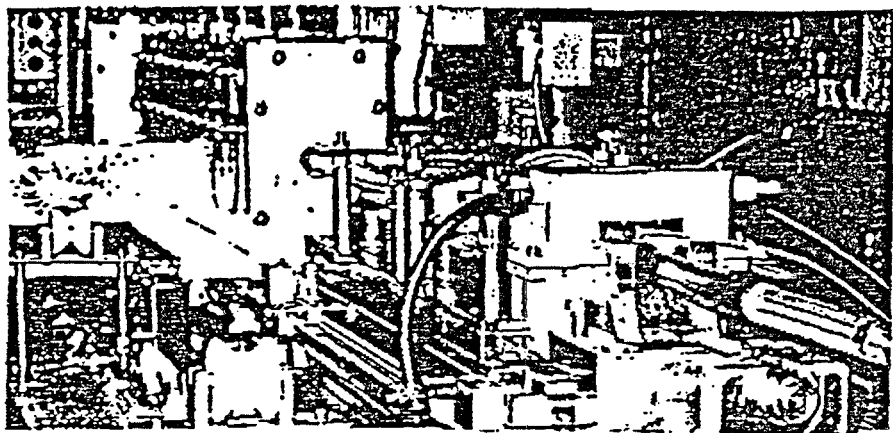
同様を目的とした成形技術として米国で高速ワインディング法が開発されて
いるが、硬化プロセスが連続化し得ない。従来の不飽和ポリエステルを用いた連
続成形では厚肉品が対象になり、寸法精度・耐熱性等の面に問題がある。

第一期は開発要素並びに技術課題が最も多くと考えられる連続硬化プロセスを
取り上げ、基礎試験機として引抜加熱装置を設計・製作するとともに、成形品の
試作研究と品質評価を通して基本加工条件を取まとめようとした。

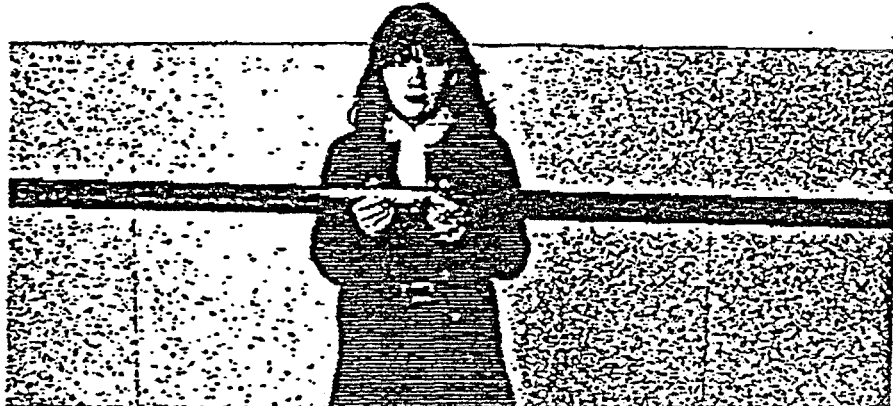
実験方法は次の通りである。即ち、引抜力・温度計測センサーを装着した加熱
ダイ/連続引抜駆動部からなる引抜加熱装置を用い、マンドレル上に巻回した炭
素繊維/エポキシプリプレグ(東レ製 S 405)が加熱ダイ中を通る過程で余剰樹
脂を排出させつつ、高 V 型成形品を連続的に硬化させた。得られた実試験の寸法
・形状は長さ 1,500 mm・外径 34 mm・肉厚 1 mm のパイプで、その繊維配向は軸
方向(0°)/周方向(90°)の積層比を 8/1 とした。代表的な成形条件は、加熱
ダイ(全長 600 mm)において、硬化ゾーン(300 mm 長)の温度を 140 ℃、後
硬化ゾーン(300 mm 長)の温度を 170 ℃に設定し、引抜速度を 2 m/min とした
とき加熱ダイ中で繊維の滞留時間が 18 分になるようにした。



引抜加熱装置全景



加熱ダイ部分拡大



CFRPパイプの
試作品

3. 研究開発結果

(1) 実績のポイント（詳細別紙）

引抜硬化法により高性能素材（高弹性炭素繊維／エポキシ樹脂）を用いた長尺薄肉中空部材を成形し、要求性能に対する評価試験を行なった結果、ボイド率：1%以下・引張強度率ROM%：80以上・ V_f ：60%以上及び生産性：2m/h以上の各項目にわたっては、所期の目標を達成した。特に引張強度率ROM%に対しては、繊維切欠きの生じ易い素材を用いているにもかかわらず、極めて高い値が得られた。

寸法精度：肉厚±5%以下については、今回の実験で目標を達成することができなかつたが、今後、基礎試験機のシステム化（接着成形装置等の結合）により性能改良が見込まれる。

(2) 注目すべき知見

装置開発とプロセス研究を併行して進めることにより、連続成形法の完全自主技術確立を狙っている。本年度の実績によって、今後の段階的実験開発の風通しが得られた。

成形品の薄肉化に関しては、プリプレグを接着したマンドレルと一緒に引抜く移動法の採用により、厚±0.5mmの極薄パイプの連続硬化が可能になった。

(3) 一連のプロセスの中で持記すべき特徴的技術

加熱ダイの形状・構成・温度分布などの工夫により、成形品の高性能化とその品質安定化を図った。例えば、統一角度を小さくすることによって、繊維の破断を防ぎ、プリプレグ樹脂の早期ゲル化によって配向の乱れを抑えた。

また、2つの引抜ランバーによる組み替えの構造^(きかた)工夫し、連続成形中の速度ムラ発生を防止した。

これらの新規技術については、現在特許出願準備中である。

(4) 特に効果を發揮した技術

高周波加熱接觸板を用いた予熱システムの導入により、加熱ダイからの引抜力が低下し、品質改善とともに生産性向上の目途がたつた。

(5) 未到達領域の問題点と解決の目途

目標性能に対して未到達となつた寸法精度については、装置・成形技術及び素材における諸々の要因が関与しているため、問題解決には今後かなりの困難が予想される。基礎試験機のシステム化を進められていて、改良のための方案を見出したい。

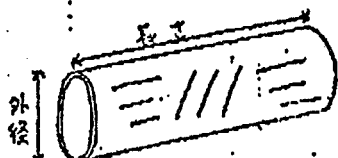
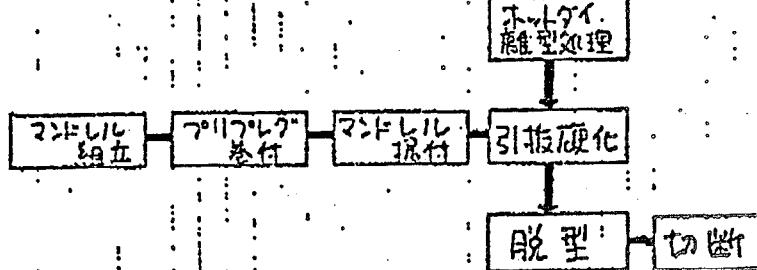
以上

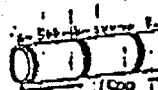
研究開発結果の詳細

3(2) 成形加工技術の開発

サブタスク：(3)-2 連續成形法：肉断面長尺薄内模造

1. 供試体

項目	内容												
① 形状・寸法	 <p>寸法：長さ1.5m × 肉厚1mm × 外径34mm 配向：0°/84°/0° (*10mmカーブ充合せ) フライ数：4/1/4</p>												
② 使用材料	<p>◎ 高弹性TPE炭素繊維/TPUモルタル糊 プリアレフ</p> <p>商品名 "トレ" プリアレフ S403-12 (栗色)</p> <table border="1"> <tr> <td>炭素繊維</td> <td>M-40 (A-1811/エポキシ樹脂 112500 (E=1.21))</td> </tr> <tr> <td>寸法</td> <td>厚さ0.12mm × 800mm × 2m</td> </tr> <tr> <td>材質</td> <td>200g/m²</td> </tr> <tr> <td>繊維含有率</td> <td>58wt%</td> </tr> <tr> <td>引張強度</td> <td>140kgf/mm² (0°方向, VF 60%, 23°C)</td> </tr> <tr> <td>引張弾性率</td> <td>22000kgf/mm² (" " ")</td> </tr> </table>	炭素繊維	M-40 (A-1811/エポキシ樹脂 112500 (E=1.21))	寸法	厚さ0.12mm × 800mm × 2m	材質	200g/m ²	繊維含有率	58wt%	引張強度	140kgf/mm ² (0°方向, VF 60%, 23°C)	引張弾性率	22000kgf/mm ² (" " ")
炭素繊維	M-40 (A-1811/エポキシ樹脂 112500 (E=1.21))												
寸法	厚さ0.12mm × 800mm × 2m												
材質	200g/m ²												
繊維含有率	58wt%												
引張強度	140kgf/mm ² (0°方向, VF 60%, 23°C)												
引張弾性率	22000kgf/mm ² (" " ")												
③ 成形条件	<p>[引抜硬化70℃]</p>  <p>[引抜硬化条件]</p> <ol style="list-style-type: none"> 硬化 <p>140°C × 9分 (引抜速度 27mm/s) 硬化炉長さ 300mm</p> 後硬化 <p>170°C × 9分 (引抜速度 27mm/s) 後硬化炉長さ 300mm</p> 												

② 試験		試験方法	試験結果																																						
項目	目標性能																																								
① 樹脂 材質 試験 方法	肉厚 ± 5%	<p>IS K 6911-5.5.3 (1) 準拠</p> <p>(1) 器具 管厚用ポイントマイクロメータ (0.01mm 単位)</p> <p>(2) 方 法 1) 両端面(つままれる内側)を、245°の角度で測定する。 2) 内厚±0.01mmまで測り、計16点の平均値を所定肉厚とする。</p> <p>(3) 計 算 $\text{肉厚変動} = \frac{\text{最大値} - \text{最小値}}{\text{平均肉厚}} \times 100 (\%)$ </p>	<table border="1"> <thead> <tr> <th>測定部位</th> <th>測定値 (mm)</th> </tr> </thead> <tbody> <tr><td>1</td><td>0.905</td></tr> <tr><td>2</td><td>0.905</td></tr> <tr><td>3</td><td>0.905</td></tr> <tr><td>4</td><td>0.905</td></tr> <tr><td>5</td><td>0.905</td></tr> <tr><td>6</td><td>0.905</td></tr> <tr><td>7</td><td>0.905</td></tr> <tr><td>8</td><td>0.905</td></tr> <tr><td>9</td><td>0.905</td></tr> <tr><td>10</td><td>0.905</td></tr> <tr><td>11</td><td>0.905</td></tr> <tr><td>12</td><td>0.905</td></tr> <tr><td>13</td><td>0.905</td></tr> <tr><td>14</td><td>0.905</td></tr> <tr><td>15</td><td>0.905</td></tr> <tr><td>16</td><td>0.905</td></tr> <tr><td>平均</td><td>0.908</td></tr> <tr><td>標準偏差</td><td>0.002</td></tr> </tbody> </table> <p>$\frac{1.000 - 0.908}{0.908} \times 100 = 10.1 (\%)$</p> <p>$\frac{0.905 - 0.908}{0.908} \times 100 = -11.3 (\%)$</p> <p>肉厚: 0.908 mm ± 10.1% = 11.3%</p>	測定部位	測定値 (mm)	1	0.905	2	0.905	3	0.905	4	0.905	5	0.905	6	0.905	7	0.905	8	0.905	9	0.905	10	0.905	11	0.905	12	0.905	13	0.905	14	0.905	15	0.905	16	0.905	平均	0.908	標準偏差	0.002
測定部位	測定値 (mm)																																								
1	0.905																																								
2	0.905																																								
3	0.905																																								
4	0.905																																								
5	0.905																																								
6	0.905																																								
7	0.905																																								
8	0.905																																								
9	0.905																																								
10	0.905																																								
11	0.905																																								
12	0.905																																								
13	0.905																																								
14	0.905																																								
15	0.905																																								
16	0.905																																								
平均	0.908																																								
標準偏差	0.002																																								
② Vf	60% 以上	<p>ASTM D3171 準拠 <酸分解法></p> <p>(1) 試片  m=4 試片重量 約 0.3~0.5g</p> <p>(2) 加熱器、精密化学天秤</p> <p>(3) 方 法 (パイプ等の熱交換器用) 使用 ① 空気中並びに水中の重量と秤量 (23°C) ② 湿度約15%沸騰後過酸化水素水浴 ③ ガラスルビンと炭素繊維と過酸化水素秤量</p> <p>(4) 計 算 (ASTM D792 参照)</p> <p>空気 = $\frac{\text{空気中の試片重量}}{\text{空気中の試片重量} - \text{水中的試片重量}} \times 100\% = 0.9975$</p> <p>重量増加 (%) = $\frac{(\text{ガラスルビンと炭素繊維と過酸化水素秤量}) - (\text{ガラスルビンと空気秤量})}{\text{試片重量}} \times 100\% = 0.025$</p> <p>休積空隙率 (%) = $\frac{\text{試片重量}}{\text{試片重量} / \text{試片密度}} \times 100\% = 100\%$</p>	<table border="1"> <thead> <tr> <th>測定部位</th> <th>Vf (%)</th> </tr> </thead> <tbody> <tr><td>1</td><td>59.2</td></tr> <tr><td>2</td><td>61.8</td></tr> <tr><td>3</td><td>61.1</td></tr> <tr><td>4</td><td>60.8</td></tr> <tr><td>平均</td><td>60.8</td></tr> <tr><td>標準偏差</td><td>1.0</td></tr> </tbody> </table>	測定部位	Vf (%)	1	59.2	2	61.8	3	61.1	4	60.8	平均	60.8	標準偏差	1.0																								
測定部位	Vf (%)																																								
1	59.2																																								
2	61.8																																								
3	61.1																																								
4	60.8																																								
平均	60.8																																								
標準偏差	1.0																																								

項目		目標性能	試験方法	試験結果																					
③引張率	1%以下	ASTM E2734口準拠 V型側面法(2回) n=4	計算 式: $\text{引張率} = 100 \times \frac{\text{試験体積変化率} + \text{樹脂体積含有率}}{(\text{Vf})} \times 100\%$	<table border="1"> <tr> <td>試験結果</td> <td>7.71±0.2 (%)</td> </tr> <tr> <td>1</td><td>7.5</td> </tr> <tr> <td>2</td><td>7.9</td> </tr> <tr> <td>3</td><td>7.3</td> </tr> <tr> <td>4</td><td>8.2</td> </tr> <tr> <td>Avg.</td><td>7.7</td> </tr> <tr> <td>S.V.(%)</td><td>0.6</td> </tr> </table> <p>(平均値±標準偏差)</p>	試験結果	7.71±0.2 (%)	1	7.5	2	7.9	3	7.3	4	8.2	Avg.	7.7	S.V.(%)	0.6							
試験結果	7.71±0.2 (%)																								
1	7.5																								
2	7.9																								
3	7.3																								
4	8.2																								
Avg.	7.7																								
S.V.(%)	0.6																								
④引張弾性率 ROM %	80 以上	パイプ材引張試験法	<p>(1) 試片形状:</p> <p>(2) 試験装置:</p> <p>1. 電子管式万能試験機 300t (島津製) 2. X-Y 13-9 3. 烟斗</p> <p>(3) 測定条件:</p> <ol style="list-style-type: none"> 1. 速度: 0.01~0.02 strain/min. 2. 弹性率測定期間: 引張破断強度の10%以内 <p>(4) 計算</p> <p>D.O.M. 0.1 理論値 100</p> <p>19.700 kN/mm Vf 60%, Vm 10%, D 42.0 mm, 4/1/4 の理論値(係数)</p>	<table border="1"> <tr> <th>試験番号</th> <th>試験結果</th> <th>ROM(%)</th> </tr> <tr> <td>1</td> <td>87.00</td> <td>84</td> </tr> <tr> <td>2</td> <td>89.00</td> <td>87</td> </tr> <tr> <td>3</td> <td>99.00</td> <td>96</td> </tr> <tr> <td>4</td> <td>193.00</td> <td>88</td> </tr> <tr> <td>Avg.</td> <td>199.00</td> <td>94</td> </tr> <tr> <td>S.V.(%)</td> <td>1.9</td> <td>6.8</td> </tr> </table>	試験番号	試験結果	ROM(%)	1	87.00	84	2	89.00	87	3	99.00	96	4	193.00	88	Avg.	199.00	94	S.V.(%)	1.9	6.8
試験番号	試験結果	ROM(%)																							
1	87.00	84																							
2	89.00	87																							
3	99.00	96																							
4	193.00	88																							
Avg.	199.00	94																							
S.V.(%)	1.9	6.8																							

3. 鋼筋

7. 鋼筩之回力與重量數

10.7% 被引驗證率與率值之計算

3. 鋼筋

鋼筋之回力
與重量數

⑤ 生產性
能
2 Mycr
即能中之鋼片之目印數
- 完成標示

向者需回力與回力之比例
及標示

(標示回力與回力之比例)

20.242	23.59.428	23.59.428	23.59.428	23.59.428
23.59.428	23.59.428	23.59.428	23.59.428	23.59.428
23.59.428	23.59.428	23.59.428	23.59.428	23.59.428
23.59.428	23.59.428	23.59.428	23.59.428	23.59.428
23.59.428	23.59.428	23.59.428	23.59.428	23.59.428

項目 目標性能 實驗方法 實驗結果

$$E = 19700 \text{ kg/mm}^2$$

3. 鋼筋

5.54:4:1:4
(0.184%)

標示... 鋼筋標示

乙 鋼筋條件

$$G_{LT} = 430 \text{ kg/mm}^2$$

$$V_{LT} = 0.26$$

$$E_T = 660 \text{ kg/mm}^2$$

$$E_L = 22000 \text{ kg/mm}^2$$

7. 鋼筩之回力與重量數

$$G_{LT} = 430 \text{ kg/mm}^2$$

$$V_{LT} = 0.26$$

$$E_T = 660 \text{ kg/mm}^2$$

$$E_L = 22000 \text{ kg/mm}^2$$

別紙

1817°枚引張弹性率理論値の計算

1. 計算用いた力学定数

$$E_L = 22000 \text{ kg/mm}^2$$

$$E_T = 660 \text{ kg/mm}^2$$

$$V_{LT} = 0.26$$

$$G_{LT} = 430 \text{ kg/mm}^2$$

2. 解析条件

理論 ... 積層理論

積層 ... $(0^\circ / 84^\circ / 0^\circ)$

層厚比 4 : 1 : 4

3. 結果

$$E = 19700 \text{ kg/mm}^2$$

要　　旨

研究開発項目名 成形加工技術の開発（自動加工法）

研究開発実施者名 (財) 次世代金属・複合材料研究開発協会

1. 研究開発期間 昭和56年度～昭和58年度

2. 第一期目標のポイント

ハンドレイアップに頼ってきた積層一体成形の自動化の出発点となるオート・

レイアップヘッドの基本技術を開発する。

評価基準は自動積層成形品の層間せん断強度とする。

3. 各年度の実施計画のポイント

昭和56年度：自動加工法の現状と問題点の把握

基礎試験機の計画

昭和57年度：基礎試験によるレイアップ試験機の設計、部品製作

昭和58年度：レイアップ試験機の製作、成形試験並びに評価

4. 第一期の実績のポイント

レイアップ試験機の試作、 400×400 mm CFRP のレイアップ、成形試験によりオートレイアップ・ヘッド開発のための基本技術が得られた。

研究開発結果報告会約式

研究開発実績

研究開発項目名 自動加工法

研究開発実施者名 (財) 次世代金属・複合材料研究開発協会

1. 研究開発期間 昭和56年度～昭和58年度

2. 研究開発手法、前提条件等

(開発の狙い、特許出願技術等、現世代技術を超える開発要素を要領良く書く。)

図を添えることが望ましい。)

一方向繊維フリップレグテープを用いて積層を自動的に高速で行う自動レイアップ機が望まれている。このため自動レイアップ機の開発を行った。テープの幅は最大76mmまでとし、切断とレイアップを同時に使う方法をとることにした。このため予備試験を行い、裏紙は切らずにテープのみ切断する方法、切断したテープの端を一時ロールに巻きとる方法を研究し、下記の特許の申請を行った。

この方法を使用したレイアップヘッド、およびこのヘッドをX、Y、Z方向に動かしレイアップする試験機を設計した。この試験機はテープの切断をレイアップ中に行い、しかも $\pm 45^\circ$ の任意の角度で切断できる構造としテープはできる限り有效地に使って、ロスを少なくするように考えたレイアップ機である。

58年度に製作完了し調整試運転をした後、レイアップ条件を変えて積層を行い物性試験を行って問題点をとりまとめた。

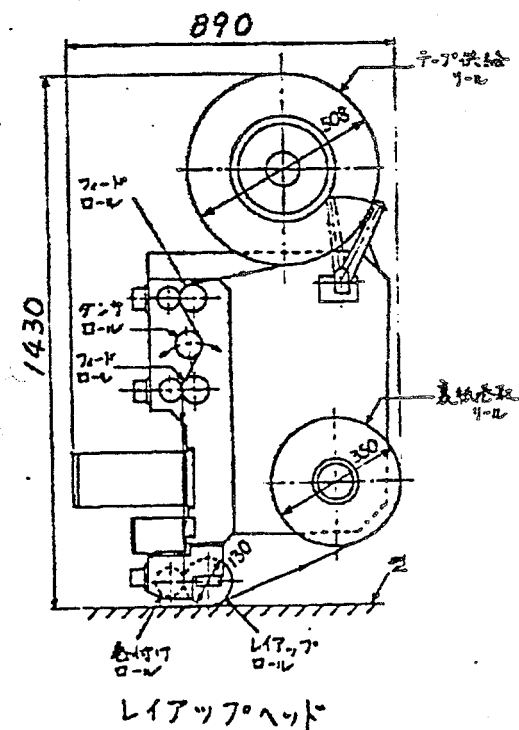
(特許出願)

特願 昭57-174597

FRPテープの自動切断装置

特願 昭57-174598

FRPテープの自動貼付方法
および装置



3 研究開発結果

(1) 実績のポイント（詳細別紙）

- 1) 層間せん断強さは平均で、テープ・重ね合せ部（L）で 13.54 kgf/mm^2 、
テープ・突き合せ部（B）で 13.57 kgf/mm^2 で要求性能 11 kgf/mm^2 を大幅に超過した。
- 2) V_f は L 部 69.34% 、B 部 68.50% で目標 60% をクリヤーした。
- 3) ポイド率は 0% で顕微鏡による断面写真観察の結果でもポイドは認められず問題なかった。
- 4) テープ・すき向は各層の最大値で $0.6 \sim 2.2 \text{ mm}$ と大きく、目標 $0 \sim 0.8 \text{ mm}$ は達成できなかつた。一度はる度にテープの位置を手で修正しレイアップしてもこの程度であつた。これは運転中テープが幅方向に動き易くそのためレイアップするテープが左右に動いてすき向が大きくなつたためである。

(2) 注目すべき知見

- 1) テープ・すき向が非常に大きかつたにも拘らず、層間せん断強度、 V_f 、ポイド率は L 部と B 部で差が認められなかつた。 0° 方向の積層の場合、テープ・すき向がある程度大きても許容されると考えられる。
- 2) レイアップロールの押付力はロール幅に対し、 $3.2 \sim 12.5 \text{ kgf/cm}$ で試験したが差はなかつた。
- 3) テープ張力は大きいとテープの幅方向の動きが大きくまた、テープが切断し易くなるため、3 タイ子程度の低い方が良かった。

(3) 一連のプロセスの中で特記すべき特徴的技術

- 1) プリリフレクテープの切断を高速走行中に、裏紙は切らずにテープの先端を切断する方法を採用し、高速 (1 m/min) では可能となつた。
特許出願 特願昭57-174597 FRPテープの自動切断装置
- 2) 切断したテープの始端を一時巻付けロールに巻きつけておく方法を採用し、連続テープを使用するようにしたが、条件によってはうまくゆくことが確認された。

特許出願 特願昭57-174598 FRPテープの自動貼付方法および装置

(4) 特に効果を發揮した技術

- 1) レイアップ・ロールの押付けに空気圧を使用し、いつも一定圧力（最高100kgf）で押さえ付ける構造とした。テープに対し均一な押し付けが可能となり高い層間せん断強さ、Vf が得られた。
- 2) カッタでテープ走行中にテープのみ切断する方法をとったため、テープが扱い易くなり能率向上ができた

(5) 未到達事項の問題点と解決の日途

- 1) レイアップ速度は本試験では 6mm/min であったが、世界レベルは 25mm/min である。試験機を改造し、高速にするには 25mm/min は可能である。
- 2) フリップレグテープがレイアップ中に幅方向に動き易く積層したテープ間の隙間を小さくできない。テープの幅方向位置自動調節装置、レイアップしたテープの縁の検出装置をつけることにより解決すると思われる。しかしテープ縁検出装置は技術的に非常に難しく今のところ目途は立っていない。
- 3) テープと裏紙との接着性、テープとロールとの接着性がテープにより問題となる。周囲温度により大幅に変るので、部分的なテープの温度を行えば相当程度改善すると思われる。
- 4) カッタの調整が難しいが、カッタ刃を取り付けたままで調整できるような構造に改進することにより解決する。

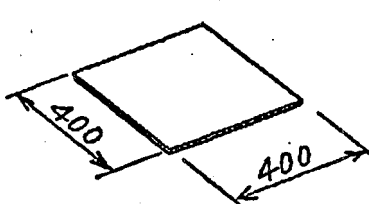
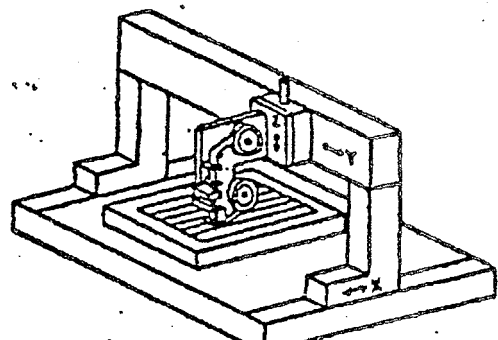
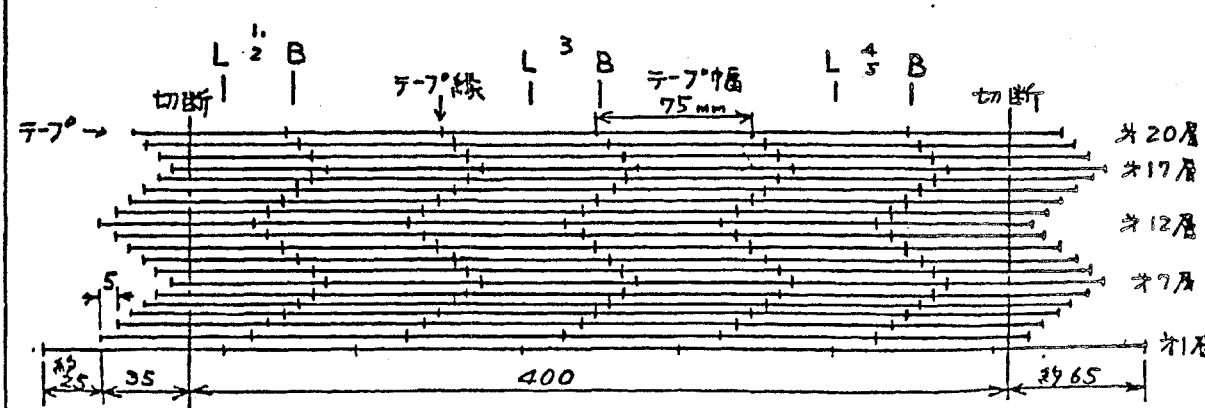
以上

3 研究開発結果

(1) 実績のポイント

サブテーマ名： 5) 自動加工法

1 供試体

項目	内 容						
① 形状寸法	<p>平板状供試体 繊維方向 (0°-方向) 板厚 約 2.14 mm (20 PLY)</p> 						
② 使用材料	<p>350°F 硬化 炭素繊維 / エポキシ</p> <table border="1"> <tr> <td>種類</td> <td>一方向プリアーリング材</td> </tr> <tr> <td>品名</td> <td>東レ(株) P3060 B-12</td> </tr> <tr> <td>基本特性</td> <td> 樹脂含有率： 約 37% 糸重量： 125 g/m^2 テープ幅： 75 mm 標準厚さ： 0.125 mm </td> </tr> </table>	種類	一方向プリアーリング材	品名	東レ(株) P3060 B-12	基本特性	樹脂含有率： 約 37% 糸重量： 125 g/m^2 テープ幅： 75 mm 標準厚さ： 0.125 mm
種類	一方向プリアーリング材						
品名	東レ(株) P3060 B-12						
基本特性	樹脂含有率： 約 37% 糸重量： 125 g/m^2 テープ幅： 75 mm 標準厚さ： 0.125 mm						
③ 成形条件	<p>(自動加工法主要工程)</p> <p>自動積層 → バギング → オートクレーブ硬化 → 錫型 → 仕上げ</p>  <p>(自動積層法)</p> <p>型板の上にオ1層としてテープを横に7枚並べてはり、端を接着テープで固定する。その上にオ2層を6枚並べてレイアップする。次にオ3層は右に5mmずらして6枚はり、オ4層はさらに右に5mmずらしてはる。オ5層目からは反対に5mmずらしてはり、5層は3と反対方向にずらしていく。即ち下図のように、オ13, 18層で逆転し、合計20層積層する。試験片を採取したテープの端部と実合せ部の位置も示す。</p> <p>自動レイアップ試験機</p> 						

項目	内 容
③ 成形条件 (続き)	<p>(自動積層条件)</p> <p>レイアップ速度 6 m/min 全長 900 mm の長さに積層し 加減速部を除き 6 m/min の速度で 積層したところで 400 mm の長さの試験片をとる</p> <p>レイアップロール押付力 100 kg.f テープ引張力 3 kg.f</p> <p>供試体の採取位置は下図に示す。</p> <p style="text-align: right;">\leftarrow レイアップ方向</p> <p>(オートクレーブ硬化条件)</p> <p>$350^{\circ}\text{F} \quad 6 \text{ kgf/cm}^2 \quad 2 \text{ H}$</p> <p>温度 $^{\circ}\text{F}$</p> <p>時間 H</p> <p>圧力 $\frac{6}{760} \frac{\text{kgf}}{\text{cm}^2} \frac{\text{mmHg}}$</p> <p>オートクレーブ缶体</p> <p>バッゲ内</p>

2 試験

項目	目標性能	試験方法	試験結果			
			MAX	MIN	MAX	MIN
① テーパー間すき間 直なりのないこと	0~0.8mm	テーパーとテーパーの間のすき間を一層レイアップする毎にスケールで測定。最大値と最小値を計測する。 第1層目は手貼りで行う。	1 - - 11 1.4 0	2 1.6 0 12 1.7 0	3 1.5 0 13 2.0 0	4 1.0 0.3 14 1.2 0
			5 1.2 0.3 15 2.2 0	6 1.2 0.3 16 1.6 0	7 1.2 0.1 17 1.0 0	8 0.9 0 18 0.8 0
			9 0.8 0 19 0.8 0	10 1.4 0 20 0.6 0	MAX 2.2 MIN 0	Σ 0.548
② V_f	60%以上	<ul style="list-style-type: none"> 供試体より試験片と切り出す。(概略位置は下図による) <p style="text-align: center;">$n = 10$ (L, B 各 5) L: テーパー直なり部 B: テーパー突き合せ部 試験片形状 計測機器 化学天秤</p> <ul style="list-style-type: none"> 化学天秤によって重量を計測する。 ASTM D792 Method A によって密度を計測する。 加熱濃硝酸により樹脂E溶解分離する。 繊維を沈降後、化学天秤によって繊維重量を計測する。 次式により V_f を算出する $V_f = \frac{W_f \times P_c}{P_f \times W_c} \times 100 \quad (\%)$ <p style="text-align: center;">W_f: 繊維重量 P_f: 繊維密度 W_c: 試験片重量 P_c: 試験片密度</p> <ul style="list-style-type: none"> 試験方法は ASTM D3171 に準拠する。 	L	B		
③ ボイド率	1%以下	<ul style="list-style-type: none"> V_f 測定法と同じ 次式により算出する。 $V_v = 100 - (V_f + V_r) \quad V_v: ボイド率$ $V_r = \frac{W_r \times P_c}{P_r \times W_c} \times 100 \quad (\%)$ <p style="text-align: center;">V_r: 樹脂体積含有率 W_r: 樹脂重量 ($W_c - W_f$) P_r: 樹脂密度</p> <ul style="list-style-type: none"> 試験方法は ASTM D2734 Method B に準拠する。 	L	B		

項目	目標性能	試験方法	試験結果																																													
④層間せん断強さ	11 kg·f/mm ² 以上	<ul style="list-style-type: none"> 供試体上に試験片を切り出す(概略位置は下図に示す) 試験片加工を行う 試験片と荷重負荷装置を用いて、荷重速度1.0~1.5 mm/minで破壊するまで荷重負荷する。(図参照) 破壊荷重を計測し、次式で層間せん断強さを算出する $H_s = \frac{3}{4} \frac{P}{t^2} \quad (\text{kg}\cdot\text{f}/\text{mm}^2)$ <p>P: 最大破壊荷重 t: 試験片幅 t: 公称板厚</p> 試験方法はASTM D2344に準拠する。 	<table border="1"> <thead> <tr> <th></th> <th>L</th> <th>B</th> </tr> </thead> <tbody> <tr> <td>1</td> <td>13.08</td> <td>13.94</td> </tr> <tr> <td>1'</td> <td>12.53</td> <td>13.63</td> </tr> <tr> <td>2</td> <td>13.89</td> <td>13.87</td> </tr> <tr> <td>2'</td> <td>13.53</td> <td>13.98</td> </tr> <tr> <td>3</td> <td>13.79</td> <td>13.61</td> </tr> <tr> <td>3'</td> <td>13.97</td> <td>13.44</td> </tr> <tr> <td>4</td> <td>13.53</td> <td>12.48</td> </tr> <tr> <td>4'</td> <td>13.52</td> <td>12.90</td> </tr> <tr> <td>5</td> <td>14.03</td> <td>13.97</td> </tr> <tr> <td>5'</td> <td>13.51</td> <td>14.04</td> </tr> <tr> <td>MAX</td> <td>14.03</td> <td>14.04</td> </tr> <tr> <td>MIN</td> <td>12.53</td> <td>12.48</td> </tr> <tr> <td>\bar{x}</td> <td>13.54</td> <td>13.57</td> </tr> <tr> <td>CV</td> <td>3.34 %</td> <td>3.74</td> </tr> </tbody> </table>		L	B	1	13.08	13.94	1'	12.53	13.63	2	13.89	13.87	2'	13.53	13.98	3	13.79	13.61	3'	13.97	13.44	4	13.53	12.48	4'	13.52	12.90	5	14.03	13.97	5'	13.51	14.04	MAX	14.03	14.04	MIN	12.53	12.48	\bar{x}	13.54	13.57	CV	3.34 %	3.74
	L	B																																														
1	13.08	13.94																																														
1'	12.53	13.63																																														
2	13.89	13.87																																														
2'	13.53	13.98																																														
3	13.79	13.61																																														
3'	13.97	13.44																																														
4	13.53	12.48																																														
4'	13.52	12.90																																														
5	14.03	13.97																																														
5'	13.51	14.04																																														
MAX	14.03	14.04																																														
MIN	12.53	12.48																																														
\bar{x}	13.54	13.57																																														
CV	3.34 %	3.74																																														

3 使用試験機材

Vf 層間せん断強さ	化学天秤 METTLER H-1000 (METTLER社製) 引張圧縮万能試験機 オートグラフ DCS-500 (島津製)
---------------	---

4 備考

(2) 注目すべき知見

- 1) 供試体の層間せん断強さ、 γ_f は非常に高い数値が得られた。
- 2) ボイド率は0で、顕微鏡による断面写真観察の結果でもボイトは発見されなかつた。
- 3) テープの重なり部Aと突き合せ部Bとのあきらかな有意差は認められなかつた。
- 4) テープ間のすき間は目標0.8mm以下に対し最大2.2mmと大きく、この試験機では完全な自動化はできなかつた。これはテープがロールの幅方向に対し移動し位置が決らないためである。

(3) 一連のプロセスの中で特記すべき特徴的技術

- 1) フリフロレグテープの切斷を低速走行中に、裏紙は切らずにテープのみ切斷する方法を採用し低速では可能となつた。
- 2) 切断したテープの始端を一時巻付けロールに巻きつけておく方法を採用し条件によってはうまくゆくことが確認された。

(4) 特に効果を發揮した技術

- 1) レイアップロールでテープを一定圧力で押しながらレイアップすることにより高い層間せん断強さが得られた。
- 2) カッタでテープのみ走行中に切斷する方法をとったため均一なレイアップが可能となり能率向上ができた。

(5) 未到達事項の問題点と解決の目途

- 1) フリフロレグテープがレイアップ中にロールの幅方向に動き易く、積層したテープ間のすき間を小さくできない。テープの幅方向位置自動調節装置、レイアップしてテープの縁の検出装置をつけることにより解決すると思われる。
- 2) テープと裏紙との接着性が周囲温度により大幅に異なり接着力不足が問題となる。このため部分的な温度調節が必要である。
- 3) レイアップ速度は本試験では6m/minであったが世界レベルの25m/minにアップする必要がある。
- 4) カッタ刃の調整が難しい。改造する必要がある。

要 旨

研究開発項目名 成形加工技術の開発（高エネルギー二次加工法）

研究開発実施者名 （財）次世代金属・複合材料研究開発協会

1. 研究開発期間 昭和56年度～昭和58年度

2. 第一期目標のポイント

現行炭素繊維-エポキシ樹脂積層板を対象として、レーザー加工機による高速切断の基本技術を開発する。

評価基準は切削速度とする。

なお、その他の高エネルギー加工法の適用可能性についても検討する。

3. 各年度の実施計画のポイント

昭和56年度：国内各種レーザー加工機による切断予備試験

液体ジェット加工機による切断予備試験

昭和57年度：加工補助装置（補助ガス）を用いたレーザー切断試験

液体ジェット、超音波加工機の応用研究

昭和58年度：加工補助装置（補助ガス）を用いたレーザー切断試験継続

超音波加工機の応用研究継続

4. 第一期の実績のポイント

シングルフェーズ・レーザー加工機に加工補助装置（補助ガス）を考案した結果、従来不適といわれていたCFRP 3mm積層板を78m/時(1.3m/sec)の速度で切断することが可能となり、機械加工に比べ格段の生産性を示した。

その他の高エネルギー加工法では液体ジェット切断及び超音波穴明け法が適用の可能性を持つ。

(1 /)

例 究 開 先 級 墓 要 約 表

研究開発実績

研究開発項目名 激光エネルギー加工法(レーザ切断加工)

研究開発実施者名 (財)次世代金属・複合材料研究開発協会

1. 研究開発期間 昭和56年度～昭和57年度

2. 研究開発手法、前提条件等

従来の機械加工に於ける複合材料二次加工の問題点を排除しつゝ加工の高速化を目的として、レーザーを利用した複合材料の基礎的加工技術の開発を計った。

素材グループにより開発される新材料の供給が第2期以降となるため、第1期は既存の炭素繊維強化エポキシ樹脂複合材料(180°C 硬化型)積層板を対象とし、加工は平板の直線切削とした。

加工手段として用いるレーザーは、昭和56年度に本研究が開始されるまでに蓄積した先行研究の成果を反映し、複合材料への吸収率が良好で大出力を得易い炭酸ガスレーザーを選択した。加工試験は、500ワット級シングルモード・レーザー加工機により開始し、現在日本国内で使用できるシングルモードで最大級の出力である1,500ワットのレーザー加工機まで試験を行った。(表1)

3. 研究開発結果

(1) 実績のポイント

開発したレーザーノズル周辺試験装置を用いて、目標性能である板厚3mm、直角度0.1以下、加工面粗さ12μm以下、力学的特性に有意差のないこと、及び加工速度0.8mm/minを満足したが、加工変質域は0.8mmに対して、1.6mm(炭化層0.8mmを含む)となつた。

(2) 注目すべき知見

1) CFエポキシ積層板の熱変質域は、加工部を冷去することで縮少させることが可能である。(図1)

2) CFエポキシ積層板の熱変質域は、外観上の変色域とはほぼ一致し、品質評価上の有力な手段にできる。

3) レーザー加工機の出力をパラメータとし、被加工材板厚と切断速度及び熱変質域との関係を把握した。(図2)

(3) 一連のプロセスの中で特記すべき特徴的技術

1) 熱変質域を減少させる冷却媒体の適用技術。

(特許出願) レーザー加工装置 (図3)

(4) 特に効果を発揮した技術

1) 熱変質域を減少させるシングルモードのレーザー加工装置。

2) アクリル板へのレーザービーム照射による焦点位置決め技術。

(5) 未到達事項の問題点と解決の目途

1) 目標性能の加工変質域、0.8 mmに対して、試験結果1.6 mmであった。シングルモードで1.500ワット以上の高出力レーザー加工機の出現を待ち、加工条件を調整することで目標性能の加工変質域を達成できると判断する。

表1 言語馬鹿に使用したレーザー加工機の諸元

国	機種	日本	米国
X-カーラー	三美電機	大阪変圧器	コヒーレント
40W機 の諸元	ML-1000	ML-1P	エバーバス
定格出力 (W)	500	500	525
定格出力 (W)	1,000	1,000	1,000
発振形式	連続/脈衝	連続	連続/パルス
レンズの材質	ZnSe	ZnSe	GaAs
レンズの焦点距離 (mm)	63.5	63.5	127.0
走査形 式	2軸直交	2軸直交	高周波走査
走査速度 の選択	励起型式	直光放電	直流放電
		直光放電	直流放電

(○は不明な(は×-〇)公差(道なし)

項	目	米国
レーザ出力 (W)	500 (レーザ出力=5)	
最高振幅 (mm)	±3.5 (ZnSe)	
最高走査速度 (mm)	±8	
ノズル径 (mm)	2.0	
加工材料	316L 不銹鋼	ガラス類等

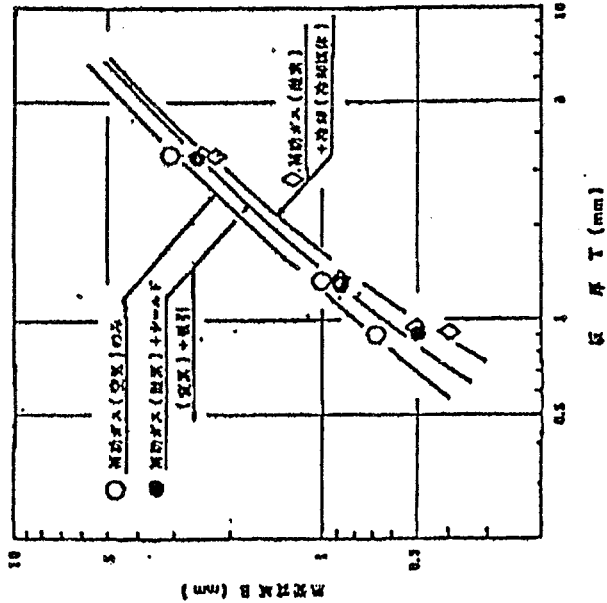


図1 被加工部の条件に対する板厚と熱変質域の関係

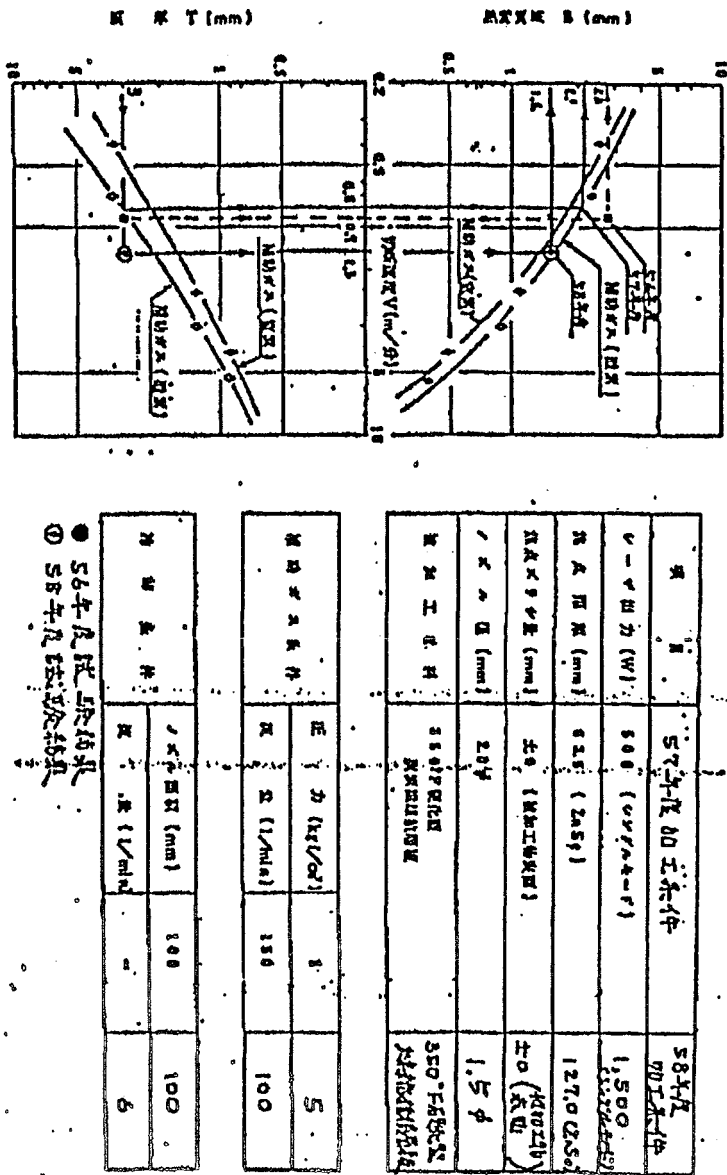


図2. 板厚と切断速度と熱変質域の關係

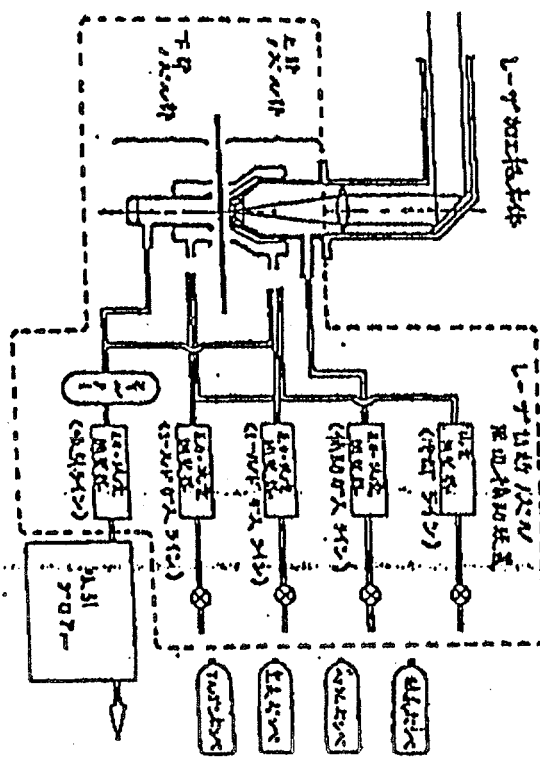
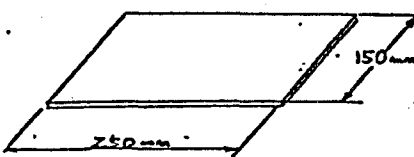
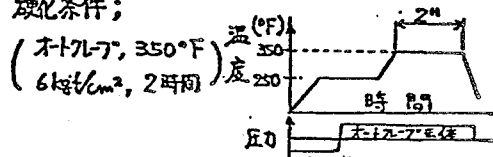
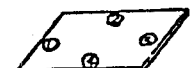
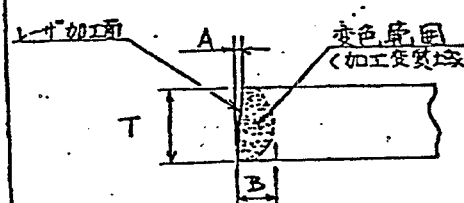
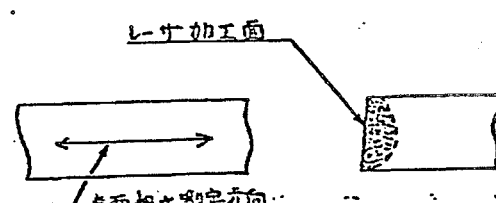


図3. L-型-2次元周辺試験装置

サブテーマ名；3(2)成形加工技術の開発 4) 高エネルギー加工法

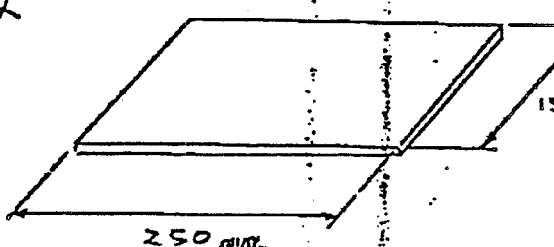
1. 供試体

項目	内 容														
① 形状、寸度、	<ul style="list-style-type: none"> 平板  <p>積層構成: 0°/90° 交互積層 硬化条件: (オートクレーブ, 350°F, 6kgf/cm², 2時間)</p> 														
② 使用材料	<p>350°F 硬化炭素繊維/エポキシ一方向配列プリフレグテープ</p> <ul style="list-style-type: none"> 商品名: P3060-15 (東レ株式会社) 基本特性 (X-カーラロフ値) <table border="1"> <thead> <tr> <th>プリフレグ</th> <th>標準積層板 (23°C, V_f=65%)</th> </tr> </thead> <tbody> <tr> <td>使用系 T-300</td> <td>0°引張強度 165 kgf/mm²</td> </tr> <tr> <td>系重量 45±5 g/cm²</td> <td>0°引張弾性率 15,000 kgf/mm²</td> </tr> <tr> <td>プリフレグ重量 259±12 g/cm²</td> <td>90°引張強度 5 kgf/mm²</td> </tr> <tr> <td>樹脂含有率 +2% (by weight)</td> <td>90°破断伸長 0.5%</td> </tr> <tr> <td>押発分 2%以下 (163±5°C, 20±5分)</td> <td>0°層間せん断強度 12 kgf/mm²</td> </tr> <tr> <td>ケルタイム 7~20分 (170±3°C)</td> <td></td> </tr> </tbody> </table>	プリフレグ	標準積層板 (23°C, V _f =65%)	使用系 T-300	0°引張強度 165 kgf/mm²	系重量 45±5 g/cm²	0°引張弾性率 15,000 kgf/mm²	プリフレグ重量 259±12 g/cm²	90°引張強度 5 kgf/mm²	樹脂含有率 +2% (by weight)	90°破断伸長 0.5%	押発分 2%以下 (163±5°C, 20±5分)	0°層間せん断強度 12 kgf/mm²	ケルタイム 7~20分 (170±3°C)	
プリフレグ	標準積層板 (23°C, V _f =65%)														
使用系 T-300	0°引張強度 165 kgf/mm²														
系重量 45±5 g/cm²	0°引張弾性率 15,000 kgf/mm²														
プリフレグ重量 259±12 g/cm²	90°引張強度 5 kgf/mm²														
樹脂含有率 +2% (by weight)	90°破断伸長 0.5%														
押発分 2%以下 (163±5°C, 20±5分)	0°層間せん断強度 12 kgf/mm²														
ケルタイム 7~20分 (170±3°C)															
③ 成形条件	<ul style="list-style-type: none"> レーザによる平板直線切断。 使用したレーザ加工装置の諸元 <ul style="list-style-type: none"> メーカー、型式: 三菱電機株式会社 ML-3P 発振形式: 三軸直交型、無声放電励起式 最大出力: 1.5 kW ビームモード: シングルモード V-ガウ加工条件。 <ul style="list-style-type: none"> レーザ波長: 10.6 μm レーザ出力: 1.5 kW 切削速度: 1.2 mm/min 補助ガス: 水素 冷却媒体: 液体 レーザ加工面の炭化層 (スケール) は、サンドペーパーにより除去。 														

乙. 試験		試験方法	試験結果												
項目	目標性能														
形状寸法 ① 板厚	3 mm 以下	<ul style="list-style-type: none"> 品質及生産性に與する目標性能を満して直線切断できる最大板厚を求める。 	$T_{max} = 3.0 \text{ mm}$ <table border="1"> <tr> <th>測定位置</th> <th>測定板厚</th> </tr> <tr> <td>①</td> <td>2.91</td> </tr> <tr> <td>②</td> <td>3.08</td> </tr> <tr> <td>③</td> <td>3.04</td> </tr> <tr> <td>④</td> <td>3.14</td> </tr> <tr> <td>又</td> <td>3.04</td> </tr> </table>	測定位置	測定板厚	①	2.91	②	3.08	③	3.04	④	3.14	又	3.04
測定位置	測定板厚														
①	2.91														
②	3.08														
③	3.04														
④	3.14														
又	3.04														
加工品質 ② 加工変質域	0.8 mm 以下	<ul style="list-style-type: none"> 直線切断を行った加工断面の顕微鏡写真により、変色範囲を加工変質域として測定する。 	<p>加工変質域 1.6 mm (加工変質域)は炭化層 0.8 mm を含む。)</p>												
③ 直角度 ($\frac{A}{T}$)	0.1 以下	<ul style="list-style-type: none"> 直線切断を行った加工断面の顕微鏡写真により、直角度を測定する。  <p style="text-align: center;"><u>加工断面と顕微鏡写真</u></p>	$\frac{A}{T} (mm) = 0.017$												
④ 加工面粗さ (H_{max})	12.5 以下	<ul style="list-style-type: none"> 直線切断を行った加工断面の板厚中央部の表面粗さを切断方向に平行に表面粗さ計を用いて測定する。  <p style="text-align: center;"><u>加工面粗さ測定要領</u></p>	$R_{max} = 10 \mu\text{m}$												

項目	目標性能	試験方法	試験結果																																										
力学的特性 ⑤機械加工面との有意差	有意差のないこと	<p>レーザ加工した試験片と機械加工した試験片の強度を相対比較する。</p> <p>試験方法としては、構造への適用状況を模擬した下記2種類とする。</p> <p>(1)引張強度試験 (2)面圧強度試験</p> <p>引張強度試験片形状</p> <p>面圧強度試験片形状</p> <p>[A] レーザ加工面(評価面)</p>	<p>引張強度試験 (kgf/mm²)</p> <table border="1"> <thead> <tr> <th>T.P. No.</th> <th>レーザ加工</th> <th>機械加工</th> </tr> </thead> <tbody> <tr> <td>1</td> <td>57.85</td> <td>57.25</td> </tr> <tr> <td>2</td> <td>66.38</td> <td>57.48</td> </tr> <tr> <td>3</td> <td>58.23</td> <td>62.39</td> </tr> <tr> <td>4</td> <td>54.75</td> <td>62.40</td> </tr> <tr> <td>5</td> <td>59.92</td> <td>58.18</td> </tr> <tr> <td>Ave</td> <td>59.43</td> <td>59.54</td> </tr> </tbody> </table> <p>有意水準5%で検定した結果。 平均値の有意差はない。</p> <p>面圧強度試験 (kgf/mm²)</p> <table border="1"> <thead> <tr> <th>T.P. No.</th> <th>レーザ加工</th> <th>機械加工</th> </tr> </thead> <tbody> <tr> <td>1</td> <td>95.89</td> <td>86.90</td> </tr> <tr> <td>2</td> <td>90.33</td> <td>88.42</td> </tr> <tr> <td>3</td> <td>82.88</td> <td>89.01</td> </tr> <tr> <td>4</td> <td>102.49</td> <td>97.26</td> </tr> <tr> <td>5</td> <td>85.19</td> <td>101.06</td> </tr> <tr> <td>Ave</td> <td>91.36</td> <td>92.53</td> </tr> </tbody> </table> <p>有意水準5%で検定した結果。 平均値の有意差はない。</p>	T.P. No.	レーザ加工	機械加工	1	57.85	57.25	2	66.38	57.48	3	58.23	62.39	4	54.75	62.40	5	59.92	58.18	Ave	59.43	59.54	T.P. No.	レーザ加工	機械加工	1	95.89	86.90	2	90.33	88.42	3	82.88	89.01	4	102.49	97.26	5	85.19	101.06	Ave	91.36	92.53
T.P. No.	レーザ加工	機械加工																																											
1	57.85	57.25																																											
2	66.38	57.48																																											
3	58.23	62.39																																											
4	54.75	62.40																																											
5	59.92	58.18																																											
Ave	59.43	59.54																																											
T.P. No.	レーザ加工	機械加工																																											
1	95.89	86.90																																											
2	90.33	88.42																																											
3	82.88	89.01																																											
4	102.49	97.26																																											
5	85.19	101.06																																											
Ave	91.36	92.53																																											
生産性 ⑥加工速度	0.8 mm/min.以上	<ul style="list-style-type: none"> 直線切断を行う場合の最大切断速度をストップウォッチで測定する。 	$V_{max} = 1.3 \text{ mm/min.}$																																										

研究開発結果要約表

ナマニ名	3.(乙) 成形加工技術の開発 4) 高エネルギー加工法						
研究開発手法	供試体形状	平板  0°/90°交互積層					
成形条件	350°F硬化炭素繊維/エポキシ一方向配列アリフレク"テープ。 商品名 P3060-15 (東レ株式会社製)						
前提条件等	使用材料	<ul style="list-style-type: none"> 使用装置の名称：ML-3P（三菱電機株式会社） レーザによる平板直線切断。 レーザ加工面の炭化層（スケール）は、サンドペーパーにより除去。 					
研究開発結果	要求性能	形状寸法	加工品質				生産性
		板厚	加工変質域	直角度	加工面粗さ	力学的特性	
	マイクロメータによる測定	顯微鏡写真による測定	顯微鏡写真による測定	表面粗さ計による測定	引張試験 $\pi = 5$ ・面圧試験 $\pi = 5$	ストップウォッチによる測定	
	レーザ加工	平均板厚 3.0 mm [炭化層 0.8 mm を 含む]	1.6 mm 0.07	10 S.	引張試験 文 % CV %	面圧試験 59.43 91.36 4.4 8.7	
	機械加工				引張試験 文 % CV %	面圧試験 59.54 92.55 7.3 6.8	
所見	加工変質域は、六角効果により抑制できること。目標性能には至らなかった。今後、シンクルミードでより高出力のレーザー加工機の出現を待ち、加工条件を調整することで目標性能を達成できると判断する。						

研 究 開 発 活 動

研究開発項目名 高エネルギー加工法(その他の高エネルギー加工)

研究開発実施者名 (財) 次世代金属・複合材料研究開発協会

1. 研究開発期間 昭和56年度～昭和58年度

2. 研究開発手法、前提条件等

複合材料の切削及び穿孔加工法として、レーザー以外の高エネルギー加工法の適用性を検討した。

加工対象は、レーザー加工と同じく既存の炭素繊維強化樹脂(180°C硬化型)積層板とした。

加工法としては、熱加工法としてプラスチック加工及び電子ビーム加工、衝撃破砕加工法として液体ジェット加工及び超音波加工を取り上げた。(表1)

3. 研究開発結果

(1) 奥縁のポイント

予備検討の結果、液体ジェット加工は切削加工に、超音波加工は穿孔加工に適用できる可能性を見出した。

(2) 注目すべき知見

1) 液体ジェット加工法では、ノズル距離と加工液を選択して行くことにより、切削加工速度の向上が計れることを見出した。(図1)

2) 超音波加工法の検討の結果、層間剥離のない穿孔加工条件を設定できることを見出した。(図2)

(3) 一連のプロセスの中で特記すべき特徴的技術

1) 液体ジェット加工法において、加工液を選択することで切削速度を改善する技術。

(4) 特に効果を發揮した技術

1) 液体ジェット加工法における非金属材料加工技術。

2) 超音波加工法における非金属材料加工技術。

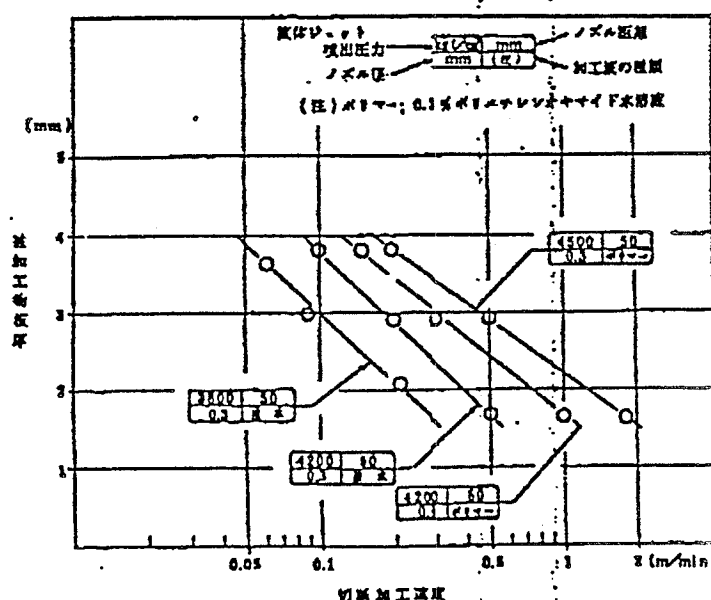
(5) 未到達事項の問題点と解決の目途

1) 液体ジェット加工法については、液体ジェット噴出圧力を現状以上に高くすることは、加工機用使用材質やエネルギー効率の問題があり困難と判断している。生産性向上のためには、より切削力の高い加工液の開発が有効である。

2) 超音波加工法については、加工圧力、砥粒サイズ、工具形状等の加工条件因子を詳細に検討し、適正な加工条件を設定することにより、生産性向上の可能性を内包している。

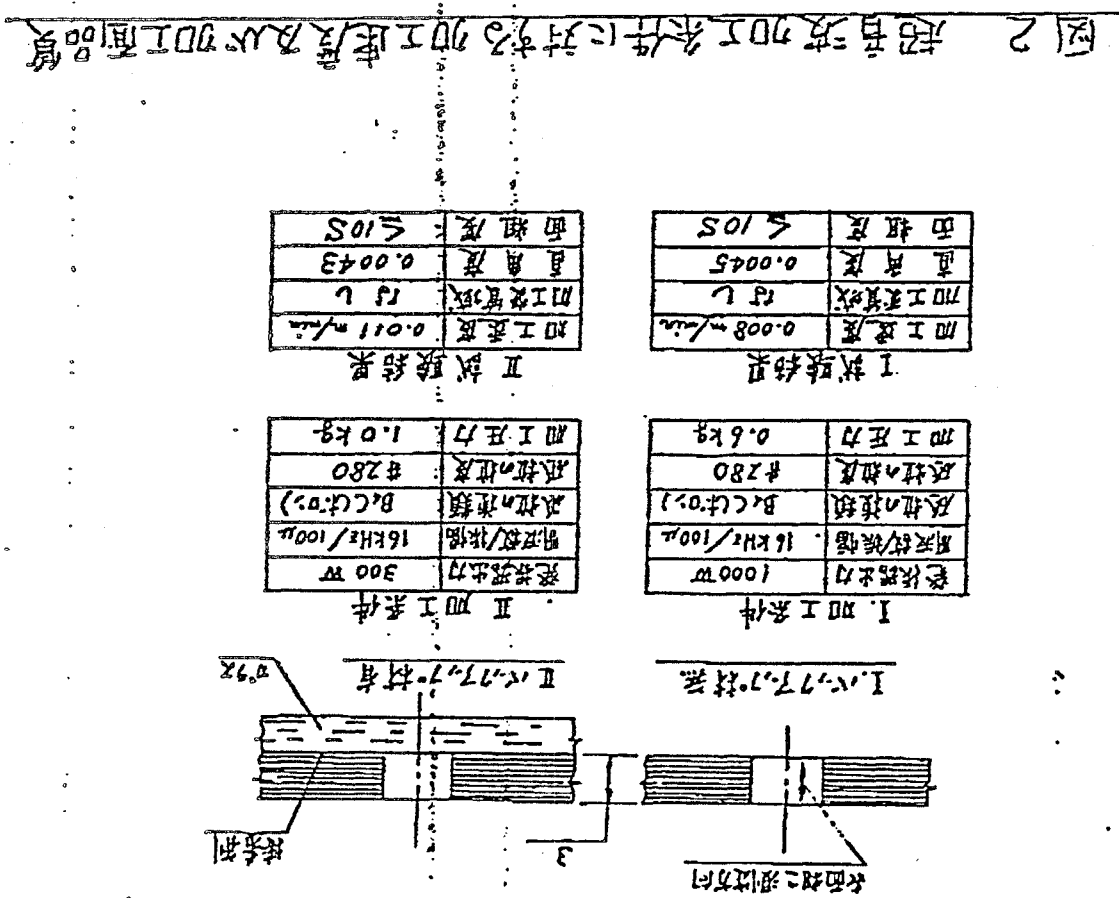
表1. その他高エネルギー加工成果概要

大区分	小区分	主たる用途	研 究 成 果		使用加工機名
			品質	生産性	
熱加工	アラバマ加工	切断加工	加工変質域 (5mm以上)	—	メーカー：ミンスフィールド 型式：PA20-2
	電子ビーム加工	切断加工	加工変質域 (4mm以上)	—	メーカー：三毛電機
衝撃 破碎加工	液体 ジェット加工	切断加工	加工面粗さ (50μ以上)	加工速度 (0.5mm/min)	メーカー：スギマツ 型式：ATP-5070 メーカー：アーロインテスト 型式：MODEL 102
	超音波加工	穴あけ加工	加工面粗さ (10μ以下)	加工速度 (8mm/min)	メーカー：日本電子工業 型式：UM-300C UM-1000E



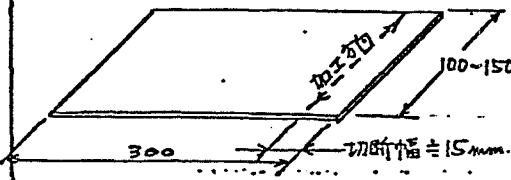
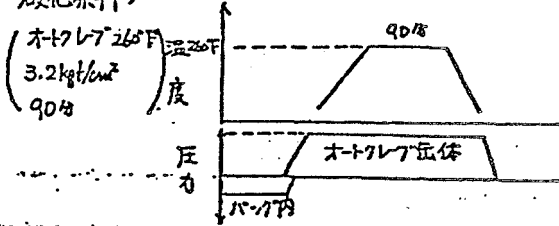
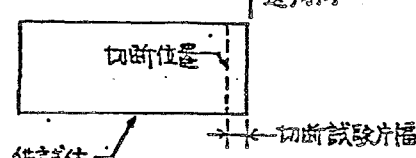
液体ジェット加工法

図1. 各種加工条件での切断加工速度と被加工物板厚



テーマ名；3(2)成形加工技術の開発 4)高エネルギー加工法(その他の高エネルギー加工)
[液体ジェット加工法]

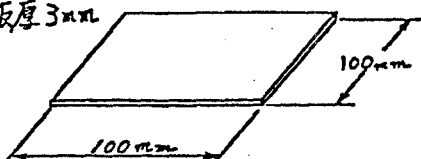
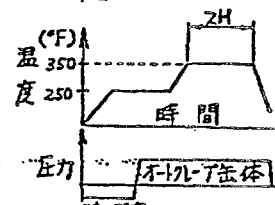
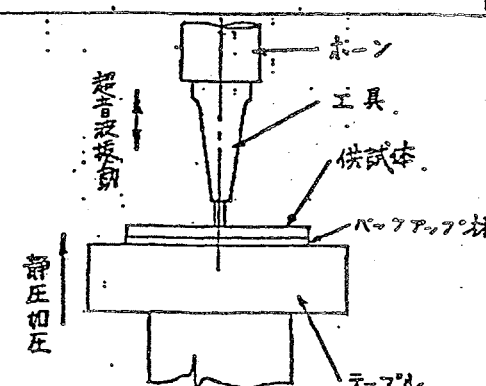
I. 供試体

項目	内 容				
① 造形・寸寸	<p>平板、板厚 3mm</p>  <p>積層構成：0%/90°交互積層 硬化条件： (オートクレーブ 260°F, 3.2kgf/cm², 90分)</p> 				
② 用材	<p>260°F硬化タフ炭素繊維/エポキシー方向配列プリパレット</p> <ul style="list-style-type: none"> 商品名；C3U190/F6986SO3 (横浜ゴム株式会社) 基本特性(X-カ カロゲン値) <table border="1"> <thead> <tr> <th>プリパレット</th> <th>標準積層板 (RT)</th> </tr> </thead> <tbody> <tr> <td> 系重量 $190 \pm 5 \text{ g/m}^2$ 樹脂含有率 $40 \pm 2.0\% \text{ (by weight)}$ 挥発分含有率 $2\% \text{ (max) (by weight)}$ ケルタイム $3 \sim 13 \text{ 分}$ </td> <td> 0°引張強度 119.5 kgf/mm^2 0°引張弾性率 $12,303 \text{ } \sim 14,060 \text{ kgf/mm}^2$ 90°引張強度 4.9 kgf/mm^2 90°引張弾性率 $773.3 \text{ } \sim 913.9 \text{ kgf/mm}^2$ </td> </tr> </tbody> </table>	プリパレット	標準積層板 (RT)	系重量 $190 \pm 5 \text{ g/m}^2$ 樹脂含有率 $40 \pm 2.0\% \text{ (by weight)}$ 挥発分含有率 $2\% \text{ (max) (by weight)}$ ケルタイム $3 \sim 13 \text{ 分}$	0° 引張強度 119.5 kgf/mm^2 0° 引張弾性率 $12,303 \text{ } \sim 14,060 \text{ kgf/mm}^2$ 90° 引張強度 4.9 kgf/mm^2 90° 引張弾性率 $773.3 \text{ } \sim 913.9 \text{ kgf/mm}^2$
プリパレット	標準積層板 (RT)				
系重量 $190 \pm 5 \text{ g/m}^2$ 樹脂含有率 $40 \pm 2.0\% \text{ (by weight)}$ 挥発分含有率 $2\% \text{ (max) (by weight)}$ ケルタイム $3 \sim 13 \text{ 分}$	0° 引張強度 119.5 kgf/mm^2 0° 引張弾性率 $12,303 \text{ } \sim 14,060 \text{ kgf/mm}^2$ 90° 引張強度 4.9 kgf/mm^2 90° 引張弾性率 $773.3 \text{ } \sim 913.9 \text{ kgf/mm}^2$				
③ 成形条件	<ul style="list-style-type: none"> 液体ジェットによる平板直線切断 定速度送リテーフルに、切斷試験片幅が約15mmとなる様に固定し、所定送りをかけて切断。 使用した液体ジェットポンプ X-カ、型式；株式会社スギマシン AJP-5070 最大噴出圧力；5000 kgf/cm^2 最大流量；7 l/min. 動 力；120 PS 切斷加工条件 噴出圧力；4500 kgf/cm^2 ノズル径；0.3 mm ノズル距離；50 mm 加工液；0.3% ポリエチレンオキサイド水溶液 <p>注1. ノズルから被加工物表面までの距離</p> 				

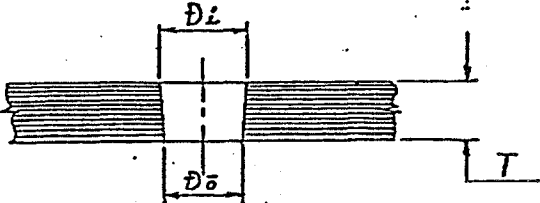
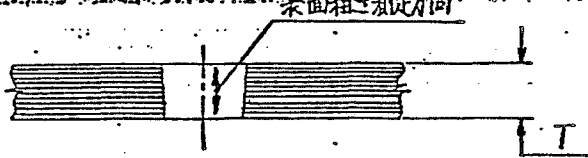
2. 機械圖	3. 製造方法	4. 零件圖	5. 品質
$\frac{A}{t} = 0.08$	直線切削時， <u>在加工斷面的量級範圍內直線切削</u> ，直角度誤差是 $(\frac{1}{t})$ 。		① 直角度 $(\frac{1}{t})$
$R_{max} > 50 \text{ } \mu\text{m}$	直線切削時， <u>在加工斷面的量級範圍內直線切削</u> ，表面粗糙度是 R_{max} 。		② 加工面粗度 R_{max}
$V_m = 0.5 \text{ m/min}$	圓周切削產生干涉時， <u>直線切削範圍內的最大切削速度是 $V_m = 0.5 \text{ m/min}$</u> 。		③ 加工速度 V_m

サブテーマ名；3(2)成形加工技術の開発 4)高エネルギー加工法(その他の高エネルギー加工)
【超音波加工】

1. 供試体

項目	内容														
① 形状、寸法	<ul style="list-style-type: none"> 平板、板厚3mm  <p>積層構成: 0°/90° 交互積層 硬化条件: (オーバーホルツ, 350°F) (6kgf/cm², 2時間)</p> 														
② 使用材料	<p>350°F 硬化炭素繊維/エポキシ一方向配列プリアーティング</p> <ul style="list-style-type: none"> 商品名; P3060-15 (東レ株式会社) 基本特性 (X-カーカタログ値) <table border="1"> <thead> <tr> <th>プリアーティング</th> <th>標準積層板 (23°C, $V_f=65\%$)</th> </tr> </thead> <tbody> <tr> <td>使用系 T-300</td> <td>0° 引張強度 165 kgf/mm²</td> </tr> <tr> <td>系重量 $145 \pm 5 g/m^2$</td> <td>0° 引張弾性率 15,000 kgf/mm²</td> </tr> <tr> <td>アリフレイ重量 $259 \pm 12 g/m^2$</td> <td>90° 引張強度 5 kgf/mm²</td> </tr> <tr> <td>樹脂含有率 42% (by weight)</td> <td>90° 破断伸び 0.5 %</td> </tr> <tr> <td>押出分 $2\% \text{以下} (163 \pm 5^\circ\text{C}, 20 \pm 5\text{分})$</td> <td>0° 屋間せん断強度 12 kgf/mm²</td> </tr> <tr> <td>ゲルタイム 7~20分 ($170 \pm 3^\circ\text{C}$)</td> <td></td> </tr> </tbody> </table>	プリアーティング	標準積層板 (23°C, $V_f=65\%$)	使用系 T-300	0° 引張強度 165 kgf/mm²	系重量 $145 \pm 5 g/m^2$	0° 引張弾性率 15,000 kgf/mm²	アリフレイ重量 $259 \pm 12 g/m^2$	90° 引張強度 5 kgf/mm²	樹脂含有率 42% (by weight)	90° 破断伸び 0.5 %	押出分 $2\% \text{以下} (163 \pm 5^\circ\text{C}, 20 \pm 5\text{分})$	0° 屋間せん断強度 12 kgf/mm²	ゲルタイム 7~20分 ($170 \pm 3^\circ\text{C}$)	
プリアーティング	標準積層板 (23°C, $V_f=65\%$)														
使用系 T-300	0° 引張強度 165 kgf/mm²														
系重量 $145 \pm 5 g/m^2$	0° 引張弾性率 15,000 kgf/mm²														
アリフレイ重量 $259 \pm 12 g/m^2$	90° 引張強度 5 kgf/mm²														
樹脂含有率 42% (by weight)	90° 破断伸び 0.5 %														
押出分 $2\% \text{以下} (163 \pm 5^\circ\text{C}, 20 \pm 5\text{分})$	0° 屋間せん断強度 12 kgf/mm²														
ゲルタイム 7~20分 ($170 \pm 3^\circ\text{C}$)															
③ 成形条件	<ul style="list-style-type: none"> 超音波による平板穿孔 超音波振動子に外径6φ 内径5.2φ の中空断面を持つ工具を取り付け、テーブル上にセットした試験片に静圧をかけて超音波穿孔。 使用した超音波装置 製造: 日本電子工業株式会社 型式: UM-300C型 出力: 800W 周波数: 16kHz 穿孔加工条件 周波数: 16kHz 工具材質: SUS304相当 風粒の材質: B4C 加工液: 水 														

2. 試験

項目	試験方法	試験結果
品質		
① 平均直角度 ($\frac{A}{T}$)	<ul style="list-style-type: none"> 孔の上面側の内径と下面側の内径を測定し、その差の平均 A と板厚 T の比を平均直角度とする。  $A = D_u - D_o / 2$ $\frac{A}{T} = 0.0043$	
② 加工面粗さ R_a	<ul style="list-style-type: none"> 穿孔を行なった加工面粗さ R_a を板厚方向に 表面粗さ計を用いて測定する。 	$R_{a\max} \leq 10.5$
生産性		
③ 加工速度 V	<ul style="list-style-type: none"> 板厚 T の供試体で孔が貫通するまでの時間を測定し、平均加工速度を算出する。 	$V_{\max} = 0.011 m/min$

C/S

要 旨

研究開発項目名 設計技術の開発（最適化プログラムの開発）

研究開発実施者名 (財) 次世代金属・複合材料研究開発協会

1. 研究開発期間 昭和56年度～昭和58年度

2. 第一期目標のポイント

一方向纖維強化積層材構造の強度、剛性、振動最適化解析プログラムを開発する。

プログラムの評価基準は後退角付片持梁模型の計算値と実験値との比較による。

3. 各年度の実施計画のポイント

昭和56年度：強度、剛性最適化プログラムの開発

昭和57年度：同、検証並びに改良

振動最適化プログラムの開発

昭和58年度：統合プログラムの開発

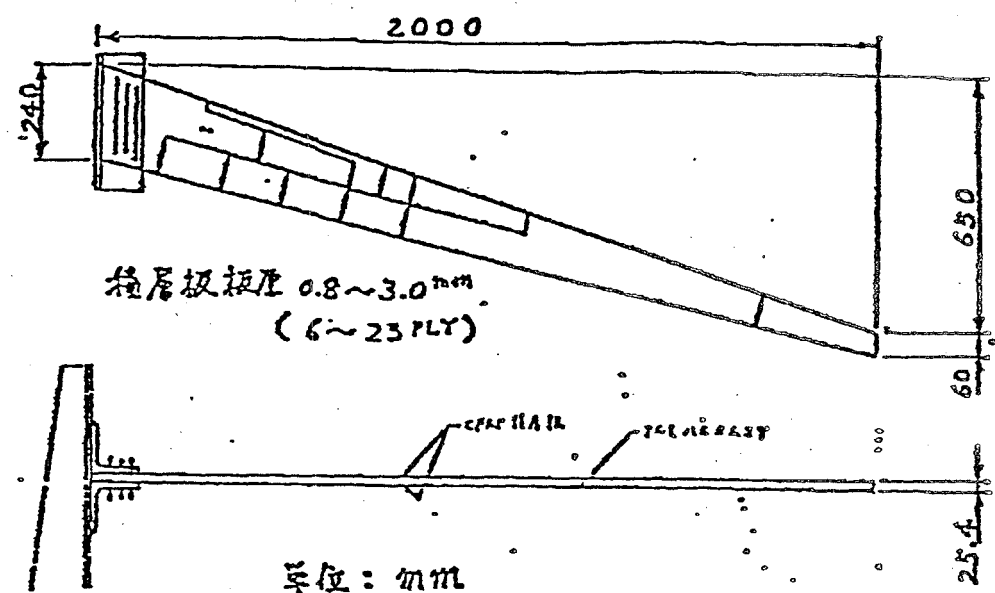
同、検証実験

座屈最適化プログラムの骨子作成

4. 第一期の実績のポイント

一方向強化積層材構造の強度、剛性、振動（フリッター）最適化解析プログラムを開発し、専門家によるアルゴリズムの検証、歪み、たわみ及び振動数の計算結果が何れも目標範囲内に入ることの片持梁模型荷重実験による検証を済ませた。

研究開発結果要約表

テーマ名	2.(3) 設計技術の開発 ①-1 最適化プログラム検証試験								
研究開発手法	構造最適化プログラムの開発								
前提条件等	 <p>横層板板厚 0.8~3.0 mm (6~23 PLY)</p> <p>支承部</p> <p>単位: mm</p>								
材料	350 °F 硬化炭素繊維/エポキシ 一方向プリプレグ (P3060-15 東レ(株))								
検証の証	<p>評価委員会の指定する専門家により、次の項目の評価を行う。</p> <p>(1) 最適化ソルトのロジック検証 (2) 解析結果の収れん性検証</p>								
研究開発目標	<table border="1"> <thead> <tr> <th>強度</th> <th>撓み</th> <th>振動数</th> </tr> </thead> <tbody> <tr> <td>$0.8 \leq \frac{\varepsilon_{TEST}}{\varepsilon_{ANAL}} \leq 1.2$</td> <td>$\theta_{TEST} - \theta_{ANAL} \leq 0.5^\circ$</td> <td>$0.8 \leq \frac{\omega_{TEST}}{\omega_{ANAL}} \leq 1.2$</td> </tr> </tbody> </table>			強度	撓み	振動数	$0.8 \leq \frac{\varepsilon_{TEST}}{\varepsilon_{ANAL}} \leq 1.2$	$ \theta_{TEST} - \theta_{ANAL} \leq 0.5^\circ$	$0.8 \leq \frac{\omega_{TEST}}{\omega_{ANAL}} \leq 1.2$
強度	撓み	振動数							
$0.8 \leq \frac{\varepsilon_{TEST}}{\varepsilon_{ANAL}} \leq 1.2$	$ \theta_{TEST} - \theta_{ANAL} \leq 0.5^\circ$	$0.8 \leq \frac{\omega_{TEST}}{\omega_{ANAL}} \leq 1.2$							
試験法	STRAIN GAUGEによる歪測定 (6カ所) 撓れ角測定 (3カ所) 供試体端部加振 一次振動数を測定								
試験結果	<p>$0.8 \leq \alpha \leq 1.2$</p> <table border="1"> <tr> <td>[① 1.12 ④ 0.85]</td> <td>[② 0.95 ⑤ 0.99]</td> <td>[③ 0.91 ⑥ 1.00]</td> </tr> </table> <p>①~⑥ 歪測定断面</p> <p>$\beta \leq 0.5^\circ$</p> <table border="1"> <tr> <td>[④ 0.10°]</td> <td>[⑤ 0.23°]</td> <td>[⑥ 0.30°]</td> </tr> </table> <p>④~⑥ 撓れ角測定位置</p> <p>$0.8 \leq \delta \leq 1.2$</p> <p>[1.07]</p>			[① 1.12 ④ 0.85]	[② 0.95 ⑤ 0.99]	[③ 0.91 ⑥ 1.00]	[④ 0.10°]	[⑤ 0.23°]	[⑥ 0.30°]
[① 1.12 ④ 0.85]	[② 0.95 ⑤ 0.99]	[③ 0.91 ⑥ 1.00]							
[④ 0.10°]	[⑤ 0.23°]	[⑥ 0.30°]							
所見等									

研究開発実績

研究開発項目名

最適化解析プログラムの開発

研究開発実施者名 (財) 次世代金属・複合材料研究開発協会

1. 研究開発期間 昭和56年度～昭和58年度

2. 研究開発手法、前提条件等

過去の経験や知識が豊富な構造の設計には、何回かの試行錯誤を繰り返して、与えられた設計要求を満たす設計を得ることが出来る。しかし全く新しい構造形式の場合には、このような方法は有効とは言い難い。

そのため、高性能複合材構造の設計に当たっては、最適構造(最小重量構造)を得るための明確な手順が必要となる。この要望に応えるため、必要最小限の重量ごとに設計要求を満足する複合材構造の設計条件を得る最適化解析プログラムを開発した。開発対象とした設計要求は、(1)静强度(2)剛性(3)振動(4)座屈である。

最適化プログラムには、構造解析部は既存の有限要素法プログラムを使用し(開発要素ない)、最適化解析部と最適化規準の選定→数式化→プログラム化→例題解析→検証実験という手順をとった。

図1リスト [図1] 静度・剛性・振動最適化プログラムの概要

[図2] 座屈最適化プログラムの骨子

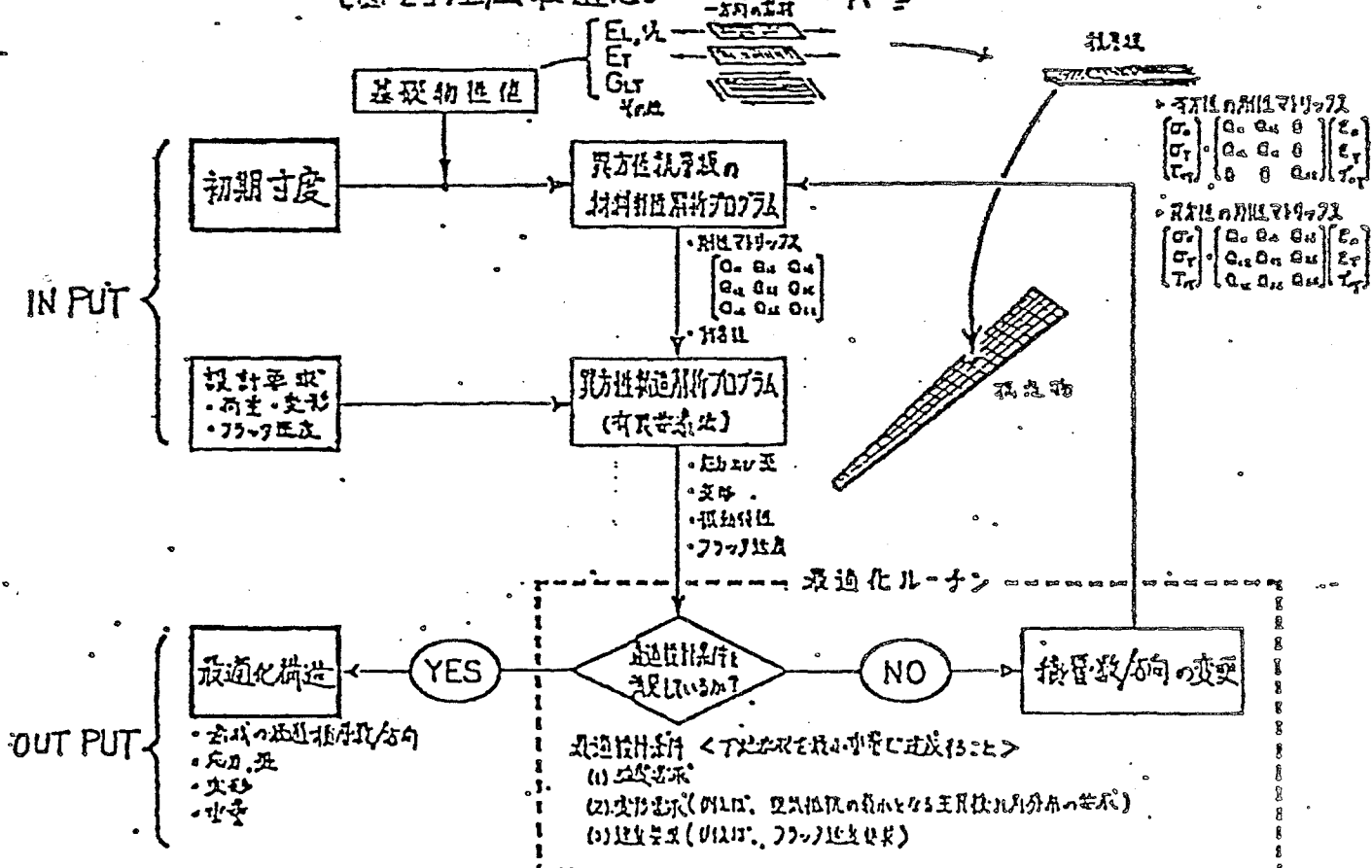


図1 静度・剛性・振動最適化プログラムの概要

(3/11)

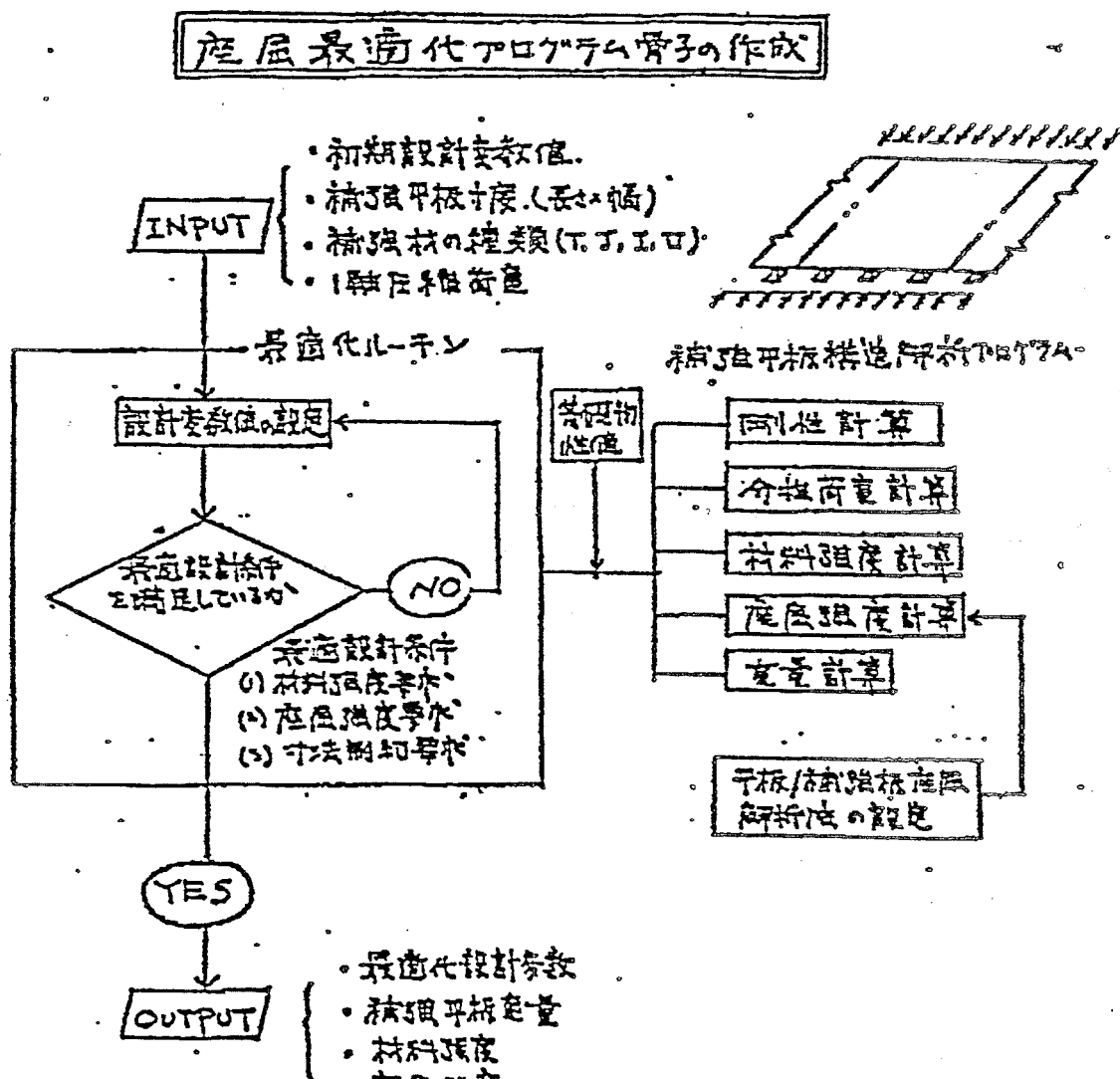


図 2

座屈最適化アロケテム骨子

(4/11)

3. 研究開発結果

(1) 実績のポイント [表1 参照]

- ① 強度、たわみ、振動(フラッタ)、最適化プログラムを作成した。
- ② 例題解析を行い、強度最適性規準 FSD(全応力法)の不備を見い出し、改良を行った。
- ③ 片持ち梁供試体の実験により、実験値と解析値との比較検証を行い、次の検証目標をクリヤーした。
 - a 強度：実験値と解析値との比 $\leq \pm 20\%$
 - b たわみ：実験値と解析値との差 $\leq \pm 0.5^\circ$
 - c 振動数：実験値と解析値の比 $\leq \pm 20\%$
- ④ 最適化プログラムのロジック及び解析結果の収めん性について、専門家の検証を受けた。
- ⑤ 産業最適化プログラムの開発に着手し、骨子を作成した。

[表1] 研究開発実績の一覧

研究 開発実績		設計要求	静强度	剛性	振動	産業		
最適化規準の選定		全応力法(FSD) + 延工数一定	たわみ 一定	微係数 一定	フランク速度微係数 $\frac{\Delta V_E}{3w}$ 一定	検討中		
最適化プログラムの作成		COSMOS		COSMOS-FLUTTER		骨子作成		
検証	最適化理論	専門家によるロジック検証				—		
	解析	片持ち梁供試体による 実験値と解析値の比較検証				—		

(5/11)

(2) 注目すべき知見

① 強度最適性基準として、

(1) 当初、全応力法 (Fully Stressed

Design, FSDと略す) だけを用いていた。しかし、%
からなる複合材積層板に FSD を適用すると
最弱層 90° の板厚が増え、軽い構造とならないことが
判明した。(2) これは、等方性材料では経験しなかった異方性材料
特有の問題であると考えられ、新しい最適性規準が
必要となつた。(3) 積層板を構成する一方向強化材の許容歪エネルギー密度
が、織維方向で最大となることに注目し、歪エネルギー
密度比が一定」という新しい規準を付加して、最適化
の方向を与えるは改善できることがわかつた。

② 異方性の強い構造では、

(1) 製造時に反りやゆがみが出やすい。特に部品毎に作
り組み立てる製造法では、単品時の反りやゆがみが激
しい。(2) 異方性の強い構造物への積層一体成形法の適用が
不可欠である。

(6/11)

(3) 一連のプロセスの中で特記すべき 特徴的技術

- ① 複合材料の高強度を活か可軽構造の設計技術(強度最適化)に加之、複合材料の異方性を利用し、従来の金属材料(等方性)では実現できなかつた機能を構造に付与するテーラリング設計技術(たゆみ最適化、ふるい工、フラッタ速度最適化)を確立する目途を得た。
- ② この技術により、例えは航空機の主翼構造へ複合材料を適用し、負荷状態での振れ角を最適化することができる、空気抵抗を最小にする設計が可能となる。

(4) 特に効果を發揮した技術

素材の開発目標の検討において、0°方向及び90°方向の伸びをそれぞれ改善した場合の効果について比較計算を行った。その結果、90°方向の伸びを改善した方が最小重量設計には効果的であることが明らかとなった。

本プログラムは今まで定性的議論しか成し得なかつた分野での定量的解析用ツールとして有効であることがわかつた。

③ 本章의 주제는 (i) 유한요소법 해석기법(FINITE ELEMENT METHOD, FEM), (ii) 유한요소법 해석기법(FEM)의 적용(应用)이다. FEM은 대체로 다음과 같은 특징을 가진다.

- (i) 유한요소법은 연속체를 유한 개수의 요소로 나누어 각 요소 내부에서 일정한 모양(形状)과 성질(性质)을 가정하는 것이다.
- (ii) 유한요소법은 연속체를 유한 개수의 요소로 나누어 각 요소 내부에서 일정한 모양(形状)과 성질(性质)을 가정하는 것이다.
- (iii) 유한요소법은 연속체를 유한 개수의 요소로 나누어 각 요소 내부에서 일정한 모양(形状)과 성질(性质)을 가정하는 것이다.
- (iv) 유한요소법은 연속체를 유한 개수의 요소로 나누어 각 요소 내부에서 일정한 모양(形状)과 성질(性质)을 가정하는 것이다.
- (v) 유한요소법은 연속체를 유한 개수의 요소로 나누어 각 요소 내부에서 일정한 모양(形状)과 성질(性质)을 가정하는 것이다.

④ 유한요소법은 연속체를 유한 개수의 요소로 나누어 각 요소 내부에서 일정한 모양(形状)과 성질(性质)을 가정하는 것이다.

- (i) 유한요소법은 연속체를 유한 개수의 요소로 나누어 각 요소 내부에서 일정한 모양(形状)과 성질(性质)을 가정하는 것이다.
- (ii) 유한요소법은 연속체를 유한 개수의 요소로 나누어 각 요소 내부에서 일정한 모양(形状)과 성질(性质)을 가정하는 것이다.
- (iii) 유한요소법은 연속체를 유한 개수의 요소로 나누어 각 요소 내부에서 일정한 모양(形状)과 성질(性质)을 가정하는 것이다.
- (iv) 유한요소법은 연속체를 유한 개수의 요소로 나누어 각 요소 내부에서 일정한 모양(形状)과 성질(性质)을 가정하는 것이다.
- (v) 유한요소법은 연속체를 유한 개수의 요소로 나누어 각 요소 내부에서 일정한 모양(形状)과 성질(性质)을 가정하는 것이다.

⑤ 本章의 주제는 (i) 유한요소법 해석기법(FINITE ELEMENT METHOD, FEM), (ii) 유한요소법 해석기법(FEM)의 적용(应用)이다.

(5) 미적분학적 문제의 解決。 目錄

(9/11)

研究開発結果の詳細

研究開発結果

1 供試体

項目	内 容
① 形状、寸法	
② 使用材料	<ul style="list-style-type: none"> 350°F 硬化 カンガラム/エポキシ 一方向 プリプレグ 板 品名 P3060-15(車いす用) <p> $E_s = 14500 \text{ kN/mm}^2$ $F_b = 168 \text{ kN/mm}^2$ $E_T = 983 \text{ kN/mm}^2$ $F_T = 6.2 \text{ kN/mm}^2$ $G = 565 \text{ kN/mm}^2$ $F_c = 15.9 \text{ kN/mm}^2$ $V_L = 0.31$ $F_f = 22 \text{ kN/mm}^2$ $F_{Lg} = 9 \text{ kN/mm}^2$ </p>

2 検証試験

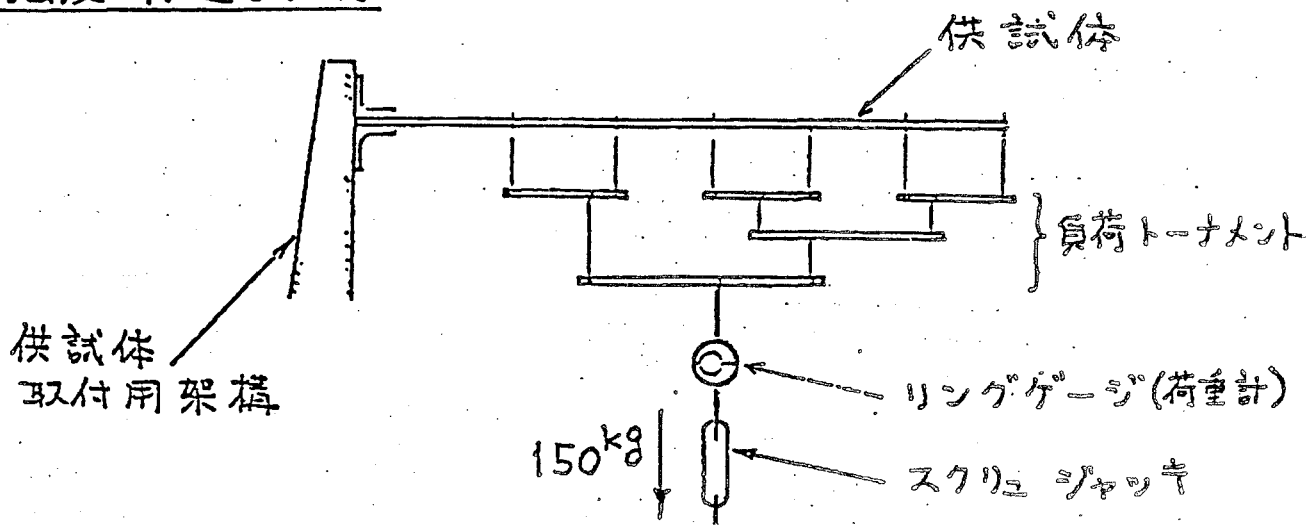
項目	検査目標	試験方法	試験結果																																			
強度	<p>① STRAIN (ϵ) 計測値にナシ。</p> <p>$0.8 \leq \frac{\epsilon_{TEST}}{\epsilon_{MAX}} \leq 1.2$</p> <p>解説 ($\epsilon_{MAX}$) (荷重150kg まで) (最大の平均値)</p> <table border="1"> <thead> <tr> <th>ゲージ</th> <th>ϵ_{MAX}</th> </tr> </thead> <tbody> <tr> <td>1, 2</td> <td>675</td> </tr> <tr> <td>2, 4</td> <td>909</td> </tr> <tr> <td>2, 6</td> <td>1185</td> </tr> <tr> <td>7, 8</td> <td>1404</td> </tr> <tr> <td>9, 10</td> <td>1236</td> </tr> <tr> <td>11, 12</td> <td>1229</td> </tr> </tbody> </table>	ゲージ	ϵ_{MAX}	1, 2	675	2, 4	909	2, 6	1185	7, 8	1404	9, 10	1236	11, 12	1229	<p>① STRAIN 計測位置 下図に示す内斜部、中央部、外斜部の前後2箇所、計12箇所</p> <p>STRAIN GAUGE</p> <p>② 負荷荷重 最大150kgまで。負荷する。 負荷位置は、上図に示す6箇所とし。 算挟みにより負荷する。</p>	<table border="1"> <thead> <tr> <th>ゲージ</th> <th>ϵ_{TEST}</th> <th>$\frac{\epsilon_{TEST}}{\epsilon_{MAX}}$</th> </tr> </thead> <tbody> <tr> <td>1, 2</td> <td>758</td> <td>(1.125)</td> </tr> <tr> <td>3, 4</td> <td>863</td> <td>(0.95)</td> </tr> <tr> <td>5, 6</td> <td>1075</td> <td>(0.91)</td> </tr> <tr> <td>7, 8</td> <td>1200</td> <td>(0.85)</td> </tr> <tr> <td>9, 10</td> <td>1223</td> <td>(0.99)</td> </tr> <tr> <td>11, 12</td> <td>1225</td> <td>(1.00)</td> </tr> </tbody> </table>	ゲージ	ϵ_{TEST}	$\frac{\epsilon_{TEST}}{\epsilon_{MAX}}$	1, 2	758	(1.125)	3, 4	863	(0.95)	5, 6	1075	(0.91)	7, 8	1200	(0.85)	9, 10	1223	(0.99)	11, 12	1225	(1.00)
ゲージ	ϵ_{MAX}																																					
1, 2	675																																					
2, 4	909																																					
2, 6	1185																																					
7, 8	1404																																					
9, 10	1236																																					
11, 12	1229																																					
ゲージ	ϵ_{TEST}	$\frac{\epsilon_{TEST}}{\epsilon_{MAX}}$																																				
1, 2	758	(1.125)																																				
3, 4	863	(0.95)																																				
5, 6	1075	(0.91)																																				
7, 8	1200	(0.85)																																				
9, 10	1223	(0.99)																																				
11, 12	1225	(1.00)																																				

(10/11)

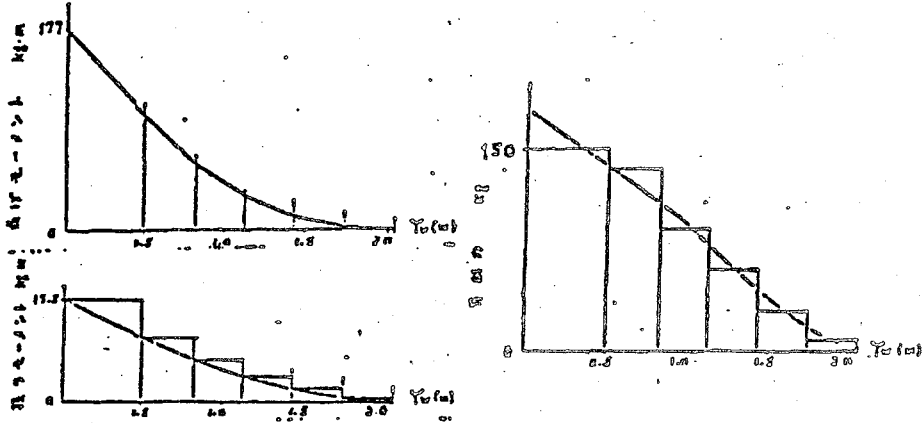
項目	検証目標	試験方法	試験結果																				
振 み	<p>各点での構造方向 傾れ角(θ)はかし $\theta_{TEST} - \theta_{ANAL} \leq 0.5^\circ$ (最大荷重時)</p> <p>解説値 (θ_{ANAL}) (荷重 150kg 時)</p> <table border="1"> <thead> <tr> <th>断面</th><th>$\theta_{ANAL} (\theta)$</th></tr> </thead> <tbody> <tr> <td>A</td><td>0.25°</td></tr> <tr> <td>B</td><td>0.32°</td></tr> <tr> <td>C</td><td>0.47°</td></tr> </tbody> </table>	断面	$\theta_{ANAL} (\theta)$	A	0.25°	B	0.32°	C	0.47°	<ul style="list-style-type: none"> ・傾れ角計測位置 下図に示す三箇所位置で傾れ角を計測する。 又、校正用として取付部変位も計測する。 <p>・負荷荷重 最大 150 kg まで負荷する。</p> <p>・この試験は、「強度」検証試験と同時に実施する。 従って、負荷荷重、負荷ステップは、「強度」検証試験と同一である。</p>	<table border="1"> <thead> <tr> <th>断面</th><th>θ_{TEST}</th><th>$\theta_{TEST} - \theta_{ANAL}$</th></tr> </thead> <tbody> <tr> <td>A</td><td>0.35°</td><td>(0.10°)</td></tr> <tr> <td>B</td><td>0.55°</td><td>(0.23°)</td></tr> <tr> <td>C</td><td>0.77°</td><td>(0.30°)</td></tr> </tbody> </table>	断面	θ_{TEST}	$ \theta_{TEST} - \theta_{ANAL} $	A	0.35°	(0.10°)	B	0.55°	(0.23°)	C	0.77°	(0.30°)
断面	$\theta_{ANAL} (\theta)$																						
A	0.25°																						
B	0.32°																						
C	0.47°																						
断面	θ_{TEST}	$ \theta_{TEST} - \theta_{ANAL} $																					
A	0.35°	(0.10°)																					
B	0.55°	(0.23°)																					
C	0.77°	(0.30°)																					
振動数	<p>1次振動数(ω)に かし $0.8 \leq \frac{\omega_{TEST}}{\omega_{ANAL}} \leq 1.2$</p> <p>解説値 ($\omega_{ANAL}$) (一次振動 1Hz) $\omega_{ANAL} = 7.1 \text{ Hz}$</p>	<ul style="list-style-type: none"> 供試体端部を加振し、振動モードより 一次曲げ振動でみるとことと確認し、振動数 を計測する。 振動試験は、下図に示すように、傳搬質量 を付けて行う。 	<table border="1"> <thead> <tr> <th>ω_{TEST}</th><th>$(\omega_{TEST}/\omega_{ANAL})$</th></tr> </thead> <tbody> <tr> <td>7.6 Hz</td><td>(1.07)</td></tr> </tbody> </table>	ω_{TEST}	$(\omega_{TEST}/\omega_{ANAL})$	7.6 Hz	(1.07)																
ω_{TEST}	$(\omega_{TEST}/\omega_{ANAL})$																						
7.6 Hz	(1.07)																						

3 使 用 試 験 器 材

1) 強度・剛性試験



供試体設計荷重に
対し、曲げと振れ
をカバーするよう、
負荷トーナメントを
構成した。

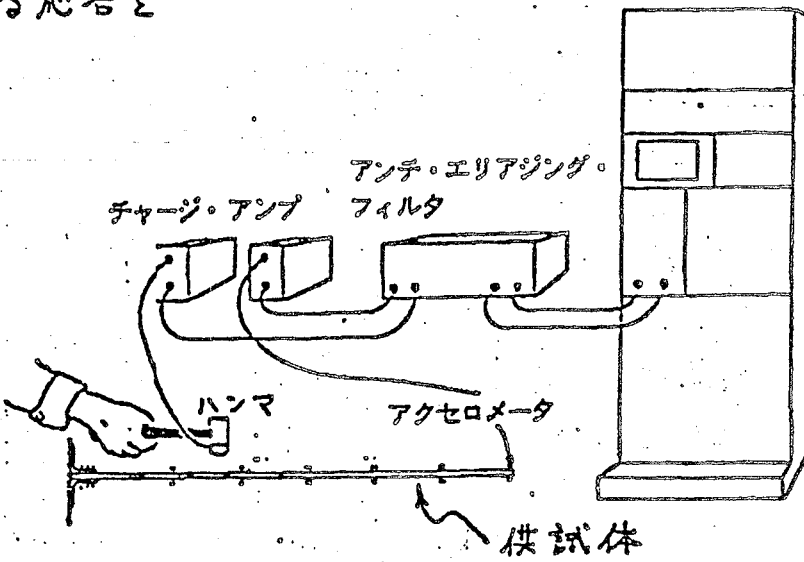


2) 振動試験

ハンマ加振による応答を
計測する。

フーリエアナライザ

- 加振信号は、ハンマの打撃面に取り付けられたセンサにより計測する。
- 応答は 加速度計 (アクセロメータ) により計測する。
- アンチ・エリアジング・フィルタにより、フーリエ変換時の折り返しを防止する。



4. 備考

開発「最適化プログラム」の検証報告書

昭和59年2月23日

(財) 次世代金属・複合材料研究開発協会

複合材料総合調査研究委員会

委員長 箕田芳郎 殿

検証委員 工学博士 美徳工業大学 山田嘉昭

同 工学博士 東京大学工学部

境界領域研究施設講師 福田 博

次世代産業技術研究開発課題「複合材料」樹脂系複合材料の第一期中間評価に関して。
評価 No.5-1 最適化プログラムの開発のうち開発プログラムの最適化の検証、すなわち

- (1) 最適化ソフトのロジック検証
- (2) 解析結果の取れん性検証

を実施した結果を報告する。



検証結果

(1) 最適化ソフトのロジック検証

(2) ロジックの検証

複合材料の重要な応用分野は、advanced composite の航空構造における使用である。米国においては、1960年代の半ばから、この分野における理論の展開が始まり、1970年代には構造最適化のためのソフトウェアが多く開発されて、設計の実用化されたものとされている。先駆的なプロジェクトとして、Grumman 社で開発された FASTOP [1] および ASOP-3 [2] を考案することとするようである。

本プロジェクトにおける最適化のロジックは、主に上記米国の二つのプロジェクトにおいて基礎となっているものに據っており、それに必要な補強あるいは修正を加えたものである。

ソフトとして、最適化に関する限りは、昭和57年後までは直接最適化、剛性最適化、振動特性最適化(フランク)の三つが開発されており、強度算定、剛性算定、振動特性算定、および强度と剛性と同時に満足する場合の最適化を行なうことができる。最適化の目標関数は重量最小化、設計変数はすら(非継脇要素の場合は断面積あるいは厚さの厚さ、種属要素の場合には轉彎方向のply数配分)である。いずれの場合も、直接最適化を行う用意である。

剛性重視について述べれば、直接最適化法の最適性基準は、「たわみ係数がすべての新材について一様になつた状態か、最小重量設計である」とされていふことである。つまり

$$\frac{\partial f}{\partial w_j} = \text{const. } (j=1, 2, \dots, n). \quad (1)$$

ただし δ は指定した場所のたわみ量, w_j は該当の部材の質量, n は部材の個数である。最適化の式式化は、報告書に詳しいが、例えは部材寸法(重量)の調整について記すと、次のようにある

$$\bar{w}_j^{(k+1)} = w_j^{(k)} \sqrt{\frac{\partial \delta^{(k)}}{\partial w_j}} \cdot \frac{(\partial \delta / \partial w)_\text{target}}{(\partial \delta / \partial w)_\text{target}}. \quad (2)$$

また、タタタ速度について、式(1)に対応する式は

$$\partial V_f / \partial m_j = \text{const.} \quad (j=1, 2, \dots, n). \quad (3)$$

ただし V_f は指定したタタタ速度, m_j は該当の質量を表す。タタタの場合も、最適化のロジックは、上記の剛性に対するものに類似している。

强度の最適化について、本プロジェクトのプログラムでは、全応力設計法 (Fully Stressed Design, 昭和56年度開発) とエネルギー密度を標準とする方法 (昭和57年度開発) のいずれかの標準を選択できるようになっていることが特徴である。FSD においては、次のように定義される強度率 σ_j (K. Thauら [3] による Stress Ratio とよばれている) を用い、逐次近似により部材寸法 x_j を決定する。おまかち

$$\gamma_j = F_j / \sigma_j^{(k)}, \quad (4)$$

$$x_j^{(k+1)} = x_j^{(k)} / r_j, \quad (j=1, 2, \dots, n). \quad (5)$$

ただし F_j は許容荷重, $\sigma_j^{(k)}$ は k 回目の近似で得られる応力を表す。積層材では、式(4) の代わりに

$$T_j = F_j / \sigma_{Tj}^{(k)} \quad (6)$$

を各ラミナの強度率としている。ただし、これは一方拘束化材の繊維方向で表わす。一方、エネルギー密度を標準とする最適化においては、「各部材の差エネルギー密度と最大許容エネルギー密度の比が一定になつたとき、重量が最小となる」とし、部材干涉の具体的な調整を次のように行なつてある。部材 j の差エネルギー密度を $U_j^{(k)}$ 、最大許容エネルギー密度を U_{allow} とし、その比

$$R_j^{(k)} = U_j^{(k)} / U_{allow} \quad (7)$$

を計算する。また、与えられた荷重下における各部材の強度率を求め、その最小値を

$$\gamma_{min} = \min(r_1, r_2, \dots, r_n) \quad (8)$$

とする。これより、部材重量を $w_j^{(k)}$ とし、 R_{target} および部材干涉を次のようには定す。

$$R_{target} = \frac{\sum R_j^{(k)} w_j^{(k)}}{\sum w_j^{(k)}} \quad (9)$$

$$x_j^{(k+1)} = x_j^{(k)} \frac{R_j}{R_{target}} - \frac{1}{\gamma_{min}} \quad (10)$$

以上は、教科書のロジックの筆者によるまとめであるが、以下に検証結果として、若干の見解を記すこととする。

(1) ブラス構造の強度の最適化においては、全応力設計法(FSD)を使用するとしており、その特徴性はFSDの詳説からかんかかっている。例えは3本脚トラスの例題では、中央部材の断面積が0という結果になつており、これが最適値でないことは、教科書においても指摘されている通りである。この場合、剛性要素を追加すると、FSDの制約から離れ、余裕と思われた箇所がちぎつており、

実用上問題は多いようであるが、FSD 球形設計を行なう場合の限界、また FSD を剛性要素と併用する場合における FSD 鋼込みの効果について、一般的な指針を追求し、例題によって実証されたことが大切である。

(ii) 式(5) と式(10) を比較する場合、後者の R_j は前者の $1/r_j$ に対する 3 倍程度にあるが、正エネルギー密度で標準とした後者の式(10) では、 γ_{min} の項が含まれていることが特徴である。 γ_{min} を割り出すことは、first ply failures を起させないという点とおり、本報告のエネルギー論は、複層材のどの層も破壊させない条件のもとでの最小重量設計になるものと考えられる。

(iii) 正エネルギー密度のライテリオノは唯一無二のものではなく、式(10)において、材料寸法変更の標準となっている R_j の機能は、式(6)において $1/r_j$ も有している。したがって、式(5) と γ_{min} および $(1/r_j)$ target 値を持ち込むば、式(10)を用いた場合と同様の効果が期待される。ただし、エネルギー論は、物理的な考慮によるもの一つとして、また報告書において、光軸による強度最適化の効果の実例が示されていることを評価される。なお、强度率の式(4)ではなく、式(6)を用いる場合、FSD のプログラムを使用してお申込みは FSD ではなく、本報告のエネルギー密度標準による場合を極めて近づかせるとなつてゐる。

(iv) 剛性最適化、および振動特性最適化については、理論の定式化ならびにプログラム化のいたずらに努力がなされて考えられるが、次は他の類似プログラムとの比較の現状について述べる検討結果についての参考照をされたい。

(b) 他の類似プログラムとの比較

検証の資料となる文献[1, 2]および[4]の他に、筆者らは十分なデータを持ち合わせておらず、また短期間では、複数を比較、検証を行うことは困難である。したがって、次のように所感をまとめておきたいとします。

(i) オペロジエクトのプログラム COSMOS および COSMOS-FLUTTERは、米国において ASOP-3 [2] および FASTOP [1] などからその背景となる理論に基づくことが多くないように思える。したがって、報告書においては、すでに発表されたものが定式化され、オペロジエクトにおける新しい開発された部分などが、容易に識別されるよう努められており、報告書からは、それが述べられており、構造最適化について、エネルギー規準の導入で、新しい試みとして評価することができる。しかし、剛性規準とラック速度規準については、既存の定式化に対して、どの部分が新しい改良であるかが明確でないことを述べています。

(ii) 一般的有限要素法を用いた大型プログラムの開発においては、基礎的な例題あるいは共通の標準問題によつて、プログラムの検証を行なうことが重要である。報告書では、この種の検証に関する記述が少なく、成果の裏付けとして、必要な追加を行なわれることが望ましい。参考に本章例題を、文献[4]では、NASTRANによる詳細解析結果と、構造解析の部分を簡易化したプログラム ASA-F による結果の比較が行なわれている。

(iii) 文献[4]によれば、1970年代、米国ヒュドリックの流れ、オペロジエクト引權の開発に関する技術交流があつたのである。有限要素解析プログラムの検証の見地からも、今後、オペロジエクト

において、技術の国際交流の推進を計られるよう期待したい。

(C) 発展性の評価

58年度以降において、静強度とフラッタ、静强度と剛性およびフラッタ、さらに座屈を含むプログラムの機能拡張を行なっていることは、自然の発展であり、成果を期待することができる。また、有限要素法プログラムとして、NASTRAN等の汎用プログラムを組み込むことを検討していることも、今後を考えられる。

以上の開発のあたって、本検討において述べたことは、すてき考慮すべきと考えられるが、標準問題によるプログラムの検証について、とくに留意されるとぞ希望する。

最後に、プログラムの汎用性についてであるが、プログラムの機能拡大に併行して、理論および使用方法マニュアルの整備が重要な仕事である。本プロジェクトで開発された手法およびプログラムが、広く通用され、技術交流に対する役立つよう、マニュアルの整備を進められることが望ましい。

(2) 解析結果の収れん性検証

該参考書によれば、開発初期のミキストラスの例題では、F.S.D.による强度要求は30回、強度と剛性を満たす最適化には、ひずみ要求に従うる20回を要してあり、収束はやや遅いが、積層板およびフラッタ速度を取り扱った例題では、収束が改善され、収れん性自体の問題はなくまとまっている。

さらに、追加資料[5]では、収れん性について、文献[2]および[1]との比較がなされている。該追加資料を取り扱うモデルは、文献のそれと若干異なっているが、次のような比較の結果となっている。

强度と振れ角の最適化に対して、COSMOSでは9回、ASOP-3では3回、フラッタ速度最適化に対して COSMOS-FLUTTERでは10回、FASOPでは8回。

収れんまでの回数は、収束判定条件にもよることであり、上記の結果は、開発プログラムが、収束の度で、既存のプログラムとはほぼ同等のレベルにある高機能となりうることができる。ただし、なお正確を評価のためには、共通の標準問題によるプログラムの検証を、すでに述べたような国際交流の基盤において推進する必要がある。

以上

参考文献

1. K. Wilkinson, J. Markowicz, E. Lerner and D. George, FASTOP: A Flutter and Strength Optimization Program for Lifting-Surface Structures, *J. Aircraft*, Vol. 14, No. 6, 581-587 (June, 1977).
2. G. Isakson, H. Pardo and E. Lerner, ASOP-3: A Program for Optimum Structural Design to Satisfy Strength and Deflection Constraints, *J. Aircraft*, Vol. 15, NO. 7; 422-428 (July, 1978).
3. S. W. Tsai and H. T. Hahn, *Introduction to Composite Materials*, Technomic Publishing Company, Westport, Connecticut, 1980.
4. H. Gödel and G. Schneider, Application of Structural Optimization Procedure for Advanced Wings, 51st Meeting of the AGARD Structures and Materials Panel, AGARD Report No. 691, Aix-en-Provence, France (Sept. 1980).
5. 次世代複合材構造最適設計プログラム実績 解析結果の収集比較資料, 高士重工株式会社, 機械研究課, 昭和 59 年 2 月.

要　　旨

研究開発項目名　　設計技術の開発（構造要素設計技術の開発）

研究開発実施者名　　(財) 次世代金属・複合材料研究開発協会

1. 研究開発期間　　昭和58年度

2. 第一期目標のポイント

第一期では宇宙構造物を対象に「成形技術の開発」で研究中の長尺薄肉円筒の継手の設計技術を蓄積する。

3. 各年度の実施計画のポイント

昭和58年度：薄肉円筒継手の模型実験を行う。

4. 第一期の実績のポイント

金属継手に代る複合材薄肉円筒継手の系統的実験を行い、最適（軽量化）設計資料が得られた。

(1B-%)

研究開発結果要約表

サブ・テ-2名	3.(2) 設計技術の開発 1)-2 構造要素設計技術の開発			
研究開発手法	供試体形状 供試体: 繊維要素 (H40/エポキシ $E_L = 22600 \text{ kg/mm}^2$ $F_L = 110 \text{ kg/mm}^2$) 基材: 高弾性炭素繊維/エポキシ樹脂 (東レ製:H40) 織物: 同上 接着剤: エポキシ樹脂			
前提条件等	成形条件 基材: フラメント・ワインディング法 織物: 同上			
研究開発結果	强度性能	剛性	強度	重量
		素材の 100 %	素材の 80 % 以上	素材の 200 % 以下
試験法	引張試験 $n=3$	引張試験 $n=3$	重量計算 $n=3$	
試験結果 平均値	150 %	83 %	183 %	
所見等				

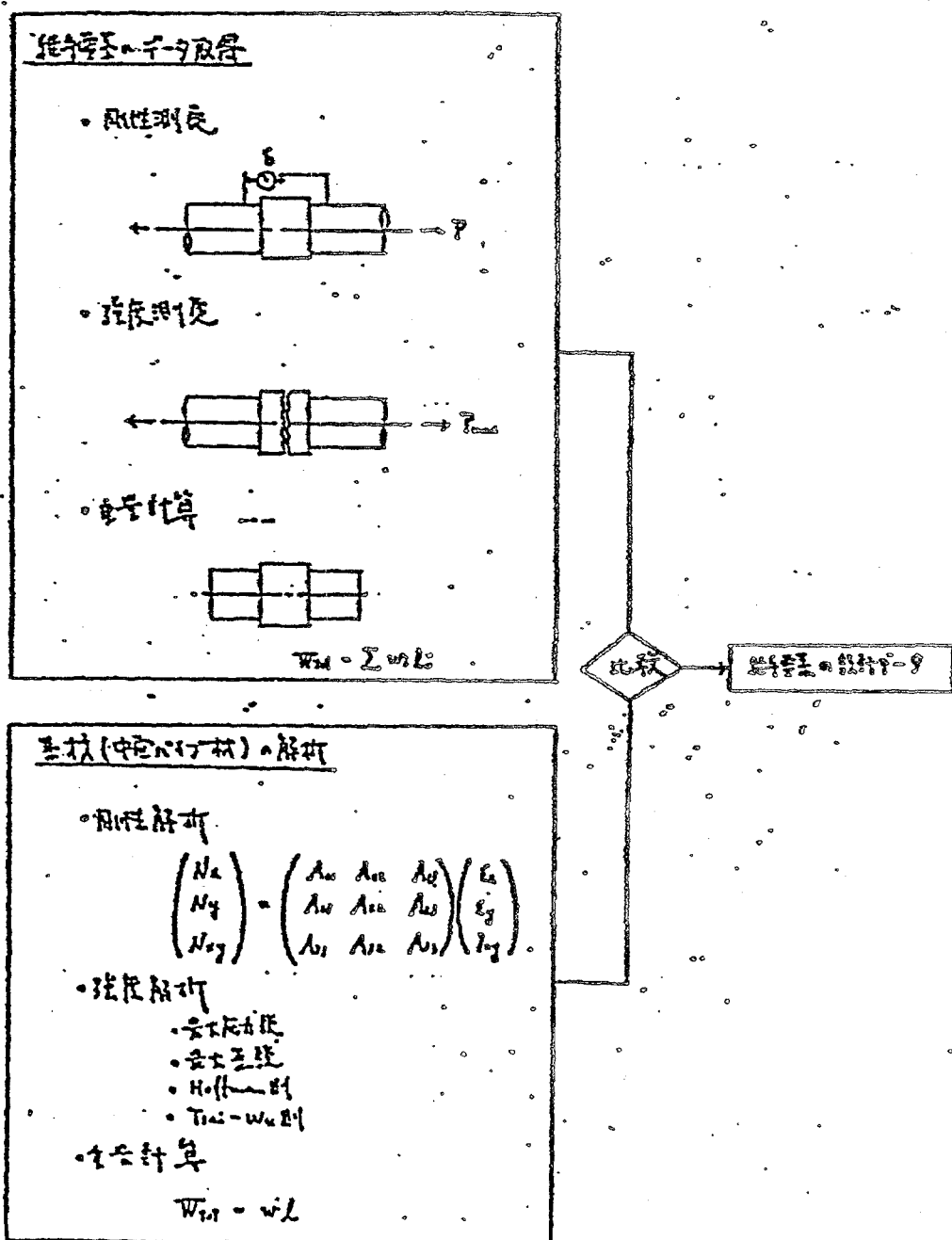
研究開発実績

研究開発項目名

構造要素設計技術の開発研究開発実施者名 (C) 次世代金属・複合材料研究開発協会

1. 研究開発期間 昭和58年度

2. 研究開発手法、前提条件等

基本要素設計データ取得・検査

3. 研究開発結果

(1) 実績のポイント(詳細別紙)

剛性
強度
重量 } すべて目標を達成した。

(2) 注目すべき知見

単純継手要素において、前期の剛性・強度性能を満たし得る軽量接着継手設計技術の見通しが得られた。

(3) 一連のプロセスの中で特記すべき特徴的技術

事前に実施した平板接着継手による特性検討が、本研究に効果的に利用出来た。

(4) 特に効果を發揮した技術

なし

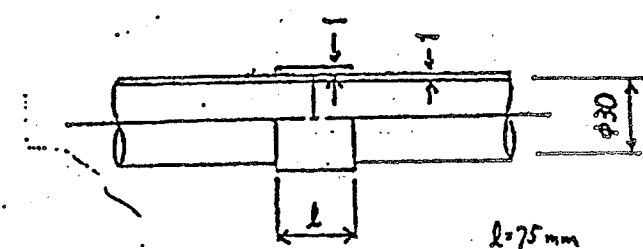
(5) 未到達事項の問題点と解消の目途

59年度以降は、曲げ・振り等各種外力に対応する継手要素設計技術の開発を進め、構造要素設計技術の高度化を図っていく。

(1A-3/3)

研究開発結果の詳細

(1) 試験体

項目	内容
① 形状・寸法	
② 使用材料	<ul style="list-style-type: none"> 高弹性炭素繊維 / エポキシ樹脂 (東芝製: M40) (三菱電機製: MS-1) 7.13メートルウインディング成形品、精度 ($\pm 4^\circ / \pm 10^\circ$) $E_L = 22600 \text{ kg/mm}^2$, $F_L = 112 \text{ kg/mm}^2$

(2) 検証試験

項目	検証目標	試験方法	試験結果
剛性	素材の 100% (素材の剛性は 100mm 当り $1.074 \times 10^4 \text{ kg/mm}$)	31張試験により、 荷重-変位(ゲージ長 =100mm)を測定する。	No.1 156% No.2 150% No.3 144% 平均 150% 分散 0.040
強度	素材の 80%以上 (素材の強度(最大荷重) は 4548kg)	引張試験により 最大荷重を測定する。	No.1 75% No.2 84% No.3 89% 平均 83% 分散 0.085
重量	素材の 200%以下 (素材の重量(100mm 当り) は 15.25 gram)	対応を保測し、 重量(100mm 当り) を算出する。	No.1 186% No.2 186% No.3 178% 平均 183% 分散 0.025